ISBN 978-3-7388-0628-1 F 3233

Gefördert mit Mitteln des Bundesamtes für Bauwesen und Raumordnung



Thomas Oberndorfer, Frank Hunger, Oliver Fischer

Ultra High Performing Timber Walls – Einsatz von schlanken Lamellen aus ultrahochfestem Beton in Brettsperrholzelementen zur Steigerung der Tragfähigkeit







F 3233

Thomas Oberndorfer, Frank Hunger, Oliver Fischer

Ultra High Performing Timber Walls – Einsatz von schlanken Lamellen aus ultrahochfestem Beton in Brettsperrholzelementen zur Steigerung der Tragfähigkeit





## F 3233

Bei dieser Veröffentlichung handelt es sich um die Kopie des Abschlussberichtes einer vom Bundesinstitut für Bau-, Stadt- und Raumforschung (BBSR) im Bundesamt für Bauwesen und Raumordnung (BBR) im Rahmen der Forschungsinitiative »Zukunft Bau« geförderten Forschungsarbeit. Die in dieser Forschungsarbeit enthaltenen Darstellungen und Empfehlungen geben die fachlichen Auffassungen der Verfasser wieder. Diese werden hier unverändert wiedergegeben, sie geben nicht unbedingt die Meinung des Zuwendungsgebers oder des Herausgebers wieder.

Dieser Forschungsbericht wurde mit modernsten Hochleistungskopierern auf Einzelanfrage hergestellt.

Die Originalmanuskripte wurden reprotechnisch, jedoch nicht inhaltlich überarbeitet. Die Druckqualität hängt von der reprotechnischen Eignung des Originalmanuskriptes ab, das uns vom Autor bzw. von der Forschungsstelle zur Verfügung gestellt wurde.

© by Fraunhofer IRB Verlag

2021

ISBN 978-3-7388-0628-1

Vervielfältigung, auch auszugsweise, nur mit ausdrücklicher Zustimmung des Verlages.

## Fraunhofer IRB Verlag

Fraunhofer-Informationszentrum Raum und Bau

Postfach 80 04 69 70504 Stuttgart

Nobelstraße 12 70569 Stuttgart

Telefon 07 11 9 70 - 25 00 Telefax 07 11 9 70 - 25 08

E-Mail irb@irb.fraunhofer.de

www.baufachinformation.de

www.irb.fraunhofer.de/bauforschung



Ultra High Performing Timber Walls - Einsatz von schlanken Lamellen aus ultrahochfestem Beton in Brettsperrholzelementen zur Steigerung der Tragfähigkeit

Schlussbericht zum Vorhaben SWD-10.08.18.7-17.23

**Projektbearbeitung** Thomas Oberndorfer, M.Sc., Frank Hunger, M.Sc.

Projektleitung Univ.-Prof. Dr.-Ing. Dipl.-Wirt. Ing. Oliver Fischer

Forschungsstellen Technische Universität München

Lehrstuhl für Massivbau

Univ.-Prof. Dr.-Ing. Dipl.-Wirt. Ing. Oliver Fischer

Technische Universität München

Lehrstuhl für Holzbau und Baukonstruktion

Univ.-Prof. Dr.-Ing.Stefan Winter

**Zeitraum** 07/2017 - 10/2019

## Vorwort

Das Forschungsvorhaben wurde mit Mitteln der Forschungsinitiative ZukunftBau des Bundesinstituts für Bau-, Stadt- und Raumforschung gefördert.

(Aktenzeichen: SWD-10.08.18.7-17.23)

Die Verantwortung für den Inhalt des Berichts liegt bei den Autoren.

Für die Förderung sowie die Unterstützung zur Durchführung der dargestellten Arbeiten bedanken wir uns herzlich.

Darüber hinaus gilt unser besonderer Dank den Firmen Südbayerisches Portland Zementwerk Gebr. Wiesböck & Co.GmbH, Dyckerhoff GmbH, Henkel & Cie AG, Sudholt Wasemann GmbH, Züblin Timber GmbH, Seeberger Friedl Planungsgesellschaft MBH und BBI Ingenieure GmbH für die Unterstützung des Forschungsprojektes, sei es mit dem unentgeltlichen zur Verfügung stellen von Material und Prüfgut oder der steten Bereitschaft zur Diskussion. Großer Dank gilt den am Projekt beteiligten Mitarbeitern des MPA Bau der Technischen Universität München sowie den wissenschaftlichen Hilfskräften und Studierenden für die Unterstützung bei der Durchführung der experimentellen Untersuchungen.

## Zitiervorschlag:

Oberndorfer, T., Hunger, F., Fischer, O.(2020). Ultra High Performing Timber Walls - Einsatz von schlanken Lamellen aus ultrahochfestem Beton in Brettsperrholzelementen zur Steigerung der Tragfähigkeit. (Forschungsbericht). Lehrstuhl für Massivbau. Technische Universität München

## Zusammenfassung

Diese Arbeit behandelt die Entwicklung von Bauteilen mit zusammengesetztem Querschnitt aus hoch- oder ultrahochfestem Beton und Holz. Besonderes Hauptaugenmerk liegt dabei auf dem Einsatz als Wandbauteil. Der schlanke, aus Beton bestehende, Wandkern trägt vorwiegend die auftretenden Normalkräfte ab. Das außenliegende Holz hindert den schlanken Wandkern durch eine Vergrößerung des Trägheitsmoments am Knicken und nimmt Druck- und Zugspannungen, die aus einer Momentenbeanspruchung resultieren, auf. Die Herstellung der Wandbauteile erfolgt im Rahmen der Brettsperrholzproduktion. Hierzu werden schlanke Platten oder Lamellen aus Beton vorgefertigt und vollständig in die Brettsperrholzproduktion integriert. Um diesen wirtschaftlichen Produktionsprozess zu ermöglichen, ist die Verklebung von Holz und Beton, mit Klebstoffen, die in der Brettsperrholzproduktion üblich und zugelassen sind, erforderlich.

Mittels kleinformatiger Druckscherversuche wurde die Herstellung tragender Klebeverbindungen mit verschiedenen Klebstoffen, Betonen und (Nach-)Behandlungen der Betonoberflächen untersucht. Vielversprechende Ergebnisse erzielte eine geschliffene Betonoberfläche bei der Verwendung von einem Ein-Komponenten Polyurethanklebstoff, unabhängig vom verwendeten Beton. Die Arbeit behandelt primär das Kurzzeit-Tragverhalten, die durchgeführten Tastversuche zur Dauerhaftigkeit zeigten jedoch, dass eine dauerhafte Verklebung für die Anforderungen im Bauwesen möglich erscheint. Aufbauend auf den durchgeführten Verbundversuchen ist davon auszugehen, dass durch die Verklebung eine starre Verbindung zwischen Beton und Holz vorliegt. Die Bauteilversuche im Maßstab 1:1 wiesen zumeist ein duktiles Verhalten auf. Berechnete Dehnungen und Verformungen, basierend auf einem analytischen Modell, zeigten eine gute Übereinstimmung mit den Versuchsergebnissen.

Anhand der durchgeführten Versuche konnte gezeigt werden, dass eine kraftschlüssige Verklebung von Holz und hoch- bzw. ultrahochfestem Beton mit Klebstoffen, die in der Brettsperrholzproduktion verwendet werden, auch unter wirtschaftlichen Gesichtspunkten möglich ist. Ebenso zeigte sich durch das Einkleben des Betonkerns eine Traglaststeigerung, welche von der anzusetzenden Lastexzentrizität sowie dem Einfluss von Effekten nach Theorie II. Ordnung abhängig ist.

#### Abstract

This work deals with the development of hybrid walls comprised of ultra-high performance concrete and timber. The walls consist of a slender concrete core which primarly bears axial forces. Surrounding timber prevents the core from buckling and absorbs tensile and compressive stresses resulting from bending moments. The economic production of the hybrid wall elements occurs in the industrial environment of cross laminated timber (CLT) production. To accomplish this, prefabricated concrete parts are integrated in the production of CLT. To enable this production process bonding of timber and concrete with standard glues in CLT production is inevitable.

The suitability of various adhesives, concrete types and concrete surface treatments for bonding was investigated by means of small-format compression shear tests. Promising results were achieved with a ground concrete surface in combination with a one-component polyurethan adhesive, independent of the used concrete type. Although the focus was on the short term load bearing behaviour, performed tactile tests regarding durability showed that durable bonding seems possible. Based on composite tests carried out, a rigid connection between timber and concrete can be assumed for calculation purposses. The tests on wall segments scale 1:1 mainly showed a ductile behaviour. The modelling of the tests was done analytically, solving the differential equation for theory of second order problems. This was accomplished with an effective bending stiffness of the hybrid cross section, accounting for shear deformation, based on shear analogy method. The calculation showed good accordance with the results from the experiments.

The performed experiments showed, that a bonded connection between timber and ultra-high performance concrete using standard glues in cross laminated timber production is possible. With the glued in concrete core the bearable load of the wall segments was increased. The amount of increase depends on the load eccentricity and second order effects.

# Inhaltsverzeichnis

1	Ein	leitung		1			
	1.1	Allgen	neines	1			
	1.2	Zielset	zung	2			
<b>2</b>	Gru	$\mathbf{ndlege}$	endes	4			
	2.1	Bretts	perrholz	4			
		2.1.1	Allgemein	4			
		2.1.2	Material	4			
		2.1.3	Herstellung	5			
		2.1.4	Tragwirkung	6			
	2.2	Ultrah	ochfester Beton	8			
		2.2.1	Allgemein	8			
		2.2.2	Festbetoneigenschaften	8			
3	Sch	erversi	uche 1	0			
	3.1	Allgen	neines	0			
	3.2						
		3.2.1	Versuchsaufbau	0			
		3.2.2	Versuchskörper	1			
		3.2.3	Material	3			
		3.2.4	Messtechnik	4			
		3.2.5	Versuchsdurchführung	4			
	3.3	Ergeb	nisse und Interpretation	5			
		3.3.1	Allgemeines und Bezeichnung	5			
		3.3.2	Verklebung mit Melamin Urethan Formaldehydharz	5			
		3.3.3	Verklebung mit Ein-Komponenten Polyurethanklebstoff	7			
		3.3.4	Verklebung mit Phenolresorcinformaldehydharz, Epoxidharz und Zwei-				
			Komponenten Polyurethangießharz	0			
	0.4	77 . 1		_			

4	Del	aminierversuche	<b>22</b>				
	4.1	Allgemeines	22				
	4.2	Material und Methoden	22				
		4.2.1 Versuchsaufbau	22				
		4.2.2 Versuchskörper	23				
		4.2.3 Material	23				
		4.2.4 Messtechnik	24				
		4.2.5 Versuchsdurchführung	24				
	4.3	Ergebnisse und Interpretation	25				
	4.4	Zwischenfazit	27				
5	Ver	bundversuche	<b>2</b> 8				
	5.1	Allgemeines	28				
	5.2	Material und Methoden	29				
		5.2.1 Versuchsaufbau	29				
		5.2.2 Versuchskörper	30				
		5.2.3 Material	30				
		5.2.4 Messtechnik	31				
		5.2.5 Versuchsdurchführung	32				
	5.3	Ergebnisse und Interpretation	33				
	5.4	Zwischenfazit	45				
6	Bau	teilversuche	<b>46</b>				
	6.1	Allgemeines					
	6.2 Material und Methoden		46				
		6.2.1 Versuchsaufbau	46				
		6.2.2 Prüfkörper	47				
		6.2.3 Material	51				
		6.2.4 Messtechnik	51				
		6.2.5 Versuchsdurchführung	52				
	6.3	Ergebnisse und Interpretation	53				
		6.3.1 Versuche mit durchgängigem Wandkern aus Beton	53				
		6.3.2   Versuche mit alternierendem Wandkern aus Beton und Holz	58				
		6.3.3 Versagensarten	61				
	6.4	Zwischenfazit	65				
7	Ben	nessungsvorschlag und Anschlussdetails	66				
	7.1	Modellierung der Bauteilversuche	66				
		7.1.1 Allgemeines	66				
		7.1.2 Verwendete Materialeigenschaften für die Modellierung	71				
		7.1.3 Zentrische Bauteilversuche	72				

		7.1.4 Exzentrische Bauteilversuche	73
		7.1.5 Bemessungsvorschlag	76
		7.1.6 Vergleichsbetrachtung	76
	7.2	Anschlussdetail	79
8	Zus	ammenfassung und Ausblick	81
	8.1	Zusammenfassung	81
	8.2	Ausblick	83
Li	terat	urverzeichnis	86
$\mathbf{A}$	Sch	erversuche	88
	A.1	Diagramme zur Scherfestigkeit und Holzbruchanteil	88
	A.2	Tabellarische Versuchsdaten	91
В	Dela	aminierungsversuche	130
$\mathbf{C}$	C Verbundversuche		139
D	Bau	teilversuche	145

# 1 Einleitung

## 1.1 Allgemeines

Durch die zunehmende Verstädterung, sowie das Bevölkerungswachstum allgemein, sind die Städte gezwungen zu wachsen (United Nations & Social Affairs, 2019). Das Wachstum kann dabei in vertikaler oder horizontaler Richtung stattfinden (Janser, 2011). Vertikales Wachstum geht einher mit einem Anstieg der Gebäudehöhe. Mit steigender Gebäudehöhe nimmt die Belastung in den unteren Geschossen jedoch zu. Um Bauteile mit angemessenen Querschnittsabmessungen auszubilden, z. B. aus Gründen des Ressourcenverbrauchs, des erforderlichen Raumbedarfs für konstruktive Elemente und der Produktions- und Transportkapazitäten, welche die hohen Kräfte aufnehmen können, sind Hochleistungsmaterialien oder Material-kombinationen erforderlich.

Durch eine Reihe technischer Innovationen um die Jahrtausendwende rückte mehrgeschossiges Bauen mit Holz wieder stärker in den Fokus (Kaufmann et al., 2017). Ebenso ist der vermehrte Einsatz von Holz aus Aspekten der Nachhaltigkeit anzustreben. Durch die moderne Klebstofftechnologie ist der Holzbau nicht mehr nur auf stabförmige Fachwerke begrenzt, sondern es können weitgespannte Konstruktionen mit Brettschichtholz oder flächige Bauteile aus Brettsperrholz (BSP) hergestellt werden. Diese finden als leistungsfähige Wand- und Deckenbauteile Einsatz. Der Baustoff Brettsperrholz hat sich auf dem Markt etabliert, was sich auch an der global prognostizierten Jahresleistung zwischen 2 und 2,5 Mio. m³ für das Jahr 2020 widerspiegelt (Jauk, 2019).

Um das Einsatzgebiet von Brettsperrholz und darauf basierenden Weiterentwicklungen, wie z. B. hybride Plattenaufbauten aus Holz/Holz, Holz/Beton oder Holz/Kunststoff, zu vergrößern und um neue Impulse im Holzbau zu setzten, beschäftigen sich bereits heute laut Schilliger (2019) eine Vielzahl von Forschungsprojekten mit dieser Thematik. Diese Arbeit leistet einen wesentlichen Beitrag zur Forschung zu hybriden Bauweisen mit vorgefertigten Bauteilen aus Holz und Beton und reiht sich damit in das Themengebiet mit ein. Untersucht

1.2. Zielsetzung 2

wird, ob sich Wandbauteile aus Brettsperrholz mit hochfestem bzw. ultrahochfestem Beton ökonomisch sinnvoll verstärken lassen um so die statischen Eigenschaften zu verbessern.

# 1.2 Zielsetzung

Die Kombination von ultrahochfestem Beton (UHFB)und Holz in Wandelementen soll die Herstellung von schlanken und hoch tragfähigen vorgefertigten Wandbauteilen ermöglichen. Diese besitzen einen Kern aus UHFB der vorwiegend die auftretenden Normalkräfte aus den vertikalen Lasten aufnimmt. Der außenliegende Holzquerschnitt nimmt Zug- und Druckkräfte auf, die aus Wind und/oder Imperfektionen entstehen, und verhindert das Ausknicken des schlanken Betonkerns. Abbildung 1.1 zeigt einen beispielhaften Aufbau.

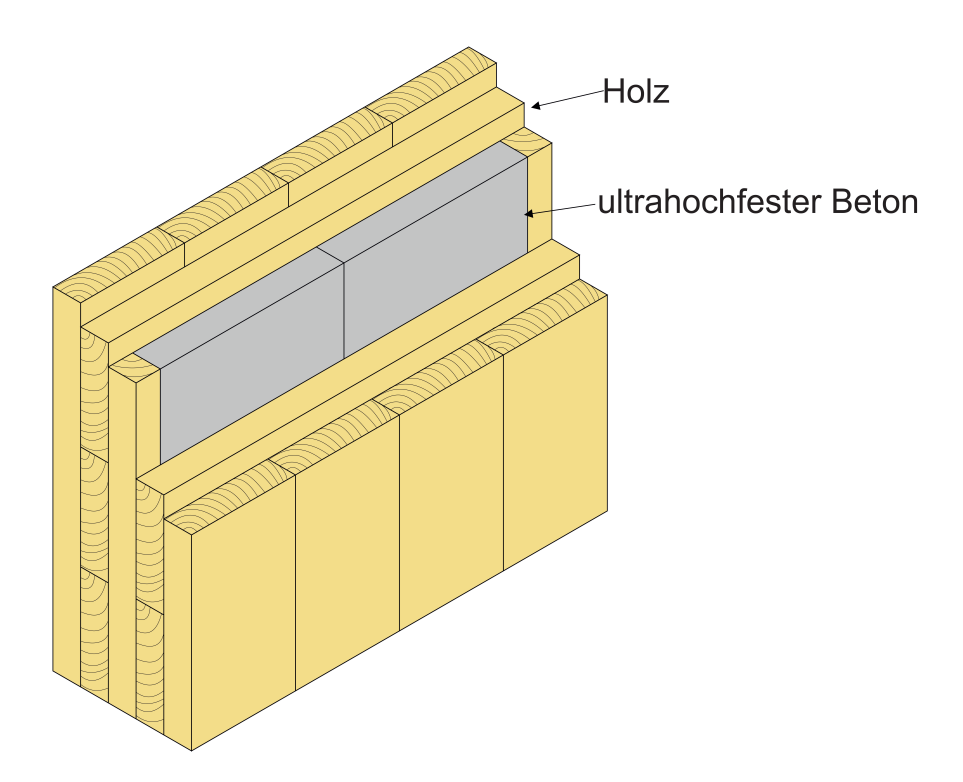


Abbildung 1.1: Beispielhafter Wandaufbau

Im Unterschied zu bekannten Verbindungsmöglichkeiten von Holz und Beton, wie z. B. das Ausgießen mit Ortbeton, die nachträgliche Verstärkung mittels Gießharzen oder die Anordnung von metallischen Verbindungsmitteln als Schubverbinder, werden die beiden Werkstoffe miteinander verklebt. Die industrielle Verklebung findet im Rahmen der Brettsperrholzherstellung statt, der etablierte und ausgereifte Herstellungsprozess von BSP soll so wenig wie möglich verändert werden. Hierfür werden im Produktionsprozess von Brettsperrholz einzelne Bretter aus Holz durch "Bretter aus Beton" ersetzt.

1.2. Zielsetzung 3

Für die Herstellung der Wandelemente mit zusammengesetztem Querschnitt sind drei Schritte nötig. Zu Beginn produziert ein Betonfertigteilwerk die Platten oder Lamellen aus UHFB und liefert diese zu einem Brettsperrholzhersteller. Dieser legt die Bauteile aus Beton im regulären Produktionsprozess des Brettsperrholzes an zuvor definierte Stellen in die BSP Elemente ein. Nach dem Pressen der Wandelemente mit zusammengesetztem Querschnitt werden diese in herkömmlichen Holzbearbeitungszentren maschinengesteuert abgebunden.

Um den industriell optimierten Herstellungsprozess von BSP nicht durch zusätzlichen technischen Aufwand und damit verbundenen wirtschaftlichen Folgen zu belasten, ist es zwingend erforderlich das Einbringen der Lamellen aus ultra- hochfester Beton (UHFB) vollständig in den Herstellungsprozess des BSP zu integrieren. Das erfordert die Verwendung von zugelassenen Klebstoffsystemen, die sich in der Brettsperrholzherstellung etabliert haben.

Ziel des Forschungsvorhabens ist es, zu klären, ob Wandbauteile mit zusammengesetztem Querschnitt mit dem zuvor beschriebenen Produktionsprozess herstellbar sind, und darauf aufbauend, Berechnungsansätze für das Kurzzeittragverhalten zu erarbeiten.

# 2 Grundlegendes

## 2.1 Brettsperrholz

#### 2.1.1 Allgemein

Der Begriff "Brettsperrholz" wird erstmals im Jahr 1981 von Dröge & Stoy (1981) genannt und laut Brandner et al. (2016) wurden bereits 1995 die ersten Wohngebäude damit errichtet. Die Industrie erkannte das Potenzial des Werkstoffs und investierte in Forschung und Entwicklung sowie in Produktionskapazitäten. Mittlerweile ist BSP ein im Holzbau etablierter Baustoff mit hohem Vorfertigungsgrad, was sich zum einen an dem geschätzten globalen Jahresausstoß für das Jahr 2019 zwischen 1,6 und 1,8 Mio. m³ (Jauk, 2019) und zum anderen an der Tatsache, dass der Baustoff Einzug in die Normung gefunden hat, zeigt.

#### 2.1.2 Material

"Brettsperrholz ist ein tragendes Holzprodukt, das aus mindestens drei rechtwinklig verklebten Lagen besteht und stets Brettlagen und möglicherweise auch Lagen aus Holzwerkstoffen enthält" (DIN EN 16351). Die Dicke der einzelnen Brettlagen beträgt meistens zwischen 20 mm und 40 mm, in Abhängigkeit der Lagenanzahl ergeben sich Elementdicken zwischen 60 mm und 400 mm (Kaufmann et al., 2017). Die maximalen Abmessungen der einzelnen Elemente sind herstellerabhängig, die größte derzeit errichtete Produktionsanlage in Großbritannien kann Elemente mit einer maximalen Größe von 6 m x 20 m produzieren (Ebner, 2017). Abbildung 2.1 zeigt einen beispielhaften fünflagigen Aufbau eines Brettsperrholzelements.

2.1. Brettsperrholz 5

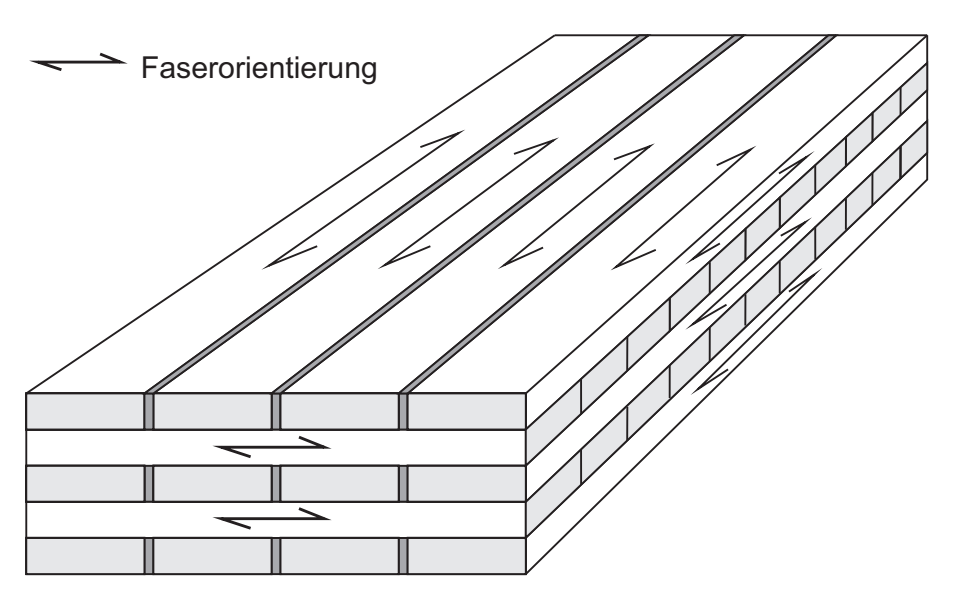


Abbildung 2.1: Schematische Darstellung eines Brettsperrholzelements nach Brandner et al. (2016)

### 2.1.3 Herstellung

Abbildung 2.2 stellt den Herstellungsprozess von Brettsperrholz schematisch dar. Nachfolgend sind die einzelnen zur Herstellung erforderlichen Schritte beschrieben: Ausgangsbasis sind i. d. R. technisch getrocknete Bretter aus Nadelholz, meistens Fichte. Jedoch finden auch andere Holzarten Verwendung, zum Beispiel Kiefer oder Tanne. Im zulässigen Holzfeuchtebereich erfolgt eine maschinelle oder visuelle Festigkeitssortierung. Festigkeitsreduzierende oder die Optik beeinträchtigende Fehlstellen werden ausgekappt und die einzelnen Brettabschnitte anschließend mittels Keilzinkenverbindung zu Lamellen mit der gewünschten Länge gestoßen, sowie anschließend auf die erforderliche Dicke gehobelt. Der Aufbau eines Brettsperrholzelements erfolgt lagenweise. Nach dem Einlegen einer Lage in das Pressbett wird der Klebstoff maschinell aufgetragen. Als Klebstoffe kommen zumeist Ein-Komponenten Polyurethanklebstoff (PU) oder Melamin Urethan Formaldehydharz (MUF) zum Einsatz, da diese schnell aushärten und transparente Klebefugen ausbilden. Der erforderliche Pressdruck wird hydraulisch oder im Vakuumverfahren erzeugt. Nach dem Aushärten des Klebstoffs und einer Nachlagerung erfolgt i. d. R. der maschinelle Abbund, z. B. Aussägen von Fensterund Türöffnungen, Fräsen von Kabelkanälen, Bohren von Steckdosen, zum fertigen Element. (Wiegand *et al.*, 2012)

2.1. Brettsperrholz

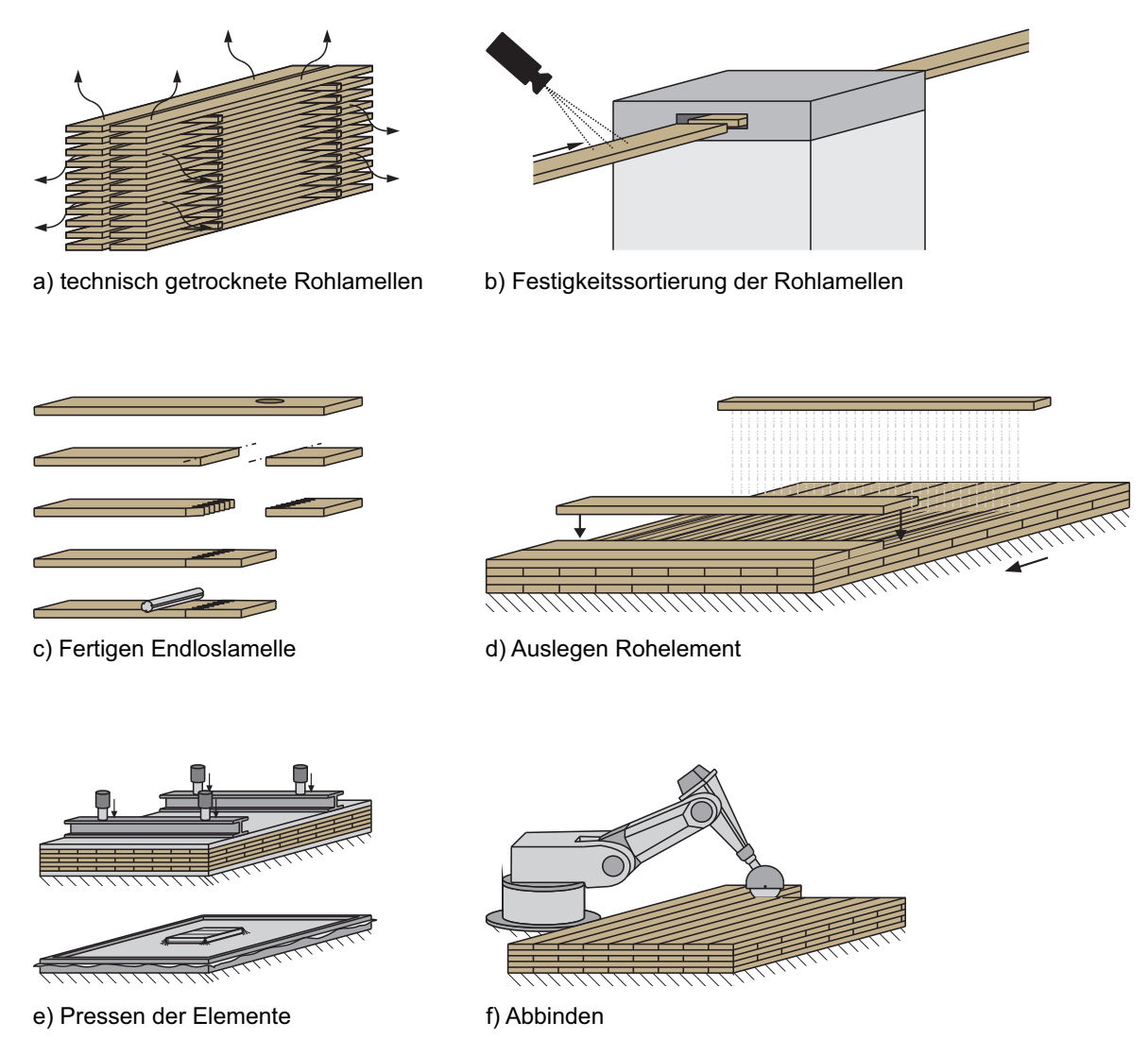


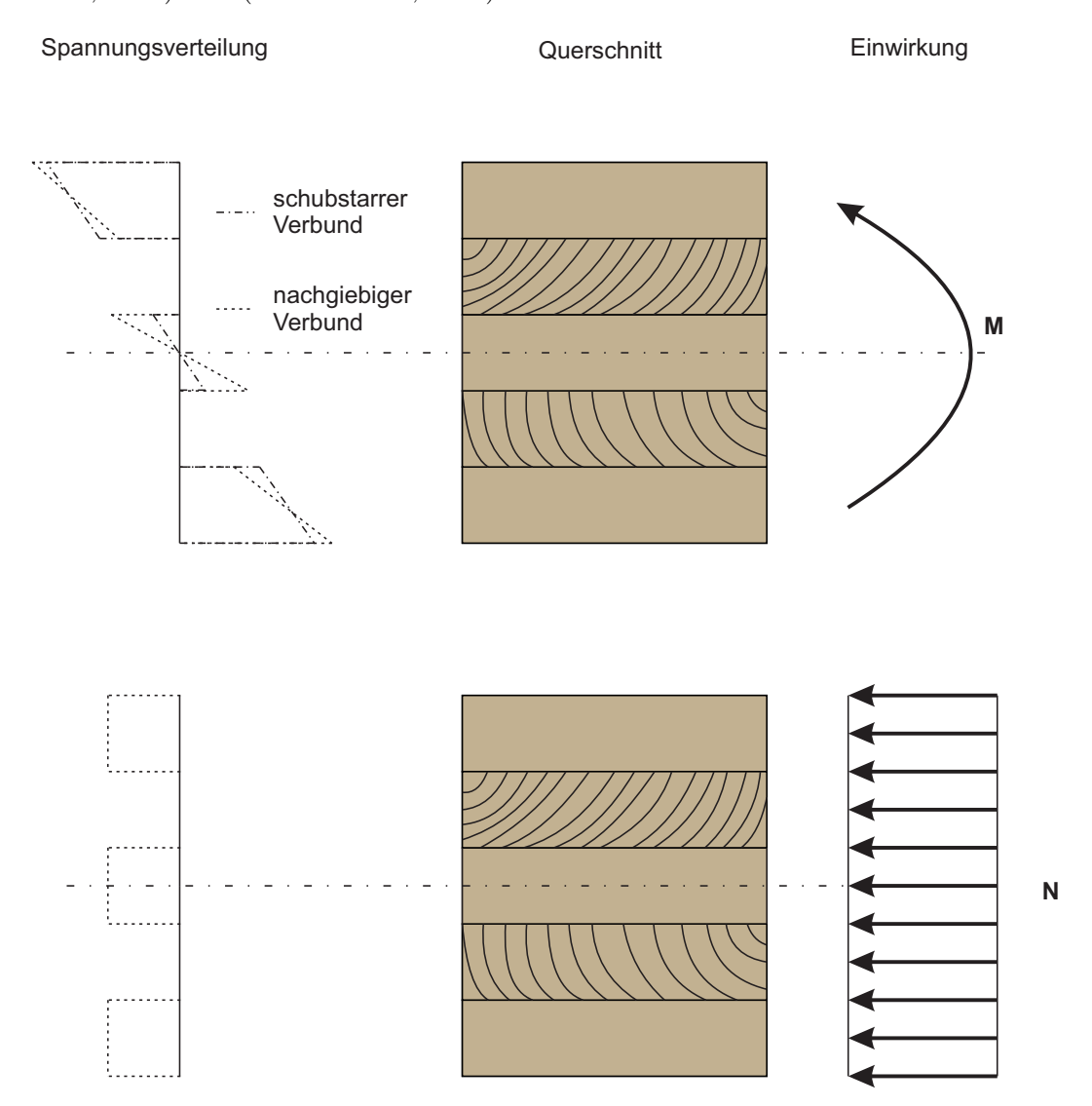
Abbildung 2.2: Herstellungsprozess von Brettsperrholz nach Wiegand et al. (2012)

#### 2.1.4 Tragwirkung

Brettsperrholz wird sowohl für nichttragende als auch für tragende Bauteile, wie Wände und Decken eingesetzt. Der Lastabtrag kann, in Abhängigkeit der Lagerungssituation und der Bauteilgeometrie, einachsig oder zweiachsig erfolgen. Die einzelnen Brettlagen werden durch die flächige Verklebung kraftschlüssig miteinander verbunden und es entsteht ein statisch wirkender Querschnitt. Das anisotrope Materialverhalten von Holz fließt in die Ermittlung der Spannungsverteilung mit ein. Um diesem Verhalten Rechnung zu tragen, sind nur jene Brettlagen zu berücksichtigen, deren Faserrichtung parallel zur betrachteten Beanspruchungsrichtung verlaufen. Den quer dazu verlaufenden Brettlagen werden auch bei einer optionalen Schmalseitenverklebung keine Spannungen zugewiesen, wie Abbildung 2.3 zeigt. Die Spannungsermittlung kann basierend auf der schubstarren Verbundtheorie, die Brettlagen sind in die jeweiligen Tragrichtungen starr miteinander verbunden und der Querschnitt bleibt

2.1. Brettsperrholz 7

eben, als auch unter Berücksichtigung des nachgiebiegen Verbund erfolgen. Nach Winter et al. (2008) ist die Berechnung nach der schubstarren Verbundtheorie bei einem Verhältnis von Spannweite zu Elementdicke größer 20 für baupraktische Zwecke hinreichend genau. Bei der Verformungsberechnung sollte der Einfluss der schubweichen Querlagen, und der daraus resultierenden Schubverformung, auf die Gesamtverformung miteinbezogen werden. Hierfür existieren verschiedene Berechnungsmöglichkeiten, zum Beispiel die Schubanalogie oder das Gamma-Verfahren, diese sind ausführlich in (Wallner-Novak et al., 2013), (Wallner-Novak et al., 2018) und (Winter et al., 2008) beschrieben.



**Abbildung 2.3:** Schematisierte Spannungsverteilung im Brettsperrholzquerschnitt bei Biegebzw. Normalkraftbeanspruchung nach Winter *et al.* (2008)

#### 2.2 Ultrahochfester Beton

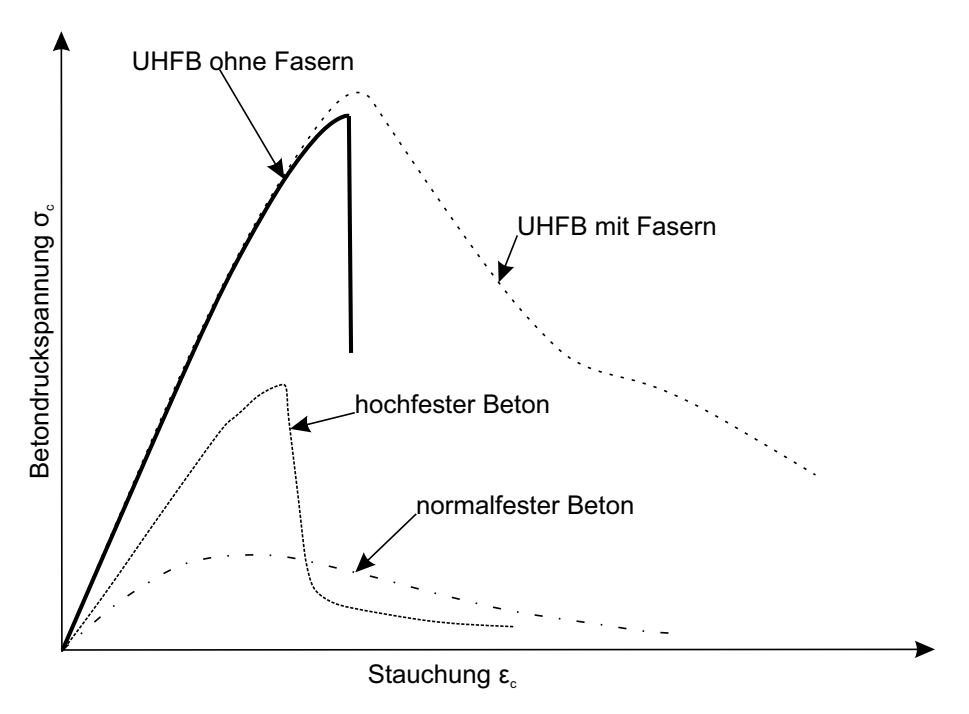
#### 2.2.1 Allgemein

In den vergangenen 20 Jahren entwickelten verschiedene Stellen ultrahochfesten Beton (UHFB) mit Druckfestigkeiten von bis zu 200 N/mm² zur Anwendungsreife. Noch ist die Entwicklung und Regelung dieses Werkstoffs nicht abgeschlossen, was sich dadurch zeigt, dass zur Zeit in Deutschland eine Richtlinie und international eine Norm erarbeitet wird. Der relativ junge Baustoff UHFB zeichnet sich besonders durch seine hohe Druckfestigkeit aus, welche durch eine praktisch kapillarporenfreie Zementsteinmatrix erreicht wird. Um dies zu erreichen sind bei der Herstellung von UHFB zusätzlich zu den klassischen Bestandteilen von Beton, Zement, Wasser und Gesteinskörnung, reaktive und/oder nicht reaktive Zusatzstoffe sowie Fließmittel und ggf. Stahlfasern zuzugeben. (Fehling et al., 2014)

In diesem Abschlussbericht wird nur eine sehr kurze Einführung gegeben, genaueres ist z. B. (Fehling *et al.*, 2014), (Lechner, 2018) und (Sagmeister, 2017) zu entnehmen.

## 2.2.2 Festbetoneigenschaften

Die Festbetoneigenschaften von UHFB unterscheiden sich deutlich von normalfestem Beton. Abbildung 2.4 zeigt typische Spannungs-Dehnungsbeziehungen von normal-, hoch- und ultra- hochfestem Beton. Zum einen erreicht der ultrahochfeste Beton eine deutlich höhere Bruchspannung von bis zu 200 N/mm², zum anderen unterscheidet sich die Art des Versagens. Während normalfester Beton unter eindimensionaler Druckbeanspruchung duktil versagt, ist das Versagen von UHFB spröde. Die Zugabe von Stahlfasern verbessert den Nachbruchbereich des ultrahochfesten Betons merklich. Der E-Modul liegt in einem Bereich von 45.000 bis 55.000 N/mm². Dieser ist damit ebenfalls höher als bei normalfestem Beton, was an dem steileren Anstieg der Spannungs-Dehnungslinie zu erkennen ist. Charakteristisch für ultrahochfesten Beton unter einaxialer Druckbeanspruchung ist die weitestgehend lineare Beziehung zwischen Spannung und Dehnung bis kurz vor erreichen der Bruchspannung. (Fehling et al., 2014)



**Abbildung 2.4:** Typische Spannungs-Dehnungslinien, normal-, hoch- und ultrahochfeste Betone nach Leutbecher (2008)

Neben der Druckfestigkeit ist auch die Zugfestigkeit von UHFB im Vergleich zu normalfestem Beton höher. Jedoch ist zu beachten, dass es keinen gültigen Materialkennwert "Zugfestigkeit" gibt, da diese von vielen Faktoren, z. B. der Prüfmethode, dem Probekörpervolumen, dem Maßstabseffekt und der Vorlagerungsart der Betonkörper abhängig ist. Neben der Zugfestigkeit ist auch die Oberflächenhaftzugfestigkeit des UHFB, aufgrund des dichten Porengefüges, höher als bei Normalbeton. Hierdurch eignet sich UHFB gut zum Verkleben. (Sagmeister, 2017)

# 3 Scherversuche

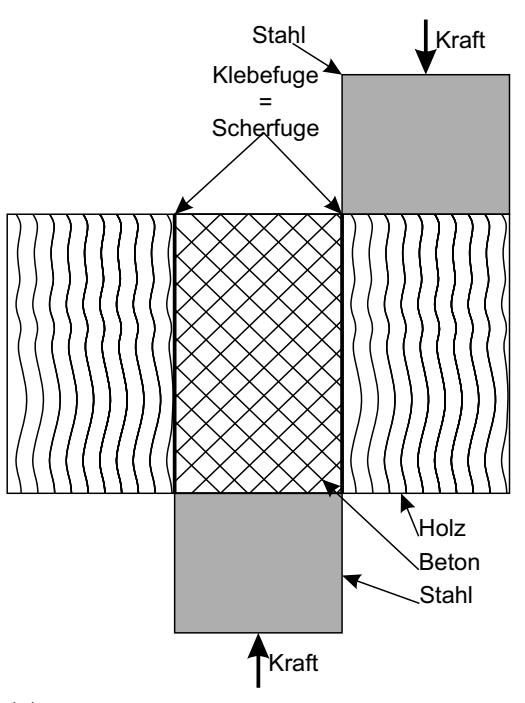
## 3.1 Allgemeines

Zu Beginn der Arbeit wurde anhand kleinformatiger Druckscherversuche geprüft, ob eine kraftschlüssige Verklebung von Holz und UHFB mit Klebstoffen, die bereits für die Herstellung tragender Holzbauteile auf Grundlage einschlägiger Normen zugelassen sind und in der Brettsperrholzherstellung Anwendung finden, möglich ist. Da unklar war, ob eine derartige Verklebung realisierbar ist, kamen weitere, entweder im Holzbau oder im Betonbau bereits eingesetzte Klebstoffe zum Einsatz. Die Versuche wurden in einem iterativen Prozess durchgeführt, bei jeder Serie wurden die Erkenntnisse aus den Vorgängerserien berücksichtigt.

### 3.2 Material und Methoden

#### 3.2.1 Versuchsaufbau

Der Versuchsaufbau für die Druckscherversuche ist in Anlehnung an DIN EN 16351 oder DIN EN 14080 jeweils Anhang D aufgebaut. Dieser besteht aus einer Schervorrichtung, durch welche die Prüfkraft auf den Körper übertragen wird. Um etwaige Schiefstellungen auszugleichen war eine Seite der Prüfvorrichtung mit einer Kalotte versehen. Abbildung 3.1 zeigt eine schematische Darstellung des Versuchsaufbaus sowie den gesamten Versuchsaufbau mit eingebautem Prüfkörper. Beim Einbau der Prüfkörper war darauf zu achten, dass die Klebefuge unmittelbar an das Stahlauflager anschließt. Das Abscheren fand parallel zur Faser statt.





- (a) Schematische Darstellung des Versuchsaufbaus
- (b) Versuchsaufbau mit eingebautem Prüfkörper aus Oberndorfer & Fischer (2018)

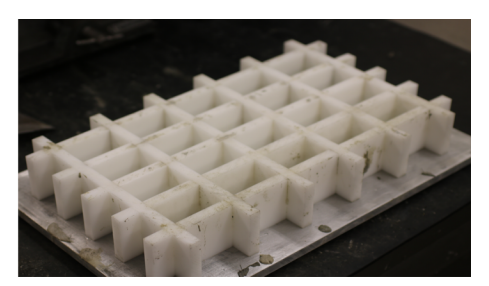
Abbildung 3.1: Versuchsaufbau der Druckscherversuche

#### 3.2.2 Versuchskörper

Die Versuchskörper waren aus drei Lagen aufgebaut. Eine Lage aus Beton war beidseitig mit Holz verklebt. Die einzelnen Lagen waren jeweils ca. 30 mm stark und die Würfel besaßen die Abmessungen von 50 mm x 50 mm. Die genauen Abmessungen jedes Prüfkörpers sind Anhang A zu entnehmen.

Das verwendete Holz wurde für die Herstellung einzelner Prüfkörper unmittelbar vor dem Verkleben gehobelt und auf Maß geschnitten. Ein Auftrennen größerer Verbundplatten in einzelne Prüfkörper wäre technologisch schwer umsetzbar gewesen und hätte sich auf die Prüfkörper im Hinblick auf einen Wassereintrag in das Holz oder einen Wärmeeintrag in das Holz und die Klebefuge als nachteilig erwiesen. Die Herstellung der Betons für die Prüfkörper erfolgte mit einem Mischer der Firma Hobart sowie einer eigens hergestellten Schalung aus Polyoxymethylen (POM), pro Betonage wurden 20 Betonscheiben hergestellt. Die beiden Vorrichtungen zeigt Abbildung 3.2.





(a) Hobart Mischer

(b) Schalung für Betonscheiben

Abbildung 3.2: Gerätschaften zur Herstellung der Betonscheiben

Vor dem Verkleben der Prüfkörper wurden die Oberflächen der Betonscheiben entweder schalglatt belassen und mit Aceton gereinigt, geschliffen oder sandgestrahlt. In Abbildung 3.3 sind die unterschiedlichen Oberflächen dargestellt. Bei den schalglatten Oberflächen konnte ein Unterschied festgestellt werden, ob die Schalung vor der Betonage eingefettet wurde oder nicht. Abbildung 3.3 zeigt oben rechts eine Oberfläche mit Verwendung von Schalfett, im Vergleich dazu ist oben links die Oberfläche einer ungefetteten Schalung zu sehen. Die Betonscheiben wurden mit einer Probenschleifmaschine der Firma "Form und Test" geschliffen. Zum Sandstrahlen kam Stahlschlacke mit einer Sieblinie von 0,6 bis 1,4 mm zum Einsatz. Die Strahldüse wurde von Hand geführt. Die Reinigung der mechanisch bearbeiteten Oberflächen erfolgte mit Druckluft sowie Wasser und Bürste.

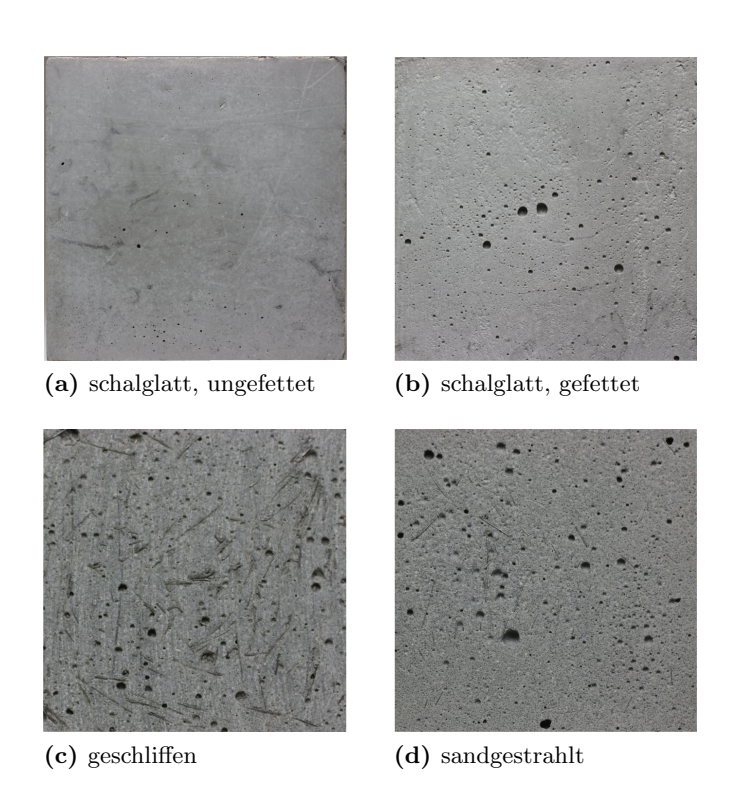


Abbildung 3.3: Unterschiedliche Betonoberflächen vor der Verklebung

Die von Hand aufgetragene Klebstoffmenge betrug bei allen Versuchskörpern 400  $g/m^2$ . Das Pressen der Prüfkörper erfolgte mit hydraulischen Zylindern bei einem Pressdruck von  $0,75\pm0,1~N/mm^2$ , welcher mindestens über die Mindestpressdauer gemäß Herstellerangaben konstant gehalten wurde. Abbildung 3.4 zeigt das hydraulische Pressbett beim Pressen von Versuchskörpern.



Abbildung 3.4: Herstellung - Aufbringen des erforderlichen Pressdrucks

Pro Serie, d. h. aus jeder Kombination der unterschiedlichen Klebstoffe, Betone und Betonoberflächen, wurden acht Scherflächen untersucht. Insgesamt ergab sich ein Prüfumfang von 38 Serien.

#### 3.2.3 Material

Für die Prüfkörper wurde aus Fichtenholzlamellen der Festigkeitsklasse C24 nach DIN EN 338 fehler- und astfreie Abschnitte mit geradem Faserverlauf ausgekappt. Der Mittelwert der Rohdichte über alle Prüfkörpern gemittelt betrug 413 kg/m³ bei einer Standardabweichung von 31 kg/m³. Die Holzfeuchte, die Jahrringlage und die Jahrringbreite sind Anhang A zu entnehmen.

Insgesamt kamen drei Betone zum Einsatz. Zwei wurden mittels eines Compounds sowie den dazugehörigen Zusatzstoffen hergestellt, die dritte Mischung war eine Labormischung, bei der alle erforderlichen Stoffe von Hand gemischt waren. Es wurden Betone mit und ohne Stahlfasern untersucht. Der Mittelwert (Mw), sowie die Standardabweichung (Std) der Materialeigenschaften für die einzelnen Betone C1 bis C3 können Tabelle 3.1 entnommen

werden. Die Materialeigenschaften wurden an Luft gelagerten Prismen mit Abmessungen von 40 mm x 40 mm x 160 mm bestimmt.

Tabelle 3.1: Festbetoneigenschaften der Druckscherversuche

	Druckfestigkeit	Biegezugfestigkeit	
	$[{ m N/mm^2}]$	$[{ m N/mm^2}]$	
Beton	Mw Std	Mw Std	
C1 ohne Fasern (C1oF)	112,51 5,01	14,22 0,17	
C1 mit Fasern (C1)	150,19 5,29	17,39 1,98	
C2 mit Fasern (C2)	245,52 11,64	36,73 0,77	
C3 mit Fasern (C3)	217,37 1,13	$42,\!30$ $2,\!22$	

Folgende Klebstoffe wurden hinsichtlich ihrer Eignung untersucht, für jede Klebstoffart kam ein Typ zum Einsatz:

- Ein-Komponenten Polyurethanklebstoff (PU)
- Melamin Urethan Formaldehydharz (MUF)
- Phenolresorcinformaldehydharz (PRF)
- Zwei-Komponenten Polyurethangießharz (PUR)
- Epoxidharz (EP)

#### 3.2.4 Messtechnik

Während des Versuchs zeichnete die Prüfmaschine die aufgebrachte Kraft auf. Das Bruchbild wurde in Anlehnung an DIN EN 14080 Anhang D augenscheinlich bewertet. Neben dem reinen Faserbruchanteil wurde ebenso der Betonbruchanteil und der Klebstoffbruchanteil beurteilt.

#### 3.2.5 Versuchsdurchführung

Die Druckscherversuche in Anlehnung an DIN EN 14080 Anhang D wurden mit einem 50 kN Hydraulikzylinder weggeregelt und mit einer Geschwindigkeit von 6 mm/min durchgeführt.

## 3.3 Ergebnisse und Interpretation

#### 3.3.1 Allgemeines und Bezeichnung

Dieser Abschnitt gliedert sich in drei Unterabschnitte. In den Unterabschnitten eins und zwei werden die erzielten Ergebnisse für die mit PU bzw. MUF verklebten Prüfkörper detailliert dargestellt. In Unterabschnitt drei sind in verkürzter Form die Ergebnisse der mit PRF, EP und PUR verklebten Prüfkörper aufgeführt, da es sich hier um Klebstoffe handelt die im Baubereich bereits eingesetzt werden, jedoch keine Standardklebstoffe der Brettsperrholzherstellung sind. Die bei den Versuchsbezeichnungen verwendeten Abkürzungen zeigt Abbildung 3.5.

```
Oberfläche:
1 - schalglatt
2 - geschliffen
3 - sandgestrahlt

C1_1_PU

Reference

EP - Epoxidharz
PUR - Zwei-Komponenten Polyurethan Gießharz

PUR - Zwei-Komponenten Polyurethan Gießharz

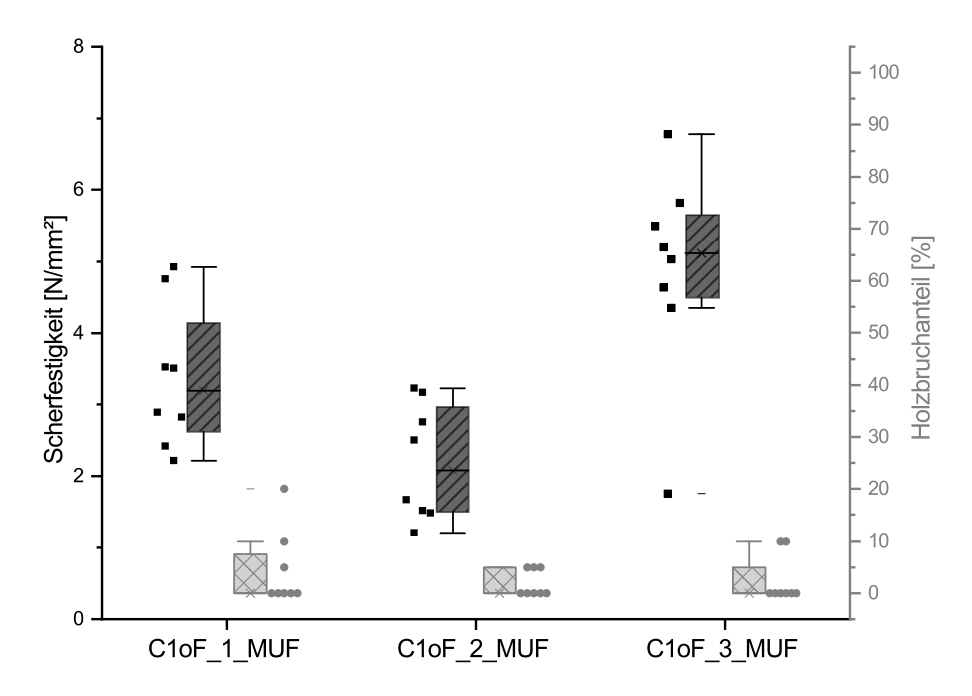
EP - Epoxidharz
PUR - Zwei-Komponenten Polyurethan Gießharz

Beton:
C1oF - Compound C1 ohne Fasem
C1 - Compound C1
C2 - Compound C2
C3 - Labormischung C3
```

Abbildung 3.5: Versuchsbezeichnung der Scherversuche

### 3.3.2 Verklebung mit Melamin Urethan Formaldehydharz

Abbildung 3.6 zeigt die Ergebnisse der mit MUF verklebten Prüfkörper. Die Scherfestigkeit ist auf der linken y-Achse in schwarz und der Holzbruchanteil auf der rechten y-Achse in grau aufgetragen. Als Holzbruch wird gewertet, wenn klar ersichtlich Holzfasern auf dem Beton haften. Im Boxplotdiagramm sind das Minimum und das Maximum, das 25 % und 75 % Quantil sowie der Median dargestellt. Links bzw. rechts daneben sind in Punkten die Rohdaten gezeigt. Ein Versuch wird als gut bezeichnet, wenn ein hoher Wert an Holzbruchanteil vorliegt und eine hohe Scherfestigkeit aufweist.



**Abbildung 3.6:** Scherfestigkeit und Holzbruchanteil der mit Melaminharz und Beton aus Compound 1 ohne Stahlfasern verklebten Prüfkörper für die drei unterschiedlichen Betonoberflächen

Die erreichte Scherfestigkeit liegt bei den Versuchskörpern mit schalglatter und geschliffener Oberfläche zwischen ca. 1,0 N/mm² und 5,0 N/mm². Bei der sandgestrahlten Oberfläche fällt die Scherfestigkeit im Bereich zwischen 5,0 N/mm² und 7,0 N/mm² etwas höher aus, jedoch gibt es einen Ausreißer mit 2,0 N/mm². Unabhängig von der verwendeten Betonoberfläche beträgt der Holzbruchanteil maximal 20 %, wie beispielsweise in Abbildung 3.7 dargestellt.



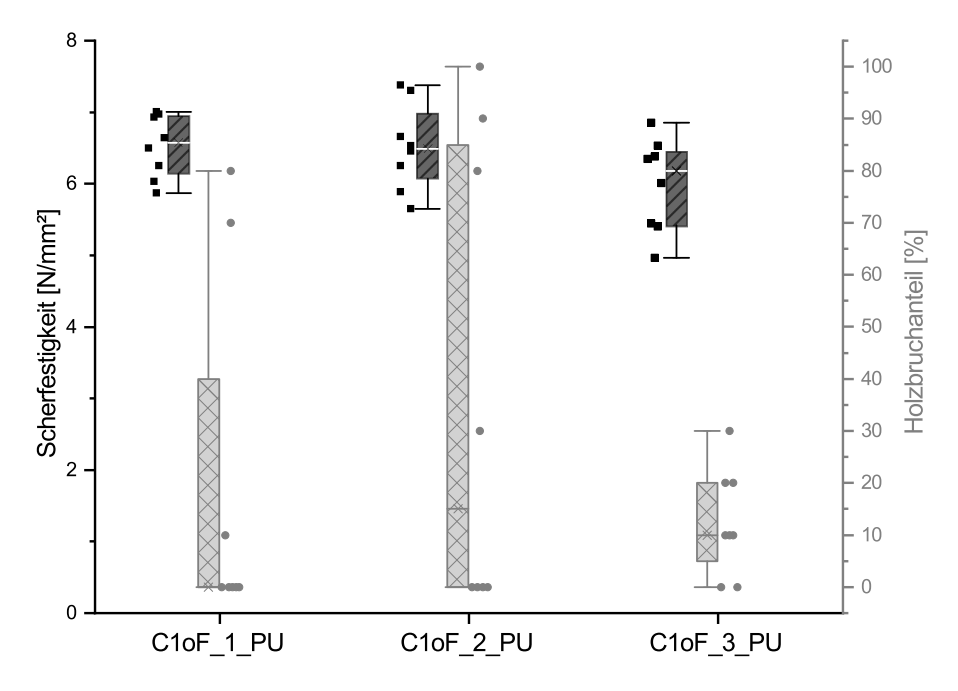
Abbildung 3.7: Zwei beispielhafte Bruchbilder einer Verklebung mit Melaminharz

Das oben gezeigte Verhalten deutet wegen der geringen Scherfestigkeit sowie des geringen Holzbruchanteils auf einen geringen Haftverbund zwischen Klebstoff und Betonober-

fläche hin. Eine mögliche Erklärung hierfür kann sein, dass MUF ein saures Milieu zum Aushärten benötigt und der Beton hoch alkalisch ist (Dunky & Niemz, 2002). Dadurch wird der Aushärtungsprozess des Klebstoffs gestört und es stellt sich eine unzureichende Verbindung mit dem Beton ein. Deshalb wird der MUF in den folgenden Versuchen nicht weiter betrachtet.

#### 3.3.3 Verklebung mit Ein-Komponenten Polyurethanklebstoff

In Abbildung 3.8 sind die erzielten Ergebnisse der Versuche mit einem PU und dem nicht faserverstärkten Beton dargestellt. Die Mediane der erzielten Scherfestigkeit liegen bei ca.  $6.5 \text{ N/mm}^2$  bei der schalglatten und der geschliffenen Oberfläche, während bei der sandgestrahlten Oberfläche ein geringfügig niedrigerer Wert erzielt wurde. Die Holzbruchanteile schwanken zwischen 0 % und 100 %, die Mediane liegen im Bereich von 0 % bis etwa 15 %.



**Abbildung 3.8:** Scherfestigkeit und Holzbruchanteil der mit Polyurethan und Beton aus Compound 1 ohne Stahlfasern verklebten Prüfkörper für die drei unterschiedlichen Betonoberflächen

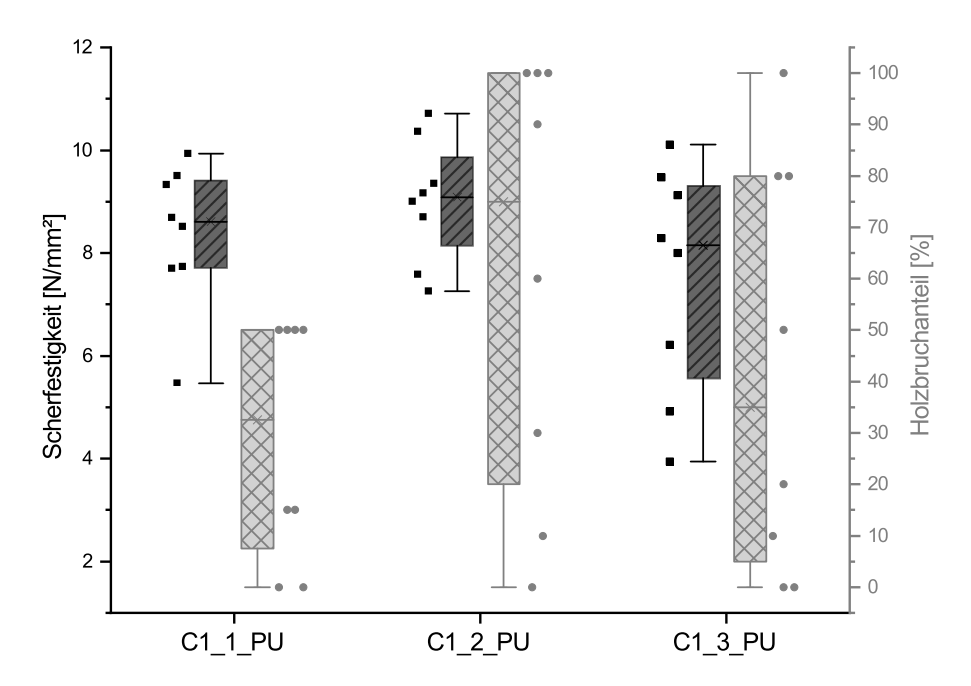
Neben Holzausbruch war auch Betonausbruch zu beobachten. Der Mittelwert des Betonausbruchs betrug bei der schalglatten Oberfläche 62,5~% und bei der geschliffenen Oberfläche 56,9~%. Dies ist auch in den dargestellten Bruchbildern in Abbildung  $3.9~\rm zu$  erkennen. Links im Bild ist ein Bruchbild mit einem geschätzten Holzbruchanteil von 70~% und rechts im Bild ein Betonbruchanteil von 60~% zu sehen.



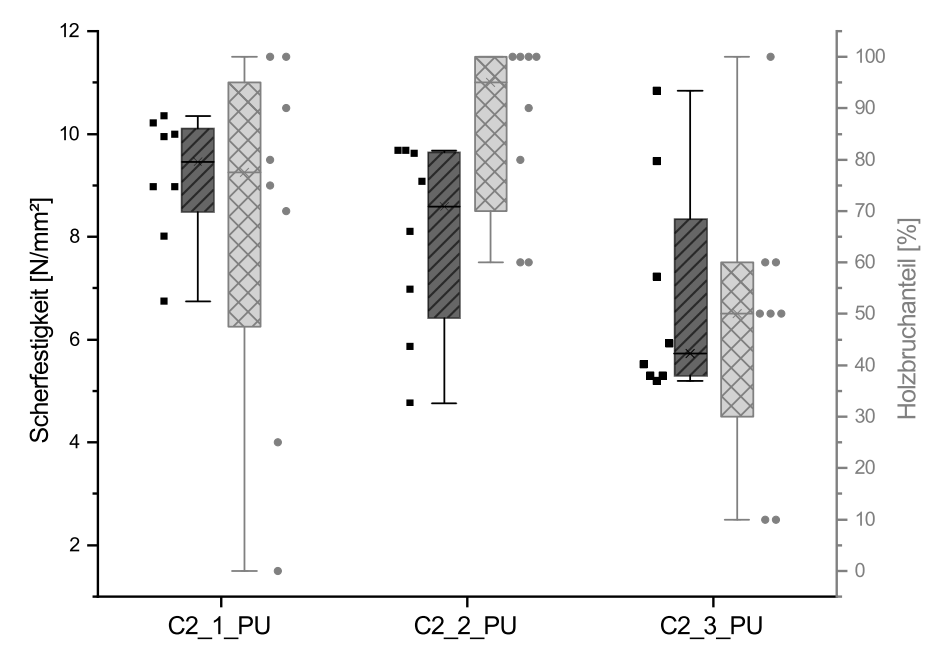


**Abbildung 3.9:** Zwei beispielhafte Bruchbilder der Kombination aus PU mit nicht faserverstärktem Beton

Die Abbildungen 3.10 und 3.11 zeigen die Versuchsergebnisse mit den faserbewehrten Betonen. Unabhängig vom Beton liegen die Mediane der Scherfestigkeiten bei ca. 9,0 N/mm² bei der schalglatten und bei der geschliffenen Oberfläche. Bei der sandgestrahlten Oberfläche liegt der Scherfestigkeitsmedian niedriger, bei ca. 8,0 N/mm² bei Beton C1 und ca. 6,0 N/mm² bei Beton C2. Die Mediane des Holzbruchanteils liegen bei Beton C1 bei ca. 75 % und bei Beton C2 bei ca. 95 %. Im Vergleich zu Beton C2 ist der Interquantilabstand bei Beton C1 größer. Es zeigt sich, dass der Holzbruchanteil bei den schalglatten Oberflächen kleiner ist und in einem größeren Bereich streut als bei der geschliffenen Oberfläche. Bei den sandgestrahlten Oberflächen stellt sich ein Holzbruchanteil von 35 % bei Beton C1 und von 50 % bei Beton C2 ein. Ebenso schwanken hier die Einzelwerte in einem Bereich zwischen 0 % und 100 %.



**Abbildung 3.10:** Versuchsergebnisse Ein-Komponenten Polyurethanklebstoff mit Beton C1 für unterschiedliche Betonoberflächen



**Abbildung 3.11:** Versuchsergebnisse Ein-Komponenten Polyurethanklebstoff mit Beton C2 für unterschiedliche Betonoberflächen

Eine mögliche Erklärung für die im Vergleich zur schalglatten und geschliffenen Oberfläche geringen Scherfestigkeit in Kombination mit den geringen Holzbruchanteilen bei der sandgestrahlten Oberfläche ist, dass die Rautiefen nach dem Sandstrahlen die zulässigen Klebefugen-

dicken überschreiten und der Klebstoff aus diesem Grund keinen ausreichenden Haftverbund mehr ausbilden kann.

# 3.3.4 Verklebung mit Phenolresorcinformaldehydharz, Epoxidharz und Zwei-Komponenten Polyurethangießharz

Tabelle 3.2 führt den Median der Scherfestigkeit in [N/mm²] und des Holzbruchanteils in [%] für die mit PRF, EP und PUR verklebten Prüfkörper für die unterschiedlichen Betone und Betonoberflächen auf. PRF scheint sich nicht zur Verklebung von Holz und ultrahochfestem Beton zu eignen, was sich an den niedrigen Scherfestigkeiten und geringen Holzbruchanteilen zeigt. Ähnliches wird auch von Schäfers (2010) berichtet. Bei der Verklebung mit EP konnten gute Ergebnisse, mit Scherfestigkeiten um 8,0 N/mm² und Holzbruchanteilen zwischen 45% und 80% erzielt werden. Hier scheint sich Beton C1 unabhängig von der verwendeten Betonoberfläche besser zu eignen als Beton C2. Die mit PUR verklebten Prüfkörper erzielten Scherfestigkeiten von bis zu 9,1 N/mm² bei einem Holzbruchanteil zwischen 30% und 82,5%. Auch dieser Klebstoff scheint für eine Verklebung von Holz und Beton geeignet zu sein. Die Ergebnisse sind in Anhang A als Boxplot Diagramme dargestellt, ebenso wie die expliziten Versuchsdaten.

**Tabelle 3.2:** Median der Scherfestigkeit (SF) [N/mm<sup>2</sup>] und des Holzbruchanteils (HB) [%] für mit PRF, EP und PUR verklebte Prüfkörper

		Oberfläche		
		schalglatt	geschliffen	sandgestrahlt
Klebstoff	Beton	SF HB	SF HB	SF HB
PRF	C1 ohne Fasern	5,9 10,0	6,6 40,0	7,0 22,5
	С3	4,6 10,0	7,5 27,5	5,1 10,0
EP	C1	9,5 60,0	8,8 80,0	8,8 67,5
	C2	7,3 45,0	8,1 67,5	8,0 55,0
PUR	C1	9,1 70,0	9,0 45,0	8,5 30,0
	C2	9,0 65,0	8,8 82,5	8,5 50,0

3.4. Zwischenfazit 21

#### 3.4 Zwischenfazit

Für die Verklebung von Holz mit UHFB scheint sich MUF nicht zu eignen, was in den sehr niedrigen Scherfestigkeiten und Holzbruchanteilen begründet ist. Damit wird dieses Klebstoffsystem, dass für die Herstellung von Brettsperrholz zugelassen und industriellen Maßstab angewendet wird, bei den weiteren Untersuchungen nicht weiter betrachtet. Mit dem PU-Klebstoffsystem konnten zufriedenstellende Scherfestigkeiten und Holzbruchanteile erzielt werden. Dieses zugelassene Klebstoffsystem, das im industriellen Maßstab für die Herstellung von BSP eine breite Verwendung findet, wirkt besonders gut bei geschliffenen Oberflächen. Bei schalglatten und gereinigten Oberflächen können die erzielten Ergebnisse sehr schwanken. Die hier eingesetzten sandgestrahlten Oberflächen zeigten im Vergleich zu den beiden anderen Oberflächen schlechtere Ergebnisse. Aus diesen Gründen wurden die weiteren Untersuchungen mit einem PU, mit den Betonen C1 und C2 mit schalglatter und geschliffener Oberfläche durchgeführt. Der zugelassene PRF-Klebstoff, der für die Brettsperrholzherstellung kaum Anwendung findet, zeigt bei mittleren Scherfestigkeiten geringe Holzbruchanteile, daher wird dieses Klebstoffsystem aus den weiteren Untersuchungen ausgeschlossen. Die beiden Gießharzsysteme EP und PUR werden auf Grundlage der guten Scherfestigkeiten in Verbindung mit hohen Holzbruchanteilen bei den Delaminierungsversuchen mit betrachtet. Für die Herstellung von Wandbauteilen werden diese Klebstoffsysteme jedoch nicht weiter betrachtet, da dies zusätzliche Bearbeitungsschritte erfordern würde, was der Zielsetzung der Arbeit entgegen steht.

# 4 Delaminierversuche

# 4.1 Allgemeines

Hauptaugenmerk dieses Forschungsprojektes lag auf der Machbarkeit und dem kurzzeitigen Tragverhalten von Wandbauteilen mit zusammengesetztem Querschnitt. Mittels Delaminierungsversuchen sollte zu einem frühen Projektzeitpunkt untersucht werden, ob mit den in Frage kommenden Klebstoffsystemen auch eine dauerhafte Verklebung von Holz und Beton möglich ist. Hierbei wird im Holz ein Feuchtegefälle erzeugt, was zu Zugspannung senkrecht zur Klebefuge führt. Bei ungenügendem Haftverbund der Verklebung tritt Delaminierung auf und die Schichten lösen sich teilweise voneinander. Diese Versuche stellen aufgrund des geringen Probenumfangs nur Tastversuche dar und können lediglich Tendenzen aufzeigen.

### 4.2 Material und Methoden

#### 4.2.1 Versuchsaufbau

Da der Aufbau von herkömmlichen Brettsperrholz hier als Grundlage zu verstehen ist, sollten sich die Prüfverfahren wesentlich an dem in DIN EN 16351 beschriebenen Verfahren orientieren. Für die Delaminierungsprüfung ist dies das Verfahren nach Anhang A in DIN EN 16351. Das dort beschriebene Verfahren kann aber nicht bedenkenlos angewendet werden, insbesondere, weil bei der Wässerungsphase mit Über- und Unterdruck gearbeitet wird. Es besteht die Gefahr, dass auf Grund der sehr dichten Gefügestruktur des Betons, dieser durch die sehr starken Druckwechsel Schaden nehmen und das Resultat verfälschen würde. Dazu wurde für die Wässerungsphase das alternativ für die Delaminierungsprüfungen für Keilzinken nach DIN EN 14080 Anhang B.3 oder DIN EN 301 Anhang A verwendete Verfahren angewendet.

Der Versuchsaufbau für die Delaminierungsversuche bestand aus drei Teilen. Zum einen aus zwei Wasserbädern, eines davon brachte Wasser zum Kochen und hielt die Wassertemperatur aufrecht, das andere Wasserbad war mit  $20^{\circ}$  C kaltem Wasser gefüllt. Zum anderen aus einem

Ofen zum Trocknen der Prüfkörper bei dem die Temperatur und die Luftzirkulation geregelt werden konnte.

#### 4.2.2 Versuchskörper

Die dreilagig aufgebauten Prüfkörper mit Abmessungen von 10 cm x 10 cm sind in Abbildung 4.1 zu sehen. Die 30 mm dicken Betonscheiben wurden aus größeren Betonlamellen, welche in einer Stahlschalung hergestellt waren, herausgetrennt. Das aufgeklebte Holz hatte eine Dicke von ca. 40 mm. Die genauen Prüfkörperabmessungen sind in Anhang B aufgeführt. Die Oberflächenbehandlung von Holz und Beton sowie die Verklebung war affin zu den Scherversuchen, siehe Abschnitt 3.2.2. Die sandgestrahlte Betonoberfläche wurde auf Grund der Erkenntnisse aus den Scherversuchen nicht weiter untersucht. Nach dem Verkleben betrug die Aushärtedauer bei allen Prüfkörpern ca. 14 Tage, bevor die Prüfkörper weiter bearbeitet wurden. Damit die Hirnholzflächen wie in Abbildung 4.1 gut zu erkennen waren, wurden alle Flächen von Hand mit einem Trennschleifer geschliffen. Die Prüfkörperbezeichnung ist analog zu den Scherversuchen. Die letzte Ziffer gibt an, um welchen Prüfkörper es sich handelt. Pro Kombination aus Beton, Klebstoff und Oberfläche wurden 2 Prüfkörper geprüft, es ergeben sich pro Serie 4 Klebefugen.



Abbildung 4.1: Prüfkörper Delaminierungsversuche

#### 4.2.3 Material

Die Festbetoneigenschaften, Mittelwert (Mw) und Standardabweichung (Std) der verwendeten Betone C1 und C2 sind in Tabelle 4.1 aufgeführt.

238,9

7,8

Tabelle 4.1: Festbetoneigenschaften Delaminierungsversuche

Für die Prüfkörper wurde aus, unter Normklima gelagerten, Lamellen der Festigkeitsklasse C24 nach DIN EN 338 fehler- und astfreie Abschnitte mit geradem Faserverlauf ausgekappt. Aufgrund der vielversprechenden Ergebnisse aus den Scherversuchen wurde ein PU, ein PUR sowie ein EP untersucht.

3,4

31,3

#### 4.2.4 Messtechnik

C2

Als Messtechnik wurden eine Waage, zum Wiegen der Prüfkörper während des Trocknens, sowie ein Stahllineal, zum Aufzeichnen der Länge der Fugenöffnungen, verwendet.

#### 4.2.5 Versuchsdurchführung

Die Versuchsdurchführung erfolgte in Anlehnung an DIN EN 301 Anhang A. Die Prüfkörper kochten sechs Stunden in Wasser, lagerten eine Stunde in  $20^{\circ}$  C kaltem Wasser und wurden anschließend in einem Ofen bei einer Temperatur von  $60\pm3^{\circ}$  C getrocknet. Normgerecht sind die Prüfkörper auf eine Holzfeuchte von 19 %, mindestens jedoch 18 Stunden zu trocknen. Anhand der gewogenen Prüfkörper wurde auf die Holzfeuchte zurückgeschlossen. Das Zielgewicht bei 19 % Holzfeuchte ergab sich nach Gleichung 4.1, wobei das Gewicht des Klebstoffs unberücksichtigt blieb und die Masse des Betons als konstant betrachtet wurde. Grundlage für die Berechnung war die Annahme, dass das Holz vor dem Verkleben eine Holzfeuchte von 12 % besaß.

$$m_{Ziel} = \frac{m_{Pruefk.} - m_{Beton}}{1,12} \cdot 1,19 + m_{Beton}$$

$$\tag{4.1}$$

mit:

 $m_{Ziel}$  Zielgewicht nach dem Trocknen

 $m_{Pruefk}$ . Gewicht des Prüfkörpers vor der Versuchsdurchführung bei 12 % Holzfeuchte

 $m_{Beton}$  Gewicht des Betons

Die Prüfkörper trockneten im Ofen und wurden anschließend gewogen. Besaßen diese ein geringeres Gewicht als das Zielgewicht bei 19 % Holzfeuchte endete der Trocknungsvorgang, unabhängig von der Dauer. Das Anzeichnen von Fugenöffnungen fand unmittelbar im Anschluss statt, dabei wurden die Kriterien in Anlehnung an DIN EN 16351 Anhang A angewendet.

## 4.3 Ergebnisse und Interpretation

Die Trocknungsdauer der Prüfkörper im Ofen betrug ca. 16 Stunden, die minimale Trocknungsdauer von 18 Stunden wurde wegen der deutlichen Unterschreitung der Zielfeuchte nicht berücksichtigt. Das anschließende Wiegen ergab, dass das Gewicht der Prüfkörper unter dem Ausgangsgewicht lag. Der Trocknungsvorgang wurde beendet und die Fugenöffnungen angezeichnet. Damit ließ sich die Delaminierung in [%] bezogen auf die Fugenlänge nach Gleichung 4.2 berechnen (DIN EN 16351).

$$D = \frac{l_1}{l_2} \cdot 100 \tag{4.2}$$

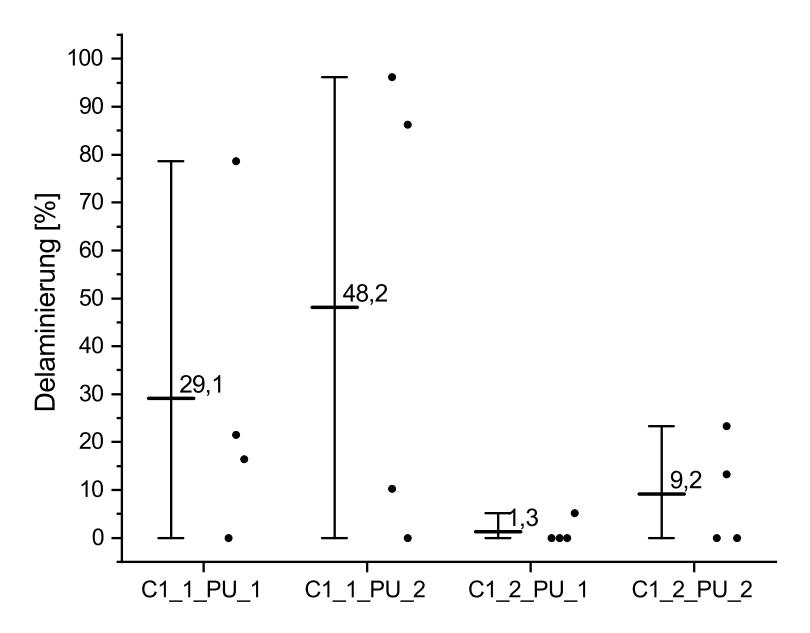
mit:

D Delaminierung [%]

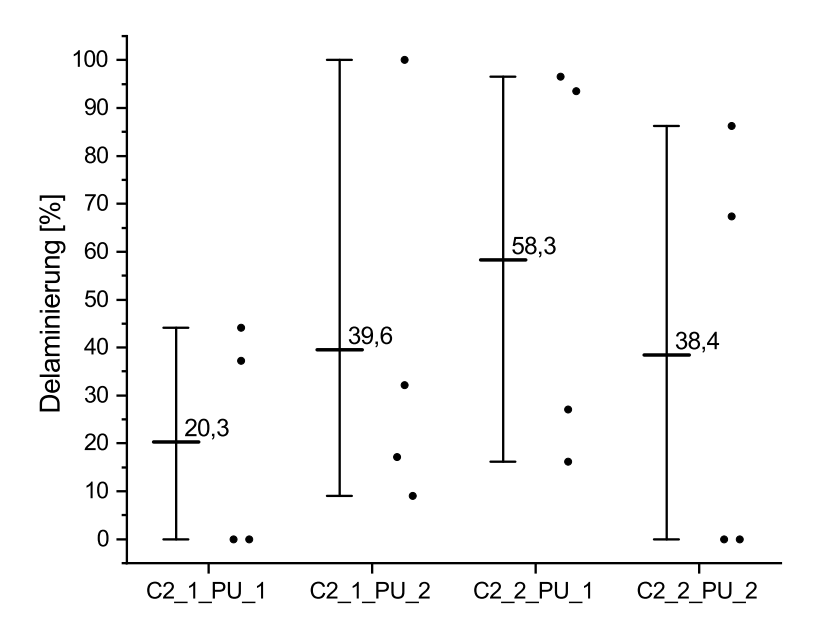
 $l_1$  Gesamtlänge der Fugenöffnung [mm]

 $l_2$  Gesamtlänge der Fuge [mm]

Die Abbildungen 4.2 und 4.3 zeigen die Ergebnisse der mit PU verklebten Prüfkörper mit Beton C1 und C2. In den Diagrammen sind der Minimal- und Maximalwert sowie der Mittelwert und rechts daneben die Verteilung der Rohdaten dargestellt. Als Rohdaten sind die Prozentsätze der Delaminierung für jede einzelne der vier Fugen eines Prüfkörpers bezeichnet. Bei den Versuchen mit Beton C1 liegen die Mittelwerte der Delaminierung bei der schalglatten Oberfläche für die zwei Prüfkörper bei 29,1 % und 48,2 %. Hingegen sind die Mittelwerte bei der geschliffenen Oberfläche mit 1,3 % und 9,2 % deutlich geringer. Ebenfalls ist bei der geschliffenen Oberfläche die Streuung zwischen den Extremalwerten deutlich geringer. Die Mittelwerte der Delaminierung schwanken bei den Versuchen mit Beton C2 in einem Bereich, zwischen 20,3 % und 58,3 %. Bei Beton C2 ist jedoch die Streuung der einzelnen Ergebnisse größer als bei den Versuchen mit Beton C1. So liegen die Extrema bei Beton C2 meist bei 0 % am unteren Rand oder 100 % am oberen Rand. Lediglich Versuch C2\_1\_PU\_1 besitzt mit ca. 45 % Delaminierung ein verhältnismäßig geringen Maximalwert.



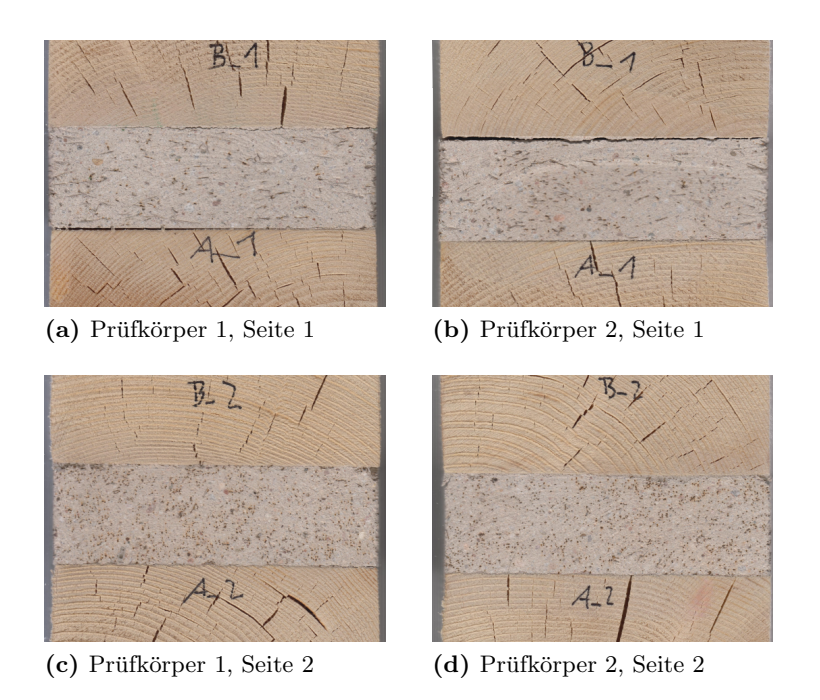
**Abbildung 4.2:** Ergebnisse Beton C1 mit PU-Klebstoff für die zwei verwendeten Betonoberflächenbehandlungen



**Abbildung 4.3:** Ergebnisse Beton C2 mit PU-Klebstoff für die zwei verwendeten Betonoberflächenbehandlungen

Abbildung 4.4 zeigt die Klebefugen der geprüften Körper aus Beton C1 mit schalglatter Oberfläche und verklebt mit PU. Zu erkennen ist, dass sich die zwei Seiten eines Prüfkörpers unabhängig voneinander verhalten können. Das äußerte sich dadurch, dass die Fuge auf einer Seite des Prüfkörpers vollständig geöffnet sein konnte, während hingegen bei der gleichen Fuge auf der anderen Seite des Prüfkörpers keine Fugenöffnung auftrat.

4.4. Zwischenfazit 27



**Abbildung 4.4:** Prüfkörper aus Beton C1 mit schalglatter Betonoberfläche verklebt mit PU nach dem Trocknungsvorgang

Bei den Versuchen mit dem PUR Klebstoff öffnete sich bei den meisten Prüfkörpern bereits nach mehreren Stunden im kochenden Wasser die Fuge vollständig und die drei Schichten lagen einzeln vor. Die Verklebung mit Epoxidharz lieferte im Vergleich hierzu bessere Ergebnisse. Mit der geschliffenen Oberfläche konnten bei der Verklebung mit Epoxidharz geringere Werte der Delaminierung erzielt werden als bei der schalglatten Oberfläche. Die Ergebnisse sind an dieser Stelle kurz aufgeführt, da es sich hierbei jedoch um Klebstoffe handelt, die nicht standardmäßig in der Brettsperrholzherstellung verwendet werden, sind die Ergebnisse detailliert Anhang B zu entnehmen.

# 4.4 Zwischenfazit

Bei diesen Untersuchungen zeigten sich deutliche Unterschiede bei den verwendeten Klebstoffen und Betonen. Insbesondere erscheint die Verwendung von Beton C1 mit einer geschliffenen Oberfläche in Kombination mit einem PU vielversprechend. In Verbindung mit der Einschätzung aus Abschnitt 3.4 wird für die Herstellung von Wandbauteilen und für weitere Untersuchungen lediglich das PU-Klebstoffsystem Anwendung finden.

# 5 Verbundversuche

# 5.1 Allgemeines

Die in Kapitel 3 beschriebenen kleinformatigen Scherversuche dienten dazu, die grundsätzliche Verklebungseignung von Beton, Holz und Klebstoffen, sowie die Machbarkeit der Verklebung, zu untersuchen. Bei der Herstellung kleinformatiger Prüfkörper kann es zu prozesstechnischen Ungenauigkeiten in der Ausbildung der Klebfuge, insbesondere der Klebfugendicke, kommen. Um den Einfluss prozesstechnischer Ungenauigkeiten zu reduzieren und um das Verbindungsverhalten selbst zu untersuchen wurden die hier beschriebenen Verbundversuche mit größerer Klebefugenlänge durchgeführt. Wie Abbildung 5.1 zeigt, ist das Verbindungsverhalten einzelner Teilquerschnitte eines zusammengesetzten Bauteils, sowohl für die Spannungsverteilung in jedem Teilquerschnitt, als auch für die Steifigkeitseigenschaften des Gesamtbauteils, von Bedeutung. Bei starrem Verbund der einzelnen Teilquerschnitte verhält sich der Gesamtquerschnitt homogen und es tritt keine Relativverschiebung zwischen den einzelnen Teilquerschnitten auf. Ist hingegen kein Verbund vorhanden, wirkt jeder Teilquerschnitt für sich selbst und es tritt, insbesondere an den Rändern, eine große Relativverschiebung auf. Der nachgiebige Verbund stellt eine Mischlösung dar. In Abhängigkeit der Verbindungssteifigkeit bildet sich die Spannungsverteilung in den einzelnen Teilquerschnitten aus und an den Rändern tritt eine Relativverschiebung auf.

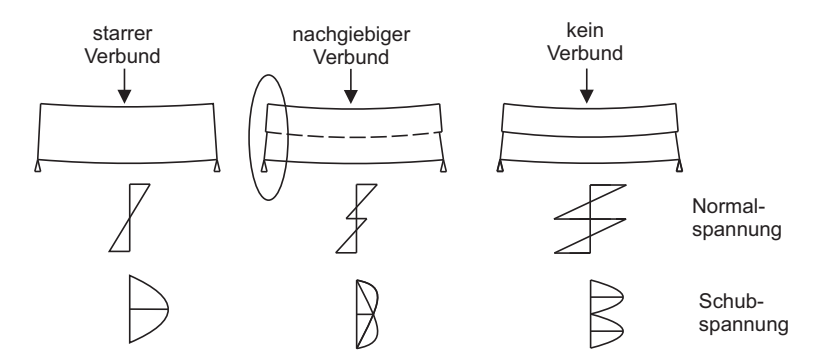


Abbildung 5.1: Auswirkung des Verbunds auf die Spannungsverteilung nach Winter et al. (2008)

# 5.2 Material und Methoden

#### 5.2.1 Versuchsaufbau

Das Verbindungsverhalten und die Eignung größerer Verklebungslängen wurde in Anlehnung an DIN EN 408 mit um 14° geneigten Druckscherversuchen untersucht. Den dazugehörigen Versuchsaufbau zeigt Abbildung 5.2. Hierzu waren zwei Stahlplatten in einer Standardprüfmaschine befestigt, die untere war mit einem Stahlprofil versehen, welches sicherstellte, dass die Prüfkörper immer gleich eingebaut waren. Ein auf den Prüfkörper aufgesetzter Stahlschuh glich die Neigung aus und leitete die Kraft in den Prüfkörper ein.

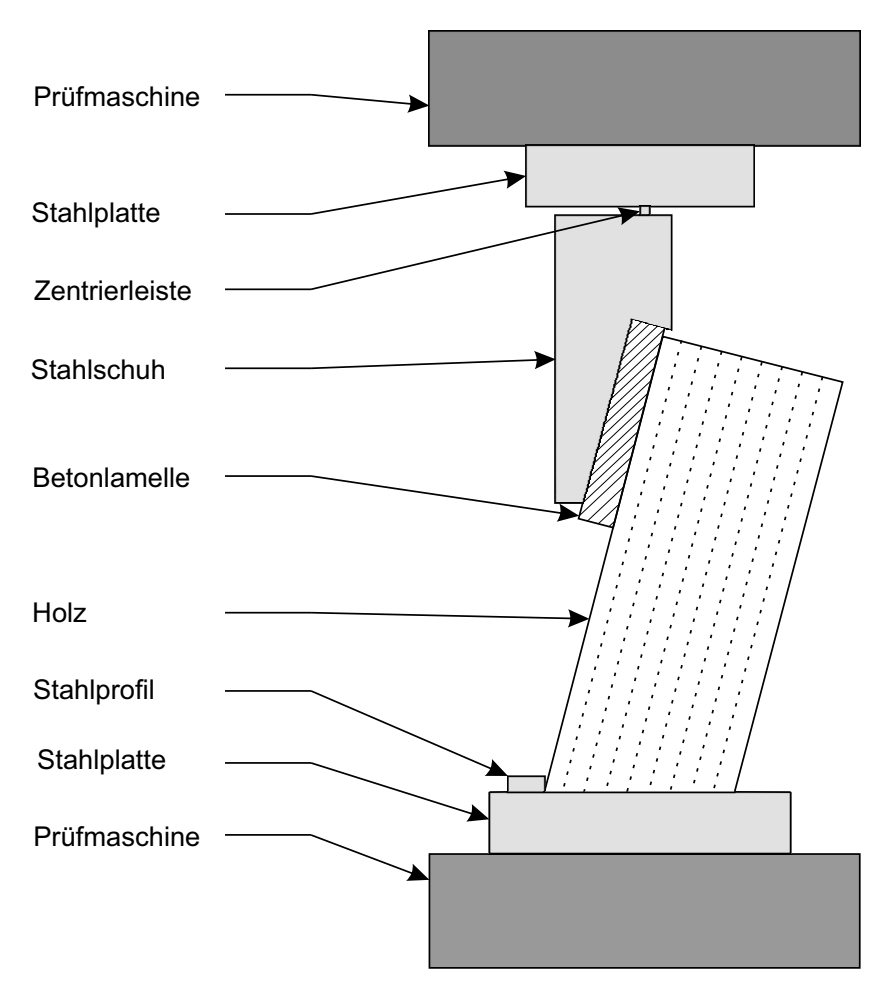


Abbildung 5.2: Schematischer Versuchsaufbau der Verbundversuche

Eine Zentrierleiste diente dazu die aufgebrachte Kraft durch den Schwerpunkt der Klebefuge zu leiten. Damit sollten Querzugspannungen an der Klebefuge weitestgehend vermieden werden. Die Position der Zentrierleiste ergab sich in Abhängigkeit der untersuchten Klebefugenlänge. Für die hier gewählten Klebefugenlängen sind die unterschiedlichen Positionen der Zentrierleiste in Abbildung 5.3 dargestellt.

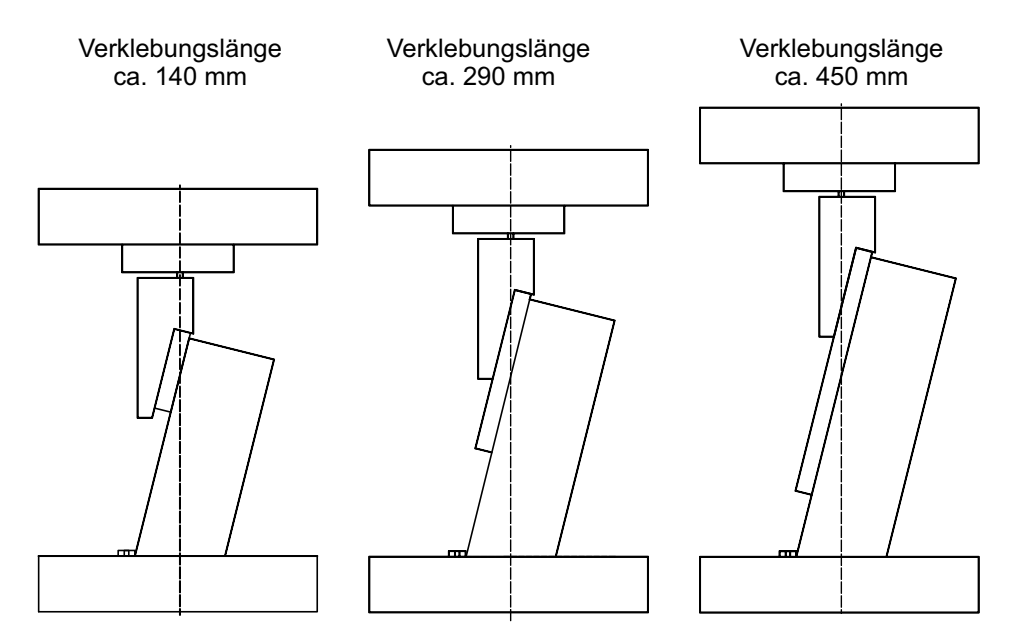


Abbildung 5.3: Anordnung der Zentrierleiste bei den Verbundversuchen

#### 5.2.2 Versuchskörper

Die Versuchskörper bestanden aus Brettschichtholz mit Querschnittsabmessungen von  $10~\rm cm~x~16~cm$  und einer aufgeklebten Betonscheibe, die einen Zentimeter über das Brettschichtholz überstand. Die Abmessungen der Betonscheiben betrugen  $10~\rm cm~x~3~cm$ . Die Länge des Brettschichtholzes und der Betonscheibe variierten in Abhängigkeit der Verklebungslänge. Die Verklebungslängen betrugen ca.  $140~\rm mm$ ,  $290~\rm mm$  und  $450~\rm mm$ . Pro Verklebungslänge und Betonoberflächenbehandlung wurden drei Versuchskörper hergestellt und geprüft.

Die Herstellung der Betonscheiben erfolgte mit einer Stahlschalung um eine hohe Präzision und Ebenheit der Flächen zu erzielen. Vor dem Verkleben der Betonscheiben wurden deren Oberflächen entweder schalglatt belassen und mit Aceton abgerieben oder geschliffen und mit Druckluft sowie Wasser und Bürste gereinigt. Das Brettschichtholz wurde unmittelbar vor dem Verkleben gehobelt. Als Klebstoff kam bei allen Versuchen ein PU, der bei den Scher- und Delaminierungsversuchen vielversprechende Ergebnisse lieferte, zum Einsatz. Der Klebstoffauftrag betrug 400 g/m² und der Pressdruck  $0.75 \pm 0.1 \text{ N/mm}^2$ . Überschüssiger und ausgetretener Klebstoff wurde nach dem Aushärten mechanisch entfernt.

#### 5.2.3 Material

Von dem im Fachhandel bezogenen Fichtenbrettschichtholz der Festigkeitsklasse GL24c gemäß DIN EN 14080 wurden möglichst fehler- und astfreie Bereiche verwendet. Die Holzeigenschaften wurden nicht versuchstechnisch bestimmt, sondern die jeweilige normativ vorgeschriebenen charakteristisch Festigkeit herangezogen. Gemäß DIN EN 14080 müssen

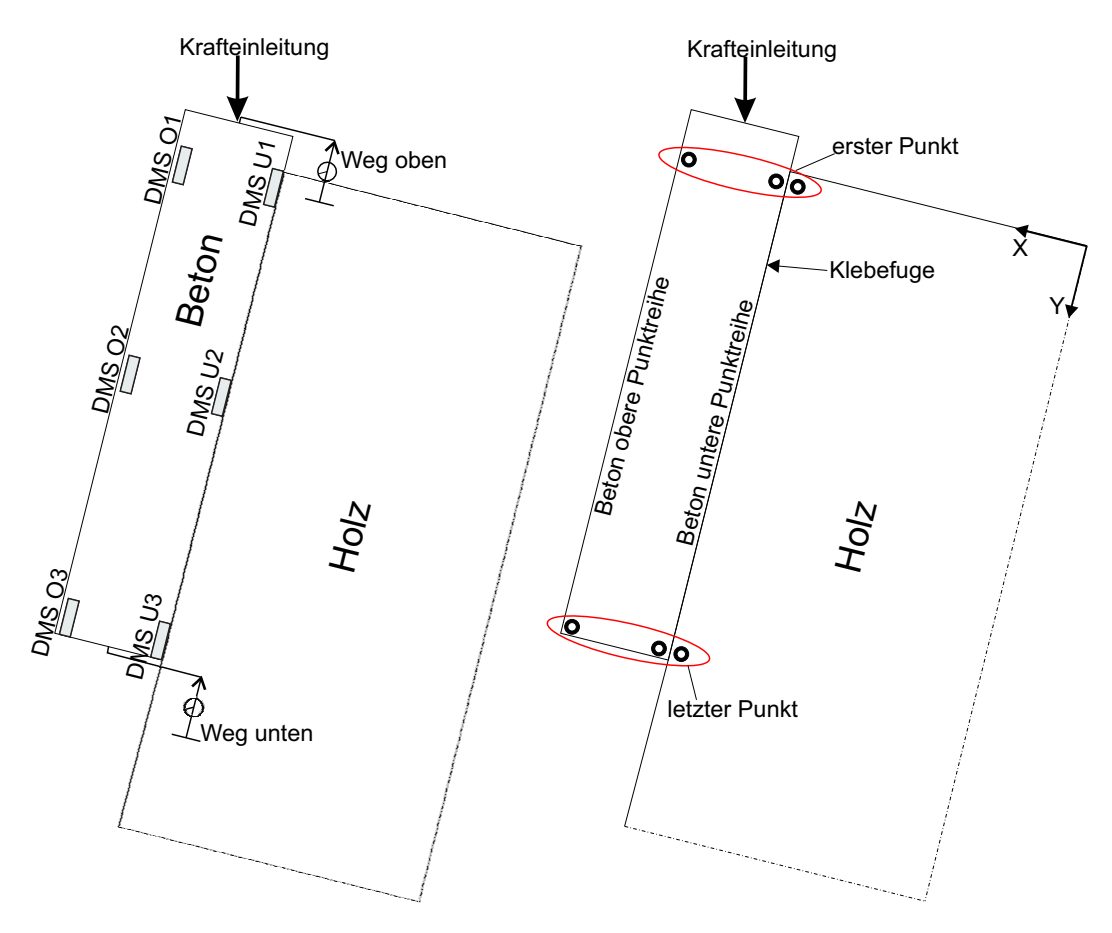
die Randlamellen des kombiniert aufgebauten Brettschichtholz die Anforderungen der Festigkeitsklasse C24 nach DIN EN 338 erfüllen und besitzen demnach eine charakteristische Schubfestigkeit in Faserrichtung von 4,0 N/mm<sup>2</sup>.

Die Betonscheiben waren aus Beton mit einer über alle Versuche gemittelten Druckfestigkeit von  $140.5~\mathrm{N/mm^2}$  und einer Biegezugfestigkeit von  $16.6~\mathrm{N/mm^2}$  hergestellt. Die Bestimmung der Betonfestigkeit fand kurz nach den durchgeführten Verbundversuchen an Prismen mit den Abmessungen  $160~\mathrm{mm} \times 40~\mathrm{mm} \times 40~\mathrm{mm}$  statt. Prismen als auch Betonscheiben wurden während des Erhärtens bei den gleichen konstanten Klimabedingungen gelagert.

#### 5.2.4 Messtechnik

Als Messtechnik kam ein optisches Messsystem und redundant induktive Wegaufnehmer und Dehnmessstreifen (DMS) zum Einsatz. Insgesamt waren vier Wegaufnehmer am Holz angebracht. Diese waren auf beiden Seiten des Prüfkörpers jeweils am Anfang und am Ende der Klebeverbindung angeordnet. Ein am Beton aufgeklebter Winkel diente als Festpunkt für den jeweiligen Wegaufnehmer. Die Dehnung im Beton wurde mit DMS aufgezeichnet. Unabhängig von der Klebefugenlänge zeichneten drei über die Klebfugenlänge verteilte DMS die Dehnungen im Beton auf. An jedem ersten Versuchskörper einer Serie waren über die Dicke der Betonscheiben zwei Reihen DMS angeordnet, an den weiteren Versuchskörpern einer Serie nur die untere Reihe. Abbildung 5.4 links zeigt die Position der oben beschriebenen Messtechnik.

Das optische Messsystem zeichnete entlang der Klebefuge Punktbewegungen von aufgeklebten Messpunkten auf. Der Abstand der Messpunkte zur Klebefuge betrug ca. 5 mm auf dem Holz und dem Beton. Zusätzlich war eine weitere Reihe an Messpunkten auf dem Beton im Abstand von ca. 25 mm zur Klebefuge angeordnet. Der Punktabstand entlang der Klebefuge betrug ca. 2 cm. Ein Kamerasystem zeichnete die gesamte Versuchsdurchführung auf und darauf aufbauend konnte mittels digitaler Bildkorrelation die Bewegungen jedes Messpunktes berechnet werden. Hiermit wurden die Verschiebungen und Dehnungen an den jeweiligen Stellen berechnet.



**Abbildung 5.4:** Anordnung der Messtechnik bei den Verbundversuchen, konventionelle Messtechnik links, optische Messtechnik rechts

## 5.2.5 Versuchsdurchführung

Die Versuche wurden in einer Standardprüfmaschine mit 600 kN Maximalkraft mit einer Geschwindigkeit von 0.5 mm/min lagegeregelt bis zum Versagen gefahren. Die nach dem Einbau der Prüfkörper aufgebrachte Vorkraft betrug 3 kN, anschließend wurde die Messtechnik tariert und der Versuch gestartet.

# 5.3 Ergebnisse und Interpretation

#### Bezeichnung

Die Schematik zur Bezeichnung der Versuchskörper zeigt Abbildung 5.5.

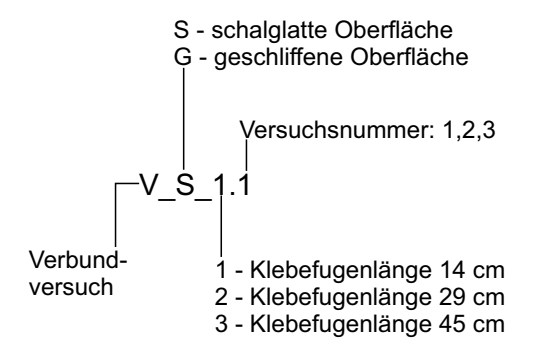


Abbildung 5.5: Versuchskörperbezeichnung der Verbundversuche

#### Bruchlasten und Bruchbilder

Tabelle 5.1 führt die Bruchlasten aller Verbundversuche auf. Als Bruchlast ist hier die Maschinenkraft angegeben, bei der das Versagen eintrat. Der Mittelwert der Bruchlasten für die Versuche mit einer Verklebungslänge von ca. 140 mm beträgt bei der schalglatten Oberfläche 91,6 kN und bei der geschliffenen Oberfläche 79,5 kN. Bei dieser Verklebungslänge ist jedoch in jeder Serie jeweils ein Versuchskörper als Ausreißer zu betrachten. Mit zunehmender Verklebungslänge steigt die Bruchkraft mit an und beträgt im Mittel bei den Versuchen mit 450 mm Verklebungsläge 211,6 kN bei der schalglatten und 223,8 kN bei der geschliffenen Oberfläche.

Tabelle 5.1: Erzielte Bruchlasten bei den Verbundversuchen

Verklebungslänge	Versuchskörper	Bruchlasten	
[mm]		[kN]	
		schalglatte	geschliffene
		Oberfläche	Oberfläche
140	1	118,1	103,8
	2	58,9	50,0
	3	97,9	84,6
290	1	120,5	137,5
	2	158,5	154,4
	3	126,1	198,0
450	1	221,0	234,2
	2	196,5	252,6
	3	217,3	184,6

Das Versagen trat, außer bei zwei Versuchen, im Holz auf. Abbildung 5.6 zeigt charakteristische Bruchbilder der unterschiedlichen Verklebungslängen. Bei den Versuchen mit 140 mm Klebefugenlänge versagte das Holz unmittelbar im Bereich unterhalb der Klebefuge. Bei den Klebefugenlängen von 290 mm und 450 mm scherte überwiegend der gesamte Holzquerschnitt ab.



Abbildung 5.6: Versuchskörper nach Versuchsdurchführung

Die zwei Versuche V\_S\_1.2 und V\_G\_1.2 versagten im Vergleich zu den anderen Versuchen mit gleicher Klebefugenlänge bei deutlich geringerer Bruchlast. Bei Versuch V\_G\_1.2 lag die

Bruchlast bei 50,0 kN und bei Versuch V\_S\_1.2 bei 58,9 kN. Die Bruchbilder der beiden Versuche zeigt Abbildung 5.7. Bei Versuch V\_S\_1.2 ist ein sehr geringer Anteil an Holzbruch von ca. 10% zu erkennen, wohingegen bei Versuch V\_G\_1.2 ca. 90% Holzbruch auftrat.

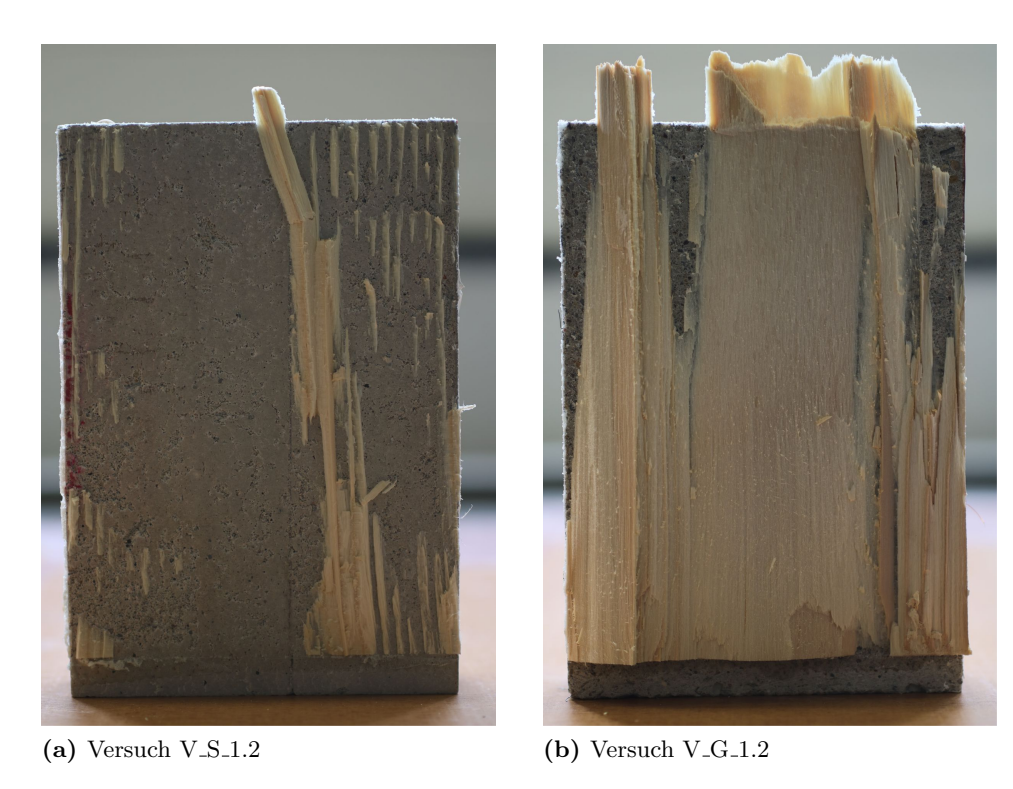


Abbildung 5.7: Bruchbilder der Versuche V\_S\_1.2 und V\_G\_1.2

Die geringen Bruchlasten der Versuche V\_G\_1.2 und V\_S\_1.2 ließen vermuten, dass durch ungewollte Exzentrizitäten Querzug im Verbundsystem auftrat. Abbildung 5.8 zeigt die Veränderung des Punktabstandes des obersten Messpunktes senkrecht zur Klebefuge bezogen auf den Ausgangswert der Serien V\_G\_1. Ein negativer Wert entspricht einer Verkürzung des Abstandes und Querdruck, während ein positiver Wert Querzug widerspiegelt.

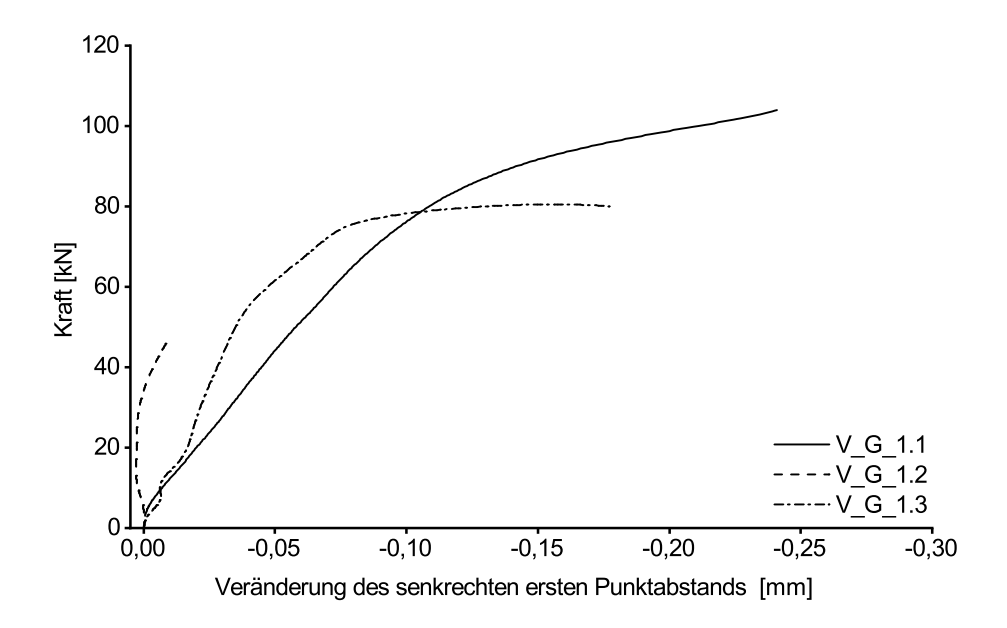


Abbildung 5.8: Veränderung des senkrechten ersten Punktabstands der Serie V\_G\_1

In Abbildung 5.8 ist bei Serie V\_G\_1 zu erkennen, dass die Änderung des Punktabstands bei Versuch V\_G\_1.2 im Vergleich zu den beiden anderen Versuchen dieser Serie deutlich kleiner ausfällt bzw. teilweise sogar positiv ist. Das kann ein Anzeichen für Querzug sein, welcher sich, durch die sehr geringe Querzugfestigkeit negativ auf die Schubfestigkeit des Holzes auswirkte. Die unter Höchstlast vorherrschende Schubspannung ergab, nach Gleichung 5.3 berechnet, 3,66 N/mm² und lag geringfügig unter der von DIN EN 338 geforderten charakteristischen Schubfestigkeit von 4,0 N/mm².

$$\tau_{max} = \frac{F_{max} \cdot \cos 14^{\circ}}{b \cdot l_{Kleb}} = \frac{50,022 \cdot 10^{3} \cdot \cos 14^{\circ}}{100 \cdot 132,5} = 3,66 \ N/mm^{2}$$
(5.1)

mit:

 $au_{max}$  maximale Schubspannung  $F_{max}$  maximale Maschinenkraft b Breite der Klebefläche  $l_{Kleb}$  exakte Länge der Klebefuge

Bei Serie V\_S\_1 war die Veränderung des Punktabstands für alle drei Versuche ähnlich, was Abbildung 5.9 zeigt. Aus diesem Grund wird vermutet, dass es z. B. durch Verunreinigungen der Beton- oder Holzoberfläche oder Ungenauigkeiten bei der Herstellung, zu einem Versagen im Haftverbund kam.

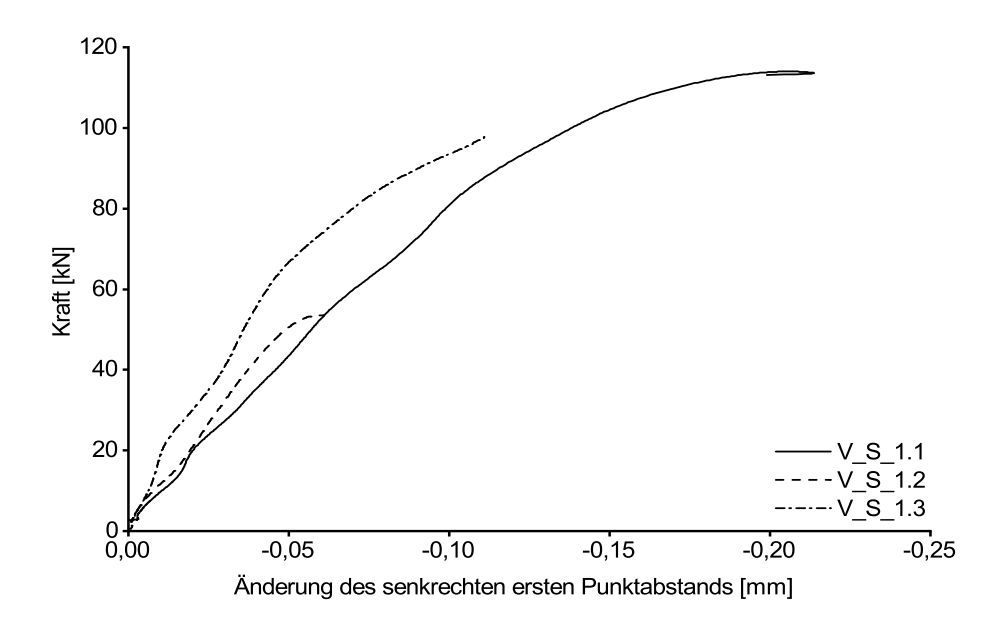
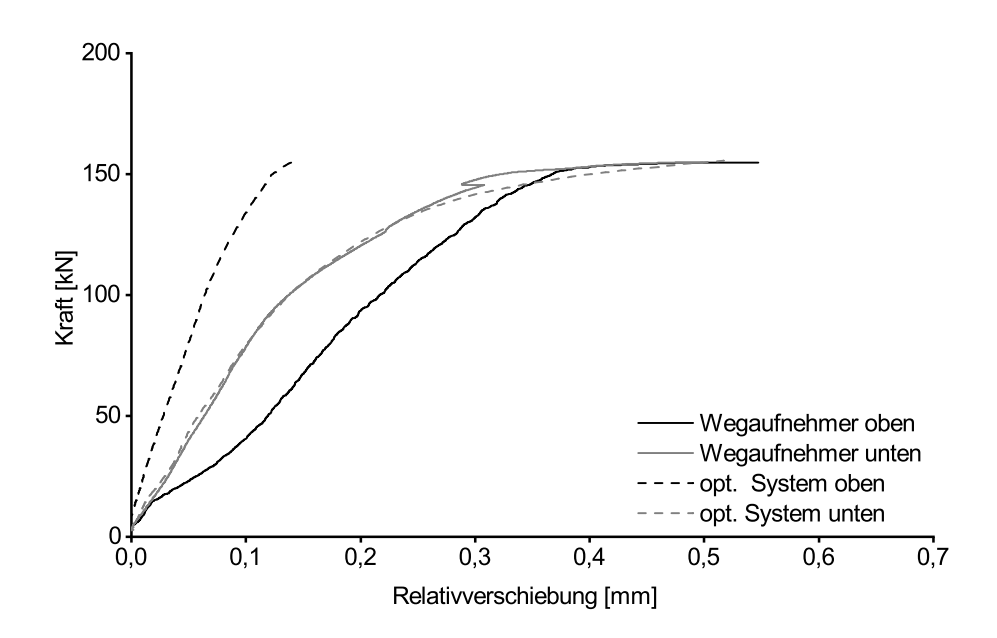


Abbildung 5.9: Veränderung des senkrechten ersten Punktabstands der Serie V\_S\_1

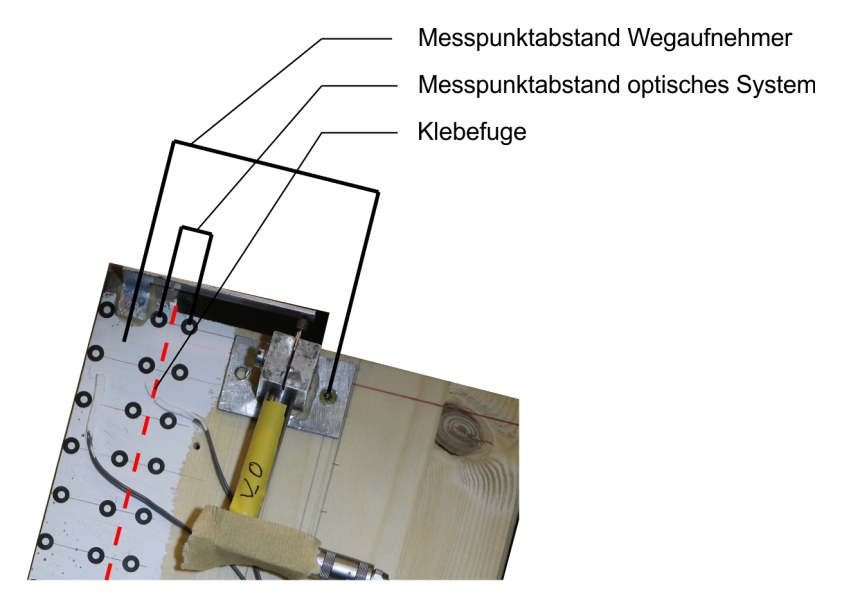
#### Relativverschiebung

Anhand der mit den Wegaufnehmern aufgezeichneten Relativverschiebung sollte die mit dem optischen Messsystem bestimmte Relativverschiebung verifiziert werden. Zum Vergleich der beiden Messsysteme wurden ausschließlich die Ergebnisse der auf der vorderen Seite angebrachten Wegaufnehmer berücksichtigt. Die mit den Wegaufnehmer auf der Rückseite des Prüfkörpers aufgezeichnete Relativverschiebung ist in Anhang C mit aufgeführt. Abbildung 5.10 zeigt exemplarisch für Versuch V\_G\_2.2 die mit den Wegaufnehmern gemessene sowie mit dem optischen Messsystem bestimmte Relativverschiebung. Im Lasteinleitungsbereich, d. h. Wegaufnehmer oben und erster Messpunkt beim optischen System, stimmen die Ergebnisse der zwei Messsysteme nicht überein. Eine mögliche Ursache ist die zusätzliche Schubverzerrung im Holz, welche eine Erhöhung der Relativverschiebung bewirkt, die von den Wegaufnehmern berücksichtigt wird.



**Abbildung 5.10:** Relativverschiebung zwischen Holz und Beton, Vergleich der Wegaufnehmer mit dem opt. Messsystem

Die mit dem optischen System ermittelte Relativverschiebung basiert auf den Punktbewegungen der Messpunkte die jeweils ca. 5 mm von der Klebefuge entfernt lagen. Der Wegaufnehmer im Lasteinleitungsbereich war in einem größeren Abstand zur Klebefuge angebracht. Abbildung 5.11 zeigt, in einem Bildausschnitt, den jeweiligen Messpunktabstand senkrecht zur Klebefuge. Anhand zusätzlicher Versuche wurde versucht den Einfluss des senkrechten Abstands des Betrachtungspunktes zur Klebefuge zu quantifizieren.



**Abbildung 5.11:** Unterschiedliche senkrechte Abstände zur Klebefuge von Wegaufnehmer und optischem Messpunkt

# Einfluss des Messpunktabstands senkrecht zur Klebefuge auf die Relativverschiebung

Um den Anteil der Schubverzerrung des Holzes zu quantifizieren, der bei der Messung mittels der induktiven Wegaufnehmer durch den größeren Abstand zur Klebefuge auftritt, wurden zusätzliche Versuche durchgeführt. Der Versuchsaufbau dieser Versuche, die verwendeten Materialien, die Durchführung und die Herstellung der Prüfkörper waren affin zu den Verbundversuchen mit einer Verklebungslänge von ca. 290 mm. Um den Einfluss des Messpunktabstands senkrecht zur Klebefuge auf die Relativverschiebung zu untersuchen wurden eine größere Anzahl an Messpunkten auf dem Brettschichtholz in unterschiedlichem Abstand zur Klebefuge angebracht, wie in Abbildung 5.12 dargestellt. Der grau markierte Bereich kennzeichnet die Position des Fixpunktes für den Wegaufnehmer.

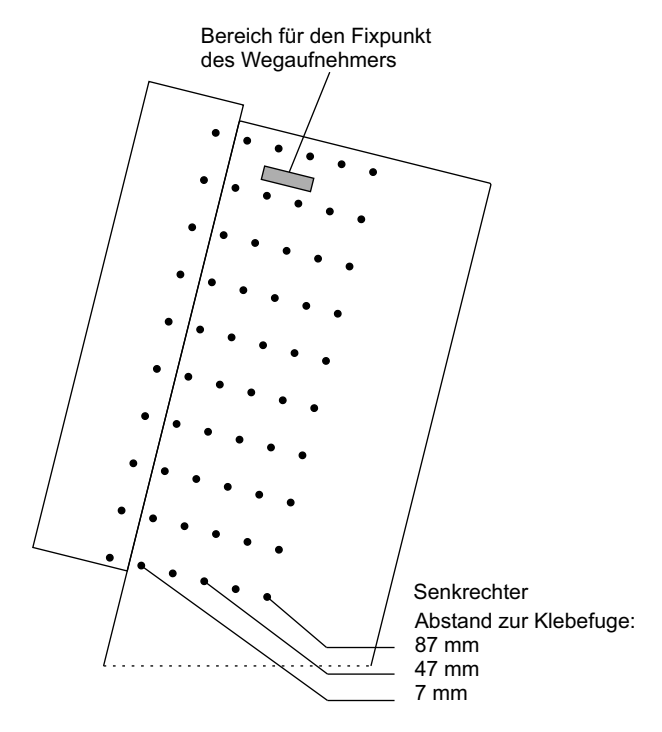


Abbildung 5.12: Anordnung von Messpunkten bei zusätzlich durchgeführten Versuchen

Abbildung 5.13 zeigt exemplarisch für einen zusätzlichen Versuch die Entwicklung der Relativverschiebung in Abhängigkeit des Messpunktabstands zur Klebefuge für die erste, der Lasteinleitung am nächsten gelegenen, Messpunktreihe. Im Diagramm sind die betrachteten Punkte zusätzlich grafisch dargestellt. Die Unterschiede zeichnen sich deutlich ab, so beträgt die maximale Relativverschiebung, ermittelt mit dem Messpunkt im Abstand von 87 mm ca. das sechsfache des Messpunktes im Abstand von 7 mm.

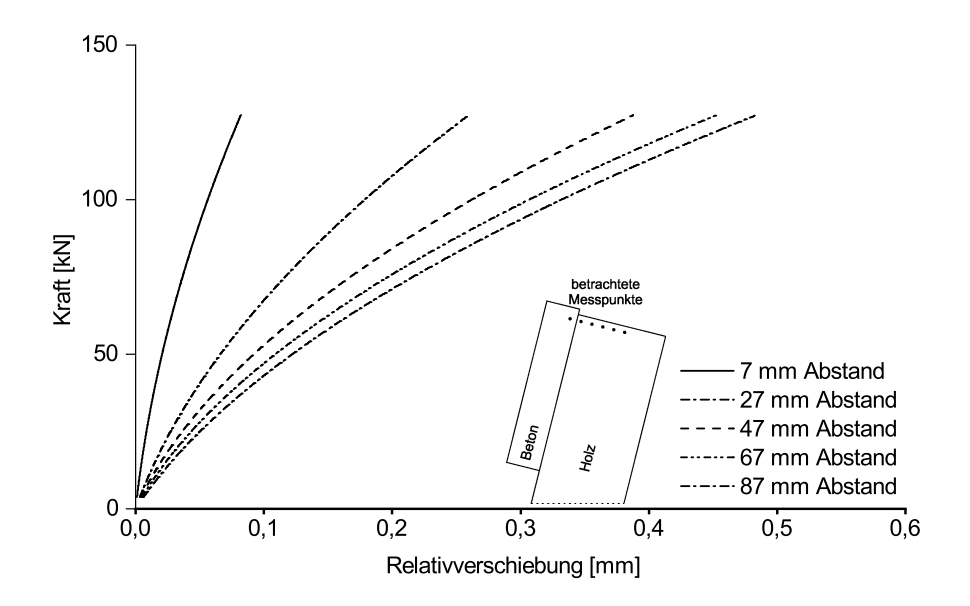


Abbildung 5.13: Entwicklung der Relativverschiebung mit zunehmendem Abstand des Messpunktes auf dem Holz

Ein Vergleich der optisch bestimmten Relativverschiebung der Verbundversuche von Serie V\_G\_2 mit den zusätzlich durchgeführten Versuchen am ersten Messpunkt zeigt, dass die Relativverschiebung gut übereinstimmt, es jedoch auch zu größeren Abweichungen kommen kann. Dies stellt Abbildung 5.14 dar. Hier sind die Ergebnisse der zusätzlichen Versuche in schwarz und die der Verbundversuche in grau dargestellt. Die unterschiedlichen Stricharten kennzeichnen die jeweiligen Versuche. Darauf aufbauend wird davon ausgegangen, dass die mit den Wegaufnehmern gemessene Relativverschiebung mit den zusätzlichen Versuchen in Verbindung gebracht werden kann.

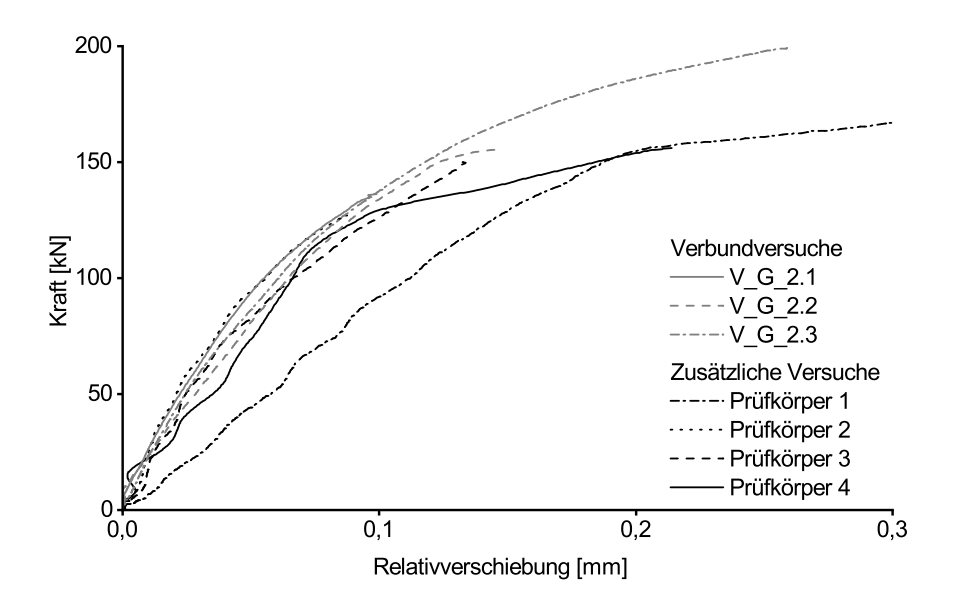


Abbildung 5.14: Vergleich der Testversuche mit den Verbundversuchen der Serie V\_G\_2

Wie Abbildung 5.11 zu entnehmen ist, liegt der Festpunkt der Wegaufnehmer zum Aufzeichnen der Relativverschiebung in der Nähe der dritten optischen Messpunktreihe, in einem Abstand zur Klebefuge von ca. 47 mm . Aus Abbildung 5.14 geht hervor, dass die zusätzlich durchgeführten Versuche ähnlich zu den Verbundversuchen sind. Abbildung 5.15 stellt die mit den Wegaufnehmern gemessene Relativverschiebung der Verbundversuche von Serie V\_G\_2 in Relation zur berechneten Relativverschiebung der zusätzlichen Versuche für einen Messpunktabstand von 47 mm zur Klebefuge dar. Wie sich zeigt, ist die mit den Wegaufnehmern gemessene Relativverschiebung etwas geringer als die mit dem optischen Messsystem berechnete. Gründe hierfür könnten sein, dass der Wegaufnehmer einen geringeren Abstand senkrecht zur Klebefuge, einen größeren Abstand zum Lasteinleitungspunkt besaß und die Materialeigenschaften im Holz variierten.

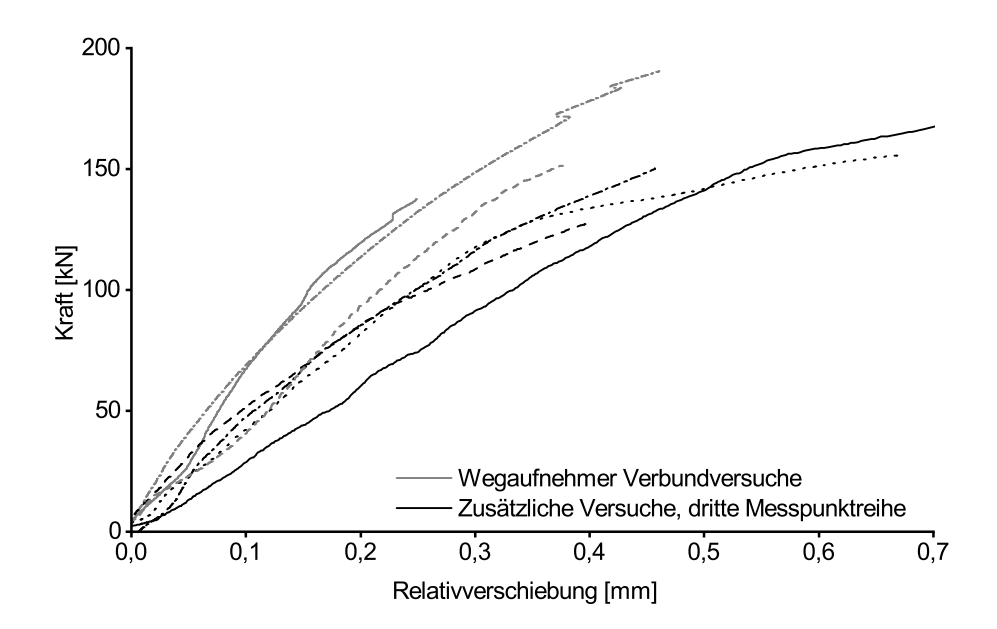


Abbildung 5.15: Vergleich der Relativverschiebungen gemessen mit den Wegaufnehmern und mit dem optischen System bei den zusätzlichen Versuchen

#### Einfluss des betrachteten Punktes entlang der Klebefuge

Wie Abbildung 5.16 exemplarisch für Versuch V\_G\_2\_2 zeigt, besitzt der Abstand des Messpunktes zur Lasteinleitung entlang der Klebefuge einen Einfluss auf das gemessene Ergebnis. Abbildung 5.16 stellt die mit dem optischen Messsystem ermittelte Relativverschiebung an den Punkten 1, 7 und 14 entlang der Klebefuge dar. Diese sind im Diagramm grafisch dargestellt. Wie sich zeigte, ist die Relativverschiebung in der Klebefugenmitte am geringsten, während am Ende der Klebefugenlänge die größte Verschiebung auftrat.

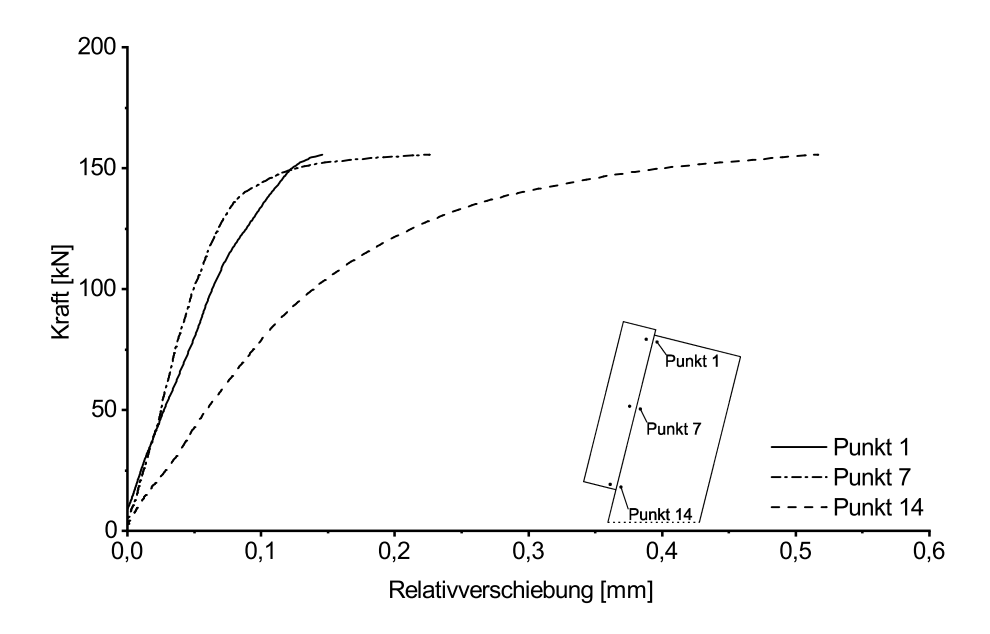


Abbildung 5.16: Relativverschiebung entlang der Klebefuge

#### Relativverschiebung in Klebefugenmitte

Um die zuvor genannten Einflüsse, senkrechter Abstand zur Klebefuge und Abstand zur Lasteinleitung entlang der Klebefuge, zu minimieren werden nachfolgend die Relativverschiebung in der Mitte der Klebefugenlänge betrachtet. Abbildung 5.17 zeigt die Relativverschiebung in Klebefugenmitte für alle durchgeführten Verbundversuche aufgetragen gegen die aufgebrachte Maschinenkraft. Der Versuch  $V_S_1.3$  ist nicht dargestellt. Es zeigt sich, dass die Relativverschiebung in Klebefugenmitte beim Versagen mit bis zu 0,25 mm, unabhängig von der Klebefugenlänge und der Betonoberfläche, sehr gering ist.

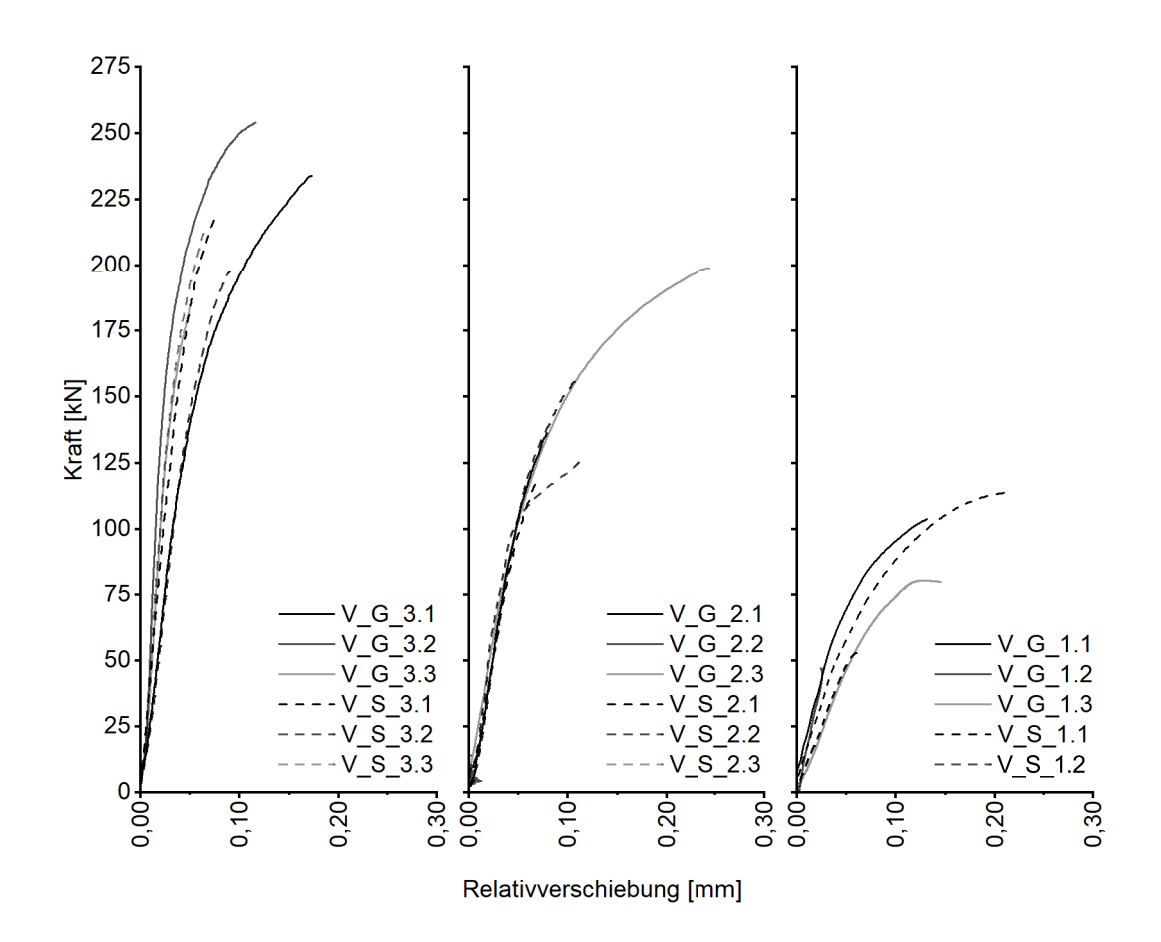


Abbildung 5.17: Relativverschiebung in Klebefugenmitte

#### Dehnungsmessung

Wie zuvor beschrieben, sollten die mit dem optischen Messsystem erzielten Ergebnisse mit Hilfe von DMS validiert und zudem anhand der Dehnungsverläufe entlang der Klebefuge auf die im jeweiligen Bauteil vorherrschende Normalkraft geschlossen werden. Abbildung 5.18 zeigt die Betondehnung in Abhängigkeit der Maschinenkraft an den jeweiligen Messstellen, exemplarisch für Versuch V\_G\_3.1. Die durchgezogene Linie stellt die mit dem DMS gemessene Dehnung dar, während die gestrichelte Linie den anhand des optischen Systems bestimmten Dehnungsverlauf darstellt. Wie sich zeigt, spiegeln die mit dem optischen System bestimmten Dehnungen den Verlauf der mit den DMS bestimmten Dehnungen gut wider. Die mit den DMS gemessenen Dehnungen sind für alle Versuche in Anhang C aufgeführt

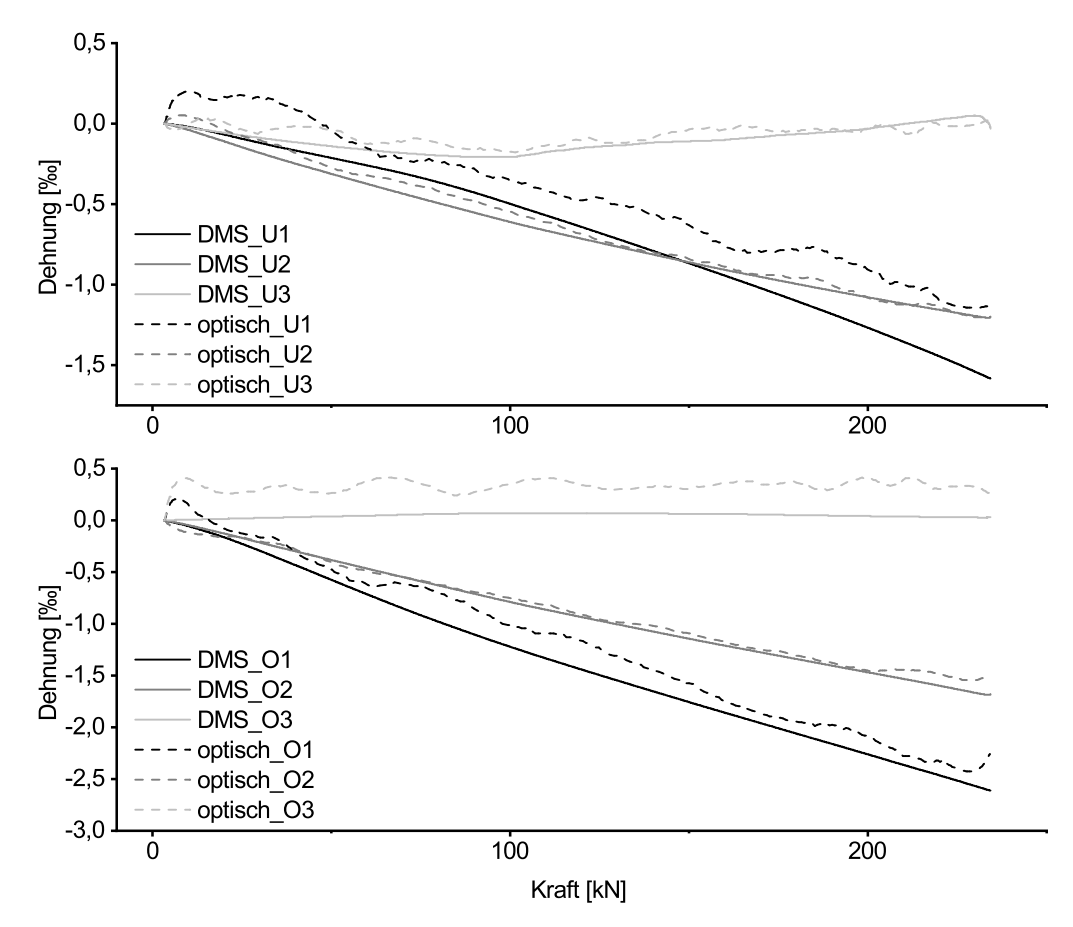


Abbildung 5.18: Vergleich der mit den DMS gemessenen und mit dem optischen System bestimmten Dehnungen bei Versuch V\_G\_3.1

Abbildung 5.19 zeigt exemplarisch für Versuch V\_G.3.1 den Dehnungsverlauf in der Betonplatte entlang der Klebefuge. Die untere Messpunktreihe ist an der Klebefuge angeordnet, die obere auf der gegenüberliegenden Seite. Die Ergebnisse der oberen Punktreihe sind als durchgezogene Linie, die der unteren Punktreihe als gestrichelte Linie dargestellt. Schwarz sind die erzielten Ergebnisse bei 90 % und grau 25 % der Bruchlast. Im gleichen Farbschema sind die Ergebnisse der DMS, untere Messstellen als Punkte, obere als Quadrate dargestellt. Auch hier zeigt sich die gute Übereinstimmung der mit den DMS gemessenen und mit dem optischen System bestimmten Dehnungen. Wie sich zeigte, lag bereits an der Lasteinleitungsstelle keine konstante Spannungsverteilung vor, da sowohl die mit den DMS als auch die mit dem optischen System bestimmte Dehnung für die untere und obere Betrachtungsreihe unterschiedlich sind. Der Dehnungsverlauf auf der unteren Seite der Betonplatte verläuft mit einigen Ausreißern weitgehend linear, während der Dehnung auf der oberen Seite bis zu einem Abstand von ca. 160 mm zur Lasteinleitung - entspricht Betrachtungspunkt 8 - zunimmt und anschließend abfällt. Dieses Verhalten kann bei allen Versuchen mit einer Klebefugenlänge von ca. 450 mm beobachtet werden. Bei den Versuchen mit der geringeren Verklebungslängen ist dieses Verhalten zum Teil zu Beobachten, jedoch nicht so ausgeprägt. Der Grund für die5.4. Zwischenfazit 45

sen Verlauf wird im Versuchsaufbau selbst, der natürlichen Streubreite der Steifigkeiten auch innerhalb eines Brettes entlang deren Längsachse, sowie teilweise den Verdübelungseffekten durch die Äste (Ehlbeck et al., 1987) sowie einer Überlagerung dieser Effekte gesehen.

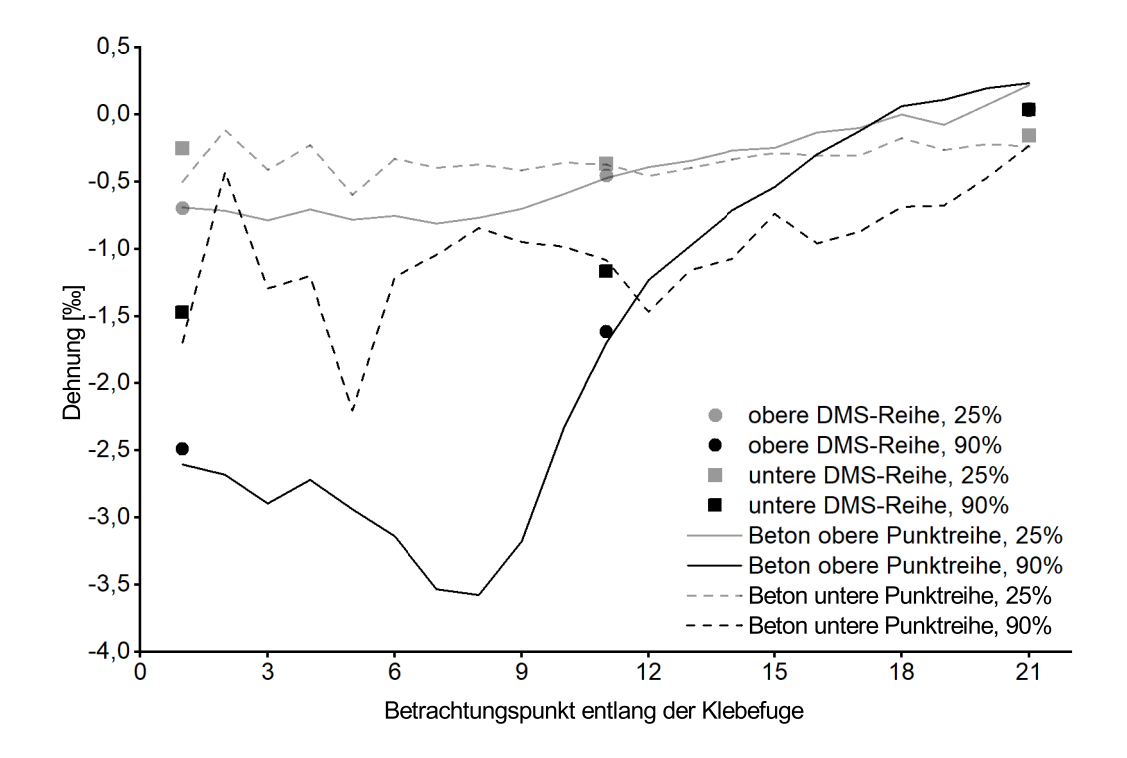


Abbildung 5.19: Verlauf der Betondehnung entlang der Klebefuge für Versuch V\_G\_3.1

# 5.4 Zwischenfazit

Anhand der Verbundversuche wurden größere Verklebungslängen sowie das Verbindungsverhalten selbst untersucht. Die durchgeführten Versuche zeigten, dass die Klebeverbindung nicht das schwächste Glied darstellt, sondern das Holz, da hier das häufigste Versagen auftrat. Wichtig ist es jedoch darauf zu achten, die Klebefuge keinesfalls auf Querzug zu beanspruchen. Zudem kann aufgrund der geringen Relativverschiebung, die sich zwischen Holz und Beton einstellt, für eine Bauteilberechnung von einer starren Verbindung ausgegangen werden.

# 6 Bauteilversuche

# 6.1 Allgemeines

In diesem Kapitel sind die zentrisch und exzentrisch belasteten Bauteilversuche im Maßstab 1:1 beschrieben, anhand derer das reale Bauteilverhalten untersucht wurde. Diese Versuche dienen als Grundlage für den Bemessungsvorschlag.

#### 6.2 Material und Methoden

#### 6.2.1 Versuchsaufbau

Der Versuchsaufbau bestand aus zwei 50 cm langen Rollenkipplagern in Bauteilebene, die am Wandkopf und Wandfuß fest mit einer Prüfmaschine verschraubt wurden. Dadurch erfolgte die gelenkige Lagerung der Prüfkörper senkrecht zur Bauteilebene. In den 20 cm breiten Rollenkipplagern konnten die Prüfkörper zentrisch und exzentrisch angeordnet werden. Abbildung 6.1 zeigt die unterschiedlichen Positionen der Versuchskörper im Rollenkipplager für die zentrischen, die 10 mm und 20 mm exzentrischen Bauteilversuche.

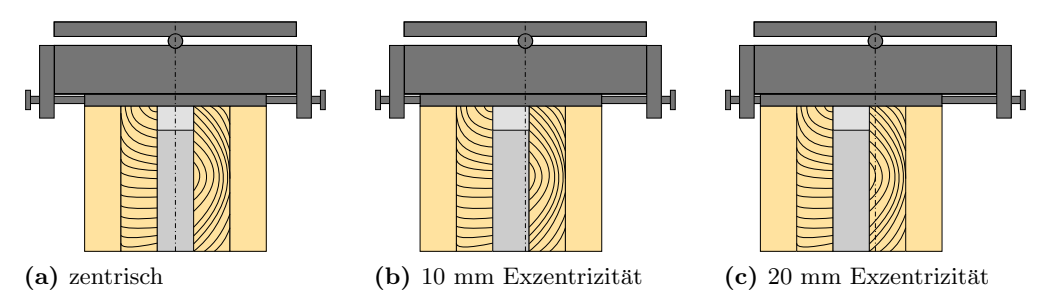
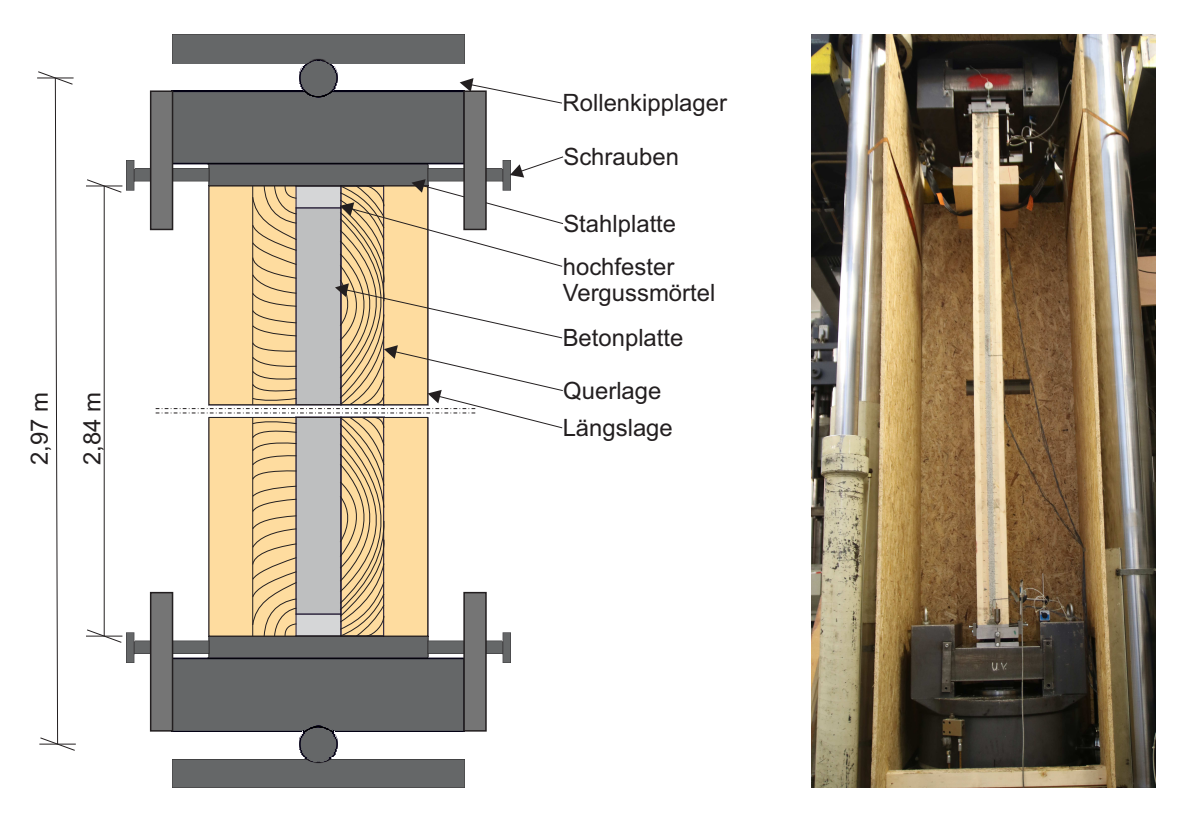


Abbildung 6.1: Anordnung des Prüfkörpers im Lager am Wandkopf für unterschiedliche Exzentrizitäten

In Abbildung 6.2 ist links der schematische Aufbau eines zentrischen Versuchs und rechts der tatsächliche Aufbau eines exzentrischen Versuchs dargestellt. Um die Prüfkörper mit Hebe-

zeugen zu bewegen und im Versagensfall gegen Herausfallen aus der Prüfmaschine zu sichern, war ca. 30 cm unterhalb des Wandkopfs ein Kantholz horizontal über die gesamte Wandlänge angebracht. Mit einer Rundschlinge, die das Kantholz umfasste, wurden die Prüfkörper in der Prüfmaschine gesichert. Dies ist ebenfalls in Abbildung 6.2 rechts zu sehen.



**Abbildung 6.2:** Schematsche Darstellung eines zentrischen und tatsächlicher Versuchsaufbau eines exzentrischen Bauteilversuchs

#### 6.2.2 Prüfkörper

### Aufbau und Abmessungen

Die drei untersuchten Prüfkörperaufbauten waren alle aus insgesamt fünf Lagen, davon drei Längslagen und zwei Querlagen, aufgebaut, siehe Abbildung 6.3. Der Wandkern, bzw. die mittlere Längslage, war entweder durchgängig aus Beton oder alternierend aus Holz und Beton ausgebildet. Die Dicke des durchgängigen Wandkerns betrug 30 mm oder 45 mm, bei dem alternierendem Aufbau war der Kern 30 mm dick. Die äußeren beiden Längslagen und die zwei Querlagen bestanden immer aus Holz mit einer Dicke von 30 mm. Alle Prüfkörper waren 2,84 m hoch und mit durchgängigem Kern 500 mm lang oder mit dem alternierenden Kern 400 mm lang. Der Abstand zwischen den Knickpunkten der gelenkigen Lagerung betrug 2,97 m. Um die maschinelle Bearbeitung der Prüfkörper mit Holzbearbeitungsmaschinen zu ermöglichen war die mittlere Lage aus Beton am oberen und unteren Wandende jeweils um

ca. 20 mm zurückversetzt. Der entstandene Spalt zwischen Holz und Beton wurde mit einem gängigen hochfesten Vergussmörtel verfüllt.

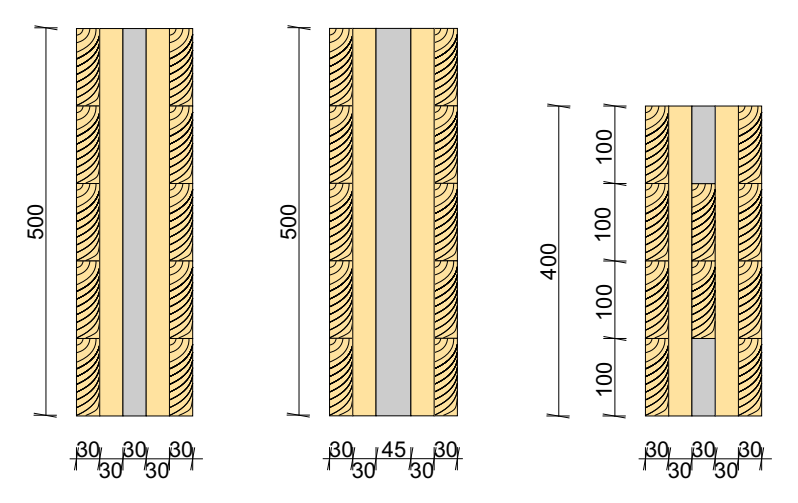


Abbildung 6.3: Querschnitte der untersuchten Prüfkörper

#### Herstellung

Die Fertigung der Rohplatten aus Beton mit einer Länge von 2,85 m, einer Breite von 600 mm und einer Dicke von 31 mm oder 45 mm fand in einem Betonfertigteilwerk statt. Zwei unterschiedliche Schalmaterialien, eine Holzschalung und eine Schalung aus POM, wurden verwendet. Zuerst wurden die 45 mm dicken Betonplatten mit einer Holzschalung hergestellt. Um ein Schüsseln der Betonplatten zu verhindern erfolgte die Betonage stehend über die Breite von 600 mm. Anschließend wurden die Platten mit einer Flächenschleifmaschine zur Steinbearbeitung geschliffen. Abbildung 6.4 zeigt eine Betonplatte während des Schleifens. Das anschließende Vermessen der geschliffenen Platten ergab Ebenenabweichungen von bis zu  $\pm 2$  mm. Aus diesem Grund wurden die 31 mm dicken Betonplatten mit einer gehobelten POM Schalung hergestellt. Diese sollte bereits bei der Herstellung der Rohplatten eine größere Genauigkeit besitzen. Nach dem Schleifen hatten diese Platten Ebenenabweichungen von ca.  $\pm 0,5$  mm, jedoch waren auch hier einzelne Ausreißer von bis zu ca. 1 mm vorhanden. Vor dem Verkleben wurden die Platten auf das entsprechende Maß von 500 mm x 2,8 m zugeschnitten und zu einem Brettsperrholzwerk transportiert.



Abbildung 6.4: Betonplatte auf Flächenschleifmaschine

Nach dem Reinigen der Betonplatten mit Wasser und Druckluft sowie dem Aufkleben der DMS in einer speziell dafür vorgesehenen Vertiefung erfolgte die Herstellung der Wandelemente, siehe Abbildung 6.5. Die Betonplatten wurden im Anschluss an das automatische Auslegen der ersten beiden Lagen aus Holz, sowie dem Klebstoffauftrag, eingelegt. Danach folgten die restlichen zwei Lagen aus Holz. Die Klebstoffauftragsmenge betrug zwischen allen Lagen 170 g/m² und die offene Wartezeit 50 Minuten. Aus zwei hergestellten und im Vakuumpressverfahren gepressten Rohplatten, wurden die einzelnen Prüfkörper computergesteuert herausgetrennt. Aus Sicherheitsgründen hielt das Sägeblatt einen Abstand von ca. 20 mm zum Beton ein.



a) Eingelegte Betonplatten mit Klebstoffauftrag



b) Auslegen der weiteren Lagen



c) fertiges Rohelement vor Pressen



d) Pressen im Vakuumbett



e) gepresstes Element



f) Ausheben des Elements



g) CNC gesteuerter Zuschnitt



h) CNC gesteuerter Zuschnitt

Abbildung 6.5: Herstellung der Wandelemente

Um an den Schmalseiten eine bündige Kante von Holz und Beton zu erhalten erfolgte dieser Zuschnitt manuell. Im Anschluss daran konnte das seitliche Kantholz befestigt und der Spalt zwischen Holz und Beton mit Vergussmörtel vergossen werden.

#### Versuchskörperbezeichnung

Abbildung 6.6 stellt die verwendete Versuchsbezeichnung der Bauteilversuche dar.

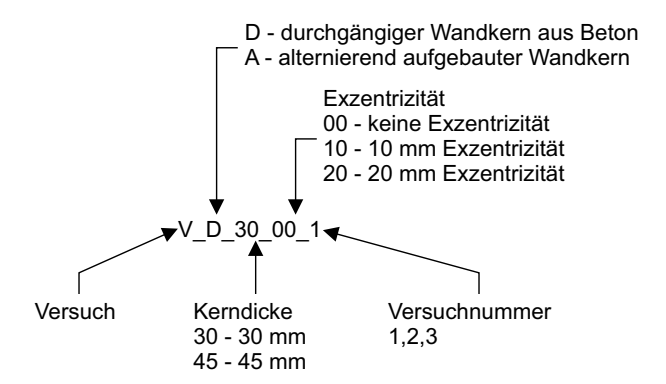


Abbildung 6.6: Schematik zur Bezeichnung der Bauteilversuche

#### 6.2.3 Material

Laut Herstellerangaben kam Fichtenholz mit einer Festigkeitsklasse von C24 nach DIN EN 338 zum Einsatz. Die Festigkeitseigenschaften wurden nicht an Versuchen bestimmt.

Der verwendete Beton hatte eine über alle Bauteile gemittelte Zylinderdruckfestigkeit von  $133 \text{ N/mm}^2$  und der Elastizitätsmodul betrug  $46774 \text{ N/mm}^2$ . Die Druckfestigkeit und der E-Modul wurden nach DIN EN 12390-13 und DIN EN 12390-3 bestimmt.

Zur Herstellung der Wandelemente kam ein PU Klebstoff des Brettsperrholzproduzenten zum Einsatz. Es handelte sich hierbei um ein Produkt der gleichen Klebstofflinie, wie in den Laborversuchen, jedoch mit einer längeren Verarbeitungszeit.

#### 6.2.4 Messtechnik

Um das Verhalten der Bauteilversuche zu beschreiben, waren die Versuchskörper mit umfangreicher Messtechnik ausgestattet. Mit Laserdistanzsensoren wurde die horizontale Verformung der Bauteile in Wandmitte und in den Viertelspunkten gemessen. In Wandtiefenrichtung waren die DMS in Wandmitte sowie am Wandende und über die Wandhöhe jeweils am Wandkopf, am Wandfuß sowie in Wandmitte angeordnet. Abbildung 6.7 zeigt die Position der DMS auf den Prüfkörpern. Mittig ist die Frontalansicht dargestellt, die beiden Seiten sind nach

außen geklappt. In Abbildung 6.7 sind zusätzlich die Positionen der DMS eingezeichnet, die vorne und hinten stirnseitig an den Betonplatten des Wandkerns angebracht waren.

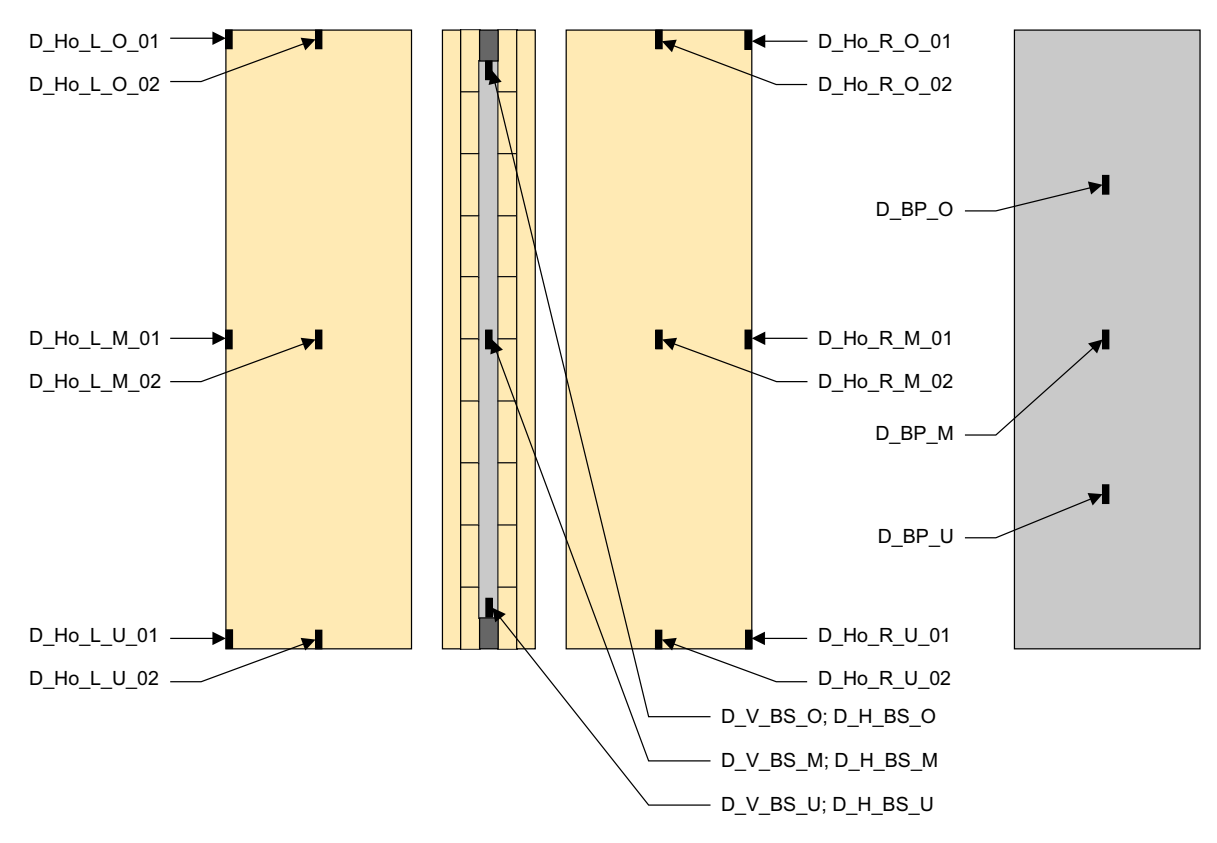


Abbildung 6.7: Anordnung der DMS

Zusätzlich waren drei DMS seitlich auf der Betonplatte angebracht und mit in das Wandbauteil eingeklebt, wie Abbildung 6.7 rechts zeigt. Ein DMS war in Wandmitte, die anderen beiden in den Viertelspunkten angeordnet. In Abhängigkeit der Einbaurichtung des Prüfkörpers befanden sich die DMS entweder auf der Zug- oder Druckseite der Betonplatte.

#### 6.2.5 Versuchsdurchführung

Die Versuche wurden in einer Standardprüfmaschine, mit einer maximalen Druckkraft von 6 MN, durchgeführt. Die Kraftaufbringung erfolgte lagegeregelt mit einer Geschwindigkeit von 0,002 mm/s. Die manuell aufgebrachte Vorkraft betrug zwischen 5 kN und 8 kN.

Von den Versuchen mit 30 mm dickem durchgängigem Betonkern wurden von jeder Exzentrizität drei Versuche durchgeführt. Die zwei anderen Aufbauten dienten als Tastversuche, von denen jeweils ein zentrischer und ein exzentrischer Versuch mit reduzierter Messtechnik durchgeführt wurde. Die Gesamtanzahl an Versuchen lag bei 13 Stück.

# 6.3 Ergebnisse und Interpretation

#### 6.3.1 Versuche mit durchgängigem Wandkern aus Beton

#### Zentrische Versuche

Abbildung 6.8 zeigt die Kraft aufgetragen gegen die horizontale Verformung in Wandmitte (links) und das Kraft-Weg-Diagramm (rechts) der zentrischen Versuche mit 30 mm und 45 mm dickem Wandkern. Die Kraft stieg ohne nennenswerte horizontale Verformung an, bis kurzzeitig ein Plateau erreicht wurde und der Prüfkörper ausknickte, was zu einer starken Zunahme der horizontalen Verformung und einem Kraftabfall führte. Beim Kraft-Weg Diagramm ist dieses Verhalten noch deutlicher zu erkennen. Die Kraft stieg linear bis zum Maximum an und fiel schlagartig ab. Die Versuche V\_D\_30\_00\_1 und V\_D\_30\_00\_2 erreichten ein Lastmaximum von 1677 kN und 1689 kN. Hingegen konnte Versuch V\_D\_30\_00\_3 nur eine Kraft von 1327 kN erzielen. Der Versuch mit dem 45 mm dicken Betonkern V\_D\_45\_00\_1 knickte bei einer Kraft von 1822 kN aus.

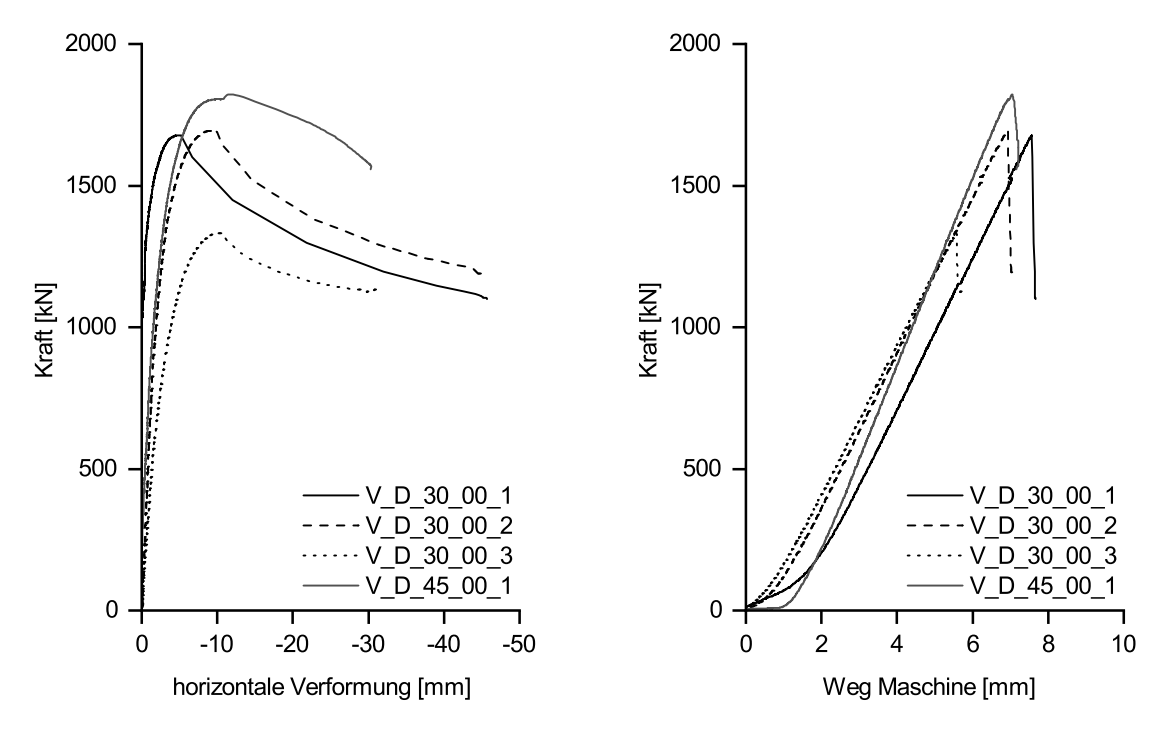


Abbildung 6.8: Kraft-horizontale Verformung und Kraft-Weg Diagramm der zentrischen Versuche

Die Dehnungsverläufe in Wandmitte sind für alle vier Versuche ähnlich, weshalb hier exemplarisch Versuch V\_D\_30\_00\_2 näher betrachtet wird. Dieser Versuch knickte vom Betrachter aus gesehen nach rechts aus. Dies spiegeln die Holzdehnungen, wie in Abbildung 6.9 dargestellt, wider. Die Dehnungen steigen auf beiden Wandseiten annähernd linear an, bis es zum Aus-

knicken des Prüfkörpers kommt und die auf der rechten Wandseite angeordneten DMS eine Zugbeanspruchung erfahren. Die maximale Druckdehnung des Holzes betrug -3,8 ‰und die maximale Zugdehnung 2,0 ‰. Ebenso zeigt sich, dass die Beanspruchung über die Wandtiefe gleich ist. Bei diesem Versuch waren die DMS auf der Betonplatte im gedrückten Bereich angeordnet. In Abbildung 6.9 ist zu sehen, dass die Betondehnungen unmittelbar in Wandmitte linear bis zum Erreichen der Knicklast verlaufen. Der DMS D\_BP\_M weist bei gleicher Kraft etwas größere Dehnungen auf, da dieser nicht zentrisch wie die DMS an den Schmalseiten, sondern exzentrisch weiter im gedrückten Bereich lag.

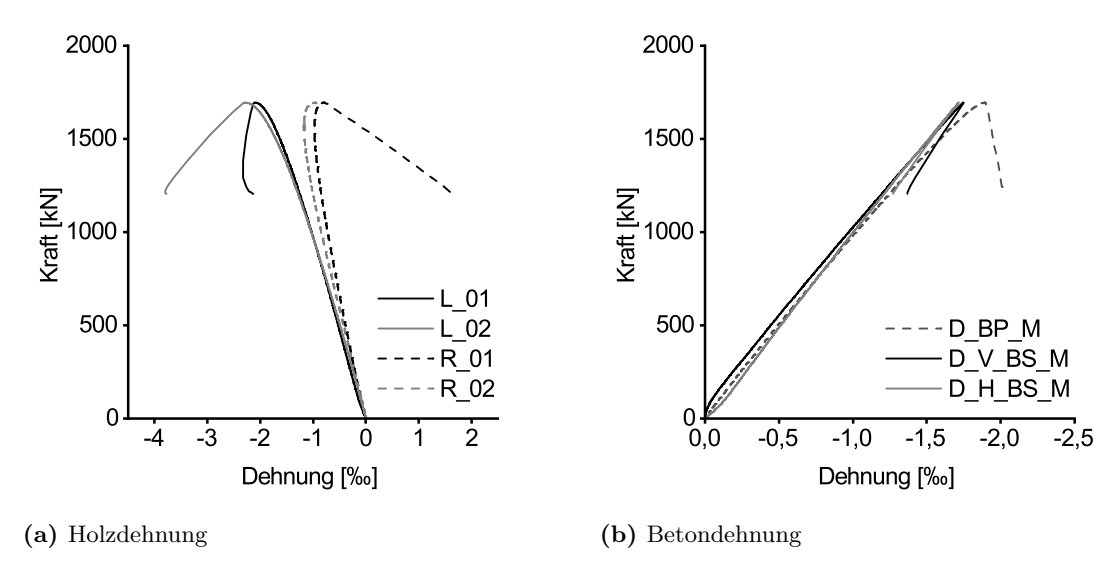
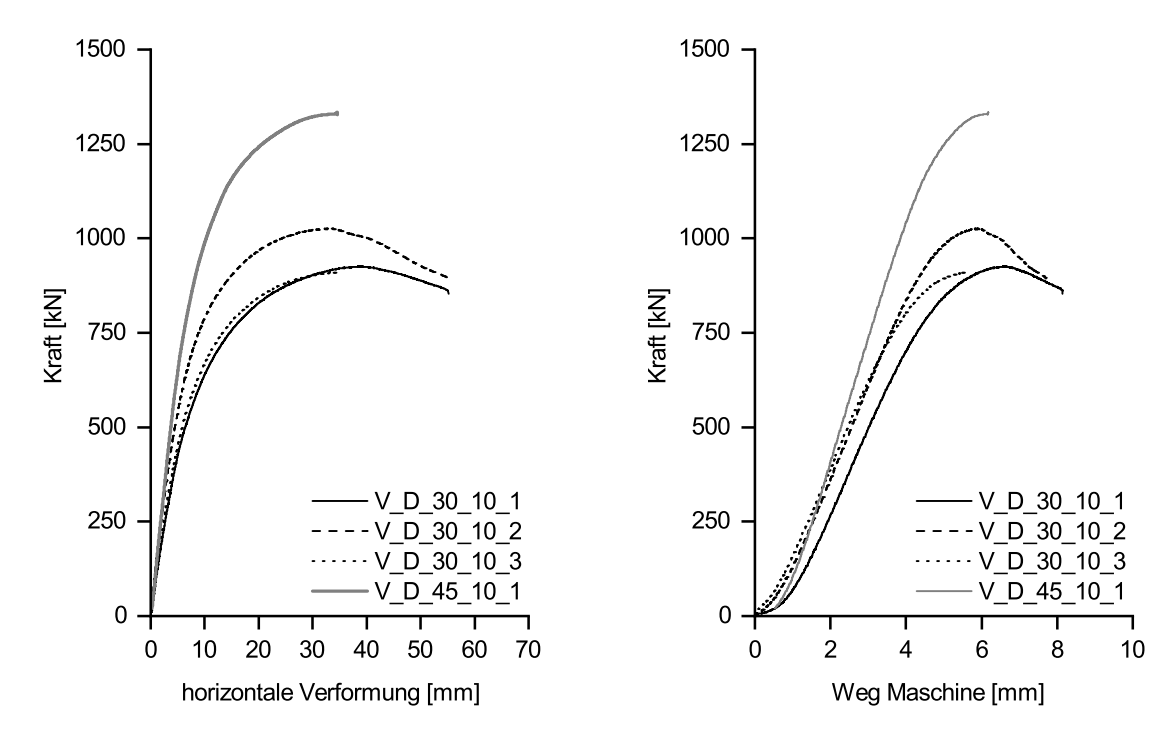


Abbildung 6.9: Dehnungen in Wandmitte bei Versuch V\_D\_30\_00\_2

#### 10 mm exzentrische Versuche

In Abbildung 6.10 ist links die horizontale Verformung in Wandmitte gegen die Kraft angetragen und rechts ist das Kraft-Weg-Diagramm dargestellt. Mit zunehmender Kraft stieg die horizontale Verformung in Wandmitte an. Zu Beginn erfolgte der Anstieg linear und flachte dann im oberen Bereich ab. Versuch V\_D\_45\_10\_1 erreichte eine Maximalkraft von 1330 kN und wurde manuell abgebrochen. Bei den Versuchen V\_D\_30\_10\_1 und V\_D\_30\_10\_2 konnte ein duktiles Bauteilverhalten beobachtet werden. Bei Erreichen der Maximallast, 925 kN bei V\_D\_30\_10\_1 und 1025 kN bei V\_D\_30\_10\_2, versagten die Prüfkörper nicht, sondern die Kraft nahm wieder ab, während die horizontale Verformung zunahm. Gleiches ist auch im Kraft-Weg Diagramm zu erkennen. Der Versuch V\_D\_30\_10\_3 versagte bei einer Kraft von 908 kN schlagartig.



**Abbildung 6.10:** Kraft-horizontale Verformung und Kraft-Weg Diagramm der 10 mm exzentrischen Versuche

Die Dehnungsverläufe in Wandmitte der vier Versuchskörper sind affin, weshalb exemplarisch die Ergebnisse von Versuch V\_D\_30\_10\_1 gezeigt werden. Die exzentrischen Prüfkörper waren so eingebaut, dass das Ausbauchen vom Betrachter aus gesehen nach links erfolgte. Wie in Abbildung 6.11 zu sehen ist, erfahren die DMS auf der rechten Wandseite eine Druckdehnung und auf der linken Wandseite eine Zugdehnung. Der Verlauf der Druckdehnungen ist im Vergleich zu den Zugdehnungen flacher. Im Bereich der Zugzone erfahren die DMS bis zu einer Kraft von ca. 600 kN keine Dehnung, darüber hinaus nehmen die Dehnungen nichtlinear zu. Die maximale Dehnung in der Zugzone liegt bei 3,6 % und in der Druckzone bei -4,0 %. Die Betondehnungen steigen linear bis zum Erreichen der Maximallast an. Bei diesem Versuch sind die DMS auf der Betonplatte im Druckbereich angeordnet und der DMS D\_BP\_M erfährt mit einer Dehnung von -1,3 % eine geringfügig höhere Beanspruchung als die direkt in Wandmitte angebrachten DMS D\_V\_BS\_M und D\_H\_BS\_M mit ca. -1,0 %.

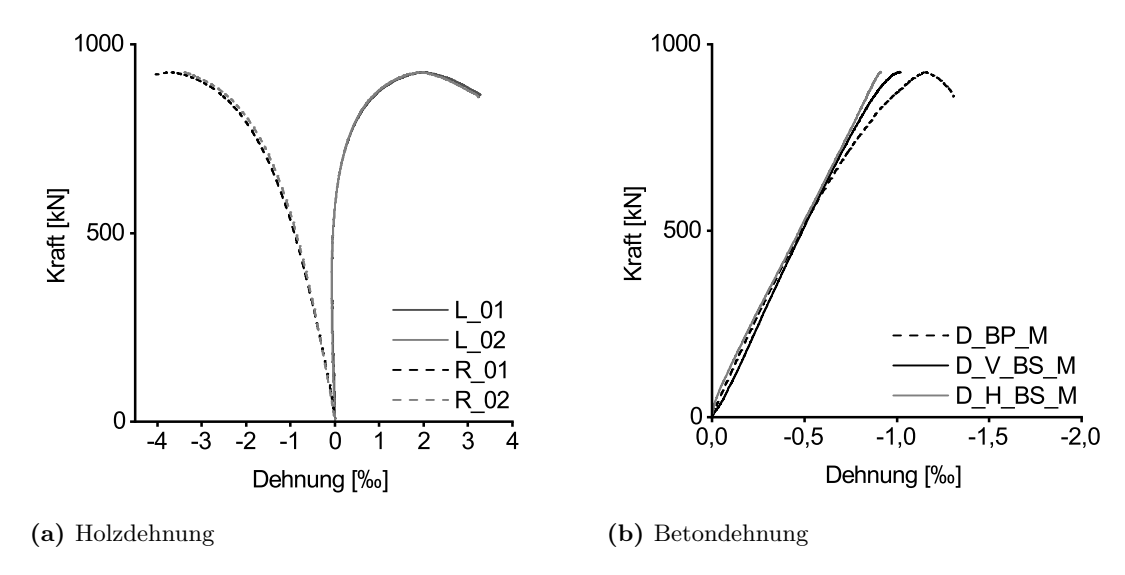
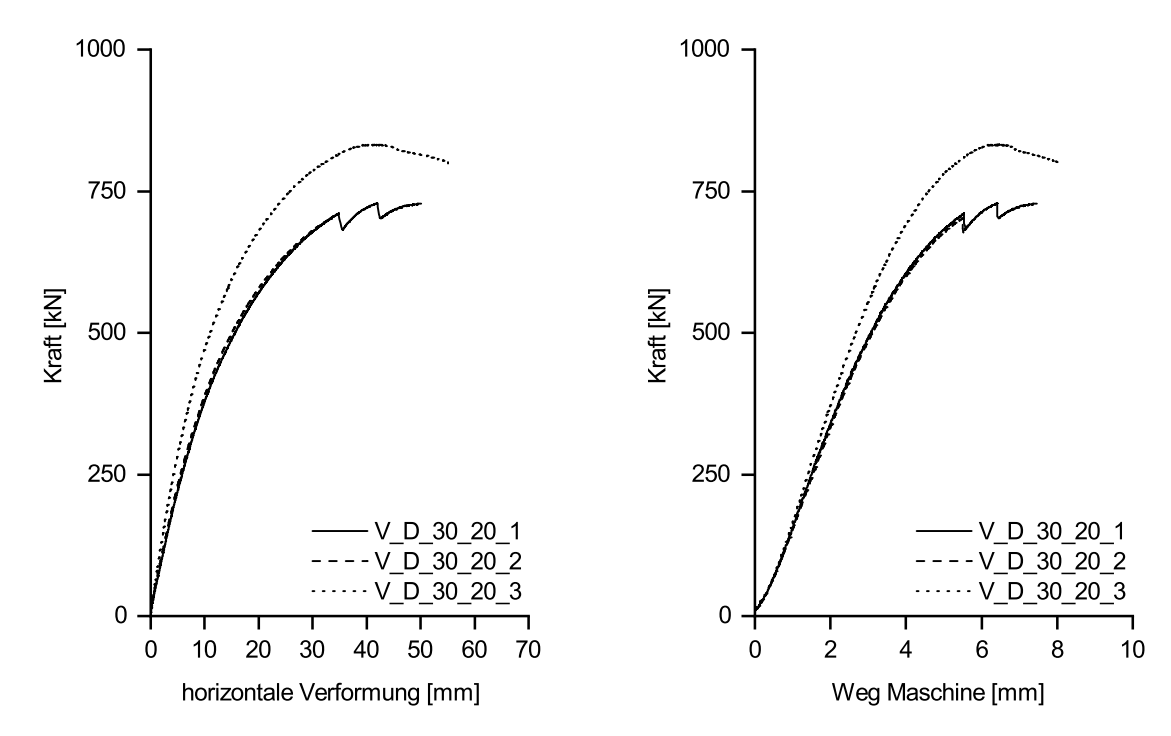


Abbildung 6.11: Dehnungen in Wandmitte bei Versuch V\_D\_30\_10\_1

#### 20 mm exzentrische Versuche

Die Ergebnisse der Versuche mit 20 mm Exzentrizität sind ähnlich zu denen mit 10 mm Exzentrizität, jedoch wurden geringere Maximallasten erreicht, wie Abbildung 6.12 zeigt. Versuch V\_D\_30\_20\_1 versagte schlagartig bei 728 kN. Vor dem Versagen war zweimal ein lautes Knacken zu hören, welches von einem Kraftabfall begleitet wurde. Versuch V\_D\_30\_20\_2 versagte ohne Vorankündigung bei 703 kN. Bei Versuch V\_D\_30\_20\_3 war ein duktiles Bauteilverhalten zu beobachten, die Maximalkraft betrug hier 833 kN. Bei einer Restkraft von 800 kN wurde der Versuch manuell abgebrochen.



**Abbildung 6.12:** Kraft-horizontale Verformung und Kraft-Weg Diagramm der 20 mm exzentrischen Versuche

Wie in Abbildung 6.13 für Versuch V\_D\_30\_20\_3 dargestellt, sind die Dehnungsverläufe für die Holz- und Betondehnung in Wandmitte affin zu den Verläufen mit 10 mm Exzentrizität. Bei den Versuchen V\_D\_30\_20\_1 und V\_D\_30\_20\_2 sind diese Verläufe bis zum Versagen, trotz der unterschiedlichen Versagensart ähnlich.

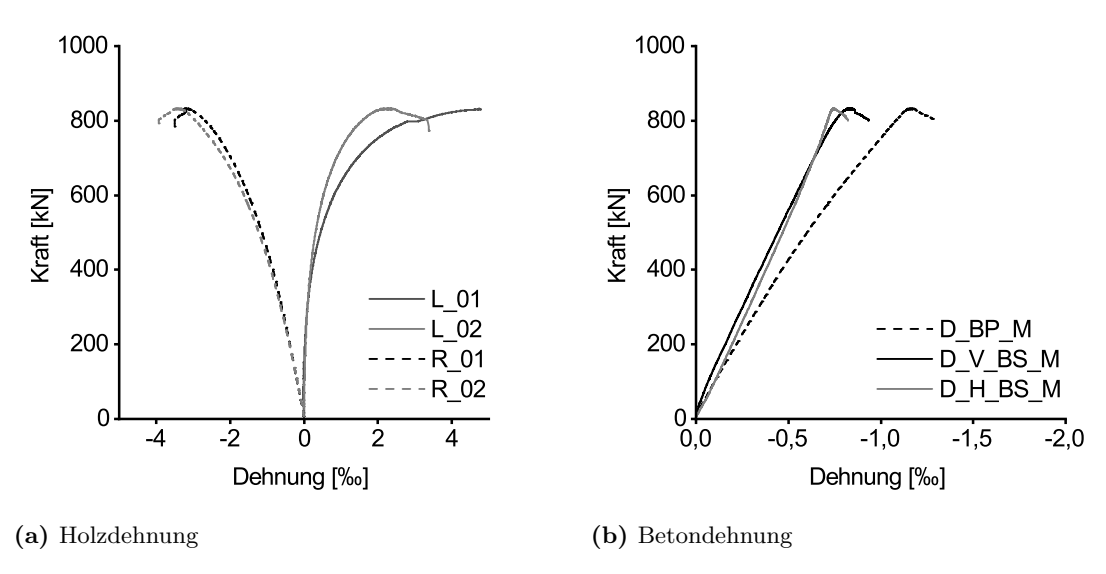


Abbildung 6.13: Dehnungen in Wandmitte bei Versuch V\_D\_30\_20\_3

#### 6.3.2 Versuche mit alternierendem Wandkern aus Beton und Holz

#### Zentrischer Versuch

Die Ergebnisse des zentrisch belasteten Versuchs mit alternierend aufgebautem Wandkern zeigt Abbildung 6.14. Die Knicklast betrug bei diesem Versuch 1070 kN, einhergehend mit dem Ausknicken sind ein schlagartiger Lastabfall, sowie die Zunahme der horizontalen Verformung in Wandmitte.

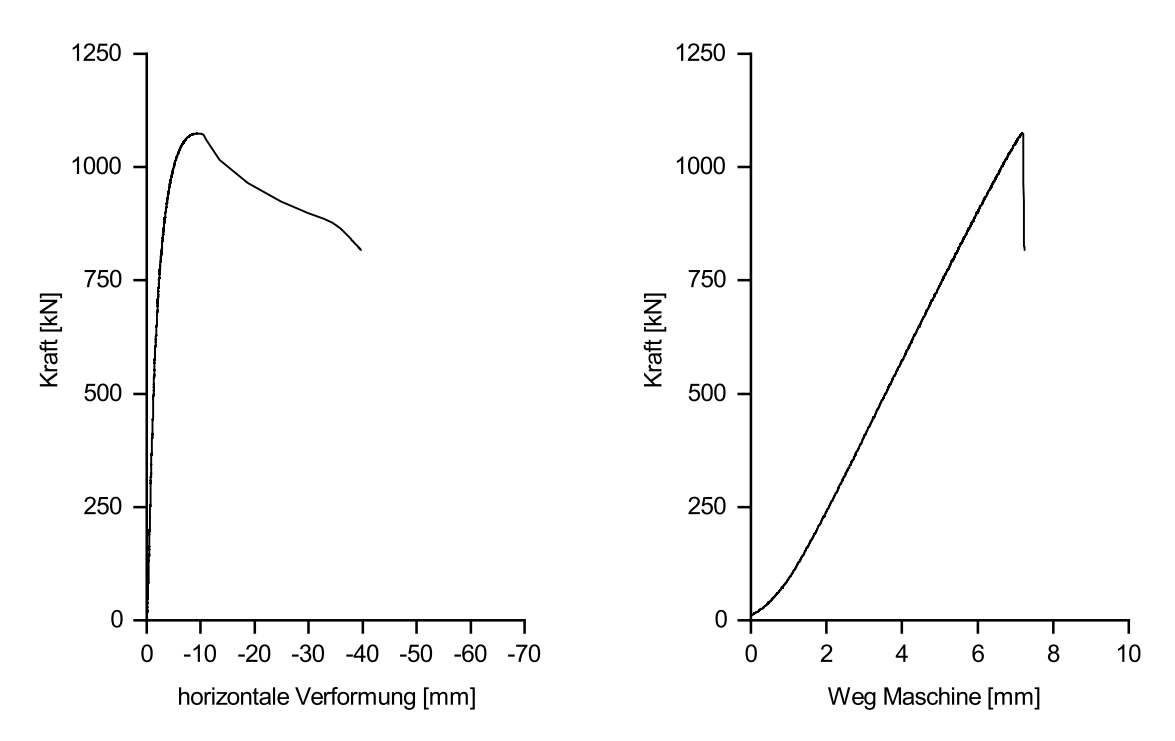


Abbildung 6.14: Kraft-horizontale Verformung und Kraft-Weg Diagramm des zentrischen Versuchs

Abbildung 6.15 stellt die Verläufe der Holzdehnung und Betondehnung dar. Die Betondehnung wurde nur an der im Querschnitt hinten angeordneten Betonlamelle aufgezeichnet. Die Verläufe sind affin zu denen mit durchgängigem Kern. Alle Dehnungen stiegen linear an und vor erreichen der Knicklast erfuhren die außenliegenden auf der Zugseite angeordneten DMS eine Zugbeanspruchung. Die Betondehnung verläuft linear und fällt nach dem Ausknicken schlagartig ab.

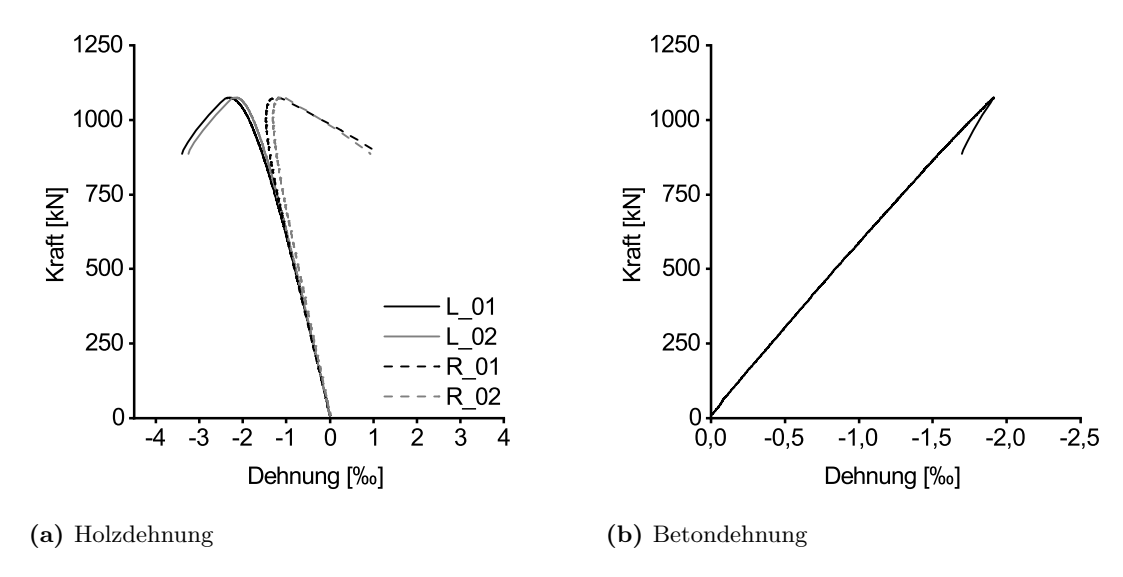
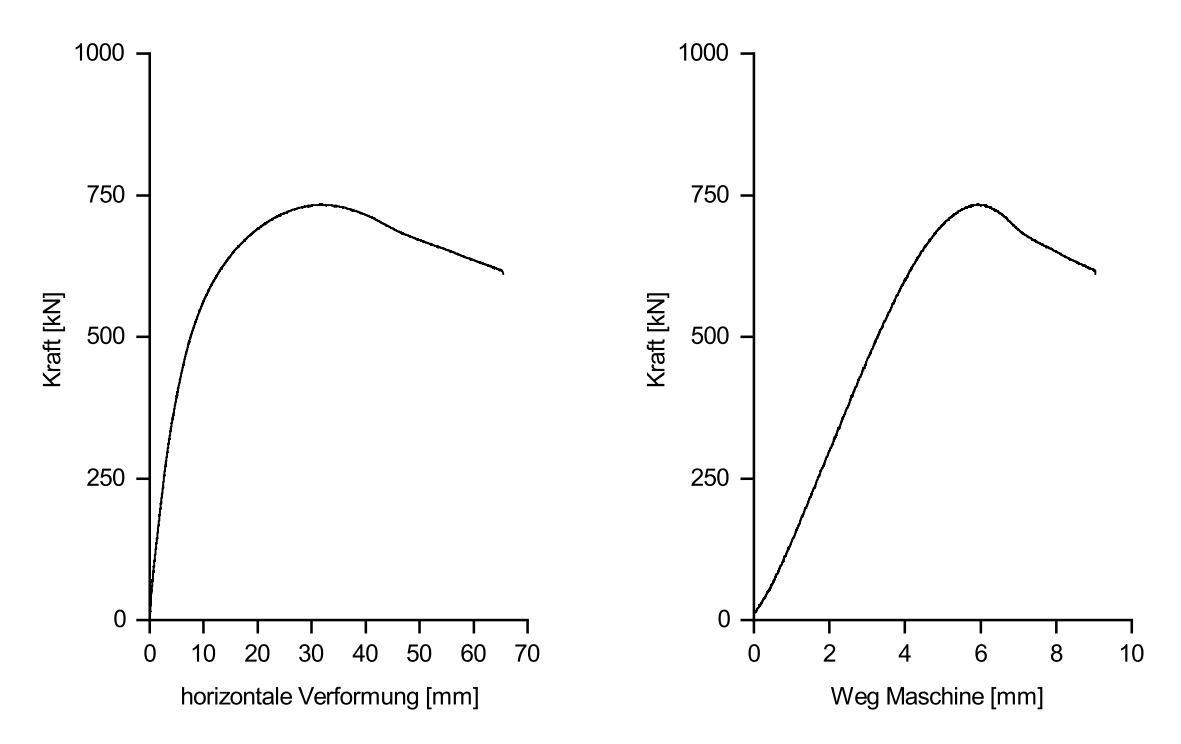


Abbildung 6.15: Dehnungen in Wandmitte bei Versuch V\_A\_30\_00\_1

#### 10 mm exzentrischer Versuch

Der Versuch mit alternierend aufgebautem Wandkern und 10 mm exzentrisch angeordneter Belastung zeigte ein identisches Verhalten wie die Versuche mit durchgängigem Betonkern. Die Maximalkraft betrug 733 kN, der Prüfkörper zeigte ein duktiles Bauteilverhalten. In Abbildung 6.16 ist das dazugehörige Kraft-Verformungsdiagramm und Kraft-Wegdiagramm dargestellt.



**Abbildung 6.16:** Kraft-horizontale Verformung und Kraft-Weg Diagramm des exzentrischen Versuchs

Die Dehnungsverläufe in Wandmitte zeigt Abbildung 6.17. Die Verläufe sind identisch zu den anderen exzentrischen Versuchen. Die maximale Betondehnung betrug -1,2 % und die Holzdehnung bei Erreichen der Maximallast betrug auf der gezogenen Seite 1,1 % und auf der gedrückten Seite -2,8 %.

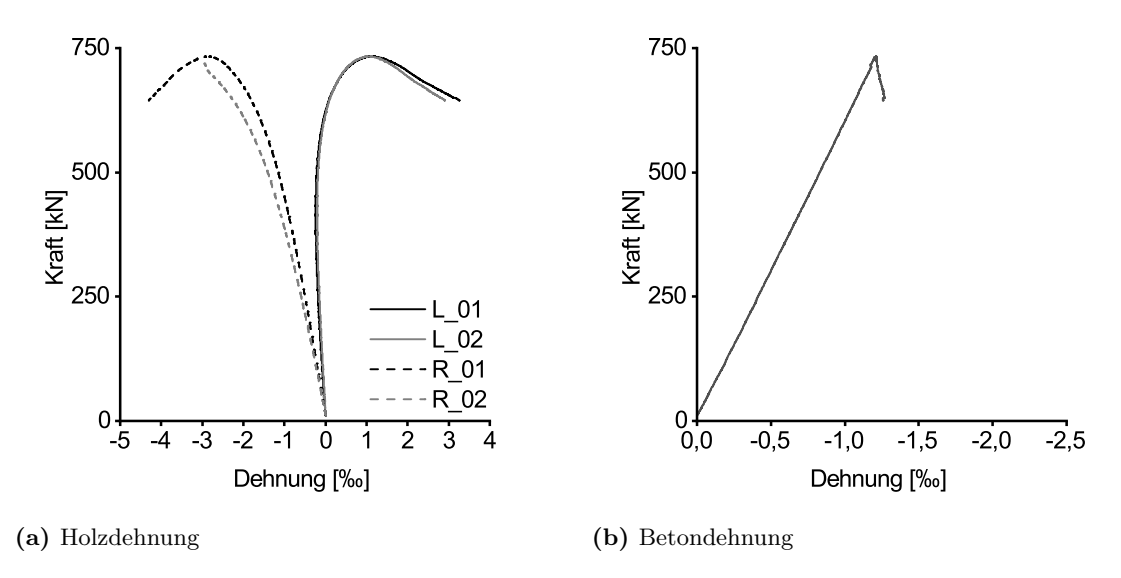


Abbildung 6.17: Dehnungen in Wandmitte bei Versuch V\_A\_30\_10\_1

#### 6.3.3 Versagensarten

#### Duktiles Versagen

Duktiles Versagen war dadurch gekennzeichnet, dass nach dem Erreichen der Maximallast die Kraft wieder abfiel und die horizontale Verformung in Wandmitte zunahm. Während der Versuchsdurchführung war im oberen Lastbereich ein lautes Knacken zu vernehmen. Beim Ausbau der Versuchskörper waren in Wandmitte in den äußersten Holzlamellen der gestauchten Seite Druckfalten augenscheinlich erkennbar. Abbildung 6.18 zeigt exemplarisch für Versuch V\_D\_30\_10\_2 die Druckfalten in Wandmitte.



Abbildung 6.18: Druckfalten der äußersten Holzlamellen in Wandmitte bei Versuch V\_D\_30\_10\_2

# Schlagartiges Versagen

Beim schlagartigem Versagen versagt der Prüfkörper ohne Vorankündigung bei Erreichen der Bruchlast. Dieses Verhalten trat bei drei exzentrisch belasteten Prüfkörpern auf. Abbildung 6.19 zeigt die drei Prüfkörper unmittelbar nach dem Versagen. Zu erkennen war, dass bei

diesen Versuchen die Klebefuge zwischen Holz und Beton versagte, da der Bruch in dieser Grenzfläche stattfand.



Abbildung 6.19: Versuchskörper nach schlagartigem Versagen

Bei Versuch V\_D\_30\_20\_2 wurden während der Versuchsdurchführung am unteren Rollenkipplager im Sekundentakt Fotos aufgezeichnet. Abbildung 6.20 zeigt vier Bilder im Lagerbereich unmittelbar vor dem Versagen. In Teilbild a) ist noch kein Riss zu erkennen. Teilbild b) weist bereits einen Riss zwischen dem Kern aus Beton und Holz auf. Dieser Riss vergrößert sich bis zum Teilbild d) und ist hier gut ersichtlich. Im nächsten von der Kamera aufgezeichneten Bild, welches nicht mehr dargestellt ist, trat bei dem Prüfkörper das Versagen auf, wie in Abbildung 6.19 Teilbild c) dargestellt.

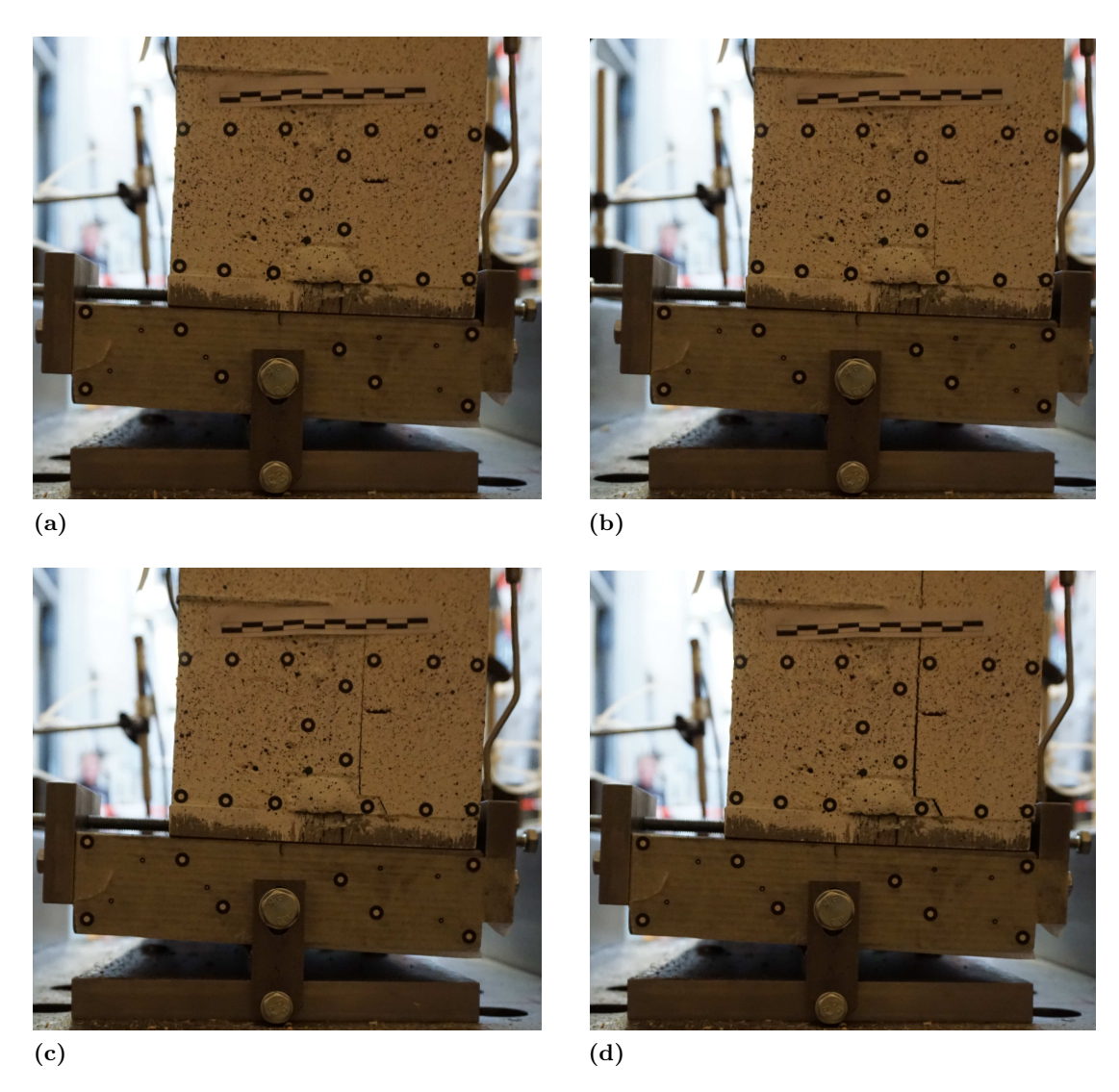


Abbildung 6.20: Rissentwicklung am Wandfuß bei Versuch V\_D\_30\_20\_2

Eine mögliche Ursache hierfür könnte sein, dass es der Lagerkonstruktion geschuldet, zu einer Querzugbeanspruchung der Klebefuge kam. Das aufgebrachte Moment führt zu einer Verkrümmung des Bauteils. Die Holzlamellen auf der gezogenen Bauteilseite haben das Bestreben sich der Bauteilkrümmung zu entziehen. Hierdurch und durch die im System vorherrschenden Querkräfte, resultierend aus dem Biegemoment, entstehen horizontale Kräfte. Die horizontalen Kräfte müssen vom Prüfkörper über die aufgeschraubte Stahlplatte in die Lagerkonstruktion geleitet werden. Abbildung 6.21 veranschaulicht die Lagersituation am Wandkopf im verformten Zustand. Solange der gesamte Wandquerschnitt im Auflagerbereich überdrückt ist, verkeilen sich die Holzlamellen auf der gezogenen Querschnittseite mit der Stahlplatte und können so horizontale Kräfte ableiten. Ist der Querschnitt nicht überdrückt, kann sich die Wirkung der Verkeilung nicht oder nur unzureichend einstellen und die Horizontalkräfte können nicht an die Lagerkonstruktion abgegeben werden. Die vorherrschen-

den Horizontalkräfte werden als Querzugkräfte im Querschnitt weitergeleitet, bis sie in die Lagerkonstruktion abgegeben werden können. Überschreiten die Querzugkräfte die von der Klebefuge aufnehmbaren Querzugkräfte, tritt ein Versagen in der Klebefuge ein. (Maierbeck, 2020)

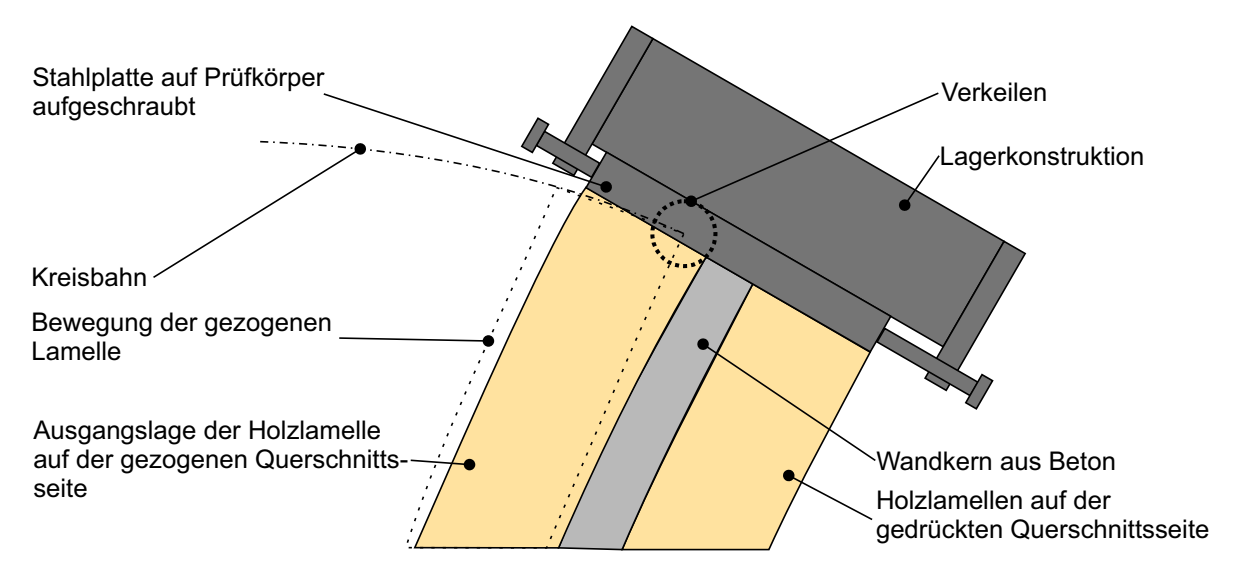


Abbildung 6.21: Lagersituation im verformten Zustand nach Maierbeck (2020)

Dies ist auch anhand der Dehnungsverläufe der gezogenen Querschnittseite im Auflagerbereich des Wandfußes und Wandkopfs zu erkennen. Abbildung 6.22 zeigt die aus beiden DMS gemittelten Dehnungsverläufe für die Versuche mit 10 mm Exzentrizität, grau dargestellt, und 20 mm Exzentrizität in schwarz. Die gestrichelte Linie kennzeichnet diejenigen Versuche, bei denen das schlagartige Versagen am Wandfuß oder am Wandkopf auftrat. Im Bereich des Wandfußes versagte Versuch V.D.30.20.2, schwarz gestrichelte Linie, die Dehnung ist hier im Vergleich zu allen anderen Versuchen sogar positiv, was den Rückschluss zulässt, dass der Querschnitt nicht vollständig überdrückt war. Im Bereich des Wandkopfs zeichnet sich dieses Verhalten nicht so deutlich ab. Die zwei Versuchskörper die im Bereich des Wandkopfs versagten zeigen eine mittlere Dehnung von knapp über 0 ‰. Die Versuche mit 10 mm Exzentrizität weisen deutliche Druckstauchungen auf, während hingegen die Versuche mit 20 mm Exzentrizität eine geringere Dehnung erfahren haben. Aus diesem Grund wird angenommen, dass bei den Versuchen V.D.30.10.3 und V.D.30.20.1 neben den geometrischen Randbedingungen auch qualitative Schwankungen in der Verklebung ursächlich für das schlagartige Versagen sein könnten. Ähnliches wird auch von Maierbeck (2020) beschrieben.

6.4. Zwischenfazit 65

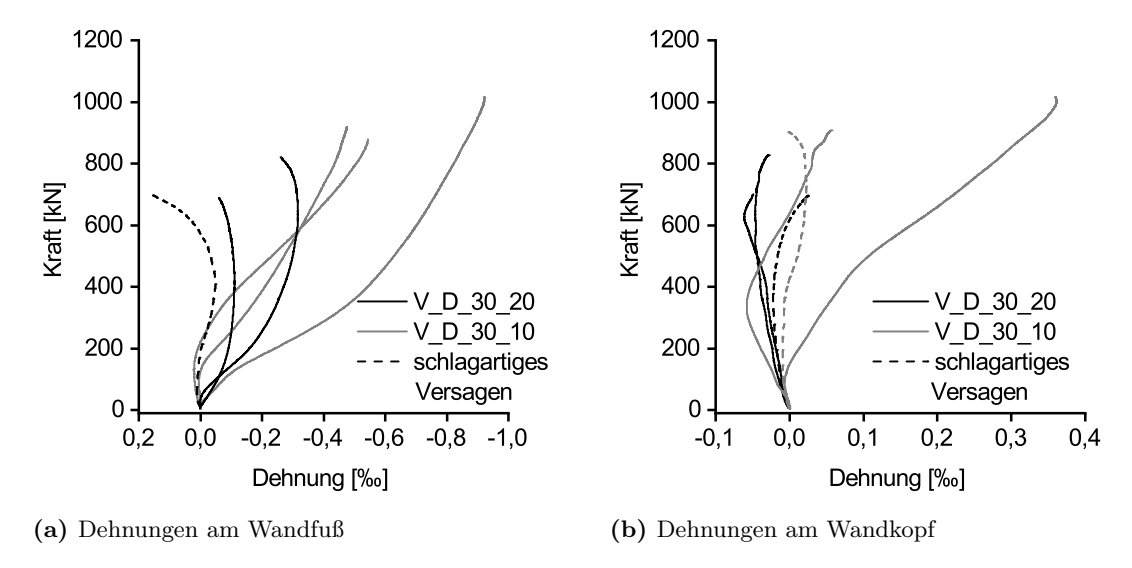


Abbildung 6.22: Dehnungen am auf der gezogenen Seite am Wandfuß und am Wandkopf für die Versuche mit 10 mm und 20 mm Exzentrizität

Ebenfalls zeigten die zentrisch belasteten Versuche ein schlagartiges Versagen, was charakteristisch für Stabilitätsprobleme ist. Nach dem Ausbau der Prüfkörper war keine Materialschädigung augenscheinlich zu vernehmen.

#### 6.4 Zwischenfazit

Als Fazit der hier durchgeführten Bauteilversuche kann gezogen werden, dass eine Herstellung von Wänden mit zusammengesetztem Querschnitt im industriellen Umfeld möglich ist. Große Sorgfalt ist hinsichtlich der Toleranzen zu wahren, besonders dann, wenn in einem Wandelement sowohl Betonelemente als auch Holz im Kern verbaut wird. Aus den Versuchen geht hervor, dass ein duktiles Bauteilversagen möglich und Querzug auf die Klebefuge zu vermeiden ist.

# 7 Bemessungsvorschlag und Anschlussdetails

## 7.1 Modellierung der Bauteilversuche

#### 7.1.1 Allgemeines

Die Modellierung der Bauteilversuche erfolgte analytisch mit dem bekannten Formelwerk zur Bestimmung von Knicklasten für zentrisch gedrückte Stäbe, sowie der Lösung der Differentialgleichung nach Theorie II. Ordnung für exzentrisch belastete Stäbe. Bei der analytischen Modellierung wurden vereinfacht ideale Auflagerbedingungen angenommen. Versteifende Effekte aus den Auflagern, z. B. die Verwendung von Stahl anstelle von Holz im Lagerbereich und die aus den Reibungskräften entstehenden rückdrehenden Momente, blieben unberücksichtigt.

Zur Modellierung der Bauteilversuche wurde das System durch einen zentrisch und exzentrisch gedrückten Pendelstab idealisiert, wie Abbildung 7.1 zeigt. Die Länge der Pendelstäbe betrug 2,97 m, die Exzentrizität war analog zu den Versuchen mit 10 mm bzw. 20 mm angesetzt.

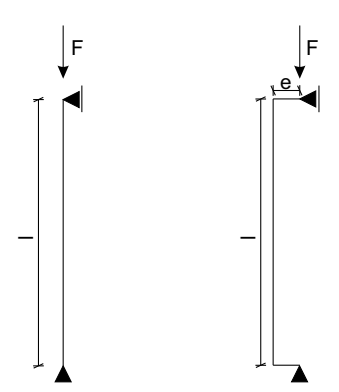


Abbildung 7.1: Statische Systeme der modellierten Pendelstäbe

Zur Untersuchung der zentrisch belasteten Wandelemente wird die im Versuch ermittelte Knicklast mit der rechnerisch bestimmten verglichen. Die rechnerische Ermittlung der Knick-

last erfolgte mithilfe der bekannten Euler-Formeln. Nach Winter et~al.~(2008) wurde anstelle der Biegesteifigkeit EI die effektive Biegesteifigkeit efB, welche die Schubverformungen des Aufbaus berücksichtigt, angesetzt, wie in Gleichung 7.1 aufgeführt.

$$P_{ki} = \frac{\pi^2}{s_k^2} \cdot efB \tag{7.1}$$

mit:

 $P_{ki}$  kritische Knicklast

 $s_k$  Knicklänge

efB effektive Biegesteifigkeit

Bei schlanken Bauteilen unter Normalkraftbeanspruchung, führt die Verformung des Bauteils zu einer Vergrößerung der Schnittgrößen (Theorie II. Ordnung). Dieser Effekt war für die Modellierung der Versuche zu berücksichtigen. Bei den exzentrischen Versuchen wurde der Momenten- und Verformungsverlauf entlang der Länge l mit der Diffenrentialgleichung nach Theorie II. Ordnung bestimmt. Gleichung 7.2 zeigt die allgemeine Differentialgleichung nach Theorie II. Ordnung für die in Abbildung 7.1 rechts dargestellte exzentrisch belastete Pendelstütze. Unter Berücksichtigung der vorherrschenden Randbedingungen konnte die Verformung für jeden Punkt x im System mit Gleichung 7.3 bestimmt werden.

$$w^{II}(x) + \alpha^2 w(x) = -\alpha^2 \cdot e \tag{7.2}$$

$$w_{II}(x) = \frac{e - e\cos(\alpha l)}{\sin(\alpha l)} \cdot \sin(\alpha x) + e\cos(\alpha x) - e$$
(7.3)

mit

 $\alpha^2$  Stabkennzahl;  $\alpha^2 = \frac{F}{EI}$ 

 $w_{II}(x)$  Verformung an der Stelle x nach Theorie II. Ordnung

l Länge

e Exzentrizität

Mit der nach Gleichung 7.3 bestimmten Verformung ergab sich der zugehörige Momentenverlauf nach Gleichung 7.4 aus dem sich wiederum der Querkraftverlauf nach Gleichung 7.5 bestimmen ließ.

$$M_{II}(x) = F \cdot e + F \cdot w(x) = F \cdot \left(\frac{e - e\cos(\alpha l)}{\sin(\alpha l)} \cdot \sin(\alpha x) + e\cos(\alpha x)\right)$$
(7.4)

$$Q_{II}(x) = F \cdot \left(\frac{e - e\cos(\alpha l)}{\sin(\alpha l)} \cdot \cos(\alpha x) - e\sin(\alpha x)\right)$$
(7.5)

mit  $\alpha^2 \qquad \qquad \text{Stabkennzahl; } \alpha^2 = \frac{F}{EI}$   $F \qquad \qquad \text{aufgebrachte Kraft}$ 

l Länge

e Exzentrizität

Um die aus der Schubverformung resultierende zusätzliche Verformung zu berücksichtigen wurde anstelle der Biegesteifigkeit EI die effektive Biegesteifigkeit efB zur Lösung der Gleichungen 7.3, 7.4 und 7.5 verwendet. Die effektive Stabkennzahl nach Gleichung 7.6 ergab sich zu:

$$\alpha_{ef}^2 = \frac{F}{efB} \tag{7.6}$$

mit

F aufgebrachte Kraft efB effektive Biegesteifigkeit

Die Ermittlung der effektiven Biegesteifigkeit beruhte auf den Ansätzen der Schubanalogie. Nachfolgend ist entsprechendes Formelwerk aufgeführt, welches Winter et al. (2008) zu entnehmen ist. Hierfür wurden die Eigenanteile nach Gleichung 7.7 und die Steineranteile nach Gleichung 7.8 der Biegesteifigkeit ebenso wie die Ersatzschubsteifigkeit nach Gleichung 7.9 des Gesamtquerschnitts bestimmt. Die effektive Biegesteifigkeit ergab sich in Abhängigkeit des statischen Systems nach Gleichung 7.10.

$$B_A = \sum_{i=1}^{n} (E_i \cdot \frac{d_i^3}{12}) \tag{7.7}$$

$$B_B = \sum_{i=1}^{n} (E_i \cdot d_i \cdot z_{s,i}^2) \tag{7.8}$$

mit

 $E_i$  E-Modul der jeweiligen Lage

 $d_i$  Dicke der jeweiligen Lage

 $z_{s,i}$  Abstand der jeweiligen Lage zum Gesamtschwerpunkt des Querschnitts

$$\frac{1}{S} = \frac{1}{a^2} \left\{ \frac{d_1}{2 \cdot G_1} + \sum_{i=2}^{n-1} \left( \frac{d_1}{G_i} \right) + \frac{d_n}{2 \cdot G_n} \right\}$$
 (7.9)

mit

 $G_i$  Schubmodul der jeweiligen Lage parallel zur betrachteten Tragrichtung

 $d_i$  Dicke der jeweiligen Lage

a Abstand der äußersten, parallel zur betrachteten Tragrichtung, verlaufenden Schichten

$$efB = B_A + B_B \cdot \frac{1}{1 + \frac{B_B \cdot \pi^2}{S} \cdot s_k^2}$$
 (7.10)

 $_{
m mit}$ 

 $B_A$  Eigenanteile

 $B_B$  Steineranteile

S Ersatzschubsteifigkeit

 $s_k$  Knicklänge

Aufbauend auf dem Momenten- und Querkraftverlauf ergaben sich die Normal- und Schubspannungsverläufe aus den Gleichungen 7.11, 7.12 und 7.13. Vereinfacht wurden diese Verläufe unter Berücksichtigung der schubstarren Verbundtheorie berechnet, da dies nach Winter  $et\ al.$  (2008) bei baupraktisch relevanten Abmessungen ausreichend genaue Ergebnisse liefert. Zur Bestimmung der Spannung an einer bestimmten Stelle i im Querschnitt, wurden die Materialparameter der jeweiligen Schicht verwendet.

$$\sigma_m = \frac{M_{II}}{B} \cdot E_i \cdot \frac{d_i}{2} \tag{7.11}$$

$$\sigma_c = \frac{F}{D} \cdot E_i + \frac{M_{II}}{B} \cdot E_i \cdot z_{s,i} \tag{7.12}$$

 $_{
m mit}$ 

 $\sigma_m$  Biegespannung  $\sigma_c$  Normalspannung

F einwirkende Normalkraft

 $M_{II}$  Biegemoment nach Theorie II. Ordnung

B Biegesteifigkeit des gesamten Querschnitts,  $B = B_A + B_B$ D Dehnsteifigkeit des gesamten Querschnitts,  $D = \sum E_i \cdot A_i$ 

 $E_i$  E-Modul der Schicht i  $d_i$  Dicke der Schicht i

 $z_{s,i}$  Schwerpunktabstand der betrachteten Lamelle zum Querschnittsschwerpunkt

$$\tau_R = \frac{V_{II}}{a} \tag{7.13}$$

mit

 $\tau_R$  Rollschubspannung

 $V_{II}$  Querkraft nach Theorie II. Ordnung

a Abstand der äußersten, parallel zur betrachteten Tragrichtung, verlaufenden

Schichten

Mit den nach Gleichung 7.11, 7.12 und 7.13 ermittelten Spannungen wurden die Spannungsnachweise nach Gleichung 7.14 und 7.15 geführt. Die maximale Tragfähigkeit wurde iterativ durch die stetige Erhöhung der einwirkenden Kraft F bestimmt. Beim Überschreiten der Nachweisbedingung erfolgte der Abbruch des iterativen Prozesses. Zudem wurde die horizontale Verformung in Wandmitte ausgegeben.

$$\frac{\sigma_c}{f_c} + \frac{\sigma_m}{f_m} \le 1 \tag{7.14}$$

$$\frac{\tau_R}{f_{v,R}} \le 1 \tag{7.15}$$

 $\sigma_m$  Biegespannung  $\sigma_c$  Normalspannung  $\tau_R$  Rollschubspannung  $f_c$  Druckfestigkeit  $f_m$  Biegefestigkeit

mit

 $f_{v,R}$  Rollschubfestigkeit

#### 7.1.2 Verwendete Materialeigenschaften für die Modellierung

Zur Modellierung der Versuche wurden für den Beton die mit den Begleitversuchen bestimmten Materialparameter verwendet. Die Betondruckfestigkeit betrug im Mittel  $133 \text{ N/mm}^2$  und der E-Modul  $46800 \text{ N/mm}^2$ . Mit einer Querdehnzahl von 0.2 ergab sich ein Schubmodul von  $19500 \text{ N/mm}^2$ .

Das verwendete Fichtenholz zur Herstellung der Prüfkörper erfüllte laut Herstellerangaben die Mindestfestigkeiten der Festigkeitsklasse C24 nach DIN EN 338. Die Nachrechnung der Versuche erfolgte jedoch mit den unterschiedlichen Festigkeitsklassen nach DIN EN 338. Der nicht normativ geregelte Rollschubmodul des Holzes wurde nach Winter et al. (2008) zu  $G_{R,mean}=0,1\cdot G_{mean}$  bestimmt. Alle bei der Nachrechnung verwendeten Materialeigenschaften sind in Tabelle 7.1 aufgeführt.

Für den Beton geht zum einen aus Kapitel 6.3 hervor, dass die im Beton hervorgerufenen Dehnungen im linear-elastischen Bereich sind, und zum anderen zeigte sich in den durchgeführten Begleitversuchen des Betons, dass die Spannungs-Dehnungslinie bis annähernd zum Bruch linear elastisch verläuft. Die Spannungs-Dehnungslinie von Holz ist unter Druckbeanspruchung bis zu ca. 70% der Druck-Bruchspannung linear und geht dann in einen gekrümmten Verlauf über. Unter Zugbeanspruchung verhält sich Holz weitestgehend elastisch (Petersen, 1992). Aufgrund der großen Streuungen der Materialeigenschaften des Holzes, wird hier vereinfachend ein linear-elastisches Materialgesetz für die Nachrechnung verwendet.

Tabelle 7.1: Verwendete Festigkeitseigenschaften für die Nachrechnung der Bauteilversuche

		$\operatorname{Holz}$				Beton
Klasse		C24	C30	C40	C50	
Festigkeitseigenschaften $[N/mm^2]$						
Biegung	$f_{m,k}$	24,0	30,0	40,0	50,0	
Zug	$f_{t,0,k}$	14,5	19,0	26,0	33,5	
Druck	$f_{c,0,k}$	21,0	24,0	27,0	30,0	132,5
Schub	$f_{v,k}$	4,0	4,0	4,0	4,0	
Mittelwert des E-Moduls	$E_{m,0,mean}$	11.000	12000	14000	16000	46774
Mittelwert des Schubmoduls	$G_{mean}$	690	750	880	1000	19489
Rollschubmodul	$G_{R,mean}$	69	75	88	100	

#### 7.1.3 Zentrische Bauteilversuche

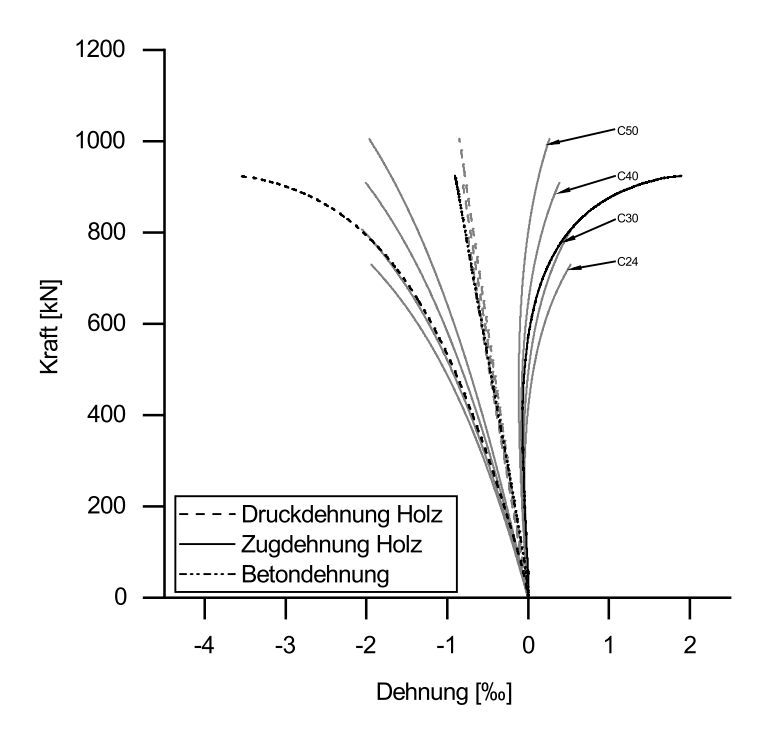
In Tabelle 7.2 sind die in den Versuchen erzielten Knicklasten der zentrisch belasteten Versuche sowie die berechneten Knicklasten aufgeführt. Zur Modellierung wurden die in Kapitel 7.1.1 aufgeführten Formeln verwendet. Bei der Modellierung der Versuche mit alternierend aufgebauten Wandkern wurden die Materialeigenschaften von Beton und Holz für den Wandkern gemittelt. Es zeigt sich, dass die im Versuch erzielten Knicklasten für alle Versuche größer sind als die mit den Eigenschaften der Holzfestigkeitsklasse C24 berechneten.

Tabelle 7.2: Knicklasten [kN] der zentrischen Bauteilversuche

Versuchsergebnisse		Ergebnis der Nachrechnung					
		mit H	mit Holzfestigkeitsklasse				
Versuch	Ergebnis	C24	C30	C40	C50		
V_D_30_00_1	1677						
V_D_30_00_2	1693	1224	1329	1542	1752		
V_D_30_00_3	1331						
V_D_45_00_1	1822	1399	1507	1727	1944		
V_A_30_00_1	1070	961	1046	1216	1386		

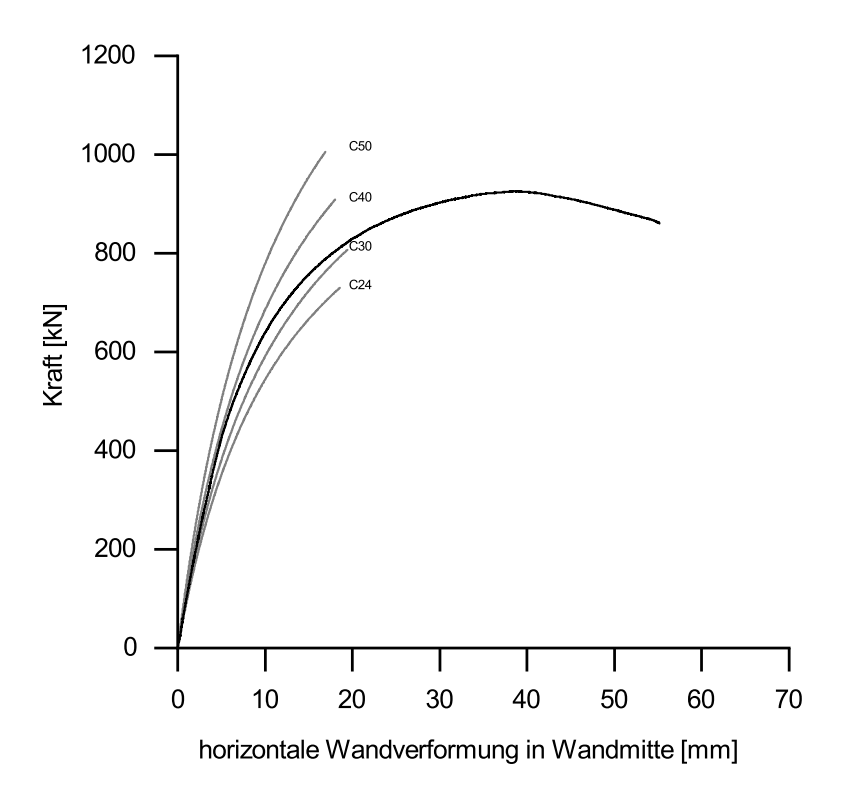
#### 7.1.4 Exzentrische Bauteilversuche

Bei den exzentrischen Bauteilversuchen werden die rechnerisch ermittelten Dehnungen in Wandmitte im Holz und im Beton und die horizontale Wandverformung der im Versuch bestimmten gegenübergestellt. Abbildung 7.2 zeigt die im Versuch V\_D\_30\_10\_1 bestimmte Holzund Betondehnung in schwarz bis zur erreichten Maximallast, sowie die rechnerisch bestimmten Dehnungen für die unterschiedlichen Holzfestigkeitsklassen in Grautönen. Es zeigt sich, dass sowohl im Versuch als auch bei der Berechnung die Betondehnungen in Querschnittsmitte linear mit der Kraft anwachsen. Die berechneten Holzdruck- und zugdehnungen verlaufen affin zu den im Versuch bestimmten.



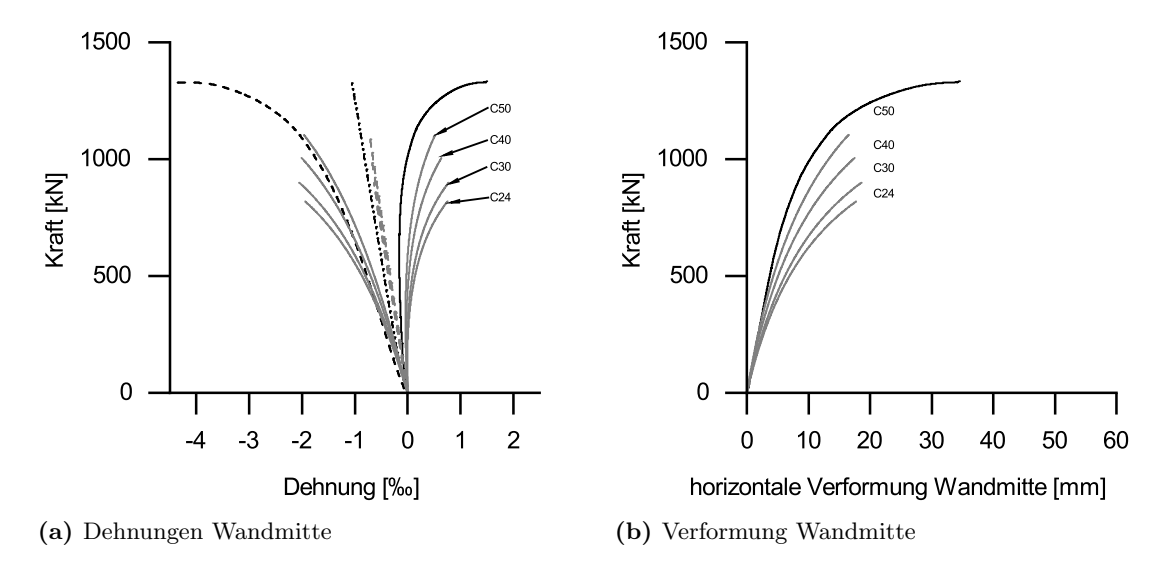
**Abbildung 7.2:** Vergleich der rechnerisch ermittelten Dehnung für verschiedene Holzfestigkeiten mit im Versuch V\_D\_30\_10\_1 bestimmten Dehnungen

Abbildung 7.3 zeigt die berechnete horizontale Verformung in Wandmitte für die verschiedenen Holzfestigkeiten und die dazugehörige im Versuch V\_D\_30\_10\_1 bestimmte Verformung. Auch hier zeigt sich eine gute Übereinstimmung der beiden Verläufe. Wie bei den Dehnugsverläufen ist auch hier zu erkennen, dass der Übergang in den horizontalen Bereich nicht abgebildet werden kann, was auf eine Unterschätzung der Holzdruckfestigkeit bei der Modellierung zurückzuführen ist.

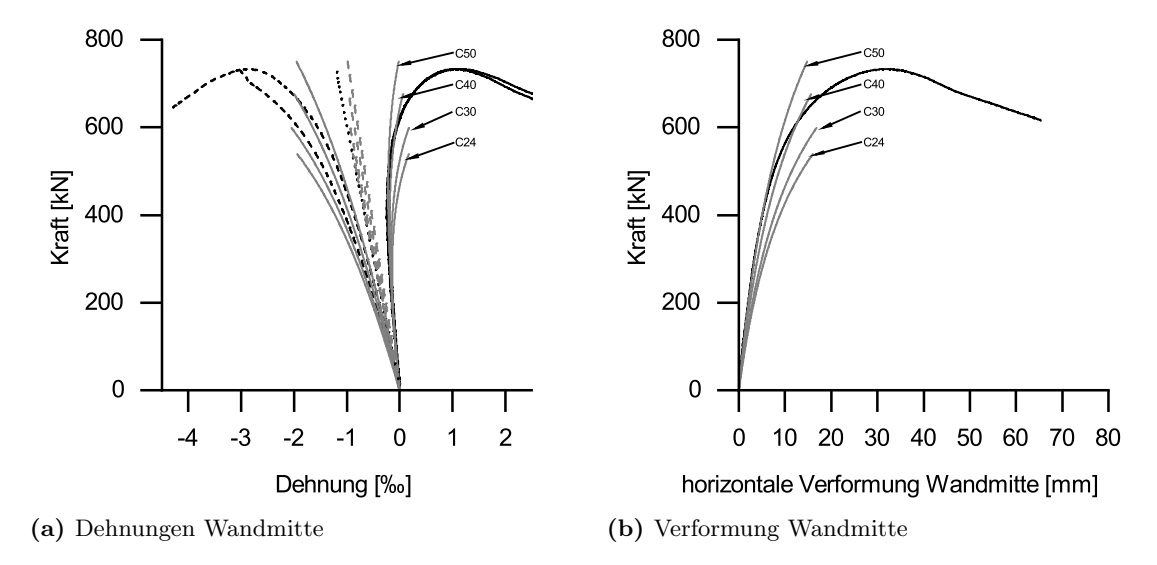


**Abbildung 7.3:** Vergleich der rechnerisch ermittelten horizontalen Verformung für verschiedene Holzfestigkeiten mit im Versuch bestimmter Verformung bei V\_D\_30\_10\_1

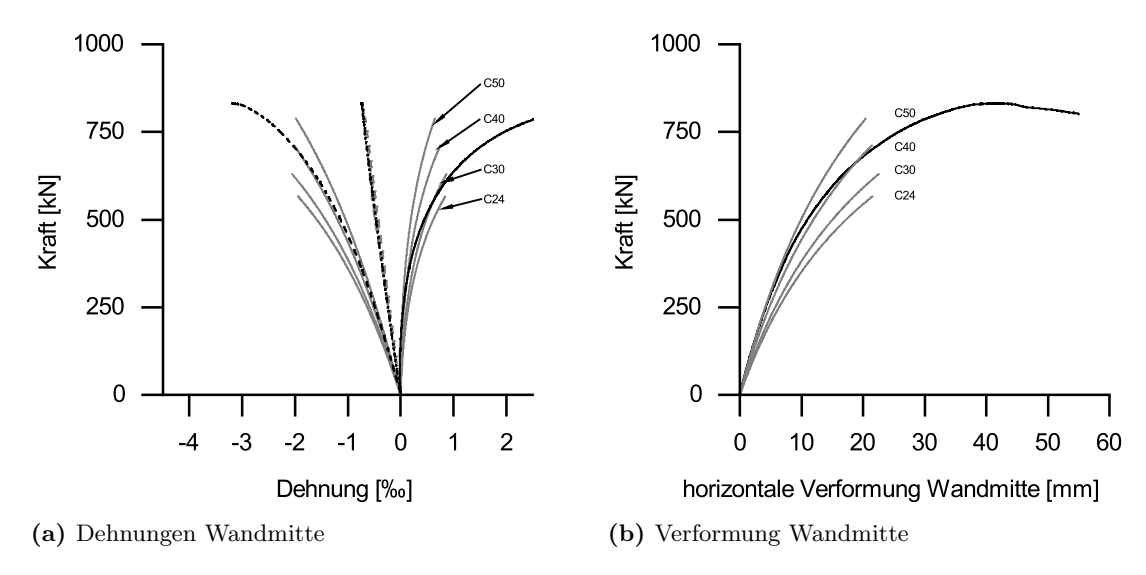
Die Abbildungen 7.4,7.5 und 7.6 zeigen die Dehnungsverläufe sowie die Kraft-Verformungsdiagramme des Versuchs mit 45 mm dickem Betonkern, des alternierenden Aufbaus des Wandkerns sowie eines Versuchs mit 20 mm Exzentrizität. Auch bei diesen Versuchen zeigte sich eine gute Übereinstimmung des qualitativen Verlaufs der Versuchskurven mit den berechneten Ergebnissen.



**Abbildung 7.4:** Vergleich der rechnerisch ermittelten Dehnungen und Verformungen für verschiedene Holzfestigkeiten mit im Versuch bestimmten Daten mit 45 mm Betonkern



**Abbildung 7.5:** Vergleich der rechnerisch ermittelten Dehnungen und Verformungen für verschiedene Holzfestigkeiten mit im Versuch bestimmten Daten mit alternierendem Wandkern und 10 mm Exzentrizität



**Abbildung 7.6:** Vergleich der rechnerisch ermittelten Dehnungen und Verformungen für verschiedene Holzfestigkeiten mit im Versuch bestimmten Daten mit 30 mm Betonkern und 20 mm Exzentrizität

#### 7.1.5 Bemessungsvorschlag

Aufbauend auf den durchgeführten Bauteilversuchen sowie der Modellierung dieser Versuche mit der Schubanalogie wird vorgeschlagen, Brettsperrholzwände mit zusammengesetztem Querschnitt abschnittsweise zu Bemessen. Im Bereich der eingeklebten Betonplatte kann die Bauteilsteifigkeit basierend auf der Schubanalogie unter Berücksichtigung der höheren Steifigkeitseigenschaften des Betons bestimmt werden. Darauf aufbauend lassen sich die Verformung sowie die Schnittgrößen bestimmen. Damit und mit den Bauteilsteifigkeiten kann die maximal vorherrschende Spannung ermittelt und mit den zulässigen Spannungen verglichen werden. Die Spannungsnachweise sollten für das Holz und den Beton geführt werden. Es ist darauf zu achten, dass der Betonkern vollständig überdrückt ist. Im Bereich des reinen Holzquerschnitts erfolgt die Bemessung mit den bekannten Verfahren.

#### 7.1.6 Vergleichsbetrachtung

Um den Unterschied zwischen einer reinen Brettsperrholzwand und einer Wand mit zusammengesetztem Querschnitt aufzuzeigen, wird die rechnerische Tragfähigkeit von unterschiedlichen Wandaufbauten auf Bemessungsniveau verglichen. Das statische System entspricht dem in Abbildung 7.1 rechts. Betrachtet werden Exzentrizitäten von 10 mm und 20 mm und die Wandlänge beträgt 0,5 m. Die Wandaufbauten sind fünf lagig und weisen eine Querschnittsdicke von 15 cm und 32 cm auf. Die Lamellendicke beträgt für jede Lage 30 mm bei dem 15 cm dicken Wandaufbau, die Lamellendicken bei der 32 cm dicken Wand betragen 80-40-

80-40-80 mm. Die 80 mm dicken Lagen bestehen aus zwei 40 mm dicken Längslagen. Bei den Wänden mit zusammengesetztem Querschnitt ist die Kerndicke affin zur Kerndicke der homogenen Brettsperrholzwand. Die Bemessungswerte für das Holz werden nach den Gleichungen 7.16 und 7.17 sowie für den Beton nach 7.18, 7.19 und 7.20 berechnet. Grundlage für die Bestimmung der Bemessungswerte für das Holz bilden die Materialkennwerte für Fichte der Festigkeitsklasse C24 nach DIN EN 338 und für den Beton die aus den Begleitversuchen der Bauteilversuche bestimmten Eigenschaften. Für die E-Moduli werden die Mittelwerte verwendet. Die verwendeten Bemessungswerte sind in Tabelle 7.3 aufgeführt.

$$f_d = k_{mod} \cdot \frac{f_k}{\gamma_M} \tag{7.16}$$

$$E_d = \frac{E_{mean}}{\gamma_M} \tag{7.17}$$

mit

 $f_d$  Spannung auf Bemessungsniveau

 $f_k$  charakteristische Spannung  $E_{mean}$  Mittelwert des E-Moduls

 $k_{mod} = 0.8$  Modifikationsbeiwert

 $\gamma_M = 1,3$  Teilsicherheitsbeiwert

$$f_{c,d} = \alpha_{cc} \cdot \frac{f_{ck}}{\gamma_M} \tag{7.18}$$

$$E_{c,d} = \frac{E_{mean}}{\gamma_M} \tag{7.19}$$

$$G_{c,d} = \frac{E_{mean}}{2 \cdot (1+\nu)} \tag{7.20}$$

mit

 $f_{c,d}$  Druckspannung auf Bemessungsniveau

 $f_{c,k}$  charakteristische Druckspannung

 $E_{mean}$  Mittelwert des E-Moduls

G Schubmodul

 $\alpha_{cc} = 0.85$  Dauerstandsbeiwert

 $\nu = 0, 2$  Querdehnzahl

 $\gamma_M = 1,5$  Teilsicherheitsbeiwert

**Tabelle 7.3:** Verwendete Bemessungswerte in [N/mm<sup>2</sup>]

	Biegung	Zug	Druck	Rollschub	E-Modul	Schubmodul
Holz	14,77	12,92	8.61	0,5	8461	531
Beton			70,26		31183	12993

Tabelle 7.4 zeigt die Ergebnisse der Berechnungen getrennt für die unterschiedlichen Wandaufbauten und Exzentrizitäten. Bei der 15 cm dicken Wand mit 10 mm Exzentrizität konnten rechnerische Tragfähigkeitssteigerungen von bis zu 29,41% und bei der 32 cm dicken Wand bis zu 71,38% im Vergleich zur reinen Brettsperrholzwand erzielt werden. Bei der Exzentrizität von 20 mm fällt die Tragfähigkeitssteigerung geringer aus.

7.2. Anschlussdetail 79

Tabelle 7.4: Vergleich der rechnerischen Tragfähigkeit von Wänden mit homomgenem und zusammengesetztem Querschnitt

Wandaufbau	15	cm	$32~\mathrm{cm}$		
Exzentrizität	10 mm	20 mm	10 mm	$20 \mathrm{mm}$	
Bemessungskraft reiner Holzquerschnitt [kN]	374	298	1410	1281	
Bemessungskraft hybrider Querschnitt [kN]	484	370	2410	2061	
Tragfähigkeitssteigerung [%]	29,41	24,16	71,38	60,89	

Wie sich zeigt, kann durch das Einkleben der Betonplatten die Tragfähigkeit beträchtlich gesteigert werden. Die zu erzielende Tragfähigkeitssteigerung ist abhängig von der ausgeführten Dicke der eingeklebten Betonplatte, der anzusetzenden Lastexzentrizität und der Schlankheit der Wand selbst. Je geringer der Einfluss aus Theorie II. Ordnung ausfällt, desto mehr Einfluss gewinnt der Betonkern. Aus diesem Grund ist eine pauschale Aussage zur Tragfähigkeitssteigerung durch das Einkleben der Betonplatten nicht möglich.

#### 7.2 Anschlussdetail

Abbildung 7.7 zeigt ein mögliches Anschlussdetail für einen Wand-Decken-Knoten. Das Deckenbauteil ist grau dargestellt und liegt auf der unteren Wand auf. Die aufgehende Wand steht auf der Decke auf. Um einen maschinengesteuerten Zuschnitt der Wandelemente zu ermöglichen, springen die eingeklebten Betonplatten zurück. Es entsteht so ein Versatz zwischen Holz und Beton. Zur Kraftdurchleitung durch die Decke sind Öffnungen im Deckenbauteil vorgesehen. In diese Öffnungen werden vorgefertigte "Betonschwerter" gesteckt, welche über das Deckenbauteil hinaus in die angrenzenden Wände reichen. Um Fertigungstoleranzen auszugleichen sind die "Betonschwerter" etwas kürzer ausgeführt, als der planmäßige Abstand zwischen den Betonplatten der übereinanderliegenden Wänden. Damit die in den Betonplatten vorhandene Normalkraft übertragen werden kann, wird der Spalt zwischen "Betonschwert" und Betonplatte mit einem hochfestem Vergussmaterial ausgefüllt. Zudem ist darauf zu achten, dass keine Querzugkräfte in der Klebefuge zwischen Holz und Beton entstehen. Um dies zu verhindern, wird vorgeschlagen, im Bereich der Betonplatten Stahlwinkel oder Kanthölzer zur Aufnahme horizontaler Kräfte anzuordnen.

7.2. Anschlussdetail 80

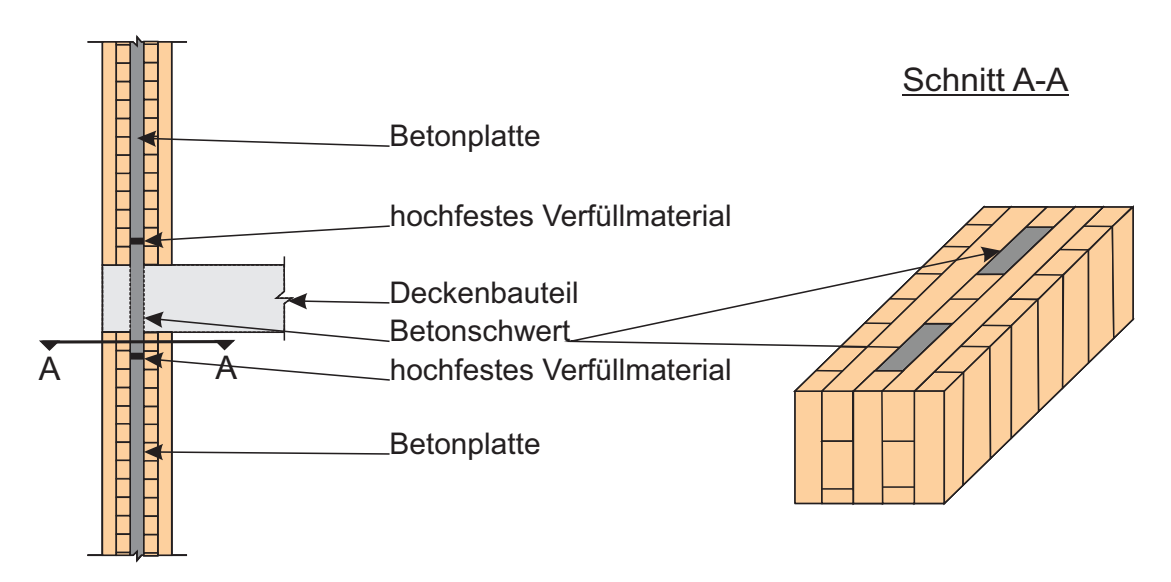


Abbildung 7.7: Anschlussdetail Wand-Decken-Knoten

## 8 Zusammenfassung und Ausblick

#### 8.1 Zusammenfassung

Vor dem Hintergrund der zunehmenden Anzahl hoher Gebäude in städtischen Bereichen, sowie dem immer mehr an Bedeutung gewinnenden Faktor des nachhaltigen Bauens bzw. des Bauens mit nachwachsenden Rohstoffen, werden in dieser Arbeit hybride Wandbauteile aus Holz und ultrahochfestem Beton (UHFB) betrachtet. So lassen sich für Wandbauteile besonders effiziente und hochtragfähige Lösungen durch die Kombination von Holz und ultrahochfestem Beton erreichen, in denen sich die Vorteile und Stärken beider Werkstoffe wirkungsvoll ergänzen. Die so entstehenden Hybrid-Wandelemente besitzen einen schlanken Wandkern aus Beton, der von Holz ummantelt ist. Der Betonkern nimmt vorwiegend die auftretenden Druckkräfte auf, während das umgebende Holz die aus Biegemomenten entstehenden Druck- und Zugkräfte mit entsprechendem inneren Hebelarm aufnimmt. Zudem bietet das Holz auch im Lastfall Brand einen "Schutzmantel" für den hochtragfähigen Betonkern. Die wirtschaftliche Produktion der Wandbauteile findet im industriellen Umfeld der Brettsperrholzproduktion statt. Hierzu werden Betonplatten oder Betonlamellen, welche die gleiche Dicke besitzen wie das verwendete Holz für das Brettsperrholzelement vorgefertigt, und vollständig in den Produktionsprozess der Brettsperrholzherstellung integriert. Die Machbarkeit dieses Herstellungsprozesses hängt vor allem davon ab, ob eine dauerhafte kraftschlüssige Verbindung von Holz und ultrahochfestem Beton, mit in der Brettsperrholzproduktion üblichen Klebstoffen, möglich ist.

Ziel des vorliegenden Forschungsvorhabens war es, zu klären, wie eine solche kraftschlüssige Verbindung von Holz und ultrahochfestem Beton bei Verwendung von Standardklebstoffen der Brettsperrholzproduktion realisiert werden kann. Aufbauend darauf wurden Berechnungsansätze für Wände mit zusammengesetztem Querschnitt erarbeitet. Zur Schaffung einer experimentellen, wissenschaftlich abgesicherten Grundlage wird dabei sowohl das Kurzzeit-Tragverhalten der Verklebung als auch der fertiggestellten Hybrid-Bauteile selbst untersucht. Darüber hinaus werden in einer Reihe von Tastversuchen auch zeitabhängige Einflussfaktoren auf die Dauerhaftigkeit der Verklebung, wie z. B. Quellen und Schwinden des Holzes bei Feuchteänderung, betrachtet.

Um das Forschungsziel zu erreichen, wurde zunächst anhand kleinformatiger Versuche die Eignung verschiedener Klebstoffe, Betone und Betonoberflächen untersucht. Darauf aufbauend erfolgten mit vielversprechenden Kombinationen aus Klebstoff und Beton erste Grundlagenversuche zur Dauerhaftigkeit der Verklebung. Nachdem sich eine für den speziellen Anwendungszweck bevorzugt geeignete Kombination aus Klebstoff und Beton herauskristallisiert hatte, wurde unter weiterer Anwendung dieser Kombination das Verbindungsverhalten selbst charakterisiert. Schließlich wurde das Systemtragverhalten an Wandelementen im Maßstab 1:1 untersucht und abschließend unter Einbeziehung aller experimenteller und theoretischer Ergebnisse und Erkenntnisse ein geeigneter Bemessungsvorschlag für die Ingenieurpraxis erarbeitet. Ebenso werden in der Arbeit erste konzeptionelle Ideen zu Verbindungen und Anschlussdetails aufgezeigt.

Der Untersuchungsschwerpunkt zu Beginn des Forschungsvorhabens lag zunächst auf kleinformatigen Druckscherversuchen. Die Abmessungen der Prüfkörper betrug  $5 \cdot 5 \ cm^2$ . Anhand dieser Versuche wurde die Eignung verschiedener Klebstoffe, Betone und Betonoberflächen zur Herstellung einer kraftschlüsigen Verbindung untersucht. Bewertungskriterien waren insbesondere die erzielte Scherfestigkeit und das dazugehörige Bruchbild. Ein geeignetes Bruchbild war gekennzeichnet durch einen hohen Holzbruchanteil. Unabhängig vom verwendeten Beton konnten vielversprechende Ergebnisse bei der Verwendung eines Ein-Komponenten-Polyurethanklebstoffs bei geschliffenen Betonoberflächen erzielt werden. Ebenfalls gute Ergebnisse zeigten sich beim verwendeten Epoxidharz sowie mit einem Polyurethangießharz. Als ungeeignet erwiesen sich dagegen Melaminharz- und Phenolresorcinharzklebstoffe.

Mit den vielversprechenden Kombinationen aus Beton und Klebstoff wurden Tastversuchsreihen zur Delaminierungsbeständigkeit durchgeführt. Dabei waren jeweils gute Versuchsergebnisse charakterisiert durch keine bzw. nur eine geringe Fugenöffnung. Es zeigte sich, dass die erzielten Ergebnisse teilweise in einem sehr großen Bereich streuten und eine Reproduzierbarkeit nur bedingt möglich ist. So gab es Prüfkörper, bei denen keinerlei Fugenöffnung sichtbar war, während andere Prüfkörper bereits nach mehreren Stunden in kochendem Wasser vollständig getrennt waren. Eine generell geringe Fugenöffnung zeigte sich bei Verwendung von Beton C1 mit geschliffener Oberfläche und der Verklebung mit einem Ein-Komponenten-Polyurethanklebstoff.

Das Verbindungsverhalten der Klebefuge wurde durch Verbundversuche charakterisiert, bzw. es wurde geprüft, ob die Annahme eines starren Verbundes zwischen Holz und Beton zutreffend ist. Hierzu wurden um 14° geneigte Druckscherversuche an Prüfkörpern mit unterschiedlicher Klebefugenlänge von Holz und Beton durchgeführt. Die Prüfkörper bestanden aus Fichtenbrettschichtholz, das mit dem in den vorangegangenen Delaminierungsversuchen als geeignet identifizierten Ein-Komponenten-Polyurethanklebstoff und Betonlamellen mit schalglatter oder geschliffener Oberfläche des Betons C1 verklebt war. In diesen Versuchen traten jeweils im mittleren Bereich der Klebefugenlänge Relativverschiebungen zwischen et-

8.2. Ausblick 83

wa 0,1 mm und 0,3 mm bei Erreichen der Maximalkraft auf. Der Kraftanstieg verlief dabei jeweils bis zum Bruch weitestgehend linear, bis es schließlich unter Maximallast zu einem spröden Versagen kam. Das Versagen trat dabei überwiegend im Holz auf, unabhängig von der Ausbildung der Betonoberfläche (schalglatt oder geschliffen).

Untersuchungen an Bauteilen im Maßstab 1:1 gaben schließlich Aufschluss über die Systemtragwirkung und das Stabilitätsverhalten der schlanken Hybrid-Wandelemente. Die hierzu verwendeten Wandprüfkörper waren 2,84 m hoch, 0,5 m lang und besaßen einen vollständigen Wandkern aus Beton. Je nach verwendetem Betonkern ergaben sich Gesamtwanddicken von 15 cm bzw. 16,5 cm. Neben den Standardelementen wurden auch Wände mit alternierend aufgebautem Wandkern untersucht. Die Lastaufbringung erfolgte zentrisch und exzentrisch. In den zentrischen Versuchen trat jeweils erwartungsgemäß bei Erreichen der Knicklast ein vergleichsweise schlagartiges Versagen ein. Die exzentrischen Versuche, bei denen bereits zu Beginn entsprechende Biegeanteile eingeleitet wurden, führten im Grenzzustand grundsätzlich zu einem duktilen Bauteilverhalten. Bei Erreichen der Maximallast setzte kein schlagartiger Versagensprozess ein, sondern es zeigte sich in den weggesteuerten Versuchen jeweils eine Abnahme der Prüfkraft bei zunehmender horizontaler Verformung in Wandmitte. Deutlich zu erkennen waren dabei jeweils auf der Biegedruckseite "Druckfalten" in den äußersten Holzlamellen.

Die Modellierung der Bauteilversuche mit dem Verfahren der Schubanalogie zeigte eine gute Übereinstimmung sowohl für die horizontalen Verformungen als auch bezüglich der sich einstellenden Dehnungen/Stauchungen in Wandmitte. Es wird daher vorgeschlagen Bereiche mit zusammengesetztem Querschnitt mit dem Verfahren der Schubanalogie zu bemessen und zusätzlich zu den Spannungsnachweisen für die Holzkomponenten auch Spannungsnachweise für den Beton zu führen. Bei den Anschlüssen ist konstruktiv darauf zu achten, dass keine Zugspannungen rechtwinklig zur Faserrichtung entsteht. Die Lastdurchleitung durch das Deckenbauteil kann entweder mit vorgefertigten Stahl- oder Betonbauteilen erfolgen. Die Fertigungs- und Montagetoleranzen werden bauseits verpresst oder vermörtelt.

#### 8.2 Ausblick

Die hier durchgeführten Untersuchungen sind als erster Schritt der Neuentwicklung vielversprechende, hochleistungsfähige Wandelemente in Holz-Beton-Hybridbauweise anzusehen. Behandelt wird die Entwicklung und die Beschreibung des Kurzzeittragverhaltens von Wandbauteilen mit einem verklebten Querschnitt aus Holz und ultrahochfestem Beton. In den durchgeführten Versuchen wurde zunächst das zeitabhängige Verhalten nur über erste Tastversuche zur Delaminierung grundsätzlich betrachtet. Insbesondere für die Dauerhaftigkeit der Klebeverbindung ist dabei das unterschiedliche Verhalten und die Verbundfugenbeanspruchung aus Quellen (Holz) und Schwinden (Holz und Beton) von besonderem Interesse. Auch

8.2. Ausblick 84

könnten Einflüsse aus unterschiedlichen Kriechprozessen von Holz und Beton die resultierende Lastverteilung im Querschnitt entsprechend verändern und zu Lastumlagerungen führen. Aus diesem Grund sollte in weiterführenden Untersuchungen ein wesentlicher Fokus auf der systematischen Analyse des zeitabhängigen Verhaltens der Wandelemente gelegt werden.

Die Verklebung von Holz und Beton fand in diesem Projekt überwiegend mit einem Ein-Komponenten-Polyurethanklebstoff und einem ultrahochfesten Beton statt. Um die Allgemeingültigkeit systematisch zu verifizieren, sollten weitere Untersuchungen mit unterschiedlichen Ein-Komponenten-Polyurethanklebstoffen und hochfesten und ultrahochfesten Betonen erfolgen.

Für eine praxisgerechte Anwendung von Wandbauteilen mit zusammengesetztem Querschnitt sind darüber hinaus noch einige baukonstruktive und bauphysikalische Fragestellungen zu klären. Interessant erscheinen hier z. B. die hygrothermischen Eigenschaften, insbesondere bei Anschlüssen, ebenso wie das Systemverhalten im Brandfall.

Vor dem Hintergrund der Kreislaufwirtschaft und dem Ziel möglichst viel der verwendeten Ressourcen wiederzuverwenden, gewinnt der Aspekt der Recyclierbarkeit einen immer größeren Einfluss. Insbesondere geklebte Bauteile aus unterschiedlichen Werkstoffen scheinen hier von Interesse, da diese vor der Wiederverwendung zumeist sortenrein zu trennen sind. Im Hinblick auf die betrachteten geklebten Verbundbauteile könnte dies in einem mechanischen und bzw. oder thermischen Verfahren stattfinden. Auch dieser Aspekt sollte in weiteren Arbeiten vertiefend betrachtet werden.

## Literaturverzeichnis

#### Veröffentlichungen

- Brandner, R., Flatscher, G., Ringhofer, A., Schickhofer, G. & Thiel, A. (2016). Cross laminated timber (CLT): overview and development. European Journal of Wood and Wood Products 74(3), S. 331–351.
- Dröge, G. & Stoy, K.-H. (1981). Grundzüge des neuzeitlichen Holzbaues. Berlin: Wilhelm Ernst.
- Dunky, M. & Niemz, P. (2002). Holzwerkstoffe und Leime: Technologie und Einflussfaktoren (1. Aufl.). Berlin: Springer.
- Ebner, G. (2017). BSP-Produktion verdoppelt sich bis 2020: Dann werden 1,2 Mio. m<sup>3</sup> in Europa produziert. https://www.holzkurier.com/holzprodukte/2017/06/brettsperrholzproduktion-in-europa-20162020.html. Aufgerufen am 10.10.2020.
- Ehlbeck, J., Colling, F., Heimeshoff, B. & Kneidl, R. (1987). Biegefestigkeit von Brettschichtholz in Abhängigkeit von Rohdichte, Elastizitätsmodul, Ästigkeit und Keilzinkung der Lamellen, der Lage der Keilzinkung sowie der Trägerhöhe, Teil A: Karlsruher Untersuchungen, Teil B: Münchener Untersuchungen.
- Fehling, E., Schmidt, M., Walraven, J., Leutbecher, T. & Fröhlich, S. (2014). Ultrahochfester Beton UHPC. In: K. Bergmeister, F. Fingerloos, & J.-D. Wörner (Hrsg.), *Beton-Kalender* 2013, Volume 2, S. 117–239. Hoboken: Wiley.
- Janser, A. (2011). Hochhaus: Wunsch und Wirklichkeit. Ostfildern: Hatje Cantz.
- Jauk, G. (2019). 100.000m³-BSP-Werke als Standard: Ein umfassender Marktüberblick. https://www.holzbauaustria.at/markt/2019/11/100-000\_m3-werke-als-standard-.html. Aufgerufen am 10.10.2020.
- Kaufmann, H., Krötsch, S. & Winter, S. (2017). Atlas Mehrgeschossiger Holzbau (1. Aufl.). München: Edition Detail.

- Lechner, T. (2018). Zur Anwendung von Verbunddübelleisten in schlanken Verbundträgern aus ultrahochfestem Beton. Dissertation, Technische Universität München, München.
- Leutbecher, T. (2008). Rissbildung und Zugtragverhalten von mit Stabstahl und Fasern bewehrtem ultrahochfesten Beton (UHPC). Dissertation, Universität Kassel, Kassel.
- Maierbeck, S. (2020, Mai). Numerische Abbildung von geklebtem Holz-Beton-Verbund. Masterarbeit, Technische Universität München.
- Oberndorfer, T. & Fischer, O. (2018). Ultra High Performing Timber Elements. In: 22. Münchener Massivbauseminar, S. 31–40. Förderverein Massivbau der Technischen Universität München.
- Petersen, C. (1992). Statik und Stabilität der Baukonstruktionen: Elasto- und plasto-statische Berechnungsverfahren druckbeanspruchter Tragwerke; Nachweisformen gegen Knicken, Kippen, Beulen (2. Aufl.). Braunschweig: Vieweg.
- Sagmeister, B. (2017). Maschinenteile aus zementgebundenem Beton (1. Aufl.). Beuth Praxis. Berlin: Beuth Verlag.
- Schäfers, M. (2010). Entwicklung von hybriden Bauteilen aus Holz und hochfesten bzw. ultrahochfesten Betonen: Experimentelle und theoretische Untersuchungen. Dissertation, Universität Kassel, Kassel.
- Schilliger, E. (2019). Hochleistungswerkstoffe aus Sicht des Unternehmers. In: *Hochleistungswerkstoffe im Holzbau*, Tagungsband 51. Fortbildungskurs, Zürich, S. 25–27. Swiss Wood Innovation Network.
- United Nations, D. o. E. & Social Affairs, P. D. (2019). World urbanization prospects: 2018: Highlights (ST/ESA/SER.A/421).
- Wallner-Novak, M., Augustin, M., Koppelhuber, J. & Pock, K. (2018). Brettsperrholz Bemessung Band II: Anwendungsfälle. Wien: pro:Holz Austria.
- Wallner-Novak, M., Koppelhuber, J. & Pock, K. (2013). Brettsperrholz Bemessung: Grundlagen für Statik und Konstruktion nach Eurocode. pro:Holz Austria.
- Wiegand, T., Seidel, A., Mestek, P., Werther, N. & Winter, S. (2012). Bauen mit Brettsperr-holz: Tragende Massivholzelemente für Wand, Decke und Dach (3. Aufl.). Wuppertal: Studiengemeinschaft Holzleimbau e.V.
- Winter, S., Kreuzinger, H. & Mestek, P. (2008). Holzbau der Zukunft. Teilprojekt 15. Flächen aus Brettstapeln, Brettsperrholz und Verbundkonstruktionen. Reihe Holzbauforschung. Stuttgart: Fraunhofer IRB Verlag.

#### Normen und Regelwerke

- DIN EN 301:2018-01, Klebstoffe, Phenoplaste und Aminoplaste, für tragende Holzbauteile Klassifizierung und Leistungsanforderungen; Deutsche Fassung EN 301:2017.
- DIN EN 338:2016-07, Bauholz für tragende Zwecke Festigkeitsklassen; Deutsche Fassung EN 338:2016.
- DIN EN 408:2010-12, Holzbauwerke Bauholz für tragende Zwecke und Brettschichtholz Bestimmung einiger physikalischer und mechanischer Eigenschaften; Deutsche Fassung EN 408:2010+A1:2012
- DIN EN 12390-3:2019-10, Prüfung von Festbeton Teil 3: Druckfestigkeit von Probekörpern; Deutsche Fassung EN 12390-3:2019
- DIN EN 12390-13:2014-06, Prüfung von Festbeton Teil 13: Bestimmung des Elastizitätsmoduls unter Druckbelastung (Sekantenmodul); Deutsche Fassung EN 12390-13:2013.
- DIN EN 14080:2013-09, Holzbauwerke Brettschichtholz und Balkenschichtholz Anforderungen; Deutsche Fassung EN 14080:2013.
- DIN EN 16351:2015-12, Holzbauwerke Brettsperrholz Anforderungen; Deutsche Fassung EN 16351:2015.

## A Scherversuche

#### A.1 Diagramme zur Scherfestigkeit und Holzbruchanteil

In diesem Anhang sind die Ergebnisse der nicht in Kapitel 3 dargestellten kleinformatigen Scherversuche in Diagrammform aufgeführt. Die Scherfestigkeit ist auf der linken y-Achse in rot und der Holzbruchanteil auf der rechten y-Achse in blau aufgetragen. Als Holzbruch wird nur gewertet, wenn klar ersichtlich Holzfasern auf dem Beton haften. Im Boxplotdiagramm sind das Minimum und das Maximum, das 25 % und 75 % Quantil sowie der Median dargestellt. Links bzw. rechts daneben sind in Punkten die Rohdaten gezeigt.

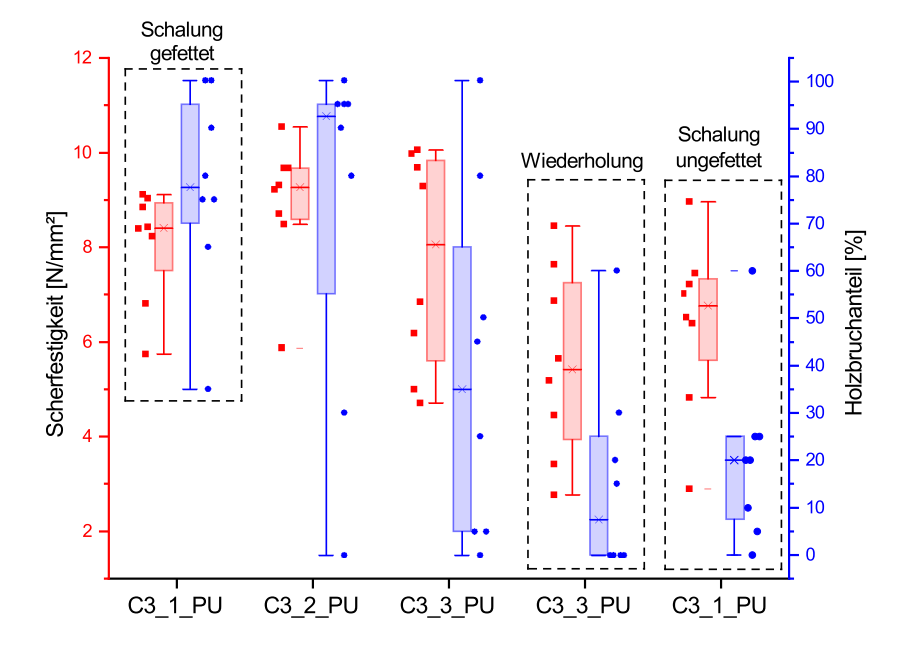


Abbildung A.1: Versuchsergebnisse Ein-Komponenten Polyurethklebstoff mit Beton C3

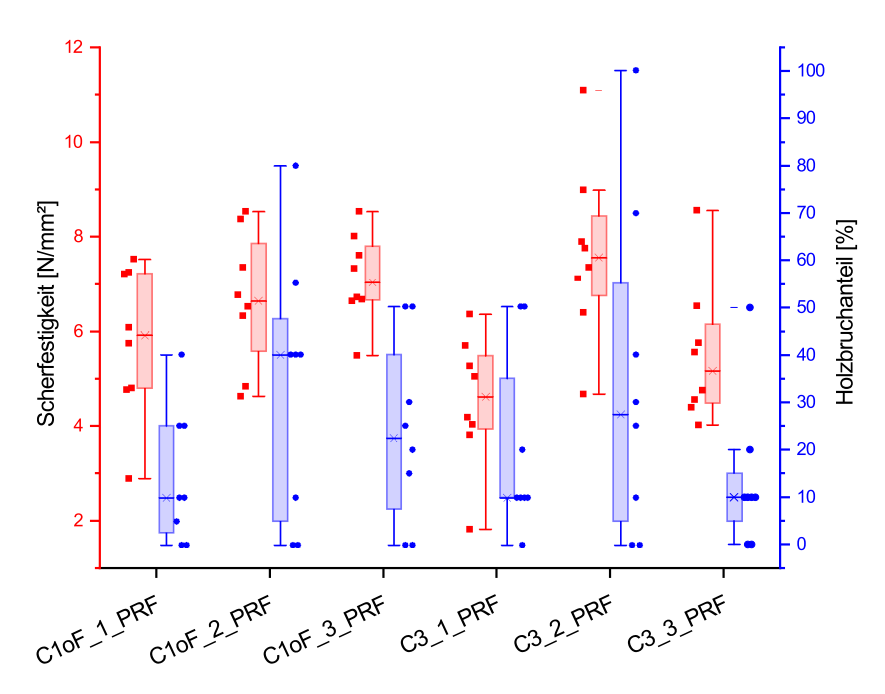


Abbildung A.2: Versuchsergebnisse Phenolresorcinharz

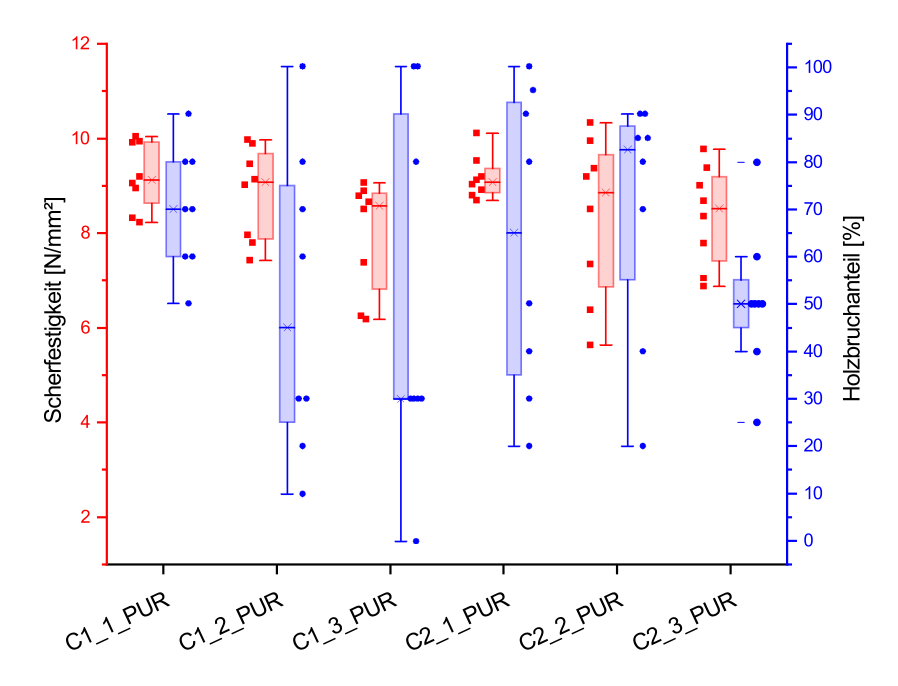


Abbildung A.3: Versuchsergebnisse Polyurethangießharz

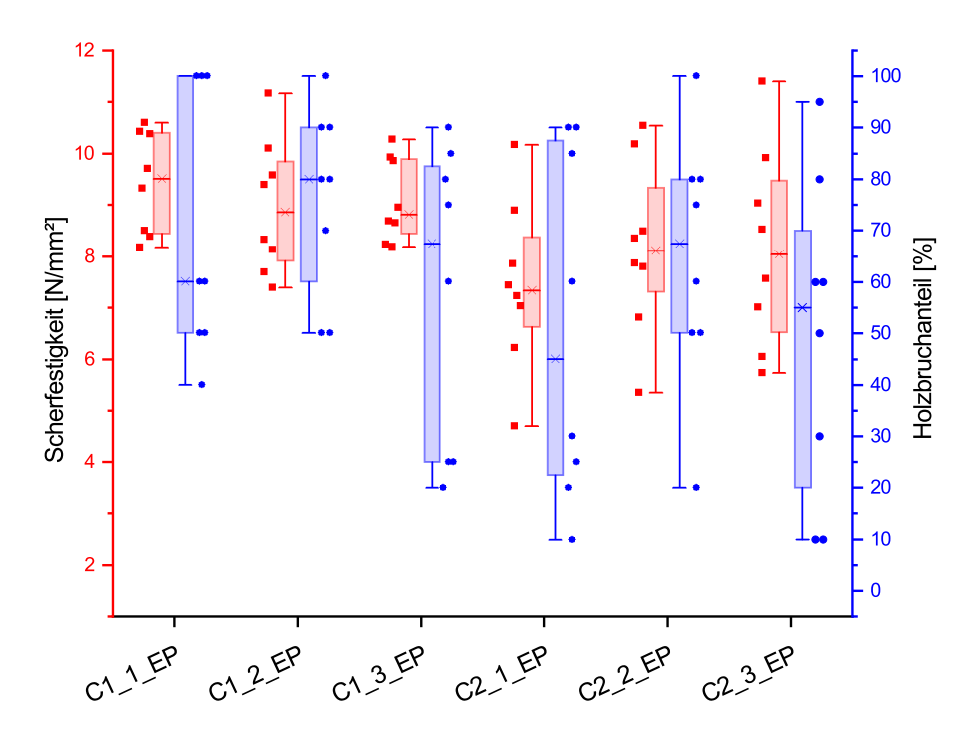


Abbildung A.4: Versuchsergebnisse Epoxidharz

## A.2 Tabellarische Versuchsdaten

In diesem Abschnitt sind die Ergebnisse aller Versuchsserien in tabellarischer Form dargestellt. Die Prüfkörperbezeichnung ist in Abbildung A.5 kurz aufgezeigt.

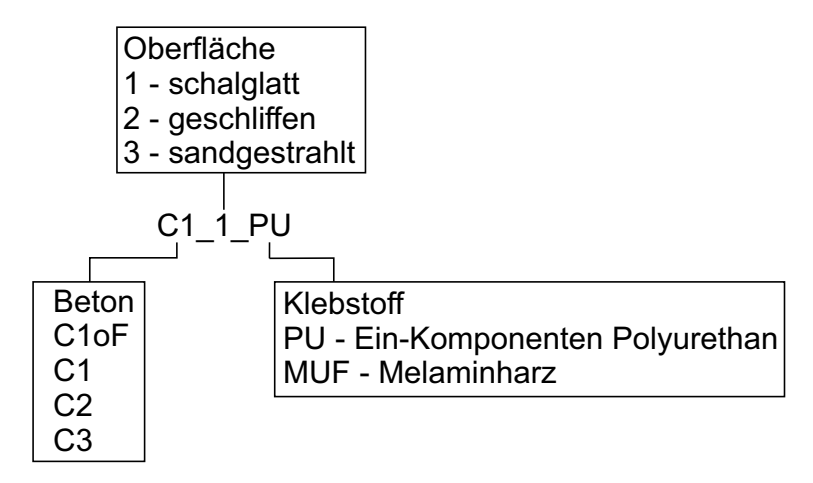


Abbildung A.5: Versuchsbezeichnung Scherversuche

## Ergebnisse der Versuchsserie: $001\_C1oF\_1\_PU$

		Serien Nr.	Bet	ton	Oberfläch	nenbearb.	Klebstoff	
Bezeic	hnung	001	C1 - ohn			lglatt	PU	
		'						
Prüfkörp	er - Beton	Gewicht [g]	Länge [mm]	Höhe [mm]	Dicke [mm]	Druckf. [N/mm²]	Zugf. [N/mm²]	
00	01	167,80	49,82	49,77	29,82	110,70	14,37	
00	02	164,58	49,80	49,80	29,80	110,70	14,37	
00	03	169,34	49,77	49,70	29,80	110,70	14,37	
00	04	169,62	49,80	49,50	29,81	110,70	14,37	
		T.				,		
Prüfkör	per-Holz	Gewicht [g]	Länge [mm]	Breite [mm]	Dicke [mm]	Jahrringbreite [mm]	Jahrringlage [°]	Feuchte [%]
001	_A	31,16	50,73	50,48	38,95	4,14	38	11,5
001	_B	35,05	50,79	50,28	39,02	4,00	39	11,5
002	_A	34,87	50,73	50,25	38,94	4,46	46	11,5
002	_B	34,85	50,64	50,28	39,02	4,00	32,5	11,5
003	_A	34,99	50,7	50,3	39	4,38	26	11,5
003	_B	35,01	50,69	50,45	39,03	4,45	41	11,5
004	_A	34,81	50,7	50,43	38,99	4,54	39	11,5
004	_B	34,95	50,64	50,39	38,98	4,62	30	11,5
Kleb	stoff							
Datum der	Verklebung		28.11.2017					
Bezeic	hnung		PU					
Kli	ma		20°C/65%rF					
Auftrag	smenge		2g für 2 Scherflächen					
Verarbei	tungszeit		13 min					
Press	druck		0,75±0,1 N/mm²					
Pres	szeit		19:51h					
Prü	ftag	05.12.2017						
	1							
Ergeb	nisse		1		Bruchbild	ı		
		Bruchkraft [N]	Holzbruch [%]	Betonbruch [%]	Klebs-Holz [%]	Klebs-Beton [%]	Klebstoff [%]	
001	_A	17300		50	25			
001	_B	17200	80			20		
002	_A	16500		100				
002	_	17400		90		10		
003	_A	15500	70		30			
003	_B	16100	10	60	30			
004	_A	14900		100				
004	_B	14500		100				

## Ergebnisse der Versuchsserie: $003\_C1oF\_3\_PU$

		Serien Nr.	Betonm	ischung	Oberfläch	nenbearb.	Klebstoff	
Bezeio	hnung	003	C1 - ohn		gesch	nliffen	PU	
Prüfkörp	er - Beton	Gewicht [g]	Länge [mm]	Höhe [mm]	Dicke [mm]	Druckf. [N/mm²]	Zugf. [N/mm²]	
0	09	155,94	49,82	53,00	27,62	110,70	14,37	
0:	10	166,11	49,80	53,77	28,75	110,70	14,37	
0:	11	158,79	49,82	53,39	27,90	110,70	14,37	
0:	12	158,35	49,80	53,63	28,10	110,70	14,37	
Prüfkör	per-Holz	Gewicht [g]	Länge [mm]	Breite [mm]	Dicke [mm]	Jahrringbreite [mm]	Jahrringlage [°]	Feuchte [%]
009	_A	34,49	50,70	50,10	38,13	4,55	57	11,5
009	_B	33,68	50,50	50,09	38,19	4,82	45	11,5
010	_A	34,15	50,53	50,36	38,21	5,20	60	11,5
010	_B	35,35	50,46	50,03	38,16	5,00	60	11,5
011	_A	33,73	50,48	50,00	38,68	4,73	50	11,5
011	_B	33,57	50,48	50,03	38,47	4,91	46	11,5
012	_A	33,76	50,66	50,32	38,12	4,45	50	11,5
012	_B	34,95	50,46	50,03	38,22	4,80	48	11,5
Kleb	stoff							
Datum der	Verklebung		28.11.2017					
Bezeio	hnung		PU					
Kli	ma		20°C/65%rF					
Auftrag	smenge		2g für 2 Scherflächen					
Verarbei	tungszeit		13 min					
Press	druck		0,75±0,1 N/mm²					
Pres	szeit		19:51h					
Prü	ftag	05.12.2017						
Ergel	onisse				Bruchbild			
		Bruchkraft [N]	Holzbruch	Betonbruch	Klebstoff auf Holz	Klebstoff auf Beton	Klebstoff	
009	_A	16100	90				10	
009	_B	16300		90			10	
010	_A	16600		95			5	
010	_B	18200	30	70				
011	_A	18400	100					
011	_B	15600		100				
012	_A	14100	80				20	
012	_B	14700		100				

## Ergebnisse der Versuchsserie: $002\_C1oF\_2\_PU$

		Serien Nr.	Bet	on	Oberfläci	nenbearb.	Klebstoff	
Bezeio	hnung	002	C1 - ohn	e Fasern	sandge	estrahlt	PU	
						•		
Prüfkörp	er - Beton	Gewicht [g]	Länge [mm]	Höhe [mm]	Dicke [mm]	Druckf. [N/mm²]	Zugf. [N/mm²]	
00	05	166,29	49,90	49,59	29,84	110,70	14,37	
00	06	167,30	49,88	49,70	29,69	110,70	14,37	
	07	165,93	50,13	49,56	29,71	110,70	14,37	
00	08	168,36	49,80	49,44	29,75	110,70	14,37	
	per-Holz	Gewicht [g]	Länge [mm]	Breite [mm]	Dicke [mm]	Jahrringbreite [mm]	Jahrringlage [°]	Feuchte [%]
005	_A	33,95	50,45	50,39	38,03	4,38	20	11,5
005		34,48	50,5	50,28	38,06		12	11,5
006		33,58	50,47	50,43	38,12	4,33	21	11,5
006		34,31	50,58	50,29	37,99	4,25	21	11,5
007	_A	33,47	50,45	50,49	38,05	5,09	23	11,5
007	_B	34,44	50,48	50,65	38,03	4,42	21	11,5
800	-	33,86	50,49	50,46	38,12	4,38	17	11,5
800	_B	34,17	50,45	50,54	38,03	4,92	18	11,5
		Ī						
	stoff		1					
	Verklebung		28.11.2017					
	chnung		PU					
	ma		20°C/65%rF					
	smenge tungszeit		2g für 2 Scherflächen 13 min					
	druck		0,75±0,1 N/mm²					
	szeit		0,75±0,1 N/IIIII					
			13.5111					
Prii	ftag	05.12.2017						
		03:12:2017						
Ergek	onisse				Bruchbild			
		Bruchkraft [N]	Holzbruch	Betonbruch	Klebstoff auf Holz	Klebstoff auf Beton	Klebstoff	
005	_A	15800	10		90			
005	_B	15700	30		60	10		
006	_A	16200	20		80			
006	_B	17000	10		75	15		
007	_A	14900	10		75	15		
007	_B	12300	20		80			
008	_A	13300			85	15		
008	_B	13400			95	5		

## Ergebnisse der Versuchsserie: $004\_C1oF\_1\_PRF$

		Serien Nr.	Betonm	ischung	Oberfläci	henbearb.	Klebstoff	
Bezeio	hnung	004	C1 ohne			lglatt	PRF	
		-			!			
Prüfkörp	er - Beton	Gewicht [g]	Länge [mm]	Höhe [mm]	Dicke [mm]	Druckf. [N/mm²]	Zugf. [N/mm²]	
0:	13	166,22	49,15	53,75	29,26	105,67	14,29	
0:	14	165,57	49,10	53,80	29,30	105,67	14,29	
0:	15	164,56	49,05	53,85	29,15	105,67	14,29	
0:	16	165,76	49,14	53,75	29,24	105,67	14,29	
Prüfkör	per-Holz	Gewicht [g]	Länge [mm]	Breite [mm]	Dicke [mm]	Jahrringbreite [mm]	Jahrringlage [°]	Feuchte [%]
013	_A	39,31	50,53	50,11	38,14	2,13	55	11,5
013	_B	37,33	50,48	50,10	38,13	1,87	64	11,5
014	_A	39,79	50,44	50,21	38,09	1,95	68	11,5
014	_B	40,62	50,40	49,98	38,01	2,35	62	11,5
015	_A	39,33	50,36	49,98	38,07	1,95	72	11,5
015	_B	40,66	50,59	50,12	38,13	2,35	58	11,5
016	_A	40,30	50,44	50,03	38,14	1,96	76	11,5
016	_B	40,68	50,58	50,02	38,10	2,45	69	11,5
Bezeic Kli Auftrag Verarbei Press Pres	Verklebung chnung ma ssmenge tungszeit druck sszeit		08.12.2017 PRF 20°C/65%rF 2g für 2 Scherflächen 21 min 0,75±0,1 N/mm² 67 h					
Prü	fung	13.12.2017						
Ergel	onisse				Bruchbild			
		Bruchkraft [N]	Holzbruch	Betonbruch	Klebstoff auf Holz	Klebstoff auf Beton	Klebstoff	
013	_A	7140		30			70	
013	_B	17800	40	50			10	
014	_A	14100	5	50			45	
014	_B	11800	10	35	5		50	
015	_A	11700	25	15			60	
015	_B	17700	25	70			5	
016	_A	14900	10	45			45	
016	_B	18500		15			85	

## Ergebnisse der Versuchsserie: $005\_C1oF\_2\_PRF$

		Lfd. Nr	Betonm	ischung	Oberfläch	nenbearb.	Klebstoff	
Bezeio	chnung	005	C1 ohne	Fasern	gesch	nliffen	PRF	
		-			-	<u>'</u>		
Prüfkörp	er - Beton	Gewicht [g]	Länge [mm]	Höhe [mm]	Dicke [mm]	Druckf. [N/mm²]	Zugf. [N/mm²]	
0:	17	148,45	49,18	53,78	26,18	105,67	14,29	
0:	18	149,20	49,20	54,01	25,98	105,67	14,29	
0:	19	152,18	49,23	53,91	26,78	105,67	14,29	
0:	20	154,17	49,21	53,41	26,88	105,67	14,29	
Prüfkör	per-Holz	Gewicht [g]	Länge [mm]	Breite [mm]	Dicke [mm]	Jahrringbreite [mm]	Jahrringlage [°]	Feuchte [%]
017	_A	43,76	50,45	50,18	38,21	4,00	63	11,6
017	_B	38,96	50,45	49,99	38,09	2,29	40	11,6
018	_A	39,66	50,49	50,02	38,14	2,15	54	11,6
018	_B	44,43	50,48	50,03	38,09	2,32	65	11,6
019	_A	40,09	50,49	50,03	38,17	2,20	52	11,6
019	_B	39,94	50,50	50,03	38,09	2,25	45	11,6
020	_A	38,75	50,55	50,01	38,00	2,16	45	11,6
020	_B	39,83	50,48	50,09	38,26	2,17	55	11,6
Bezeic Kli Auftrag Verarbei Press	Verklebung chnung ima gsmenge itungszeit sdruck		08.12.2017 PRF 20°C/65%rF 2g für 2 Scherflächen 21 min 0,75±0,1 N/mm² 67 h					
	fung	13.12.2017						
Ergel	bnisse	Durahlmaft [81]	Halaharah	Datamburak	Bruchbild	Vieheteff out Det :-	Vlahataff	
017	_A	Bruchkraft [N] 15500	Holzbruch 55	Betonbruch 45	Klebstoff auf Holz	Klebstoff auf Beton	Klebstoff	
017	_А В	11900	40	45			20	
017	-	16600	40	100			20	
018	_	21000	40	60				
019		18100	80	20				
019		11400	10	40			50	
020		16000	40	60			30	
020		20600	40	100				
020	- <sup>1</sup>	20600		100				

## Ergebnisse der Versuchsserie: $006\_C1oF\_3\_PRF$

		Lfd. Nr	Betonm	ischung	Oberfläch	nenbearb.	Klebstoff	
Bezeic	hnung	006	C1 ohne	Fasern	sandge	estrahlt	PRF	
Prüfkörpe	er - Beton	Gewicht [g]	Länge [mm]	Höhe [mm]	Dicke [mm]	Druckf. [N/mm²]	Zugf. [N/mm²]	
02	21	162,80	49,21	53,78	29,10	105,67	14,29	
02	22	158,78	49,14	53,40	29,01	105,67	14,29	
02	23	162,73	49,20	53,94	29,08	105,67	14,29	
02	24	162,01	49,25	53,80	29,10	105,67	14,29	
Prüfkör	per-Holz	Gewicht [g]	Länge [mm]	Breite [mm]	Dicke [mm]	Jahrringbreite [mm]	Jahrringlage [°]	Feuchte [%]
021	_A	42,40	50,44	50,03	38,15	2,43	59	11,6
021	_B	43,70	50,51	50,11	38,10	2,90	65	11,6
022	_A	43,29	50,54	50,04	38,11	2,45	63	11,6
022	_B	44,78	50,60	50,05	37,97	2,32	70	11,6
023	_A	39,80	50,54	50,09	38,12	1,95	79	11,6
023	_B	39,04	50,39	50,01	38,23	2,15	61	11,6
024	_A	39,92	50,27	49,98	38,11	2,23	73	11,6
024	_B	39,55	50,44	50,02	38,10	2,09	78	11,6
Bezeic Klii Auftrag Verarbei Press Pres	Verklebung chnung ma ms ssmenge tungszeit druck sszeit fung	13.12.2017	08.12.2017 PRF 20°C/65%rF 2g für 2 Scherflächen 21 min 0,75±0,1 N/mm² 67 h					
Prui	Tung	13.12.2017						
Ergek	onisse				Bruchbild			
		Bruchkraft [N]	Holzbruch	Betonbruch	Klebstoff auf Holz	Klebstoff auf Beton	Klebstoff	
021	_A	13500	20	10	40	30		
021	_ _B	21000	15	15	20		50	
022	_ _A	18700		100				
022	_ _B	18000	30	10		60		
023	_ _A	19700	25		30	45		
023	_B	16500	50	10		40		
	_							
024	_A	16300	50	15	15	20		

## Ergebnisse der Versuchsserie: $007\_C1oF\_1\_MUF$

		Lfd. Nr	Betonm	ischung	Oberfläch	nenbearb.	Klebstoff	
Bezeio	chnung	007	C1 ohne	e Fasern	scha	lglatt	MUF	
Prüfkörp	er - Beton	Gewicht [g]	Länge [mm]	Höhe [mm]	Dicke [mm]	Druckf. [N/mm²]	Zugf. [N/mm²]	
0:	25	169,18	49,00	51,92	29,40	114,28	14,28	
0:	26	166,93	49,16	51,73	29,13	114,28	14,28	
0:	27	168,01	49,12	51,52	29,23	114,28	14,28	
0:	28	169,63	49,18	51,79	29,34	114,28	14,28	
						ı		
	per-Holz	Gewicht [g]	Länge [mm]	Breite [mm]	Dicke [mm]	Jahrringbreite [mm]	Jahrringlage [°]	Feuchte [%]
025	_	42,33	50,58	50,15	38,06	2,42	76	11,
025	_	36,52	50,50	49,95	37,98	3,53	37	11,
026		38,73	50,47	50,05	38,10	2,36	41	11,
026	_B	37,86	50,48	50,10	38,08	2,52	34	11,
027	_A	38,01	50,51	50,05	38,06	2,64	32	11,
027	_B	37,65	50,52	50,06	38,11	2,77	29	11,
028	_A	37,69	50,49	50,05	38,09	2,58	30	11,
028	_B	39,05	50,48	50,11	38,07	2,61	46	11,
	ostoff Verklebung		13.12.2017					
	chnung		MUF					
	ima		20°C/65%rF					
	smenge		2g für 2 Scherflächen					
	itungszeit		7min					
Press	druck		0,75±0,1 N/mm²					
Pres	sszeit		19:47h					
Prü	fung	29.01.2018						
Ergel	bnisse				Bruchbild			
		Bruchkraft [N]	Holzbruch	Betonbruch	Klebstoff auf Holz	Klebstoff auf Beton	Klebstoff	
025	_A	5430				100		
025	_B	5920	10			90		
026	_A	8620	5			95		
026	_B	12100	20			80		
027	_A	8660			60	40		
027	_ _B	6940			20	80		
028	_ _A	7100			30	70		
028	_ _B	11700			10	90		

### Ergebnisse der Versuchsserie: $008\_C1oF\_2\_MUF$

		Lfd. Nr	Betonm	ischung	Oberfläch	nenbearb.	Klebstoff	
Bezeio	chnung	008	C1 ohne	Fasern	gesch	nliffen	MUF	
Prüfkörp	er - Beton	Gewicht [g]	Länge [mm]	Höhe [mm]	Dicke [mm]	Druckf. [N/mm²]	Zugf. [N/mm²]	
0:	29	160,16	49,22	51,86	27,42	114,28	14,28	
0:	30	156,15	49,23	51,60	26,91	114,28	14,28	
0:	31	155,22	49,36	51,73	26,52	114,28	14,28	
0:	32	151,88	49,18	51,80	26,87	114,28	14,28	
Prüfkör	per-Holz	Gewicht [g]	Länge [mm]	Breite [mm]	Dicke [mm]	Jahrringbreite [mm]	Jahrringlage [°]	Feuchte [%]
029	i	39,99	50,34	50,04	38,15	2,46	32	11
029		39,41	50,45	50,02	38,03	2,46	47	11
030		38,44	50,49	50,04	38,07	2,86	32	11
030		42,60	49,96	50,12	38,04	2,63	73	11
031	-	42,09	50,52	50,04	38,03	2,37	75	11
031	_ _B	39,35	50,46	49,99	37,99	2,42	39	11
032	Α	37,41	50,49	50,05	38,25	2,95	33	11
032	_ В	38,24	50,53	50,22	38,13	2,61	34	11
Datum der Bezeio	verklebung Chnung		13.12.2017 MUF 20°C/65%rF					
	smenge		2g für 2 Scherflächen					
	itungszeit		7min					
Press	druck		0,75±0,1 N/mm²					
Pres	sszeit		19:47h					
Prü	fung	29.01.2018						
Frank	bnisse				Bruchbild			
Liger		Bruchkraft [N]	Holzbruch	Betonbruch	Klebstoff auf Holz	Klebstoff auf Beton	Klebstoff	
029	_A	3740				100		
029	_ _B	2960				100		
030	_ _A	3650	5			95		
030	_ _B	7810				100		
031	_ _A	6810				100		
031	_ _B	7970	5			95		
032	_ _A	4110				100		
032	В	6150	5			95		

### Ergebnisse der Versuchsserie: $009\_C1oF\_3\_MUF$

		Lfd. Nr	Betonm			nenbearb.	Klebstoff	
Bezeio	hnung	009	C1 ohne	Fasern	sandge	estrahlt	MUF	
Prüfkörp	er - Beton	Gewicht [g]	Länge [mm]	Höhe [mm]	Dicke [mm]	Druckf. [N/mm²]	Zugf. [N/mm²]	
03	33	165,16	49,25	51,80	28,51	114,28	14,28	
03	34	166,12	49,18	51,92	28,66	114,28	14,28	
03	35	168,33	49,16	51,44	29,14	114,28	14,28	
03	36	163,49	49,18	51,89	28,60	114,28	14,28	
Prüfkör	per-Holz	Gewicht [g]	Länge [mm]	Breite [mm]	Dicke [mm]	Jahrringbreite [mm]	Jahrringlage [°]	Feuchte [%]
033	1	39,88	50,59	50,08		2,48	40	1
033	F	38,70	50,50	50,08		2,32	39	1
034	_ _A	37,83	50,57	50,05		2,65	29	1
034	_ _B	39,75	50,53	50,04	38,02	2,32	35	1
035	_ _A	37,19	50,50	50,10	38,10	2,73	25	1
035	_ _B	38,55	50,50	50,08	38,13	2,52	38	1
036	_A	37,95	50,45	50,01	38,06	2,67	35	1
036	В	43,00	50,47	50,08	38,07	2,32	74	1
Bezeio Kli Auftrag Verarbei	Verklebung chnung ma gsmenge itungszeit druck		13.12.2017  MUF  20°C/65%rF  2g für 2 Scherflächen  7min  0,75±0,1 N/mm²					
Pres	sszeit		19:47h					
Prüt	fung	29.01.2018						
Ergeb	onisse				Bruchbild			
	1	Bruchkraft [N]	Holzbruch	Betonbruch	Klebstoff auf Holz	Klebstoff auf Beton	Klebstoff	
033		12400	10			90		
033		16700	10			90		
034		12800			100			
034	_B	10700			50	50		
035		14300			100			
035	_B	11400			100			
036		13500			100			
036	В	4320				100		

### Ergebnisse der Versuchsserie: $010\_C1oF\_1\_PUR$

037 _A     49,39     50,64     50,05     39,03     2,45     45       037 _B     43,89     50,48     50,10     39,02     2,38     58       038 _A     44,99     50,49     50,00     38,97     2,43     60       038 _B     43,42     50,68     50,23     39,01     2,33     58	euchte [%] 11,8 11,8 11,8
037 168,54 49,07 52,73 29,26 119,39 13,93 038 169,21 49,17 52,65 29,48 119,39 13,93 13,93 039 168,82 49,23 52,46 29,18 119,39 13,93 13,93 040 167,77 49,16 52,62 29,24 119,39 13,93 13,93 13,93 14,97	11,8 11,8
037         168,54         49,07         52,73         29,26         119,39         13,93           038         169,21         49,17         52,65         29,48         119,39         13,93           039         168,82         49,23         52,46         29,18         119,39         13,93           040         167,77         49,16         52,62         29,24         119,39         13,93           Prüfkörper-Holz         Gewicht [g]         Länge [mm]         Breite [mm]         Dicke [mm]         Jahrringbreite [mm]         Jahrringbreite [mm]         Jahrringlage [*]         Fer           037 _A         49,39         50,64         50,05         39,03         2,45         45           037 _B         43,89         50,48         50,10         39,02         2,38         58           038 _A         44,99         50,49         50,00         38,97         2,43         60           038 _B         43,42         50,68         50,23         39,01         2,33         58	11,8 11,8
038         169,21         49,17         52,65         29,48         119,39         13,93           039         168,82         49,23         52,46         29,18         119,39         13,93           040         167,77         49,16         52,62         29,24         119,39         13,93           Prüfkörper-Holz         Gewicht [g]         Länge [mm]         Breite [mm]         Dicke [mm]         Jahrringbreite [mm]         Jahrringlage [*]         Fet           037         A         49,39         50,64         50,05         39,03         2,45         45           037         B         43,89         50,48         50,10         39,02         2,38         58           038         A         44,99         50,49         50,00         38,97         2,43         60           038         B         43,42         50,68         50,23         39,01         2,33         58	11,8 11,8
039   168,82   49,23   52,46   29,18   119,39   13,93   13,93   14,00   167,77   49,16   52,62   29,24   119,39   13,93   13	11,8 11,8
O40         167,77         49,16         52,62         29,24         119,39         13,93           Prüfkörper-Holz         Gewicht [g]         Länge [mm]         Breite [mm]         Dicke [mm]         Jahrringbreite [mm]         Jahrringbreite [mm]         Fet           037 _A         49,39         50,64         50,05         39,03         2,45         45           037 _B         43,89         50,48         50,10         39,02         2,38         58           038 _A         44,99         50,49         50,00         38,97         2,43         60           038 _B         43,42         50,68         50,23         39,01         2,33         58	11,8 11,8
Prüfkörper-Holz         Gewicht [g]         Länge [mm]         Breite [mm]         Dicke [mm]         Jahrringbreite [mm]         Jahrringlage [°]         Fet           037 _A         49,39         50,64         50,05         39,03         2,45         45           037 _B         43,89         50,48         50,10         39,02         2,38         58           038 _A         44,99         50,49         50,00         38,97         2,43         60           038 _B         43,42         50,68         50,23         39,01         2,33         58	11,8 11,8
037 A     49,39     50,64     50,05     39,03     2,45     45       037 B     43,89     50,48     50,10     39,02     2,38     58       038 A     44,99     50,49     50,00     38,97     2,43     60       038 B     43,42     50,68     50,23     39,01     2,33     58	11,8 11,8
037 A     49,39     50,64     50,05     39,03     2,45     45       037 B     43,89     50,48     50,10     39,02     2,38     58       038 A     44,99     50,49     50,00     38,97     2,43     60       038 B     43,42     50,68     50,23     39,01     2,33     58	11,8 11,8
037 B     43,89     50,48     50,10     39,02     2,38     58       038 A     44,99     50,49     50,00     38,97     2,43     60       038 B     43,42     50,68     50,23     39,01     2,33     58	11,8 11,8
038 A     44,99     50,49     50,00     38,97     2,43     60       038 B     43,42     50,68     50,23     39,01     2,33     58	11,8
038 B 43,42 50,68 50,23 39,01 2,33 58	
	11,8
039 A 43,54 50,54 50,07 39,05 2,38 64	11,8
039 B 43,47 50,52 50,06 39,04 2,42 74	11,8
<b>040</b> A 44,03 50,45 50,08 39,01 2,45 66	11,8
<b>040 B</b> 49,36 50,48 50,05 38,98 2,43 55	11,8
Klebstoff	
Datum der Verklebung 01.02.2018	
Bezeichnung PUR	
Klima 20°C/65%rF	
Auftragsmenge 2g für 2 Scherflächen	
Verarbeitungszeit 5 min je Serie	
Pressdruck 0,75±0,1 N/mm²	
Presszeit 24h	
Prüfung 15.02.2018	
Ergebnisse Bruchbild	
Bruchkraft [N] Holzbruch Betonbruch Klebstoff auf Holz Klebstoff auf Beton Klebstoff	
037 A 20300 50 50	
037 B 1990 70 30	
038 A 23400 50 50	
038 B 20300 100	
039 A 19500 100	
039 B 20200 80 20	
040 A 20100 20 10 10	
040 B 19600 30 20	

### Ergebnisse der Versuchsserie: $011\_C1oF\_2\_PUR$

		Lfd. Nr	Betonm	ischung	Oberfläch	nenbearb.	Klebstoff	
Bezeio	chnung	011	C1 ohne		gesch	nliffen	PUR	
		•						
Prüfkörp	er - Beton	Gewicht [g]	Länge [mm]	Höhe [mm]	Dicke [mm]	Druckf. [N/mm²]	Zugf. [N/mm²]	
0-	41	166,24	49,26	52,80	28,74	119,39	13,93	
0-	42	165,33	49,33	52,53	28,66	119,39	13,93	
0-	43	165,95	49,18	52,14	28,78	119,39	13,93	
0-	44	167,33	49,22	52,62	29,17	119,39	13,93	
					1			
Prüfkör	per-Holz	Gewicht [g]	Länge [mm]	Breite [mm]	Dicke [mm]	Jahrringbreite [mm]	Jahrringlage [°]	Feuchte [%]
041	_A	50,10	50,46	50,07	39,02	2,50	48	11,8
041	_B	43,81	50,74	50,05	39,11	2,29	62	11,8
042	_A	43,70	50,53	50,05	39,00	2,38	62	11,8
042	_B	43,15	50,48	50,13	39,01	2,29	60	11,
043	_A	43,03	50,47	50,08	39,02	2,43	70	11,8
043	_B	44,82	50,58	50,06	39,09	2,72	65	11,8
044	_A	43,76	50,71	50,05	39,07	2,40	62	11,8
044	_B	49,01	50,67	50,01	39,05	2,45	54	11,8
Kleb	ostoff							
Datum der	Verklebung		01.02.2018					
Bezeio	chnung		PUR					
Kli	ima		20°C/65%rF					
Auftrag	smenge		2g für 2 Scherflächen					
Verarbei	itungszeit		5 min je Serie					
Press	druck		0,75±0,1 N/mm²					
Pres	sszeit		24h					
Prü	fung	15.02.2018						
Ergel	bnisse				Bruchbild			
		Bruchkraft [N]	Holzbruch	Betonbruch	Klebstoff auf Holz	Klebstoff auf Beton	Klebstoff	
041	_A	20400	85		15			
041	_ _B	20500	100					
042	_ _A	21500		100				
042	_ _B	21900		100				
043	_ _A	19700		100				
043	_ _B	24300	90		10			
044	_ _A	19100	50	30	20			
044	_ _B	23800	90		10			

### Ergebnisse der Versuchsserie: $012\_C1oF\_3\_PUR$

		Lfd. Nr	Betonm	ischung	Oberfläch	nenbearb.	Klebstoff	
Bezeio	chnung	012	C1 ohne	e Fasern	sandge	estrahlt	PUR	
					•			
Prüfkörp	er - Beton	Gewicht [g]	Länge [mm]	Höhe [mm]	Dicke [mm]	Druckf. [N/mm²]	Zugf. [N/mm²]	
04	45	164,08	49,12	52,28	28,71	119,39	13,93	
04	46	165,38	49,16	52,29	28,77	119,39	13,93	
04	47	164,42	49,22	52,51	28,51	119,39	13,93	
04	48	165,08	49,24	52,24	28,73	119,39	13,93	
					I	1		
	per-Holz	Gewicht [g]	Länge [mm]	Breite [mm]	Dicke [mm]	Jahrringbreite [mm]	Jahrringlage [°]	Feuchte [%]
045	_A	49,76	50,51	49,99	38,98	2,36	60	11,
045	_B	44,37	50,46	49,97	38,93	2,33	61	11,
046	_A	43,64	50,52	50,08	39,02	2,38	59	11,
046	_B	42,95	50,48	50,12	39,14	2,33	61	11,8
047	_A	43,67	50,42	50,56	39,01	2,38	66	11,8
047	_B	43,9	50,46	50,12	39,04	2,53	70	11,8
048	_A	44,17	50,48	50,05	39,05	2,48	61	11,8
048	_B	48,32	50,55	50,06	39,04	2,57	53	11,
Bezeic Kli Auftrag Verarbei Press Pres	Verklebung chnung ima gsmenge itungszeit sdruck sszeit fung	15.02.2018	01.02.2018 PUR 20°C/65%rF 2g für 2 Scherflächen 5 min je Serie 0,75±0,1 N/mm² 24h					
Frgel	bnisse				Bruchbild			
riber		Bruchkraft [N]	Holzbruch	Betonbruch	Klebstoff auf Holz	Klebstoff auf Beton	Klebstoff	
045	Α	21900	60		40			
045	_ В	18600	50	20	30			
046	-	21100		100				
046		22400	20	80				
047	Α	21600	60	20	20			
047	В	19000	90		10			
048	Α	16500	50	10	10	40		
048		23100		40		40		
U40	_ <sup>1</sup>	23100	60	40				

### Ergebnisse der Versuchsserie: 013\_C3\_1\_PU

	Lfd. Nr	Betonm	ischung	Oberfläch	henbearb.	Klebstoff	
Bezeichnung	013	C			lglatt	PU	
					0		
Prüfkörper - Beton	Gewicht [g]	Länge [mm]	Höhe [mm]	Dicke [mm]	Druckf. [N/mm²]	Zugf. [N/mm²]	
049	178,96	49,17	52,00	29,20	218,5	44,52	
050	174,74	49,10	51,70	29,30	218,5	44,52	
051	181,63	49,16	51,75	29,15	218,5	44,52	
052	178,62	49,01	52,14	29,15	218,5	44,52	
Prüfkörper-Holz	Gewicht [g]	Länge [mm]	Breite [mm]	Dicke [mm]	Jahrringbreite [mm]	Jahrringlage [°]	Feuchte [%]
049 _A	40,98	50,68	50,00	38,01	2,48	62	11,10
049 _B	40,65	50,47	50,00	38,23	2,33	63	11,10
050 _A	41,68	50,54	50,07	38,15	2,38	70	11,10
050 _B	41,10	50,30	50,03	38,12	2,26	65	11,10
051 _A	40,96	50,34	50,06	38,18	2,27	64	11,10
051 _B	40,93	50,34	49,99	37,99	2,27	71	11,10
052 _A	40,74	50,40	50,20	38,17	2,33	65	11,10
052 _B	41,24	50,35	50,10	38,10	2,45	69	11,10
Klebstoff							
Datum der Verklebung		06.12.2017					
Bezeichnung		PU					
Klima		20°C/65%rF					
Auftragsmenge		2g für 2 Scherflächen					
Verarbeitungszeit		10 min					
Pressdruck		0,75±0,1 N/mm²					
Presszeit		23h					
		·					
Prüfung	13.12.2017						
Ergebnisse				Bruchbild			
	Bruchkraft [N]	Holzbruch	Betonbruch	Klebstoff auf Holz	Klebstoff auf Beton	Klebstoff	
049 _A	20700	35	5	50	10		
049 _B	16700	65	15	10	10		
050 _A	21700	75		20	5		
050 _B	14100	90		10			
051 _A	20200	75	10	5	10		
051 _B	20600	80		15	5		
052 _A	22100	100					
052 _B	22300	100					

### Ergebnisse der Versuchsserie: $014\_C3\_2\_PU$

		Lfd. Nr	Betonm	ischung	Oberfläch	nenbearb.	Klebstoff	
Bezeio	chnung	014	С			nliffen	PU	
		-						1
Prüfkörp	er - Beton	Gewicht [g]	Länge [mm]	Höhe [mm]	Dicke [mm]	Druckf. [N/mm²]	Zugf. [N/mm²]	
0.	53	172,45	49,10	51,34	28,35	218,5	44,52	
0.	54	172,23	49,01	51,52	28,30	218,5	44,52	
0.	55	170,97	49,05	51,09	28,04	218,5	44,52	
0.	56	170,16	49,10	51,10	28,30	218,5	44,52	
								T
Prüfkör	per-Holz	Gewicht [g]	Länge [mm]	Breite [mm]	Dicke [mm]	Jahrringbreite [mm]	Jahrringlage [°]	Feuchte [%]
053	_A	39,85	50,36	49,98	37,96	2,81	75	11,10
053	_B	39,12	49,32	50,04	38,17	2,69	70	11,10
054	_A	39,78	50,53	50,03	38,09	2,76	74	11,10
054	-	40,64	50,41	50,06	38,31	3,06	80	11,10
055		40,13	50,38	49,99	38,00	3,06	74	11,10
055	_B	40,85	50,41	50,01	38,29	2,76	74	11,10
056	_A	40,26	50,41	50,03	38,09	2,81	76	11,10
056	_B	40,65	50,81	49,99	38,03	2,59	70	11,10
		,						
Kleb	ostoff							
Datum der	Verklebung		06.12.2017					
Bezeio	chnung		PU					
Kli	ima		20°C/65%rF					
Auftrag	gsmenge		2g für 2 Scherflächen					
	itungszeit		10 min					
	sdruck		0,75±0,1 N/mm²					
Pres	sszeit		23h					
Prü	fung	13.12.2017						
		I						Ī
Ergel	bnisse				Bruchbild			
053	Ι.Α.	Bruchkraft [N]	Holzbruch	Betonbruch	Klebstoff auf Holz	Klebstoff auf Beton	Klebstoff	
053	-	14400	95		5			-
053	-	20800 25800	100					1
054		25800	90	55	10			
055		23700	95	55	5			
055		22800	95		5			
056		23700	95	75	25			
056	-	22600	80	/5	20			
030	1- <sup>5</sup>	22600	80		20			<u> </u>

### Ergebnisse der Versuchsserie: $015\_C3\_3\_PU$

		Lfd. Nr	Betonm	ischung	Oberfläch	nenbearb.	Klebstoff	
Bezeio	chnung	015	C		sandge	estrahlt	PU	
Prüfkörp	er - Beton	Gewicht [g]	Länge [mm]	Höhe [mm]	Dicke [mm]	Druckf. [N/mm²]	Zugf. [N/mm²]	
0!	57	175,37	49,01	51,20	29,18	218,5	44,52	
0!	58	177,53	49,18	51,97	29,00	218,5	44,52	
0!	59	174,29	48,92	51,74	28,99	218,5	44,52	
0	60	171,84	49,24	51,68	28,84	218,5	44,52	
					1			
Prüfkör	per-Holz	Gewicht [g]	Länge [mm]	Breite [mm]	Dicke [mm]	Jahrringbreite [mm]	Jahrringlage [°]	Feuchte [%]
057	_A	41,54	50,41	50,04	38,15	1,67	50	11,10
057	_B	42,29	50,45	50,04	38,02	1,58	54	11,10
058	_A	41,61	50,43	50,18	38,13	1,54	54	11,10
058	_B	41,33	50,21	50,00	38,09	1,51	53	11,10
059	_A	42,09	50,36	50,04	38,13	1,80	55	11,10
059	_B	41,79	50,40	50,05	38,12	1,62	50	11,10
060	_A	41,44	50,42	50,19	38,05	1,51	54	11,10
060	_B	41,55	50,37	50,03	38,11	1,57	48	11,10
Kleb	stoff			,				
Datum der	Verklebung		06.12.2017					
Bezeio	chnung		PU					
Kli	ima		20°C/65%rF					
Auftrag	smenge		2g für 2 Scherflächen					
Verarbei	itungszeit		10 min					
Press	druck		0,75±0,1 N/mm²					
Pres	sszeit		23h					
Prü	fung	13.12.2017						
		-						
Ergel	bnisse				Bruchbild			
		Bruchkraft [N]	Holzbruch	Betonbruch	Klebstoff auf Holz	Klebstoff auf Beton	Klebstoff	
057		23700	25	5	60	10		
057	_B	24600	50	50				
058		24500	80	20				
058	_	22800	100					
059	_A	16700	45		10	45		
059	_B	15100			10	90		
060	_A	11600	5			95		
060	_B	12300	5			95		

### Ergebnisse der Versuchsserie: $016\_C3\_3\_PU$

		Lfd. Nr	Betonm	ischung	Oberfläch	henbearb.	Klebstoff	
Bezeio	hnung	016	С	3	sandge	estrahlt	PU	
					,			
Prüfkörp	er - Beton	Gewicht [g]	Länge [mm]	Höhe [mm]	Dicke [mm]	Druckf. [N/mm²]	Zugf. [N/mm²]	
0	61	176,44	49,28	51,50	29,10	218,5	44,52	
0	62	170,11	49,26	51,37	28,60	218,5	44,52	
0	63	169,47	49,26	51,45	28,84	218,5	44,52	
0	64	171,93	49,39	52,15	28,96	218,5	44,52	
					T			
Prüfkör	per-Holz	Gewicht [g]	Länge [mm]	Breite [mm]	Dicke [mm]	Jahrringbreite [mm]	Jahrringlage [°]	Feuchte [%]
061	_A	37,27	50,62	51,68	37,07	2,90	38	11,1
061	_B	42,22	50,58	50,10	37,07	2,55	56	11,1
062	_A	36,43	50,50	51,65	37,19	2,82	38	11,1
062	_B	40,22	50,45	50,11	37,04	2,35	50	11,1
063	_A	37,07	50,45	51,81	37,05	2,76	32	11,1
063	_B	40,61	50,46	50,25	37,15	2,48	52	11,1
064	_A	37,07	50,47	51,70	37,06	2,73	41	11,1
064	_B	34,24	50,47	50,15	37,07	3,80	38	11,1
Bezeio	Verklebung chnung ma		14.12.2017 PU 20°C/65%rF					
Auftrag	smenge		2g für 2 Scherflächen					
Verarbei	tungszeit		13 min					
Press	druck		0,75±0,1 N/mm²					
Pres	szeit		19:47h					
Prü	fung	29.01.2018						
Ergel	onisse				Bruchbild			
		Bruchkraft [N]	Holzbruch	Betonbruch	Klebstoff auf Holz	Klebstoff auf Beton	Klebstoff	
061	_A	16900	60		40			
061	_B	20800	30			70		
062	_A	8420	20	20			60	
062	_B	6830	15				85	
063	_A	18800			60	40		
063	_B	13900			10		90	
064	_A	12800			40		60	
064	_B	11000			40		60	

### Ergebnisse der Versuchsserie: $017\_C3\_1$ -ohne-Fett\_PU

		Lfd. Nr	Betonm	ischung	Oberfläch	nenbearb.	Klebstoff	
Bezeio	chnung	017	С	3	schalglatt	ohne Fett	PU	
Prüfkörp	er - Beton	Gewicht [g]	Länge [mm]	Höhe [mm]	Dicke [mm]	Druckf. [N/mm²]	Zugf. [N/mm²]	
0	65	172,10	49,29	50,21	29,35	216,24	40,08	
0	66	172,04	49,36	50,42	29,25	216,24	40,08	
0	67	172,18	49,41	50,57	29,25	216,24	40,08	
0	68	173,13	49,22	50,43	29,21	216,24	40,08	
Prüfkör	per-Holz	Gewicht [g]	Länge [mm]	Breite [mm]	Dicke [mm]	Jahrringbreite [mm]	Jahrringlage [°]	Feuchte [%]
065	_A	37,41	50,51	51,69	37,25	2,63	32	11,1
065	_B	41,93	50,67	50,04	37,08	2,33	56	11,1
066	_A	34,81	50,56	50,08	37,09	3,16	33	11,1
066	_B	41,05	50,51	50,07	37,04	2,48	55	11,1
067	_A	34,62	50,56	50,07	37,06	3,16	29	11,1
067	_B	41,00	50,59	50,07	37,07	2,43	50	11,1
068	_A	34,28	50,47	50,05	37,10	3,63	31	11,1
068	_B	40,28	50,46	50,05	37,08	2,43	53	11,1
Datum der	verklebung chnung		14.12.2017 PU					
Kli	ima		20°C/65%rF					
Auftrag	smenge		2g für 2 Scherflächen					
Verarbei	itungszeit		13 min					
Press	druck		0,75±0,1 N/mm²					
Pres	sszeit		19:47h					
Prü	fung	29.01.2018						
Ergel	bnisse			-	Bruchbild		_	
		Bruchkraft [N]	Holzbruch	Betonbruch	Klebstoff auf Holz	Klebstoff auf Beton	Klebstoff	
065	_A	11900	25		5	75		
065	_B	7140				100		
066	_A	17800	20		60	20		
066	_B	22100	25	10	10	55		
067	_A	17300	20	20	60			
067	_B	18400	60	30	10			
068	_A	15700	10		15	75		
068	_B	16000	5		20	75		

### Ergebnisse der Versuchsserie: $018\_C3\_1\_PRF$

	Lfd. Nr	Betonm	ischung	Oberfläch	nenbearb.	Klebstoff	
Bezeichnung	018	C			lglatt	PRF	
				!			
Prüfkörper - Beton	Gewicht [g]	Länge [mm]	Höhe [mm]	Dicke [mm]	Druckf. [N/mm²]	Zugf. [N/mm²]	
069	173,18	49,38	50,22	29,18	216,24	40,08	
070	171,63	49,15	50,64	29,20	216,24	40,08	
071	175,42	49,21	50,69	29,38	216,24	40,08	
072	171,73	49,17	50,52	29,27	216,24	40,08	
Prüfkörper-Holz	Gewicht [g]	Länge [mm]	Breite [mm]	Dicke [mm]	Jahrringbreite [mm]	Jahrringlage [°]	Feuchte [%]
069 _A	36,86	50,37	49,98	38,97	4,07	22	11,1
069 _B	37,17	50,48	50,00	39,03	4,07	29	11,1
070 _A	39,93	50,43	49,99	39,10	3,38	65	11,1
070 _B	40,24	50,37	50,00	39,03	3,13	53	11,1
071 _A	36,15	50,34	50,14	39,01	4,46	50	11,1
071 _B	35,12	50,52	49,97	39,08	5,18	54	11,1
072 _A	41,08	50,84	49,93	39,09	2,83	65	11,1
072 _B	36,23	50,45	50,03	39,00	4,23	50	11,1
Klebstoff							
Datum der Verklebung		31.01.2018					
Bezeichnung		PRF					
Klima		20°C/65%rF					
Auftragsmenge		2g für 2 Scherflächen					
Verarbeitungszeit	15 min; 10 mir	n geschlossene Wartezeit					
Pressdruck		0,75±0,1 N/mm²					
Presszeit		24:20 h					
	,	·					
Prüfung	15.02.2018						
Ergebnisse				Bruchbild			
	Bruchkraft [N]	Holzbruch	Betonbruch	Klebstoff auf Holz	Klebstoff auf Beton	Klebstoff	
069 _A	13000	50			50		
069 _B	9970	10			90		
070 _A	4500				100		
070 _B	9380	10			90		
071 _A	15600	20			80		
071 _B	14000	50		10	40		
072 _A	12400	10			90		
072 _B	10300	10			90		

### Ergebnisse der Versuchsserie: $019\_C3\_2\_PRF$

		Lfd. Nr	Betonm	ischung	Oberfläch	nenbearb.	Klebstoff	
Bezeio	hnung	019	С	3	gesch	nliffen	PRF	
					1			
	er - Beton	Gewicht [g]	Länge [mm]	Höhe [mm]	Dicke [mm]	Druckf. [N/mm²]	Zugf. [N/mm²]	
07	73	168,27	49,21	50,72	28,67	216,24	40,08	
	74	170,06	49,16	50,67	28,70	216,24	40,08	
07	75	167,52	49,26	50,89	28,22	216,24	40,08	
07	76	172,40	49,27	50,60	28,80	216,24	40,08	
					T			
Prüfkör	per-Holz	Gewicht [g]	Länge [mm]	Breite [mm]	Dicke [mm]	Jahrringbreite [mm]	Jahrringlage [°]	Feuchte [%]
073	_	38,60	50,37	50,04	39,12	4,00	22	11,1
073	_B	38,16	50,41	50,04	39,03	4,08	25	11,1
074	_A	40,13	50,38	50,02	39,07	2,75	65	11,1
074	_B	40,07	50,39	49,99	39,21	2,89	69	11,1
075	_A	35,78	50,11	49,90	38,98	4,58	50	11,1
075	_B	36,22	50,34	50,11	39,07	4,31	48	11,1
076	_A	40,02	50,52	50,07	39,07	2,75	62	11,1
076	_B	36,32	50,88	50,08	39,04	4,08	23	11,1
Kleb	stoff							
Datum der	Verklebung		31.01.2018					
Bezeio	hnung		PRF					
Kli	ma		20°C/65%rF					
Auftrag	smenge		2g für 2 Scherflächen					
Verarbei	tungszeit	15 min; 10 mir	n geschlossene Wartezeit					
Press	druck		0,75±0,1 N/mm²					
Pres	szeit		24:20h					
Prü	fung	15.02.2018						
Ergeb	onisse				Bruchbild			
	1	Bruchkraft [N]	Holzbruch	Betonbruch	Klebstoff auf Holz	Klebstoff auf Beton	Klebstoff	
073	_A	11500	25			75		
073	_B	19100	40			60		
074	_A	19400		20		80		
074	_B	22100	10	25		65		
075	_A	18100	70			30		
075	_B	17500	30		20	50		
076	_A	27300			15	85		
076	_B	15700	100					

### Ergebnisse der Versuchsserie: $020\_C3\_3\_PRF$

	Lfd. Nr	Betonm	ischung	Oberfläch	nenbearb.	Klebstoff	
Bezeichnung	020	С			estrahlt	PRF	
Prüfkörper - Beton	Gewicht [g]	Länge [mm]	Höhe [mm]	Dicke [mm]	Druckf. [N/mm²]	Zugf. [N/mm²]	
077	169,09	49,20	50,73	28,84	216,24	40,08	
078	167,41	49,18	50,35	28,83	216,24	40,08	
079	170,00	49,34	50,60	29,02	216,24	40,08	
080	168,50	49,10	50,39	29,29	216,24	40,08	
Prüfkörper-Holz	Gewicht [g]	Länge [mm]	Breite [mm]	Dicke [mm]	Jahrringbreite [mm]	Jahrringlage [°]	Feuchte [%]
077 _A	36,53	50,48	50,10	39,04	3,93	23	11,1
077 _B	37,68	50,41	49,98	39,03	3,93	22	11,1
078 _A	40,01	51,03	50,03	39,21	2,57	64	11,1
078 _B	39,49	50,62	49,96	39,10	2,90	64	11,1
079 _A	36,26	50,43	50,07	39,15	4,23	53	11,1
079 _B	38,89	50,39	50,00	39,03	3,13	62	11,1
080 _A	36,41	50,67	50,03	39,09	4,00	24	11,1
080 _B	35,68	50,73	50,04	39,01	4,58	50	11,1
Klebstoff							
Datum der Verklebung		31.01.2018					
Bezeichnung		PRF					
Klima		20°C/65%rF					
Auftragsmenge		2g für 2 Scherflächen					
Verarbeitungszeit	15 min; 10 mi	n geschlossene Wartezeit					
Pressdruck		0,75±0,1 N/mm²					
Presszeit		24:20h					
		r					
Prüfung	15.02.2018						
							ī
Ergebnisse				Bruchbild			
,	Bruchkraft [N]	Holzbruch	Betonbruch	Klebstoff auf Holz	Klebstoff auf Beton	Klebstoff	
077 _A	9910	10	10		80		
077 _B	11200	10		25	65		
078 _A	11700	20			80		
078 _B	10800			20	80		
079 _A	14200			10	90		
079 _B	13700	10		10	80		
080 _A	21000	10		10	80		
080 _B	16000	50			50		

### Ergebnisse der Versuchsserie: $021\_C1\_1\_PU$

		Lfd. Nr	Betonm	ischung	Oberfläch	nenbearb.	Klebstoff	
Bezeio	hnung	021	С			lglatt	PU	
						<del>'</del>		•
Prüfkörp	er - Beton	Gewicht [g]	Länge [mm]	Höhe [mm]	Dicke [mm]	Druckf. [N/mm²]	Zugf. [N/mm²]	
08	31	167,00	49,27	49,82	29,18	143,27	14,71	
08	32	166,08	49,28	50,05	29,31	143,27	14,71	
08	33	162,58	49,14	48,93	29,34	143,27	14,71	
08	34	169,55	49,35	50,60	29,20	143,27	14,71	
Prüfkör	per-Holz	Gewicht [g]	Länge [mm]	Breite [mm]	Dicke [mm]	Jahrringbreite [mm]	Jahrringlage [°]	Feuchte [%]
081	_A	41,22	50,56	50,01	38,03	2,52	54	11,1
081	_B	38,62	50,61	50,04	38,25	3,05	67	11,1
082	_A	39,97	50,45	50,07	38,05	2,55	56	11,1
082	_B	38,83	50,74	50,08	38,26	2,65	70	11,1
083	_A	42,27	50,68	49,99	37,98	2,50	60	11,1
083	_B	42,26	50,62	50,08	38,36	2,15	64	11,1
084	_A	39,23	50,59	50,06	38,01	2,64	60	11,1
084	_B	43,24	50,77	50,09	37,99	2,15	59	11,1
Kleb	stoff							
Datum der	Verklebung		06.02.2018					
Bezeio	hnung		PU					
Kli	ma		20°C/65%rF					
Auftrag	smenge		2g für 2 Scherflächen					
Verarbei	tungszeit		5 min je Serie					
Press	druck		0,75±0,1 N/mm²					
Pres	szeit		23:20h					
Prü	fung	15.02.2018						
Ergek	onisse		_		Bruchbild			
		Bruchkraft [N]	Holzbruch	Betonbruch	Klebstoff auf Holz	Klebstoff auf Beton	Klebstoff	
081	_A	23300	15		70	15		
081	_B	20900	15	60		25		
082	_A	13500	50		50			
082	_B	21400		100				
083	_A	18600	50	10	40			
083	_B	18500	50		50			
084	_A	23000		20	50	30		
084	_B	24500	50		50			

### Ergebnisse der Versuchsserie: $022\_C1\_2\_PU$

		Lfd. Nr	Betonm	ischung	Oberfläch	nenbearb.	Klebstoff	
Bezeio	chnung	022	С			nliffen	PU	
		-			-			
Prüfkörp	er - Beton	Gewicht [g]	Länge [mm]	Höhe [mm]	Dicke [mm]	Druckf. [N/mm²]	Zugf. [N/mm²]	
0	85	159,54	49,31	48,95	28,59	143,27	14,71	
0	86	161,36	49,32	50,00	28,25	143,27	14,71	
0	87	162,75	49,23	50,29	28,65	143,27	14,71	
0	88	163,27	49,29	49,19	28,85	143,27	14,71	
					Ī			
Prüfkör	per-Holz	Gewicht [g]	Länge [mm]	Breite [mm]	Dicke [mm]	Jahrringbreite [mm]	Jahrringlage [°]	Feuchte [%]
085	_A	42,21	50,89	50,06	38,01	2,12	58	11,1
085	_B	38,98	50,67	50,12	38,24	2,68	55	11,1
086	_A	39,52	50,52	50,06	38,01	2,43	59	11,1
086	_B	42,95	51,02	50,06	38,12	2,12	60	11,1
087		39,74	50,52	50,08	38,09	2,33	57	11,1
087	_B	38,33	50,66	50,29	38,09	2,74	66	11,1
088	_A	39,23	50,60	50,14	38,00	2,52	59	11,1
088	_B	43,08	50,75	50,14	38,04	2,20	56	11,1
Datum der	Verklebung		06.02.2018					
	chnung		PU					
	ima		20°C/65%rF					
	gsmenge itungszeit		2g für 2 Scherflächen 5 min je Serie					
	sdruck		0,75±0,1 N/mm²					
	sszeit		23:20h					
	5520.0		25.2511					
Prü	fung	15.02.2018						
Ergel	bnisse				Bruchbild			
		Bruchkraft [N]	Holzbruch	Betonbruch	Klebstoff auf Holz	Klebstoff auf Beton	Klebstoff	
085	_A	21000	90		10			
085	_В	22100	10	90				
086	_A	26400	30	70				
086	_B	22200	60		40			
087	_A	25500	100					
087	_B	23000		100				
088	_A	17600	100					
088	_B	18400	100					

### Ergebnisse der Versuchsserie: 023\_C1\_3\_PU

	Lfd. Nr	Betonm	ischung	Oherfläck	henbearb.	Klebstoff	
Bezeichnung	023	C			estrahlt	PU	•
							1
Prüfkörper - Beton	Gewicht [g]	Länge [mm]	Höhe [mm]	Dicke [mm]	Druckf. [N/mm²]	Zugf. [N/mm²]	
089	164,25	49,22	50,33	29,22	143,27	14,71	
090	163,72	49,26	49,81	29,31	143,27	14,71	
091	165,75	49,22	50,93	29,11	143,27	14,71	
092	164,99	49,23	50,41	29,14	143,27	14,71	
							•
Prüfkörper-Holz	Gewicht [g]	Länge [mm]	Breite [mm]	Dicke [mm]	Jahrringbreite [mm]	Jahrringlage [°]	Feuchte [%]
089 _A	43,17	51,09	50,05	38,05	2,20	62	11,1
089 _B	40,05	50,49	50,13	38,01	2,28	56	11,1
090 _A	39,85	50,89	50,06	37,99	3,79	56	11,1
090 _B	42,23	50,52	50,17	37,92	2,17	68	11,1
091 _A	39,57	50,45	50,06	38,08	2,72	73	11,1
091 _B	40,08	50,57	50,06	37,98	2,19	64	11,1
092 _A	41,80	50,52	50,05	38,05	2,23	65	11,1
092 _B	39,79	50,66	50,06	38,09	2,65	67	11,1
	_						
Klebstoff							
Datum der Verklebung		06.02.2018					
Bezeichnung		PU					
Klima		20°C/65%rF					
Auftragsmenge		2g für 2 Scherflächen					
Verarbeitungszeit		5 min je Serie					
Pressdruck		0,75±0,1 N/mm²					
Presszeit		23:20h					
	1	ī					
Prüfung	15.02.2018						
	1						ī
Ergebnisse				Bruchbild	T.		
	Bruchkraft [N]	Holzbruch	Betonbruch	Klebstoff auf Holz	Klebstoff auf Beton	Klebstoff	
089 _A	12100			25	75		
089 _B	19700	10		60	30		
090 _A	22400	20	20	30	30		
090 _B	24800	80		20			
091 _A	23300	100					
091 _B	20400	80			20		
092 _A	15300	50		50			
092 _B	9710			10	90		

### Ergebnisse der Versuchsserie: 024\_C2\_1\_PU

	Lfd. Nr	Betonm	ischung	Oberfläck	nenbearb.	Klebstoff	
Bezeichnung	024	C			lglatt	PU	
3	!			!			
Prüfkörper - Beton	Gewicht [g]	Länge [mm]	Höhe [mm]	Dicke [mm]	Druckf. [N/mm²]	Zugf. [N/mm²]	
093	179,82	49,27	50,21	29,18	239,54	36,73	
094	177,09	49,27	49,89	29,12	239,54	36,73	
095	178,91	49,20	50,26	29,23	239,54	36,73	
096	176,69	49,08	49,75	29,21	239,54	36,73	
Prüfkörper-Holz	Gewicht [g]	Länge [mm]	Breite [mm]	Dicke [mm]	Jahrringbreite [mm]	Jahrringlage [°]	Feuchte [%]
093 _A	41,85	50,68	50,00	38,01	2,15	52	11,1
093 _B	40,77	50,53	50,05	37,98	2,30	61	11,1
094 _A	42,06	50,54	50,08	38,04	2,11	52	11,1
094 _B	40,42	50,86	50,03	38,17	2,12	64	11,1
095 _A	42,43	50,66	49,98	38,08	2,11	55	11,1
095 _B	39,19	50,61	50,03	38,05	2,44	74	11,1
096 _A	42,31	50,55	50,12	38,67	2,12	55	11,1
096 _B	42,15	50,68	49,98	38,17	2,20	59	11,1
	_						
Klebstoff							
Datum der Verklebung		07.02.2018					
Bezeichnung		PU					
Klima		20°C/65%rF					
Auftragsmenge		2g für 2 Scherflächen					
Verarbeitungszeit		5 min je Serie					
Pressdruck		0,75±0,1 N/mm²					
Presszeit		100h					
Prüfung	15.02.2018						
							,
Ergebnisse				Bruchbild			
	Bruchkraft [N]	Holzbruch	Betonbruch	Klebstoff auf Holz	Klebstoff auf Beton	Klebstoff	
093 _A	25500	90			10		
093 _B	24500		75	25			
094 _A	16600	100					
094 _B	25100	70	10	20			
095 _A	19700	100					
095 _B	24600	75	20	5			
096 _A	21900	80		20			
096 _B	21900	25		65	10		

### Ergebnisse der Versuchsserie: $025\_C2\_2\_PU$

		Lfd. Nr	Betonm	ischung	Oberfläch	nenbearb.	Klebstoff	
Bezeio	chnung	025	С			nliffen	PU	
		-			-			
Prüfkörp	er - Beton	Gewicht [g]	Länge [mm]	Höhe [mm]	Dicke [mm]	Druckf. [N/mm²]	Zugf. [N/mm²]	
0:	97	174,78	49,28	50,22	28,68	239,54	36,73	
0	98	171,34	49,12	50,01	28,83	239,54	36,73	
0	99	171,70	49,35	49,41	28,59	239,54	36,73	
1	00	174,58	49,12	49,81	28,76	239,54	36,73	
Prüfkör	per-Holz	Gewicht [g]	Länge [mm]	Breite [mm]	Dicke [mm]	Jahrringbreite [mm]	Jahrringlage [°]	Feuchte [%]
097	_A	41,34	50,57	50,05	38,05	2,00	54	11,2
097	_B	40,42	50,38	49,97	37,96	2,29	60	11,2
098	_A	40,39	50,54	50,01	38,13	2,23	57	11,2
098	_B	41,17	50,64	50,19	38,10	2,17	60	11,2
099	_A	42,56	50,59	50,01	38,08	2,12	55	11,2
099	_B	42,93	50,74	49,94	38,31	2,12	54	11,2
100	_A	42,42	50,69	50,15	38,09	2,11	55	11,2
100	_B	39,63	50,42	50,06	38,02	2,47	83	11,2
Datum der Bezeid Kli	verklebung chnung ima ssmenge		07.02.2018 PU 20°C/65%rF 2g für 2 Scherflächen					
	itungszeit		5 min je Serie					
	druck		0,75±0,1 N/mm²					
Pres	sszeit		100h					
Prü	fung	15.02.2018						
Ergel	bnisse				Bruchbild	,		
		Bruchkraft [N]	Holzbruch	Betonbruch	Klebstoff auf Holz	Klebstoff auf Beton	Klebstoff	
097		17200	100					
097	_B	23700	90	10				
098	_A	11700	100					
098	_B	19900	60				40	
099	_A	23600	60			20	20	
099	_B	14300	100					
100	_A	22200	100					
100	_B	23700	80			20		

### Ergebnisse der Versuchsserie: $026\_C2\_3\_PU$

	IEI No	B-4	tankana a	ا د تا الله الله الله	nenbearb.	Klebstoff	
Baraiahauna	Lfd. Nr 026	Betonm C			estrahlt	PU	
Bezeichnung	020			Januage	Straint	10	1
Prüfkörper - Beton	Gewicht [g]	Länge [mm]	Höhe [mm]	Dicke [mm]	Druckf. [N/mm²]	Zugf. [N/mm²]	
101	178,68	49,22	50,57	29,06	239,54	36,73	
102	175,64	49,21	49,83	29,21	239,54	36,73	
103	177,13	49,28	50,34	29,04	239,54	36,73	
104	177,22	49,25	50,57	29,03	239,54	36,73	
				!			•
Prüfkörper-Holz	Gewicht [g]	Länge [mm]	Breite [mm]	Dicke [mm]	Jahrringbreite [mm]	Jahrringlage [°]	Feuchte [%]
101 _A	42,46	50,64	50,00	38,02	2,15	52	11,2
101 _B	40,47	50,67	50,07	38,28	2,39	55	11,2
102 _A	42,56	50,60	50,01	38,04	2,15	52	11,2
102 _B	41,56	50,63	50,07	38,06	2,20	63	11,2
103 _A	42,48	50,56	50,06	38,14	2,15	59	11,2
103 _B	38,77	50,46	49,96	38,11	2,75	79	11,2
104 _A	42,52	50,80	49,98	38,11	2,38	60	11,2
104 _B	42,39	50,45	50,08	38,27	2,04	55	11,2
Klebstoff  Datum der Verklebung		07.02.2018					
Bezeichnung		PU					
Klima		20°C/65%rF					
Auftragsmenge		2g für 2 Scherflächen					
Verarbeitungszeit		5 min je Serie					
Pressdruck		0,75±0,1 N/mm²					
Presszeit		100h					
Prüfung	15.02.2018						
Ergebnisse				Bruchbild			
	Bruchkraft [N]	Holzbruch	Betonbruch	Klebstoff auf Holz	Klebstoff auf Beton	Klebstoff	
101 _A	12800	10		20	70		
101 _B	23300	50	50				
102 _A	13000	60		20	20		
102 _B	13000	10		20	70		
103 _A	13600	50		20	30		
103 _B	17800	60		10	30		
104 _A	14600	50		20	30		
104 _B	26700	100					

### Ergebnisse der Versuchsserie: $027\_C1\_1\_PUR$

	Lfd. Nr	Betonm	ischung	Oberfläch	henbearb.	Klebstoff	
Bezeichnung	027	С			lglatt	PUR	
3	!			!			
Prüfkörper - Beton	Gewicht [g]	Länge [mm]	Höhe [mm]	Dicke [mm]	Druckf. [N/mm²]	Zugf. [N/mm²]	
105	167,71	49,37	50,69	29,26	151,18	19,43	
106	169,93	49,25	50,74	29,17	151,18	19,43	
107	171,67	49,47	51,72	29,16	151,18	19,43	
108	170,08	49,30	50,98	29,37	151,18	19,43	
Prüfkörper-Holz	Gewicht [g]	Länge [mm]	Breite [mm]	Dicke [mm]	Jahrringbreite [mm]	Jahrringlage [°]	Feuchte [%]
105 _A	40,35	50,74	50,07	37,11	2,39	69	11,2
105 _B	39,23	50,88	50,00	37,22	2,37	72	11,2
106 _A	39,36	50,57	50,04	37,22	2,55	62	11,2
106 _B	39,64	50,59	50,06	37,21	2,37	61	11,2
107 _A	35,58	50,59	49,99	37,00	3,33	39	11,2
107 _B	38,73	50,61	50,04	37,13	2,38	52	11,2
108 _A	38,77	50,87	50,09	37,17	2,35	66	11,2
108 _B	40,03	50,97	50,06	37,14	2,48	60	11,2
Klebstoff							
Datum der Verklebung		12.02.2018					
Bezeichnung		PUR					
Klima		20°C/65%rF					
Auftragsmenge		2g für 2 Scherflächen					
Verarbeitungszeit		5 min je Serie					
Pressdruck		0.75 +- 0.1 N/mm <sup>2</sup>					
Presszeit		23h					
Prüfung	19.02.2018						
Ergebnisse				Bruchbild			
	Bruchkraft [N]	Holzbruch	Betonbruch	Klebstoff auf Holz	Klebstoff auf Beton	Klebstoff	
105 _A	20300	70		30			
105 _B	24500	60	5	35			
106 _A	22600	80		20			
106 _B	24700	50	10	40			
107 _A	22100	80	10	10			
107 _B	24500	60	10	30			
108 _A	22300	70	10	50			
108 _B	20500	90	5	5			

### Ergebnisse der Versuchsserie: $028\_C1\_2\_PUR$

	Lfd. Nr	Betonm	ischung	Oberfläch	nenbearb.	Klebstoff	
Bezeichnung	028	С			nliffen	PUR	
-	!	!		-			
Prüfkörper - Beton	Gewicht [g]	Länge [mm]	Höhe [mm]	Dicke [mm]	Druckf. [N/mm²]	Zugf. [N/mm²]	
109	166,48	49,54	50,43	28,81	151,18	19,43	
110	165,08	49,19	50,60	28,80	151,18	19,43	
111	162,92	49,29	50,63	28,11	151,18	19,43	
112	165,82	49,32	50,86	28,58	151,18	19,43	
Prüfkörper-Holz	Gewicht [g]	Länge [mm]	Breite [mm]	Dicke [mm]	Jahrringbreite [mm]	Jahrringlage [°]	Feuchte [%]
109 _A	39,83	50,93	50,16	37,25	2,45	68	11,2
109 _B	39,34	50,97	50,21	37,19	2,48	63	11,2
110 _A	40,16	50,86	50,18	37,16	2,50	54	11,2
110 _B	39,75	50,71	50,07	37,11	2,50	61	11,2
111 _A	35,15	50,64	49,98	37,07	3,47	41	11,2
111 _B	39,70	50,75	50,12	37,35	2,21	56	11,2
112 _A	39,45	50,74	50,08	37,13	2,33	73	11,2
112 _B	39,70	50,82	50,09	37,47	2,48	60	11,2
Klebstoff							
Datum der Verklebung		12.02.2018					
Bezeichnung		PUR					
Klima		20°C/65%rF					
Auftragsmenge		2g für 2 Scherflächen					
Verarbeitungszeit		5 min je Serie					
Pressdruck		0.75 +- 0.1 N/mm <sup>2</sup>					
Presszeit		23h					
Prüfung	19.02.2018						
Ergebnisse				Bruchbild			
	Bruchkraft [N]	Holzbruch	Betonbruch	Klebstoff auf Holz	Klebstoff auf Beton	Klebstoff	
109 _A	19300	100					
109 _B	19700	70	30				
110 _A	24300	80		20			
110 _B	24500	20	10	70			
111 _A	23300	30	15	55			
111 _B	22200	60		40			
112 _A	18300	30	20	50			
112 _B	22500	10	5	65	20		

### Ergebnisse der Versuchsserie: $029\_C1\_3\_PUR$

		Lfd. Nr	Betonm	ischung	Oberfläch	nenbearb.	Klebstoff	
Bezeic	hnung	029	С	1	sandge	estrahlt	PUR	
		•				•		
Prüfkörpe	er - Beton	Gewicht [g]	Länge [mm]	Höhe [mm]	Dicke [mm]	Druckf. [N/mm²]	Zugf. [N/mm²]	
11	13	169,00	49,30	50,96	29,19	151,18	19,43	
11	14	168,83	49,19	50,93	29,18	151,18	19,43	
11	15	168,75	49,38	51,28	29,19	151,18	19,43	
11	16	170,19	49,24	51,24	29,25	151,18	19,43	
Prüfkör	per-Holz	Gewicht [g]	Länge [mm]	Breite [mm]	Dicke [mm]	Jahrringbreite [mm]	Jahrringlage [°]	Feuchte [%]
113	_A	39,13	50,96	50,23	37,15	2,45	70	11,2
113	_B	40,65	50,84	50,04	37,16	2,77	67	11,2
114	_A	35,37	50,66	50,00	37,09	3,16	42	11,2
114	_B	39,61	50,44	50,06	37,16	2,35	61	11,2
115	_A	38,99	50,47	50,41	37,29	2,48	52	11,2
115	_B	39,35	50,53	50,10	37,16	2,63	63	11,2
116	_A	39,23	50,66	50,09	37,30	2,60	68	11,2
116	_B	39,79	50,70	50,10	37,24	2,57	60	11,2
Bezeic Klii Auftrag Verarbei Press Pres	Verklebung chnung ma ssmenge tungszeit druck sszeit fung	19.02.2018	12.02.2018  PUR  20°C/65%rF  2g für 2 Scherflächen  5 min je Serie  0.75 + 0.1 N/mm²  23h					
Ergeb	onisse				Bruchbild			
, J		Bruchkraft [N]	Holzbruch	Betonbruch	Klebstoff auf Holz	Klebstoff auf Beton	Klebstoff	
113	_A	15200	100					
113	_B	21900	30		60		10	
114	_A	20900	80		20			
114	_B	21600	30	50	15	5		
115	_A	15400	100					
115	_ _B	18200	30	50		20		
116	_ _A	22300	30	50	20			
116		21300		100				

### Ergebnisse der Versuchsserie: $030\_C2\_1\_PUR$

		Lfd. Nr	Betonm	ischung	Oberfläch	nenbearb.	Klebstoff	
Bezeio	chnung	030	С	2	scha	lglatt	PUR	
Prüfkörp	er - Beton	Gewicht [g]	Länge [mm]	Höhe [mm]	Dicke [mm]	Druckf. [N/mm²]	Zugf. [N/mm²]	
1:	17	177,94	49,38	49,78	29,37	235,23	35,79	
1:	18	181,00	49,30	50,35	29,32	235,23	35,79	
1:	19	177,39	49,45	49,96	29,17	235,23	35,79	
1:	20	179,21	49,42	50,04	29,30	235,23	35,79	
					1			
Prüfkör	per-Holz	Gewicht [g]	Länge [mm]	Breite [mm]	Dicke [mm]	Jahrringbreite [mm]	Jahrringlage [°]	Feuchte [%]
117	_A	41,18	50,58	50,04	39,14	1,92	6	11,:
117	_B	39,84	50,50	50,07	39,13	2,00	5	11,2
118	_A	40,22	50,53	50,06	39,13	2,13	5	11,2
118	_B	40,95	50,57	49,99	39,23	2,04	1	11,2
119	_A	41,27	50,41	50,16	39,09	2,08	0,5	11,2
119	_B	40,01	50,48	50,03	39,13	2,17	4	11,2
120	_A	40,43	50,48	50,02	39,10	2,00	2	11,2
120	_B	40,81	50,49	50,08	39,11	2,21	5	11,2
Kleb	ostoff							
Datum der	Verklebung		13.02.2018					
Bezeio	chnung		PUR					
Kli	ima		20°C/65%rF					
Auftrag	gsmenge		2g für 2 Scherflächen					
Verarbei	itungszeit		5 min je Serie					
Press	sdruck		0.75 +- 0.1 N/mm²					
Pres	sszeit		46h					
Prü	fung	19.02.2018						
Ergel	bnisse				Bruchbild			
		Bruchkraft [N]	Holzbruch	Betonbruch	Klebstoff auf Holz	Klebstoff auf Beton	Klebstoff	
117	_A	22400	50	40	10			
117	_B	23400	30		70			
118	_A	21400	100					
118	_B	24900	40	20	30	10		
119	_A	21700	95	5				
119	_B	22300	80	10	10			
120	_A	22700	20	60	20			
120	_B	22000	90	10				

### Ergebnisse der Versuchsserie: $031\_C2\_2\_PUR$

		Lfd. Nr	Betonm	ischung	Oberfläch	nenbearb.	Klebstoff	
Bezeio	chnung	031	С	2	gesch	nliffen	PUR	
Prüfkörp	er - Beton	Gewicht [g]	Länge [mm]	Höhe [mm]	Dicke [mm]	Druckf. [N/mm²]	Zugf. [N/mm²]	
1:	21	176,60	49,29	50,18	28,51	235,23	35,79	
1	22	173,24	49,24	49,94	28,47	235,23	35,79	
1:	23	176,25	49,23	49,98	28,73	235,23	35,79	
1:	24	178,70	49,31	50,70	28,96	235,23	35,79	
Prüfkör	per-Holz	Gewicht [g]	Länge [mm]	Breite [mm]	Dicke [mm]	Jahrringbreite [mm]	Jahrringlage [°]	Feuchte [%]
121	_A	40,08	50,48	50,32	39,11	1,96	0	11,2
121	_B	39,56	50,50	50,08	39,10	2,16	6	11,2
122	_A	40,45	50,43	49,98	38,99	1,85	4	11,2
122	_B	40,64	50,55	50,08	39,04	2,00	0	11,2
123	_A	40,64	50,47	50,05	39,09	2,04	2,5	11,2
123	_B	40,45	50,42	50,11	39,09	2,09	11	11,2
124	_A	40,46	50,58	50,04	39,10	1,92	7	11,2
124	_B	39,82	50,52	49,96	39,02	2,04	6	11,2
Datum der Bezeio	verklebung chnung		13.02.2018 PUR 20°C/65%rF					
	smenge		2g für 2 Scherflächen					
	itungszeit		5 min je Serie					
	druck		0.75 +- 0.1 N/mm²					
Pres	sszeit		46h					
Prü	fung	19.02.2018						
Ergel	bnisse				Bruchbild			
0		Bruchkraft [N]	Holzbruch	Betonbruch	Klebstoff auf Holz	Klebstoff auf Beton	Klebstoff	
121	_A	15700	80		20			
121	_ _B	13900	40	5	55			
122	_ _A	20900	20	60	20			
122	_ _B	23000	90		10			
123	_ _A	22600	90		10			
123	_ _B	25400	85	5	10			
124	_A	24500	85	5	10			
124	_B	18100	70		30			

### Ergebnisse der Versuchsserie: $032\_C2\_3\_PUR$

		Lfd. Nr	Betonm	ischung	Oberfläch	henbearb.	Klebstoff	
Bezeio	hnung	032	С	2	sandge	estrahlt	PUR	
		•						
Prüfkörp	er - Beton	Gewicht [g]	Länge [mm]	Höhe [mm]	Dicke [mm]	Druckf. [N/mm²]	Zugf. [N/mm²]	
12	25	176,82	49,34	49,78	29,16	235,23	35,79	
12	26	177,53	49,28	49,66	29,21	235,23	35,79	
12	27	179,14	49,11	50,15	29,23	235,23	35,79	
12	28	179,19	49,37	50,22	29,20	235,23	35,79	
Prüfkör	per-Holz	Gewicht [g]	Länge [mm]	Breite [mm]	Dicke [mm]	Jahrringbreite [mm]	Jahrringlage [°]	Feuchte [%]
125	_A	40,37	50,47	50,07	39,20	2,04	2	11,2
125	_B	39,44	50,58	50,04	39,14	2,00	2	11,2
126	_A	40,47	50,46	50,05	39,10	2,00	6	11,2
126	_B	39,74	50,43	50,06	39,15	1,85	3	11,2
127	_A	40,86	50,72	50,01	38,99	2,00	6	11,2
127	_B	41,28	50,50	50,05	39,11	2,00	2	11,2
128	_A	39,79	50,67	50,05	39,09	1,92	2	11,2
128	_B	39,83	50,46	49,97	39,10	1,92	4	11,2
Bezeic Kli Auftrag Verarbei Press Pres	Verklebung chnung ma ssmenge tungszeit druck sszeit fung	19.02.2018	13.02.2018  PUR  20°C/65%rF  2g für 2 Scherflächen  5 min je Serie  0.75 + 0.1 N/mm²  46h					
Ergek	onisse				Bruchbild			
		Bruchkraft [N]	Holzbruch	Betonbruch	Klebstoff auf Holz	Klebstoff auf Beton	Klebstoff	
125	_A	23000	40	30		30		
125	_B	17300	50		50			
126	_A	23900	50		50			
126	_B	16800	80		20			
127	_A	22100	50	10	40			
127	_B	20500	50		40	10		
128	_A	19200	25	30	45			
128	_B	21400	60		40			

### Ergebnisse der Versuchsserie: $033\_C1\_1\_EP$

		Lfd. Nr	Betonm	ischung	Oberfläch	nenbearb.	Klebstoff	
Bezeio	chnung	033	С	_		lglatt	EP	
		•				•		
Prüfkörp	er - Beton	Gewicht [g]	Länge [mm]	Höhe [mm]	Dicke [mm]	Druckf. [N/mm²]	Zugf. [N/mm²]	
1	29	170,81	49,28	50,38	29,28	156,12	18,02	
1.	30	166,83	49,04	49,88	29,15	156,12	18,02	
1	31	171,51	49,17	50,80	29,18	156,12	18,02	
1	32	170,94	49,15	50,37	29,18	156,12	18,02	
Prüfkör	per-Holz	Gewicht [g]	Länge [mm]	Breite [mm]	Dicke [mm]	Jahrringbreite [mm]	Jahrringlage [°]	Feuchte [%]
129	_A	44,42	50,80	50,11	39,15	1,68	58	11,2
129	_B	43,94	50,78	50,02	39,16	1,90	58	11,2
130	_A	43,82	50,64	50,16	39,22	1,54	50	11,2
130	_B	44,16	50,91	50,09	39,20	1,57	49	11,2
131		36,73	50,67	50,11	39,05	5,09	57	11,2
131	_B	37,69	50,72	50,12	39,15	4,73	59	11,2
132	_A	37,03	50,85	50,15	39,15	4,75	59	11,2
132	_B	44,00	50,67	50,12	39,11	1,74	60	11,2
Bezeid Kli Auftrag Verarbei	Verklebung chnung ima gsmenge itungszeit		15.02.2018 EP 20°C/65%rF 2g für 2 Scherflächen 5 min je Serie					
	sdruck		0.75 +- 0.1 N/mm²					
Pres	sszeit		4h					
Prü	fung	19.02.2018						
Ergel	bnisse				Bruchbild			
		Bruchkraft [N]	Holzbruch	Betonbruch	Klebstoff auf Holz	Klebstoff auf Beton	Klebstoff	
129	_A	23900	50		40	10		
129	_B	26100	60	30		10		
130	_A	25500	50	30	10	10		
130		22800	60	20		20		
131	_A	20900	100					
131		20100	100					
132		25500	100					
132	_B	20600	40	20	20	20		

### Ergebnisse der Versuchsserie: $034\_C1\_2\_EP$

		Lfd. Nr	Betonm	ischung	Oberfläci	henbearb.	Klebstoff	
Bezeio	hnung	034	С			nliffen	EP	
		<u> </u>			•	•		
Prüfkörp	er - Beton	Gewicht [g]	Länge [mm]	Höhe [mm]	Dicke [mm]	Druckf. [N/mm²]	Zugf. [N/mm²]	
1	33	160,87	49,28	49,78	27,93	156,12	18,02	
13	34	155,87	49,24	49,46	27,24	156,12	18,02	
13	35	153,32	49,29	49,45	26,75	156,12	18,02	
13	36	149,18	49,43	50,03	27,43	156,12	18,02	
					T			
	per-Holz	Gewicht [g]	Länge [mm]	Breite [mm]	Dicke [mm]	Jahrringbreite [mm]	Jahrringlage [°]	Feuchte [%]
133	-	44,09	51,02	50,12	39,11	1,82	59	11,2
133		44,24	50,88	50,13	39,13	1,65	56	11,2
134	_A	43,84	50,68	50,20	39,25	1,66	57	11,2
134	_B	44,19	51,06	50,36	39,12	1,61	55	11,2
135	_	37,66	50,84	50,09	39,05	4,92	59	11,2
135	_B	36,72	50,64	50,16	39,17	5,09	56	11,2
136	_A	37,03	50,73	50,18	39,23	5,00	60	11,2
136	_B	44,33	50,88	50,08	39,08	1,79	61	11,2
Kleb	stoff							
Datum der	Verklebung		15.02.2018					
Bezeio	hnung		EP					
Kli	ma		20°C/65%rF					
Auftrag	smenge		2g für 2 Scherflächen					
Verarbei	tungszeit		5 min je Serie					
Press	druck		0.75 +- 0.1 N/mm²					
Pres	szeit		4h					
Prü	fung	19.02.2018						
Ergel	onisse				Bruchbild	1		
		Bruchkraft [N]	Holzbruch	Betonbruch	Klebstoff auf Holz	Klebstoff auf Beton	Klebstoff	
133		23500	100					
133		27400	50	40	10			
134		24600	90	10				
134	_B	19800	90		10			
135	_A	18000	50		50			
135	_	20300	70	10				
136	_A	19000	80		20			
136	_B	23200	80		20			

### Ergebnisse der Versuchsserie: $035\_C1\_3\_EP$

	Lfd. Nr	Betonm	ischung	Oberfläch	nenbearb.	Klebstoff	
Bezeichnung	035	С			estrahlt	EP	
Prüfkörper - Beton	Gewicht [g]	Länge [mm]	Höhe [mm]	Dicke [mm]	Druckf. [N/mm²]	Zugf. [N/mm²]	
137	165,62	49,12	49,75	29,17	156,12	18,02	
138	167,30	49,30	50,04	29,13	156,12	18,02	
139	167,97	49,28	50,19	29,29	156,12	18,02	
140	164,50	49,25	49,70	29,17	156,12	18,02	
Prüfkörper-Holz	Gewicht [g]	Länge [mm]	Breite [mm]	Dicke [mm]	Jahrringbreite [mm]	Jahrringlage [°]	Feuchte [%]
137 _A	43,43	50,78	50,15	39,09	1,62	55	11,2
137 _B	44,30	50,97	50,16	39,11	1,68	59	11,2
138 _A	43,82	50,68	50,10	39,08	1,65	58	11,2
138 _B	44,07	50,72	50,11	39,18	1,53	55	11,2
139 _A	36,92	50,64	50,03	39,09	5,20	60	11,2
139 _B	37,29	50,60	50,12	39,12	4,73	57	11,2
140 _A	37,18	50,71	50,24	39,14	5,09	58	11,2
140 _B	44,04	50,79	50,11	39,05	1,73	58	11,2
Klebstoff							
Datum der Verklebung		15.02.2018					
Bezeichnung		EP					
Klima		20°C/65%rF					
Auftragsmenge		2g für 2 Scherflächen					
Verarbeitungszeit		5 min je Serie					
Pressdruck		0.75 +- 0.1 N/mm²					
Presszeit		4h					
	1						
Prüfung	19.02.2018						
							,
Ergebnisse				Bruchbild			
	Bruchkraft [N]	Holzbruch	Betonbruch	Klebstoff auf Holz	Klebstoff auf Beton	Klebstoff	
137 _A	20000	90		10			
137 _B	25100	85	5	10			
138 _A	24300	75	25				
138 _B	21400	25	60	15			
139 _A	21300	20		80			
139 _B	20300	60	30	10			
140 _A	21900	80		20			
140 _B	24300	25	65	10			

### Ergebnisse der Versuchsserie: $036\_C2\_1\_EP$

		Lfd. Nr	Betonm	ischung	Oberfläch	nenbearb.	Klebstoff	
Bezeio	chnung	036	C			lglatt	EP	
		-			!	-		
Prüfkörp	er - Beton	Gewicht [g]	Länge [mm]	Höhe [mm]	Dicke [mm]	Druckf. [N/mm²]	Zugf. [N/mm²]	
14	41	181,81	49,26	50,33	29,26	261,8	37,68	
14	42	180,33	49,25	49,67	29,44	261,8	37,68	
14	43	177,34	49,28	49,40	29,46	261,8	37,68	
14	44	175,67	49,09	49,46	29,20	261,8	37,68	
					T			
Prüfkör	per-Holz	Gewicht [g]	Länge [mm]	Breite [mm]	Dicke [mm]	Jahrringbreite [mm]	Jahrringlage [°]	Feuchte [%]
141	_A	40,15	50,71	50,07	38,56	3,06	66	11,2
141	_B	42,79	50,79	50,12	38,61	2,23	65	11,2
142	_A	42,67	50,62	50,21	38,49	2,12	60	11,2
142	_B	42,69	50,51	50,21	38,69	2,00	57	11,2
143		40,25	50,65	50,14	38,45	2,94	67	11,2
143	_B	42,35	50,58	50,06	38,49	2,11	53	11,2
144	_A	40,82	50,72	50,14	38,63	2,89	64	11,2
144	_B	42,92	50,54	50,22	38,63	2,15	77	11,2
Bezeio Kli Auftrag Verarbei	Verklebung chnung ima gsmenge itungszeit sdruck		15.02.2018  EP  20°C/65%rF  2g für 2 Scherflächen  5 min je Serie  0.75 ← 0.1 N/mm²					
Pres	sszeit		16h					
	fung	19.02.2018						
Ergel	bnisse	B 11 553			Bruchbild	m	w 1 · · · ·	
141		Bruchkraft [N]	Holzbruch	Betonbruch	Klebstoff auf Holz	Klebstoff auf Beton	Klebstoff	
141	-	21900	90		10			
141	-	17800 15200	85 25	10	15			
142		19200	30	10	10 20			
	_J			10				
1/12	Δ	17100	101					
143		17100	10					
143 143 144	_ _B	17100 18100 11400	10 60 20	10		30		

### Ergebnisse der Versuchsserie: $037\_C2\_2\_EP$

		Lfd. Nr Betonmisch			Oberfläci	Klebstoff		
Bezeio	chnung	037	С			nliffen	EP	
		-			-			
Prüfkörp	er - Beton	Gewicht [g]	Länge [mm]	Höhe [mm]	Dicke [mm]	Druckf. [N/mm²]	Zugf. [N/mm²]	
1	45	167,24	49,25	50,35	26,98	261,8	37,68	
1	46	167,52	49,32	50,34	26,64	261,8	37,68	
1	47	170,96	49,33	50,91	27,48	261,8	37,68	
1	48	163,21	49,34	50,63	26,12	261,8	37,68	
					T	1		
Prüfkör	per-Holz	Gewicht [g]	Länge [mm]	Breite [mm]	Dicke [mm]	Jahrringbreite [mm]	Jahrringlage [°]	Feuchte [%]
145	_A	41,08	50,85	50,17	38,70	3,00	65	12,2
145	_B	42,82	50,78	50,15	38,65	2,22	68	12,2
146		42,96	50,62	50,37	38,53	2,12	58	12,2
146		42,67	50,53	50,36	39,20	2,04	58	12,2
147		40,17	50,61	50,19	38,91	2,89	68	12,2
147	_B	42,26	50,77	50,38	38,61	2,07	52	12,2
148	-	40,85	50,61	50,06	38,58	2,89	65	12,2
148	_B	42,96	50,87	50,00	38,78	2,08	65	12,2
	ostoff Verklebung		15.02.2018					
Bezei	chnung		EP					
Kli	ima		20°C/65%rF					
Auftrag	gsmenge		2g für 2 Scherflächen					
Verarbe	itungszeit		5 min je Serie					
Press	sdruck		0.75 +- 0.1 N/mm²					
Pres	sszeit		16h					
Prü	fung	19.02.2018						
								ı
Erge	bnisse				Bruchbild	T.		
	ı	Bruchkraft [N]	Holzbruch	Betonbruch	Klebstoff auf Holz	Klebstoff auf Beton	Klebstoff	
145	-	19200	20		80			
145		20900	50		50			
146		19400	80	5		15		
146		26000	80		20			
147		20600	100					
147		25100	50	20	30			
148		13200	75		25			
148	_B	16800	60		40			

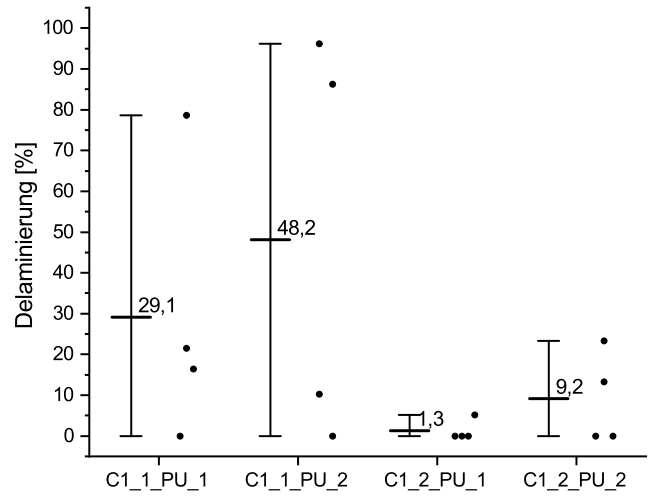
### Ergebnisse der Versuchsserie: $038\_C2\_3\_EP$

		Lfd. Nr	Betonm	ischung	Oberfläch	nenbearb.	Klebstoff	
Bezeio	chnung	038	C			estrahlt	EP	
		-			-			•
Prüfkörp	er - Beton	Gewicht [g]	Länge [mm]	Höhe [mm]	Dicke [mm]	Druckf. [N/mm²]	Zugf. [N/mm²]	
1	49	178,23	49,24	50,91	29,30	261,8	37,68	
1.	50	175,20	49,29	49,85	29,20	261,8	37,68	
1.	51	175,64	49,23	49,80	29,13	261,8	37,68	
1	52	174,30	49,33	49,36	29,23	261,8	37,68	
Prüfkör	per-Holz	Gewicht [g]	Länge [mm]	Breite [mm]	Dicke [mm]	Jahrringbreite [mm]	Jahrringlage [°]	Feuchte [%]
149	_A	40,81	50,85	50,40	38,65	3,33	59	12,2
149	_B	43,24	50,88	50,31	38,86	2,17	66	12,2
150	_A	43,24	50,64	50,15	38,47	2,16	60	12,2
150	_B	42,79	50,50	50,18	38,57	2,04	56	12,2
151	_A	40,07	50,55	50,19	38,59	2,83	73	12,2
151	_B	42,42	50,71	50,26	38,58	2,00	54	12,2
152	_A	41,72	51,15	50,16	38,73	2,80	61	12,2
152	_B	43,93	50,65	49,97	38,61	2,04	64	12,2
Datum der Bezeio Kli	verklebung chnung ima gsmenge		15.02.2018 EP 20°C/65%rF 2g für 2 Scherflächen					
Verarbei	itungszeit		5 min je Serie					
	sdruck		0.75 +- 0.1 N/mm²					
Pres	sszeit		16h					
Prü	fung	19.02.2018						
Ergel	bnisse				Bruchbild			
		Bruchkraft [N]	Holzbruch	Betonbruch	Klebstoff auf Holz	Klebstoff auf Beton	Klebstoff	
149	_A	14100	80		20			
149	_B	18600	10					
150	_A	17200	10					
150	_B	28000	95	5				
151	_A	20900	60	15	25			
151	_B	24300	30	20	50			
152	_A	14700	50		50			
152	_B	22000	60		40			

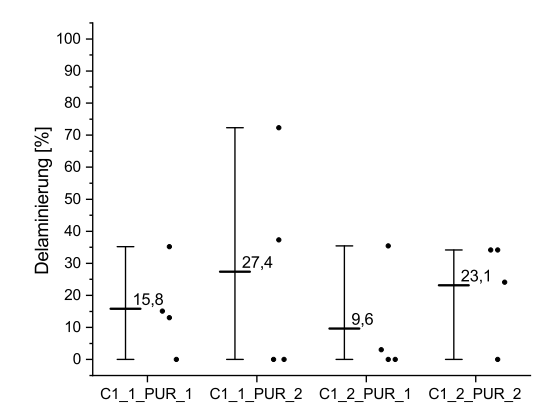
# B Delaminierungsversuche

In diesem Anhang sind alle Ergebniss der Delaminierungsversuche in Diagrammform und im Anschluss daran die Rohdaten dargestellt.

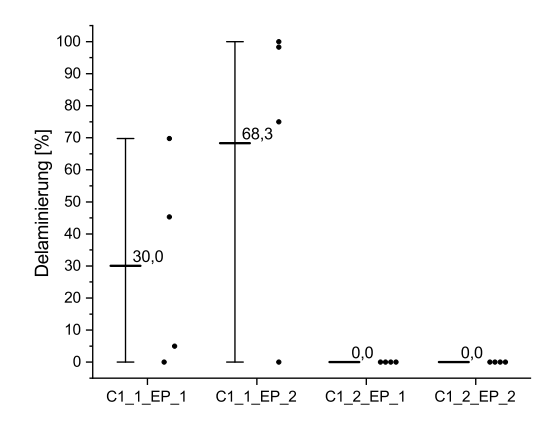
## Ergebnisse der Versuche mit Beton C1



(a) Ergebnisse C1\_PU

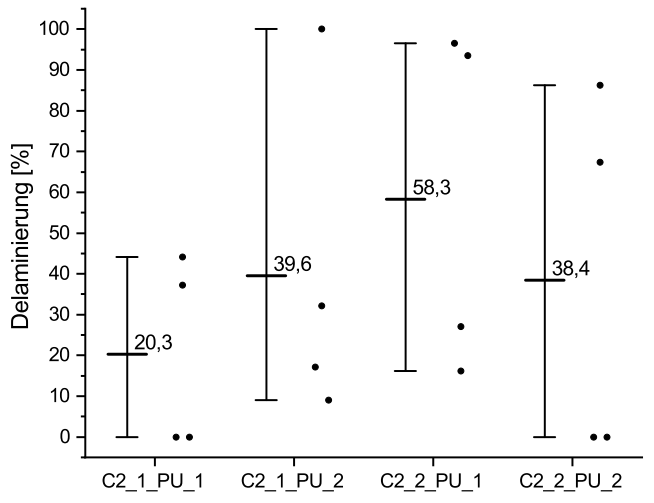


#### (b) Ergebnisse C1\_PUR

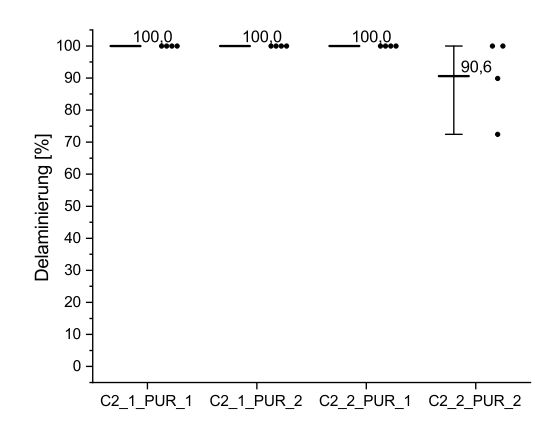


(c) Ergebnisse C1\_EP

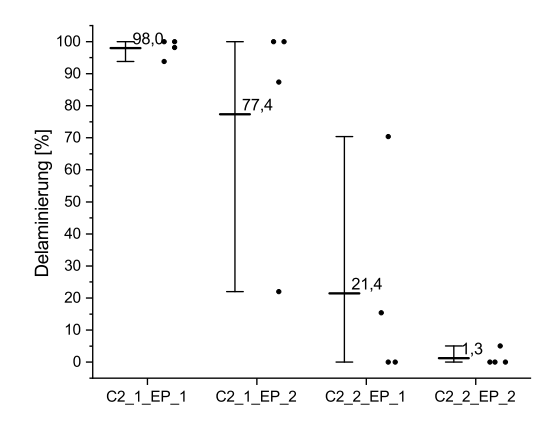
### Ergebnisse der Versuche mit Beton C2



(a) Ergebnisse C2\_PU



#### (b) Ergebnisse C2\_PUR



(c) Ergebnisse C2\_EP

# Versuch C1\_PU

Dela	minie	rvers	uch									
Prob	ekörpe	rbezei	chnung	3			Ве	ton	Pr	üfkörpergewicht	[g]	
						Gewicht [g]	L [mm]	B [mm]	T [mm]	Beginn	Ziel	Ende
C1	1	PU	01			708,36	99,60	98,45	29,90	1055,61	1077,31	1042,6
C1	1	PU	02			708,92	99,10	98,90	29,95	1061,08	1083,09	1044,2
C1	2	PU	01			665,70	99,00	98,60	27,96	1013,10	1034,81	993,8
C1	2	PU	02			673,74	99,52	98,70	28,40	1023,47	1045,33	1007,2
	•						•				•	
Klebefuge						Längei	n [mm]		Beton:			
		Kieb	eruge			Hirnholz	Fugenöffnung		Druckfestigkeit [N/mm²]		137,5	
C1	1	PU	01	Α	1	98,00	77,00		Biegezugfestigkeit [N/mm²]			
C1	1	PU	01	В	1	97,90	21,00					•
C1	1	PU	01	А	2	97,7	16,00					
C1	1	PU	01	В	2	97,7	0,00					
C1	1	PU	02	Α	1	98,50	85,00					
C1	1	PU	02	В	1	98,80	95,00					
C1	1	PU	02	А	2	97,80	0,00					
C1	1	PU	02	В	2	98,00	10,00					
C1	2	PU	01	Α	1	97,90	0,00					
C1	2	PU	01	В	1	98,01	0,00					
C1	2	PU	01	А	2	97,80	5,00					
C1	2	PU	01	В	2	98,20	0,00					
C1	2	PU	02	А	1	98,10	13,00					
C1	2	PU	02	В	1	98,40	23,00					
C1	2	PU	02	А	2	98,00	0,00					

98,30

0,00

### $Versuch\ C1\_PUR$

PUR 02

Dela	Delaminierversuche												
Probe	körpei	rbezeio	hnung	ļ			Be	ton		Prüfkörpergewicht [g]			
						Gewicht [g]	L [mm]	B [mm]	T [mm]	Beginn	Ziel	Ende	
C1	1	PUR	01			730,38	100,60	99,90	29,95	1024,80	1043,20	1011,20	
C1	1	PUR	02			727,64	100,40	99,90	29,93	1019,80	1038,06	1003,20	
C1	2	PUR	01			711,38	100,26	99,73	29,36	999,00	1016,98	987,20	
C1	2	PUR	02			702,64	100,39	99,75	29,00	995,00	1013,27	977,80	
						Länge	Längen [mm]		Beton:				
Klebefuge						Hirnholz	Fugenöffnung	Druckfestigkeit [		[N/mm²]	121,2		
C1	1	PUR	01	А	1	99,51	35,00		Biegezugfestigkeit [N/mm²]				
C1	1	PUR	01	В	1	99,46	13,00				16,1	1	
C1	1	PUR	01	Α	2	99,28	15,00						
C1	1	PUR	01	В	2	99,1	0,00						
C1	1	PUR	02	A	1	99,55	0,00						
C1	1	PUR	02	В	1	99,55	72,00						
C1	1	PUR	02	Α	2	98,91	0,00						
C1	1	PUR	02	В	2	99,18	37,00						
C1	2	PUR	01	Α	1	98,71	35,00						
C1	2	PUR	01	В	1	98,98	0,00						
C1	2	PUR	01	А	2	99,18	3,00						
C1	2	PUR	01	В	2	99,01	0,00						
C1	2	PUR	02	А	1	99,48	34,00						
C1	2	PUR	02	В	1	99,50	34,00						

99,19

99,41

0,00

24,00

### $Versuch\ C1\_EP$

Dela	minie	rvers	uche									
Prob	ekörpe	rbezei	chnung	S			Be	ton		Pr	üfkörpergewicht	[g]
			Gewicht [g]	wicht [g] L [mm]		T [mm]	Beginn	Ziel	Ende			
C1	1	EP	01			742,94	100,90	100,40	29,95	1041,40	1060,05	1039,60
C1	1	EP	02			738,88	100,65	100,39	29,93	1043,00	1062,01	1041,40
C1	2	EP	01			721,36	100,38	100,25	29,17	1018,00	1036,54	1014,80
C1	2	EP	02			724,60	101,30	100,25	29,12	1018,60	1036,98	1015,00
										•		
						Länger	n [mm]		Beton:			
		Kleb	efuge			Hirnholz	Fugenöffnung		Druckfestigkeit [I	N/mm²]	139,9	
C1	1	EP	01	Α	1	100,32	70,00		Biegezugfestigke	it [N/mm²]	19,3	
C1	1	EP	01	В	1	99,76	5,00				•	1
C1	1	EP	01	Α	2	99,26	45,00					
C1	1	EP	01	В	2	99,12	0,00					
C1	1	EP	02	А	1	99,99	0,00					
C1	1	EP	02	В	1	100,01	75,00					
C1	1	EP	02	А	2	99,77	99,77					
C1	1	EP	02	В	2	99,70	98,00					
C1	2	EP	01	А	1	99,47	0,00					
C1	2	EP	01	В	1	99,95	0,00					
C1	2	EP	01	Α	2	99,34	0,00					
C1	2	EP	01	В	2	99,71	0,00					
C1	2	EP	02	А	1	99,83	0,00					
C1	2	EP	02	В	1	99,88	0,00					
C1	2	EP	02	Α	2	99,15	0,00					

99,54

# $\mathbf{Versuch}\ \mathbf{C2}\_\mathbf{PU}$

Dela	minie	rvers	uche									
Prob	ekörpe	rbezei	chnung				Be	ton		Pr	üfkörpergewicht	[g]
			Gewicht [g]	wicht [g] L [mm]		B [mm] T [mm]		Ziel	Ende			
C2	1	PU	01			772,04	101,00	99,95	29,96	1084,20	1103,71	1074,80
C2	1	PU	02			774,96	101,03	100,23	29,93	1075,40	1094,18	1068,40
C2	2	PU	01			749,00	101,07	100,00	28,88	1059,00	1078,38	1052,40
C2	2	PU	02			755,60	100,99	99,85	29,18	1052,00	1070,53	1043,80
										•		
			_			Länge	n [mm]		Beton:			
		Kleb	efuge			Hirnholz	Fugenöffnung	Druckfestigkeit [		N/mm²] 248,4		
C2	1	PU	01	А	1	98,91	0,00		Biegezugfestigke	it [N/mm²]	35,1	
C2	1	PU	01	В	1	99,39	37,00				,	
C2	1	PU	01	Α	2	99,44	0,00					
C2	1	PU	01	В	2	99,63	44.00					
C2	1	PU	02	Α	1	99,51						
C2	1	PU	02	В	1	99,63	99,63					
C2	1	PU	02	А	2	99,26	9,00					
C2	1	PU	02	В	2	99,34	17,00					
C2	2	PU	01	А	1	99,23	16,00					
C2	2	PU	01	В	1	99,57	27,00					
C2	2	PU	01	А	2	99,42	93,00	1				
C2	2	PU	01	В	2	99,46	96,00					
C2	2	PU	02	A	1	99,41	67,00					
C2	2	PU	02	В	1	99,66	86,00					
C2	2	PU	02	Α	2	99,74	0,00					

99,02

### $Versuch\ C2\_PUR$

PUR 02

PUR 02

PUR 02

99,44

99,40

99,01

72,00

99,40

										ı		
Prob	ekörpe	örperbezeichnung Beton Prüfkörpergewicht								[g]		
						Gewicht [g]	L [mm]	B [mm]	T [mm]	Beginn	Ziel	Ende
C2	1	PUR	01			779,08	101,10	100,01	29,92	1051,60	1068,63	
C2	1	PUR	02			774,76	100,85	99,98	29,93	1048,40	1065,50	
C2	2	PUR	01			754,38	100,94	99,98	29,23	1028,60	1045,74	
C2	2	PUR	02			761,10	101,12	100,15	29,29	1036,20	1053,39	1015,60
			•	•								
		141.1	,			Länger	n [mm]		Beton:			
Klebefuge						Hirnholz	Fugenöffnung		Druckfestigkeit [N/mm²]		237,1	
C2	1	PUR	01	А	1	99,40	99,40		Biegezugfestigkeit [N/mm²] 31,8			
C2	1	PUR	01	В	1	99,11	99,11					•
C2	1	PUR	01	Α	2	99,43	99,43					
C2	1	PUR	01	В	2	99,6	99,60					
C2	1	PUR	02	А	1	99,25	99,25					
C2	1	PUR	02	В	1	99,56	99,56					
C2	1	PUR	02	А	2	98,94	98,94					
C2	1	PUR	02	В	2	99,37	99,37					
C2	2	PUR	01	А	1	99,30	99,30	]				
C2	2	PUR	01	В	1	99,11	99,11	1				
C2	2	PUR	01	А	2	98,81	98,81	1				
	2	PUR	01	В	2	98,89	98,89					
C2	-			I -	_	,	,					

### $Versuch\ C2\_EP$

02

100,09

Dela	minie	rvers	uche									
Prob	ekörpe	rbezei	chnung	·			Ве	ton		Pre	üfkörpergewicht	[g]
			Gewicht [g] L [mm] B [mm] T [mm] Beginn		Beginn	Ziel	Ende					
C2	1	EP	01			776,66	100,85	99,90	29,93	1062,00	1079,83	1054,60
C2	1	EP	02			784,52	101,07	100,36	29,90	1076,60	1094,86	1067,20
C2	2	EP	01			764,74	101,18	100,04	29,45	1026,40	1042,75	1018,00
C2	2	EP	02			762,16	101,05	100,14	29,43	1077,60	1097,32	1082,40
	•	1		•	•					•		
						Längen [mm]			Beton:			
		Kleb	efuge			Hirnholz	Fugenöffnung		Druckfestigkeit [I	N/mm²]	229,6	
C2	1	EP	01	Α	1	99,40	99,40		Biegezugfestigke	it [N/mm²]	26,9	
C2	1	EP	01	В	1	99,85	98,00					•
C2	1	EP	01	Α	2	99,89	99,89					
C2	1	EP	01	В	2	100,22	94,00					
C2	1	EP	02	Α	1	100,09	100,09					
C2	1	EP	02	В	1	99,54	87,00					
C2	1	EP	02	А	2	100,07	100,07					
C2	1	EP	02	В	2	99,99	22,00					
C2	2	EP	01	Α	1	97,53	0,00					
C2	2	EP	01	В	1	100,93	71,00					
C2	2	EP	01	А	2	97,22	15,00					
C2	2	EP	01	В	2	100,13	0,00					
C2	2	EP	02	А	1	99,43	5,00					
C2	2	EP	02	В	1	99,64	0,00					
C2	2	EP	02	А	2	99,66	0,00					
	+	+	1		-			1				

# C Verbundversuche

# Tabellarische Versuchsergebnisse

	Betonla	melle		Maschinen	Holz	Betonkenr	Betonkennwerte		
V:mm on	Länge	Breite	Dicke	kraft	bruch	$f_{cm}$	$f_{cl}$	$E_{mean}$	
Körper	$[mm]$	[mm]	[mm]	kN]	[%]	$[N/mm^2]$	$[{ m N/mm^2}]$	$[{ m N/mm^2}]$	
V_S_1.1	143,68	101,11	29,90	188,09	100	153	18,41	44179	
V_S_1.2	143,35	98,275	29,90	58,86	10	138	15,95	45042	
$V_{-}S_{-}1.3$	143,20	99,94	29,90	197,90	98	154	17,30	45561	
$V_S_2.1$	294,60	100,18	29,90	120,49	95	135	15,95	38707	
$V\_S\_2.2$	293,50	100,45	29,90	158,46	98	135	15,95	38707	
VS2.3	294,25	100,26	29,90	126,073	85	133	17,59	40371	
VS3.1	438,65	100,04	29,90	220,99	99	153	18,41	44179	
$V\_S\_3.2$	438,38	100,60	29,90	196,47	60	138	15,95	45042	
VS3.3	438,70	100,60	29,90	217,34	100	154	17,30	45561	
$V_{-}G_{-}1.1$	143,46	99,56	26,80	103,81	98	136	14,58	41582	
VG1.2	142,93	99,60	28,60	50,02	90	133	17,66	41665	
$V_{-}G_{-}1.3$	143,42	99,52	28,05	84,65	98	138	15,99	42682	
$V_{-}G_{-}2.1$	295,40	99,97	28,70	137,51	100	142	16,30	41336	
VG2.2	294,50	100,47	28,87	154,39	100	142	16,30	41336	
$V_{-}G_{-}2.3$	294,00	100,10	28,70	198,03	98	133	17,59	40371	
V_G_3.1	445,10	100,65	28,63	234,15	100	138	15,99	42682	
V_G_3.2	444,80	100,59	28,25	252,59	99	136	14,58	41582	
V_G_3.3	445,50	99,86	28,31	184,57	100	133	17,66	41665	

## Ergebnisse konventionelle Messtechnik

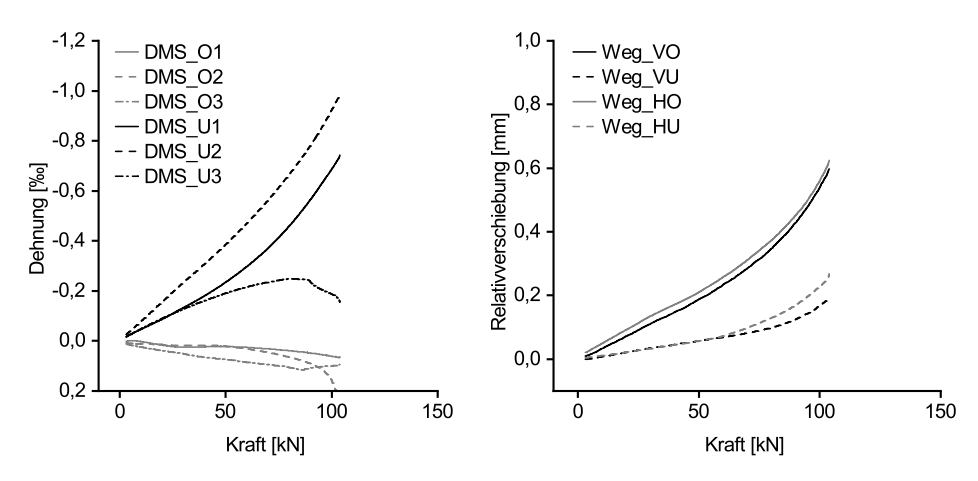


Abbildung C.1: Ergebnisse von Versuch V\_G\_1.1

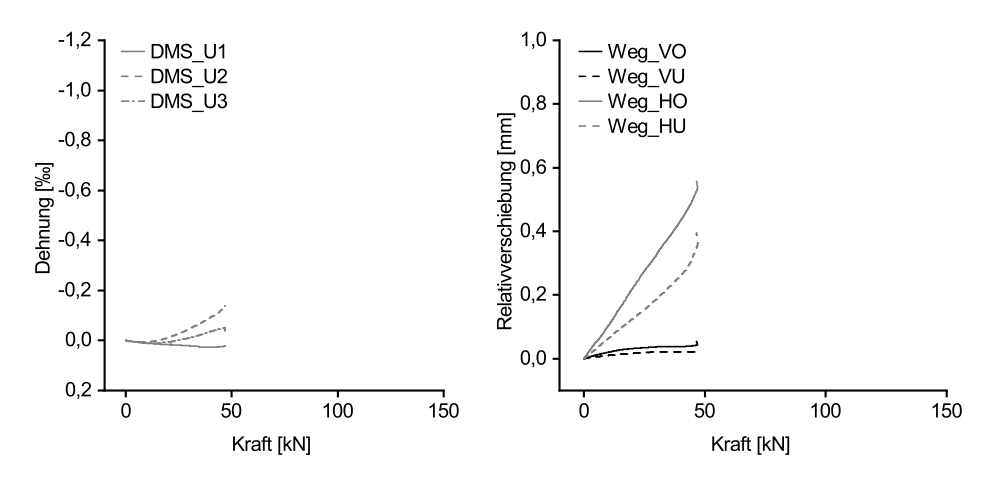
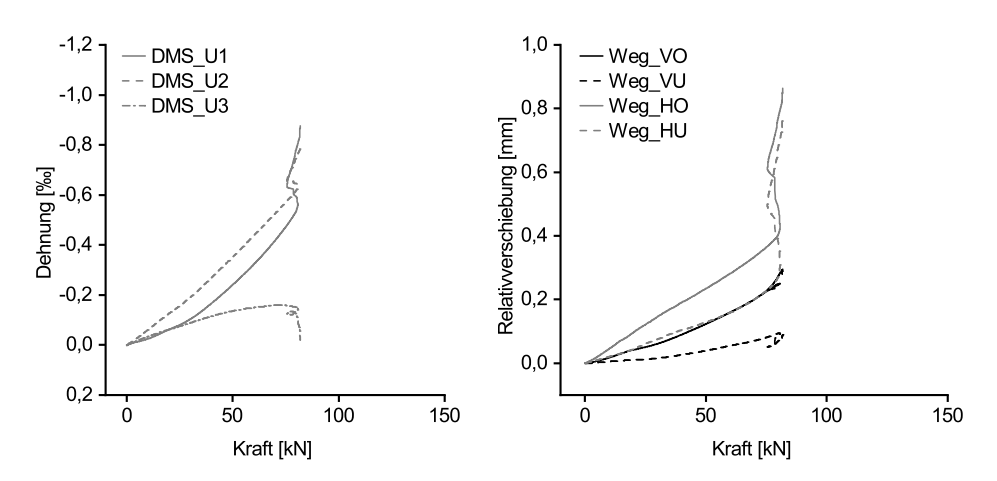


Abbildung C.2: Ergebnisse von Versuch V\_G\_1.2



**Abbildung C.3:** Ergebnisse von Versuch  $V_G_1.3$ 

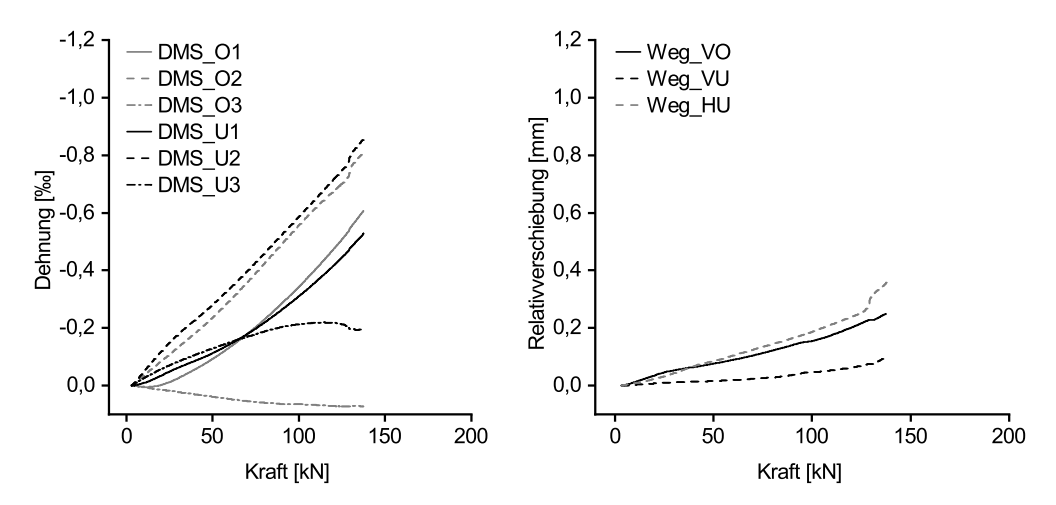


Abbildung C.4: Ergebnisse von Versuch V\_G\_2.1

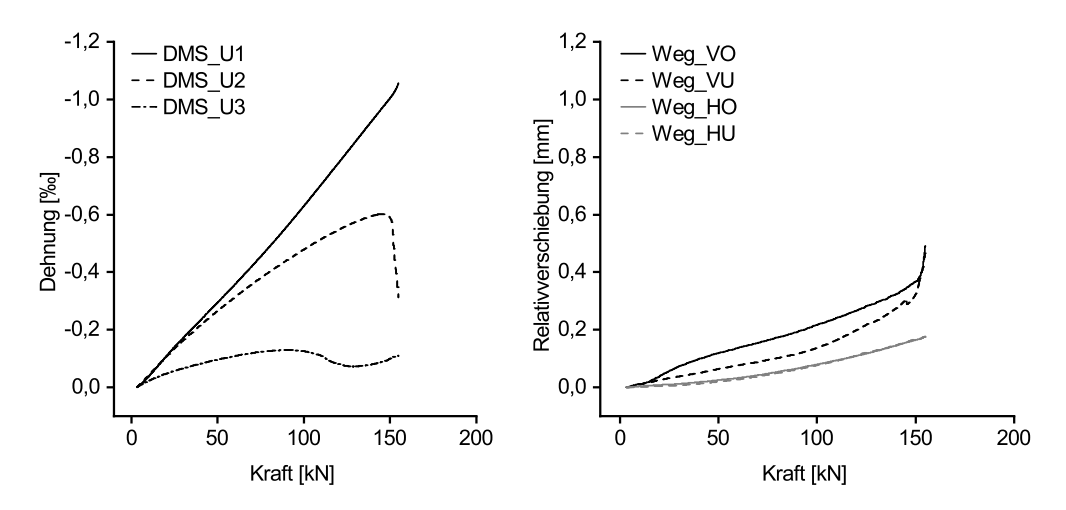


Abbildung C.5: Ergebnisse von Versuch V\_G\_2.2

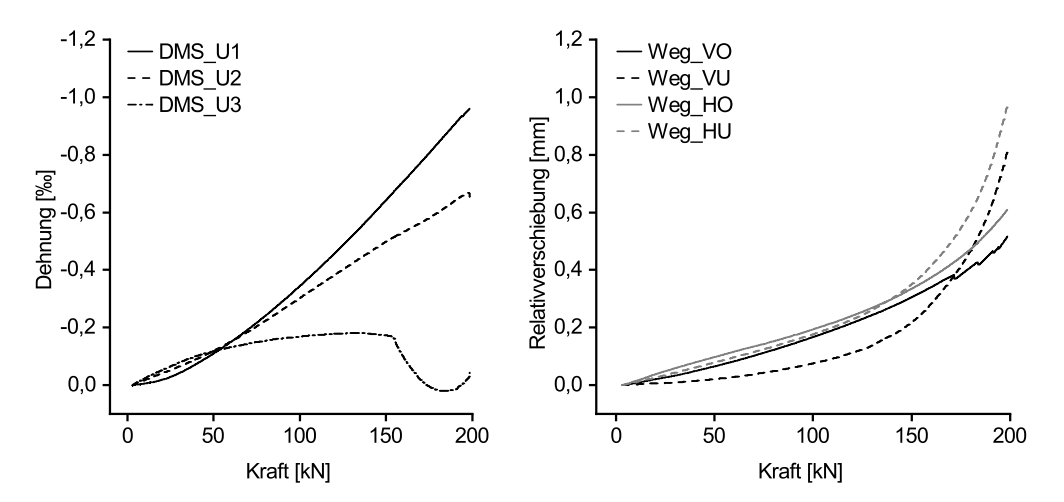


Abbildung C.6: Ergebnisse von Versuch V\_G\_2.3

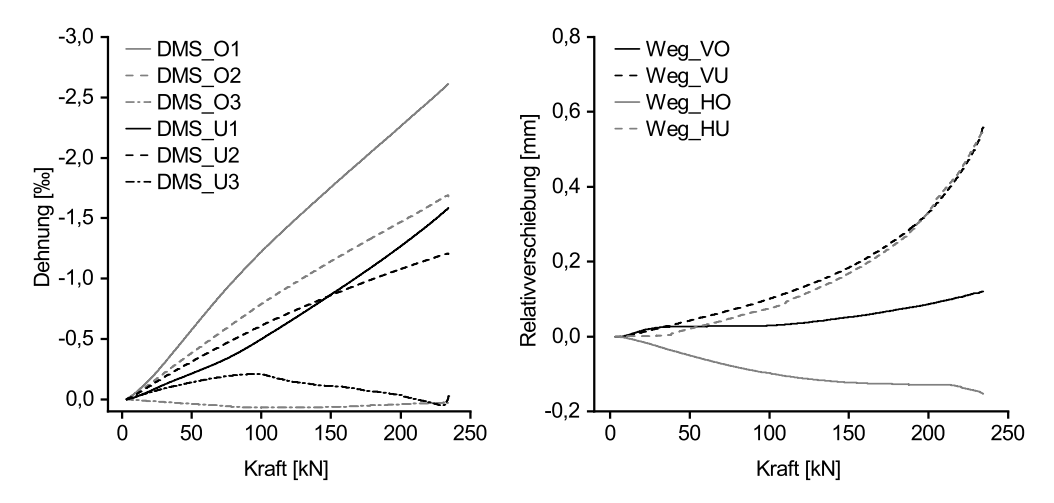
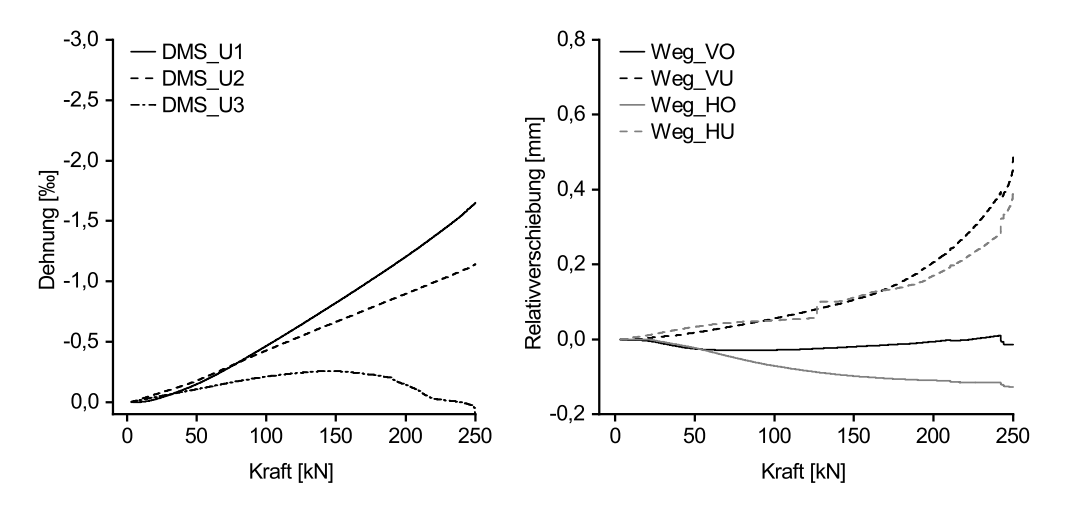


Abbildung C.7: Ergebnisse von Versuch V\_G\_3.1



**Abbildung C.8:** Ergebnisse von Versuch  $V_-G_-3.2$ 

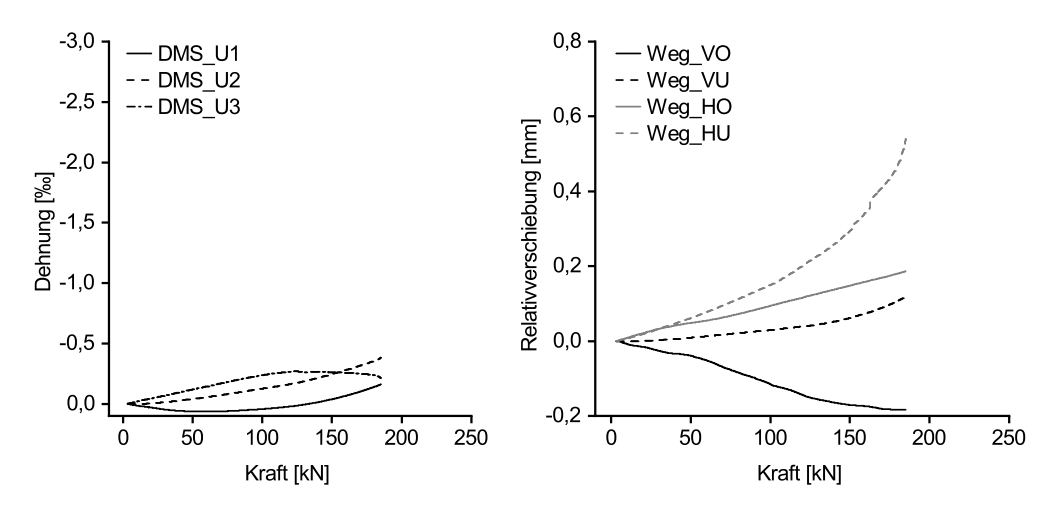


Abbildung C.9: Ergebnisse von Versuch V\_G\_3.3

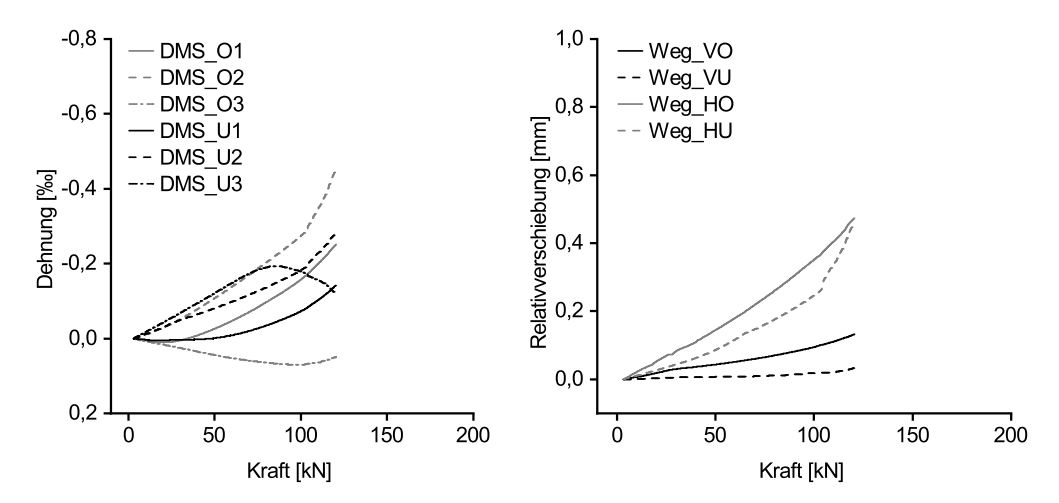


Abbildung C.10: Ergebnisse von Versuch V\_S\_2.1

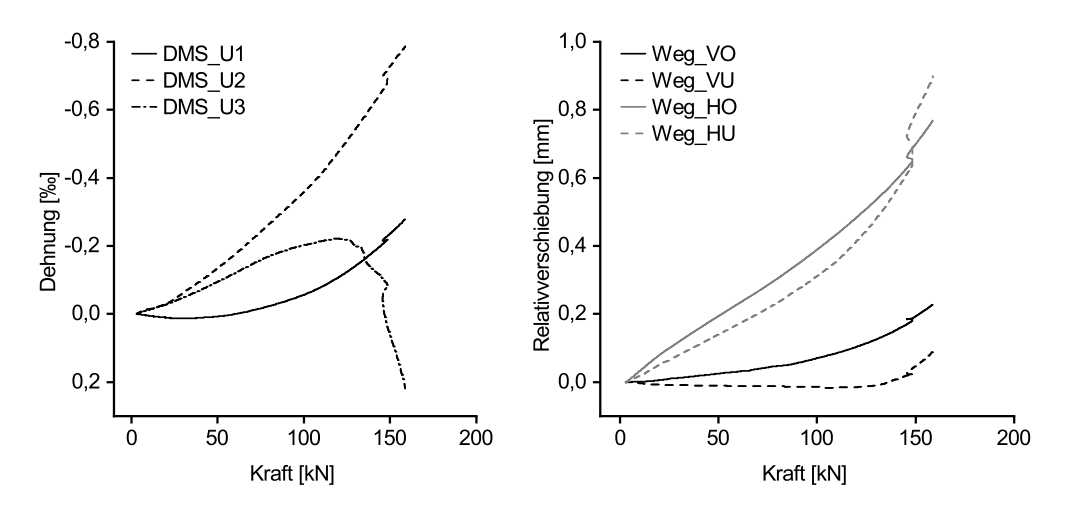


Abbildung C.11: Ergebnisse von Versuch V\_S\_2.2

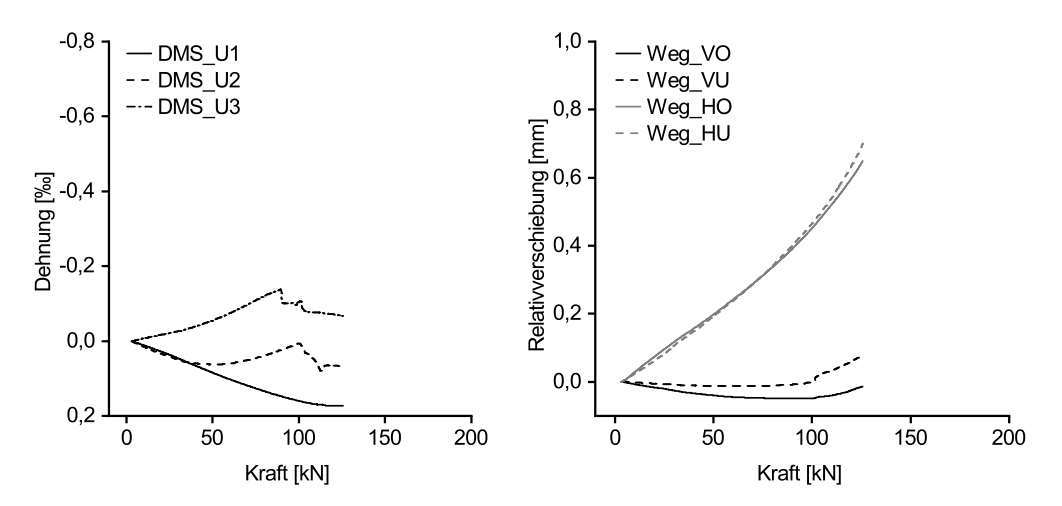


Abbildung C.12: Ergebnisse von Versuch V\_S\_2.3

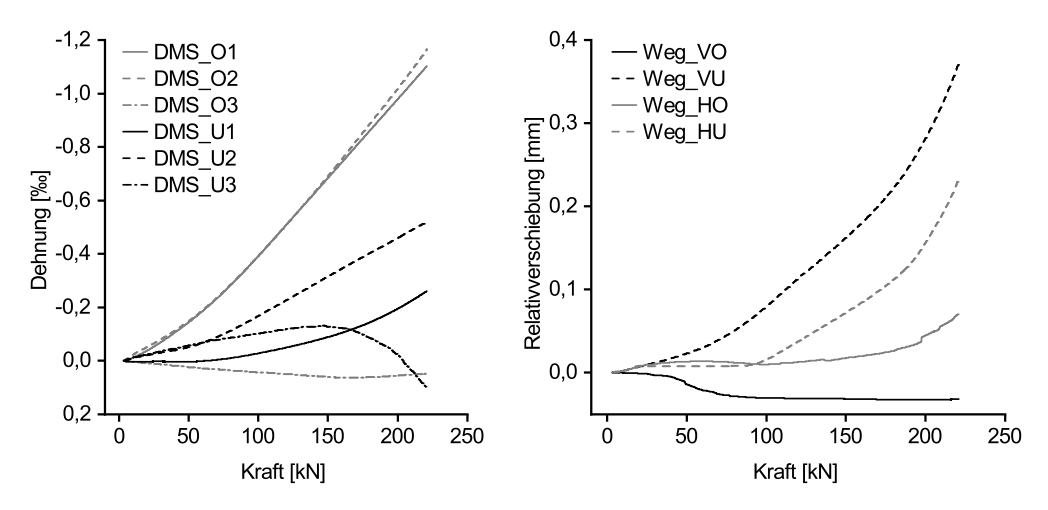


Abbildung C.13: Ergebnisse von Versuch V\_S\_3.1

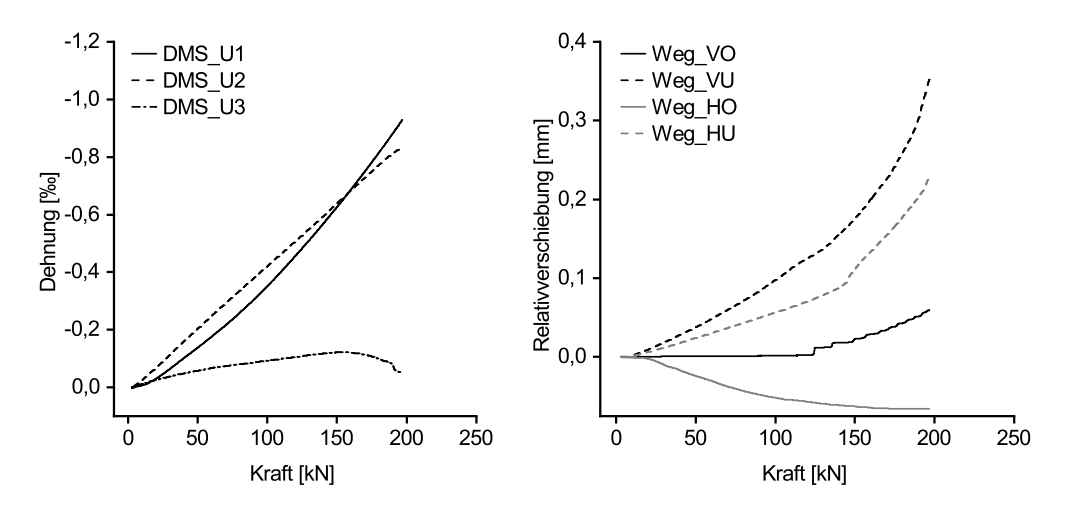


Abbildung C.14: Ergebnisse von Versuch V\_S\_3.2

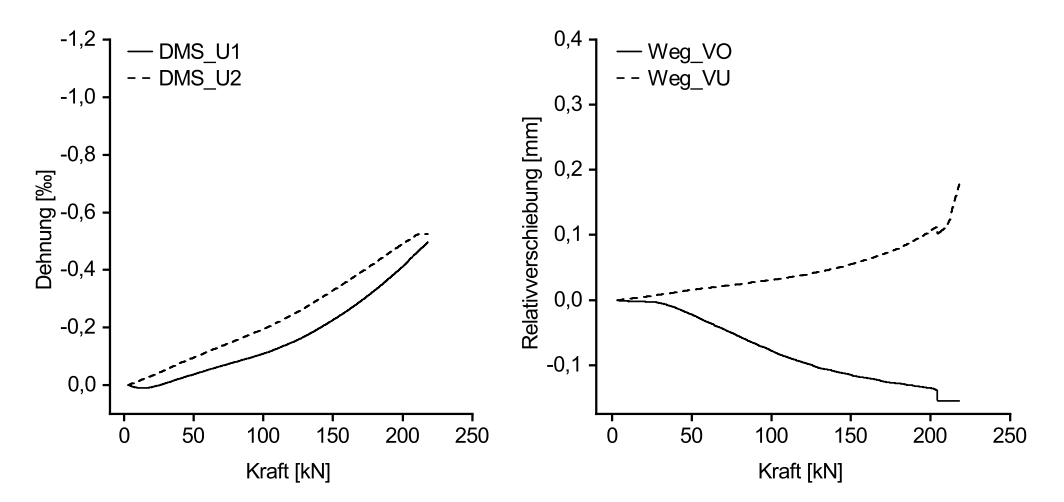


Abbildung C.15: Ergebnisse von Versuch V\_S\_3.3

# D Bauteilversuche

Nachfolgend sind die Ergebnisse der Bauteilversuche in Diagrammen dargestellt. Hierbei handelt es sich um nicht geglättete Rohdaten. Die Position der einzelnen Dehnmessstreifen sowie die dazugehörige Bezeichnung sind Abbildung D.1 zu entnehmen.

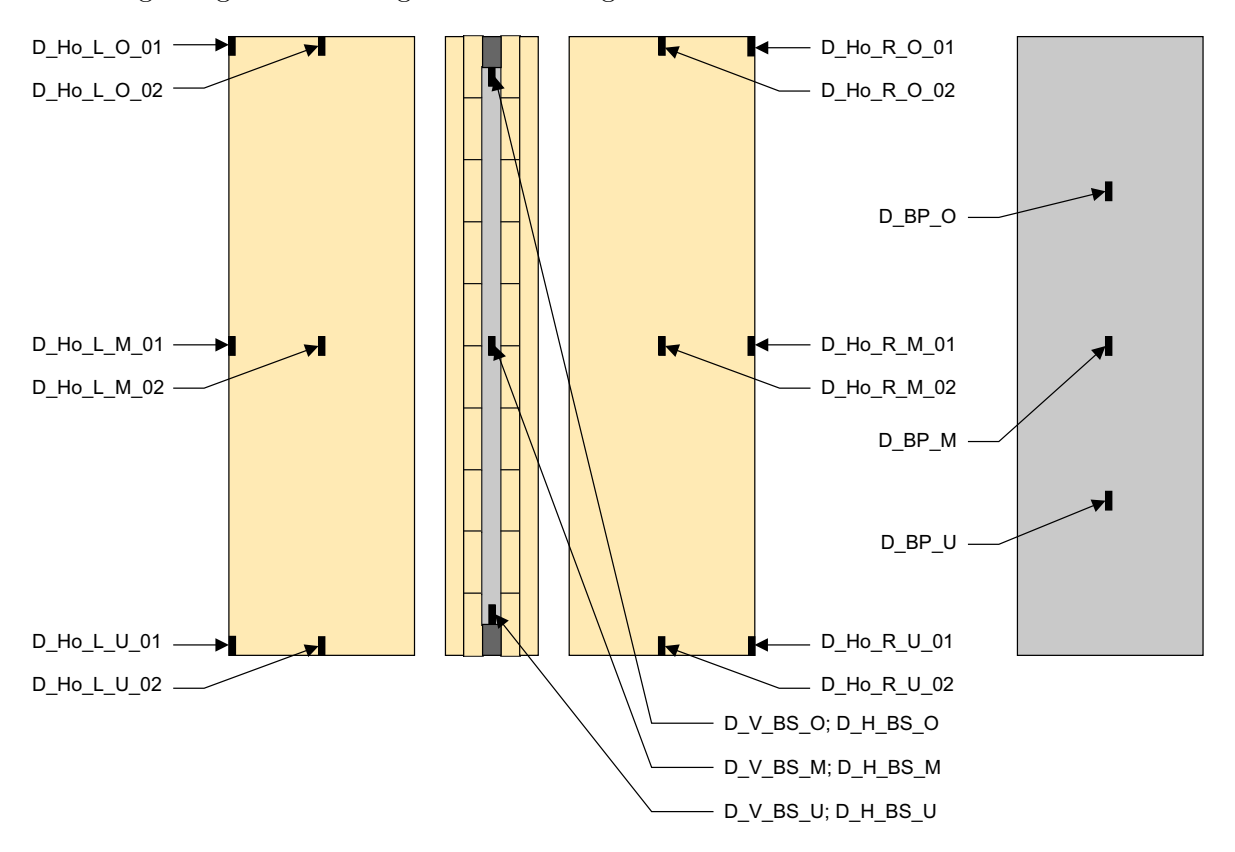
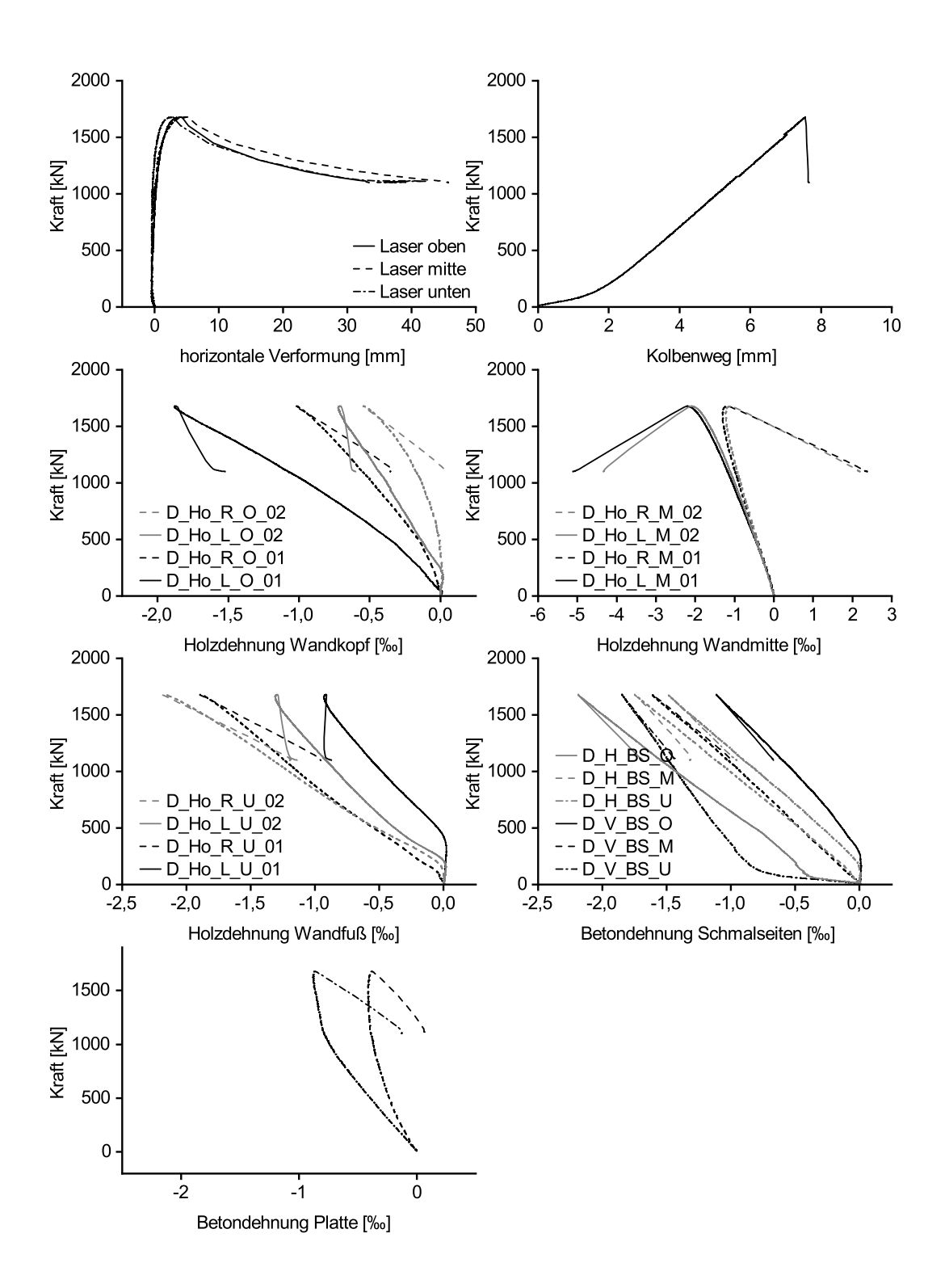
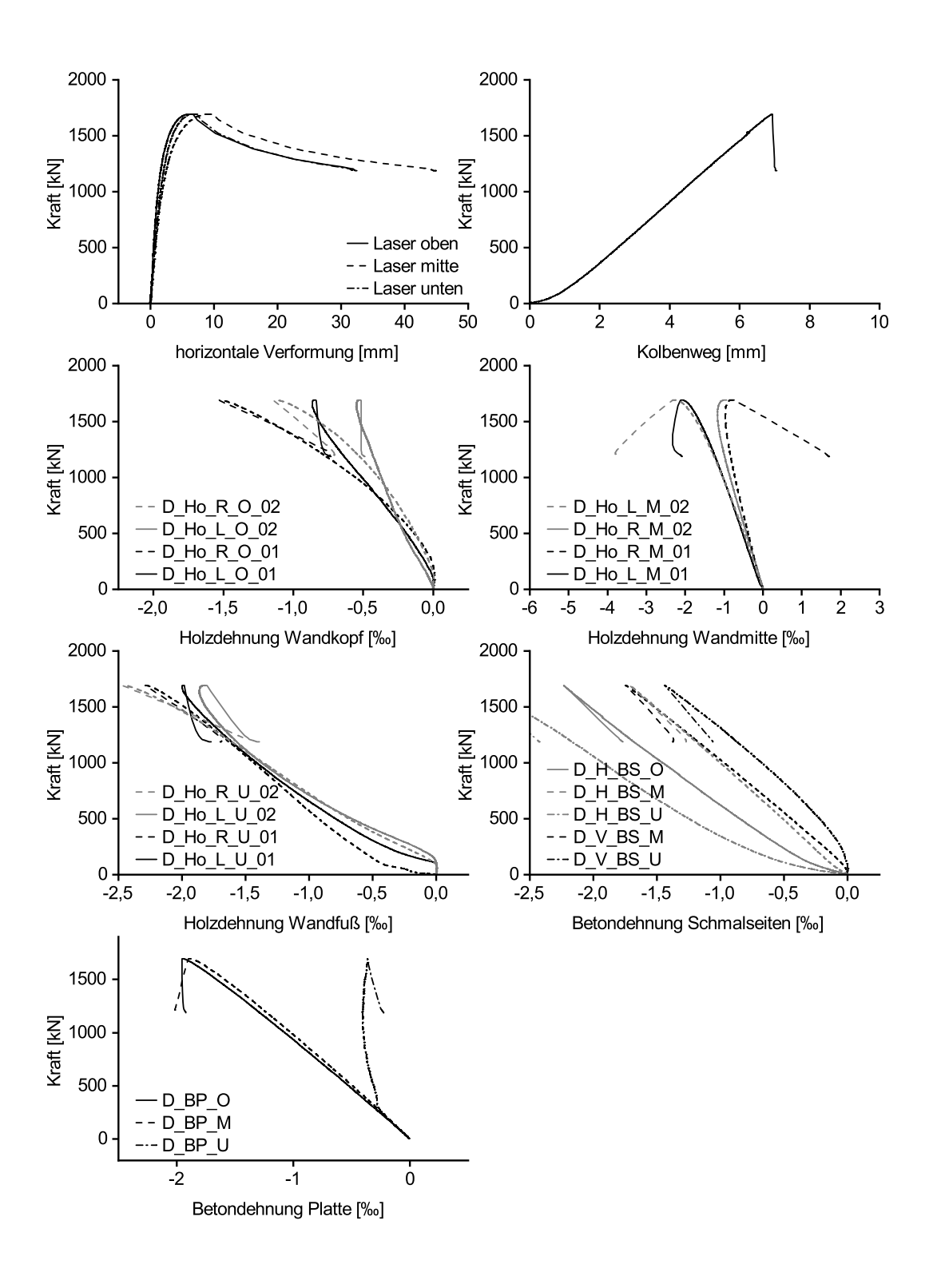


Abbildung D.1: Am Prüfkörper angebrachte Messtechnik

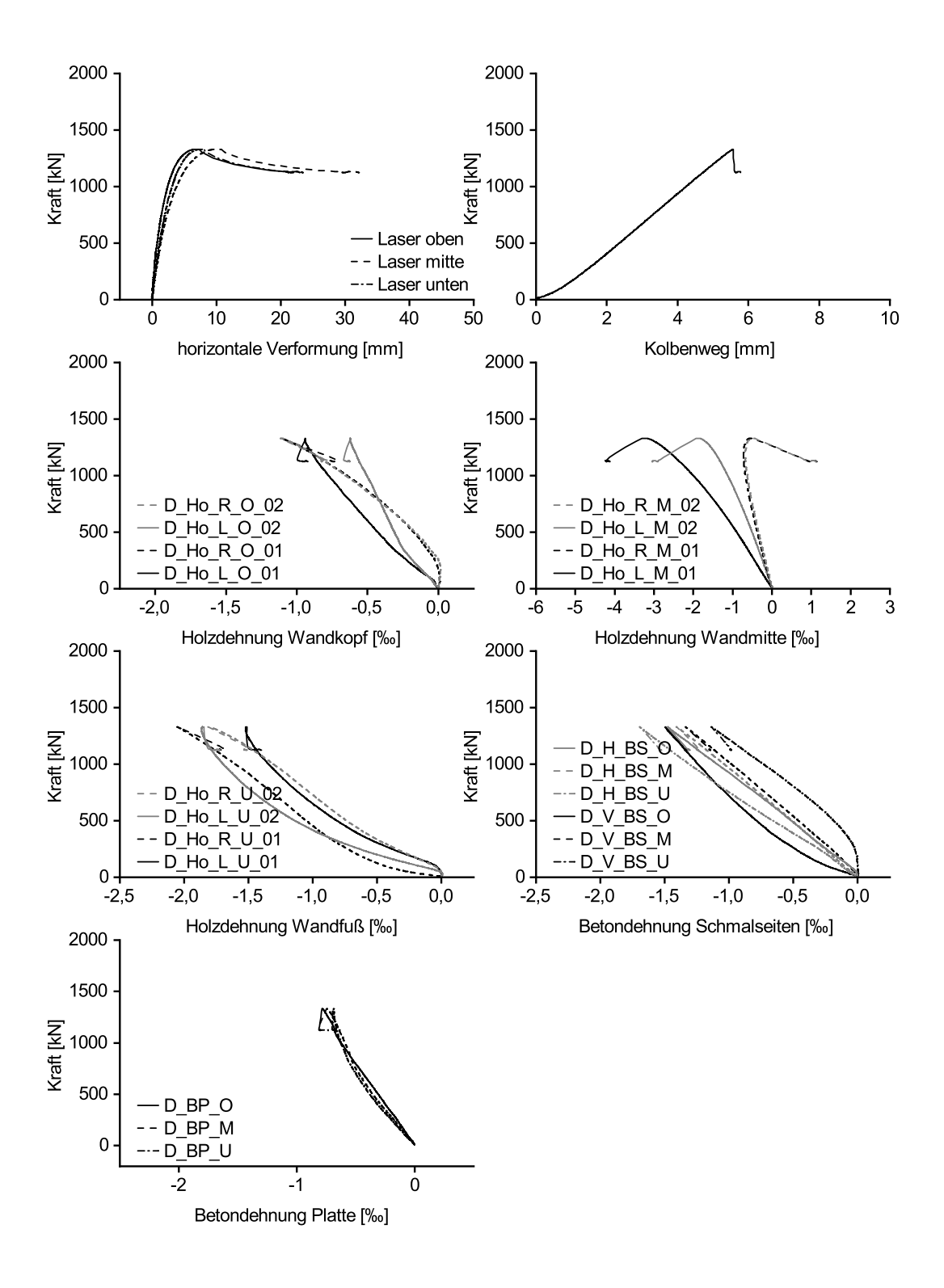
#### Ergebnisse von Versuch: $V_D_30_00_1$



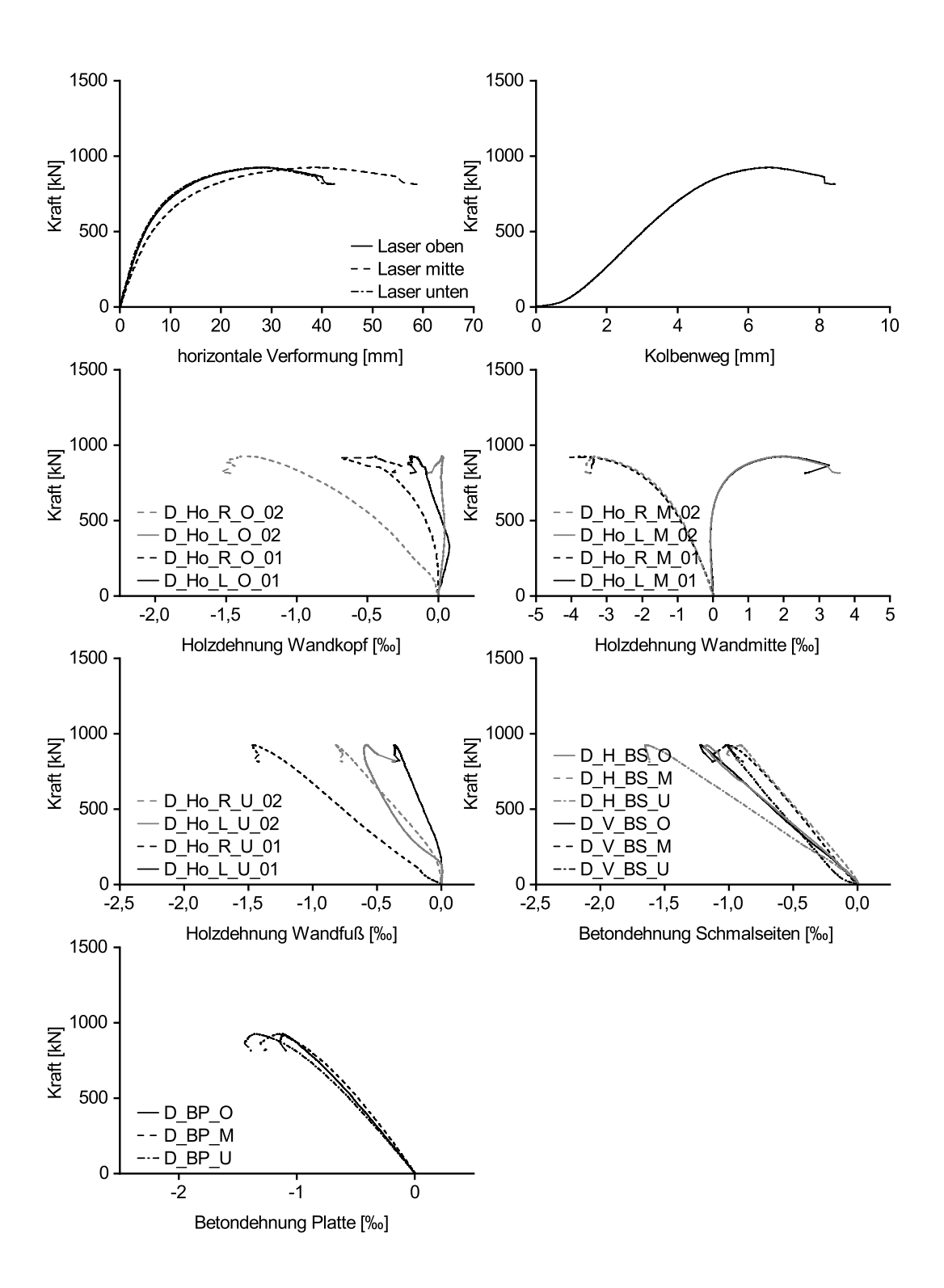
#### Ergebnisse von Versuch: $V_D_30_00_2$



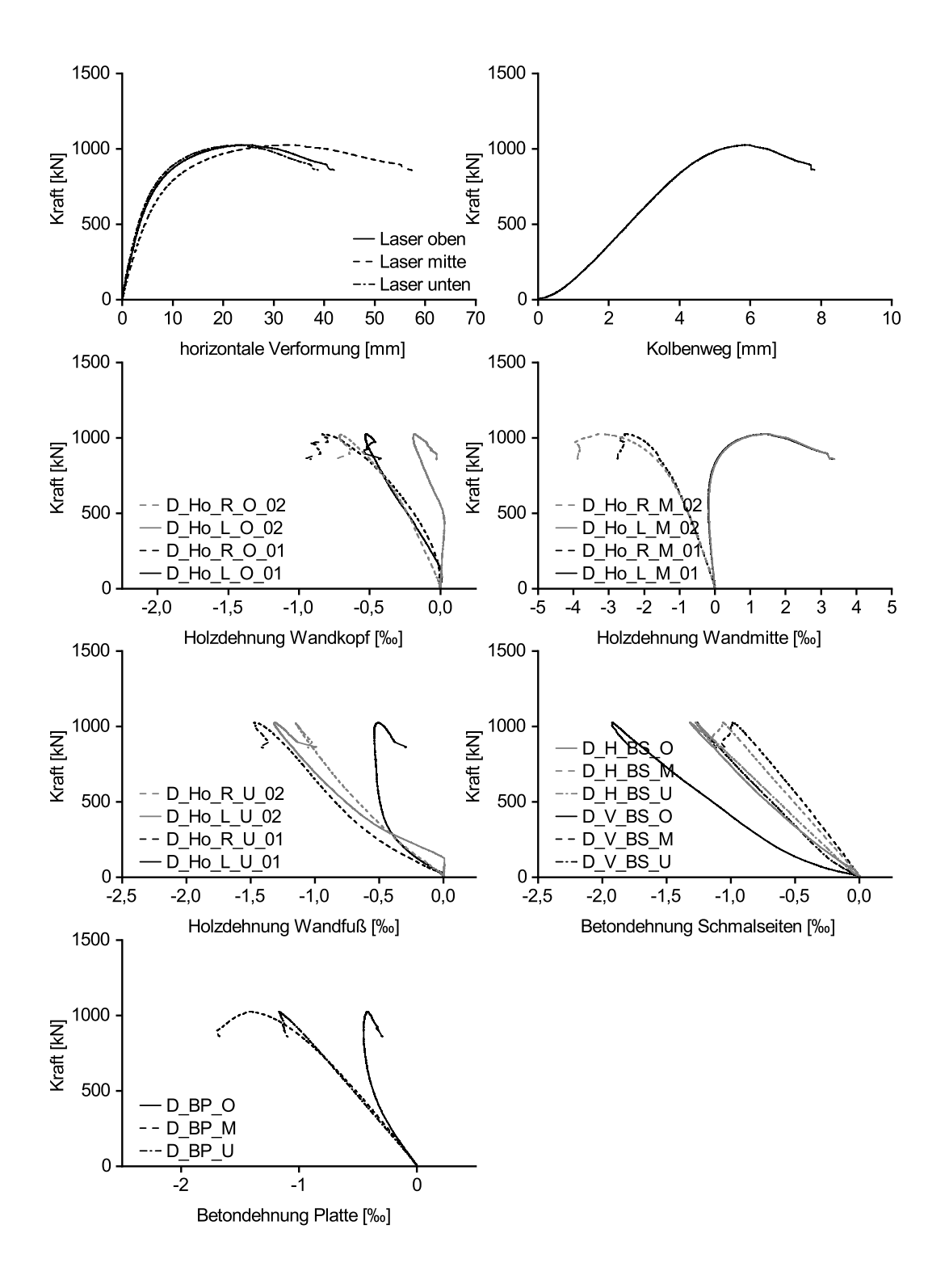
#### Ergebnisse von Versuch: $V_D_30_00_3$



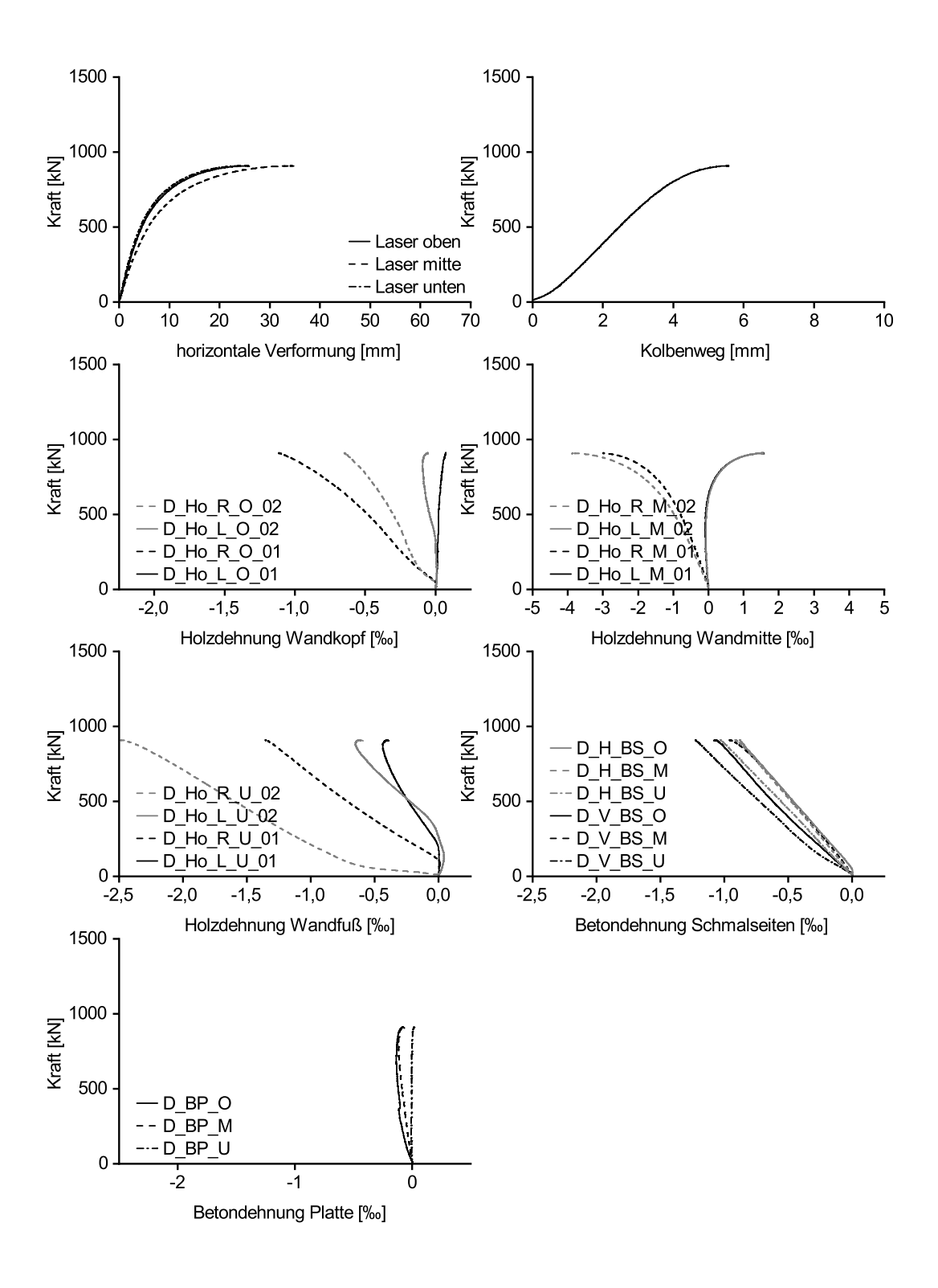
#### Ergebnisse von Versuch: $V_D_30_10_1$



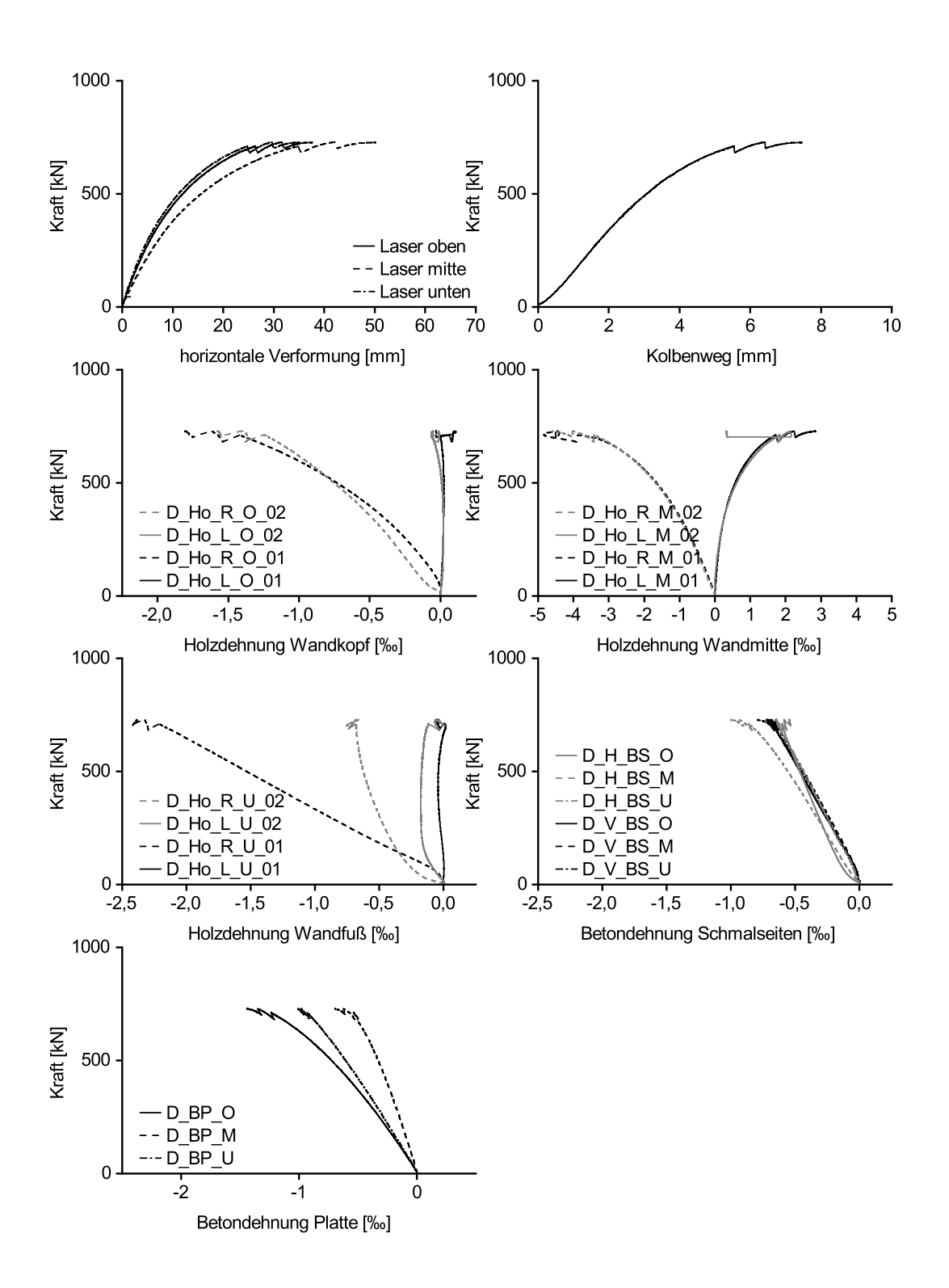
#### Ergebnisse von Versuch: $V_D_30_10_2$



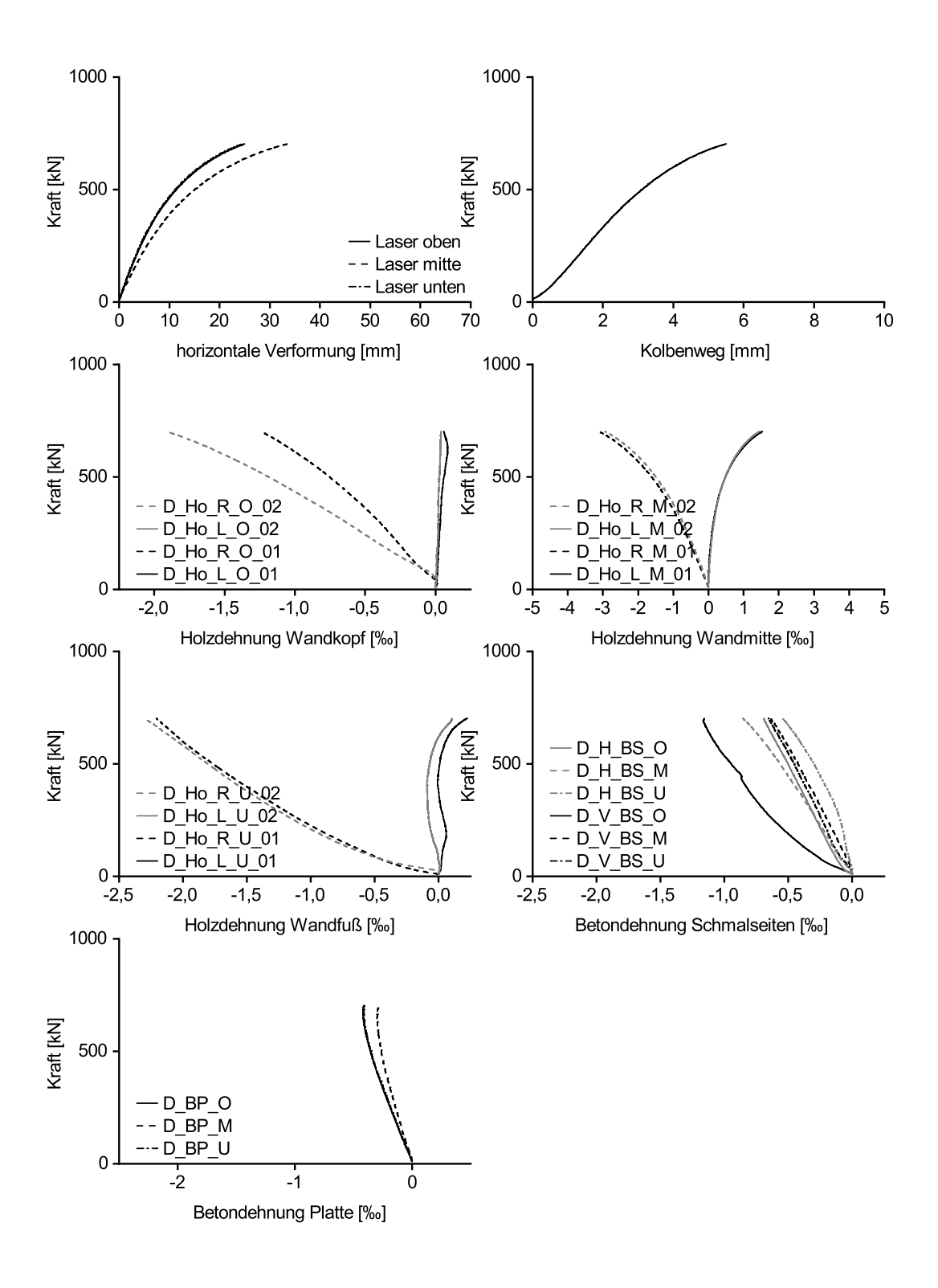
#### Ergebnisse von Versuch: $V_D_30_10_3$



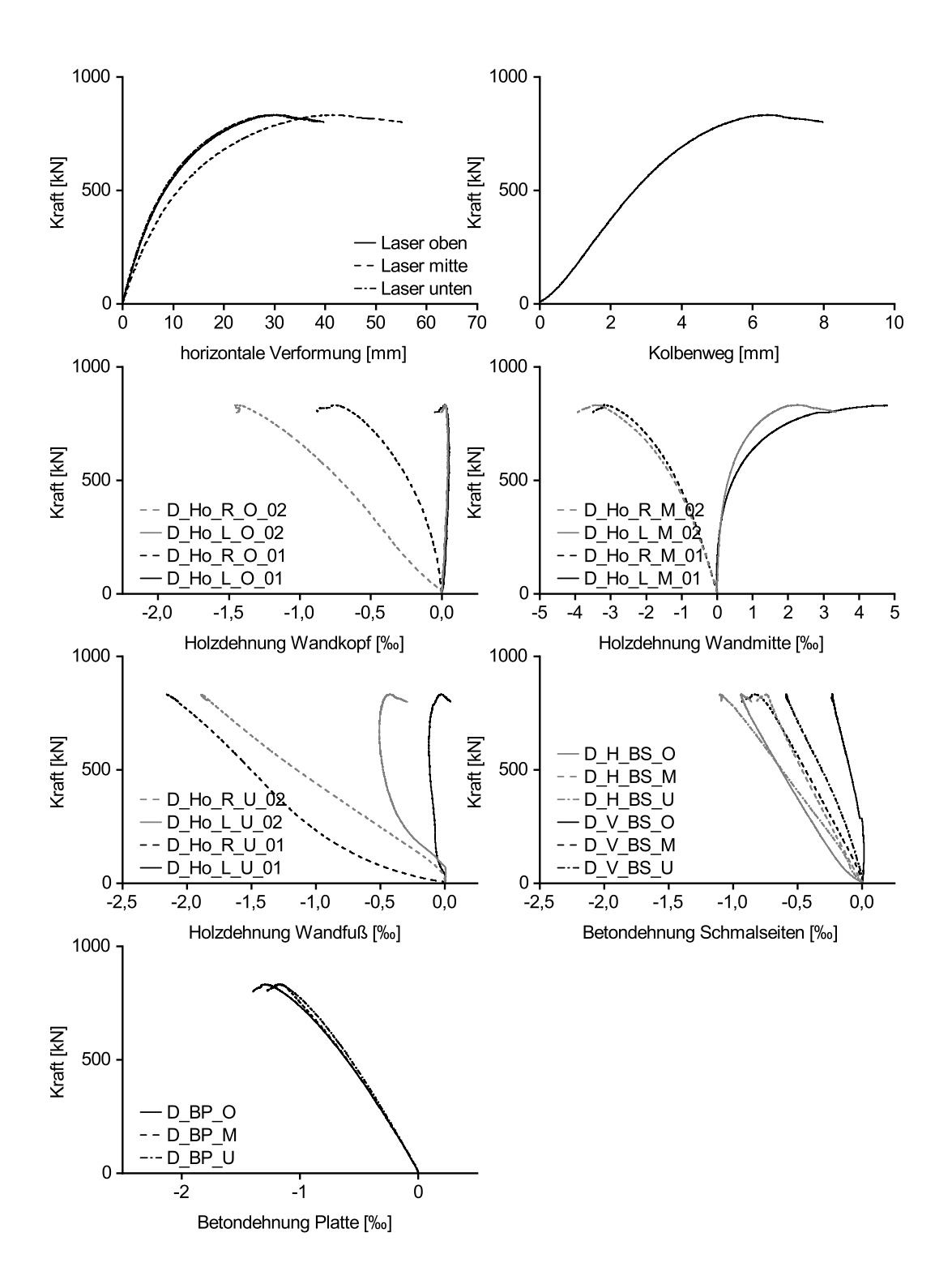
#### Ergebnisse von Versuch: $V_D_30_20_1$



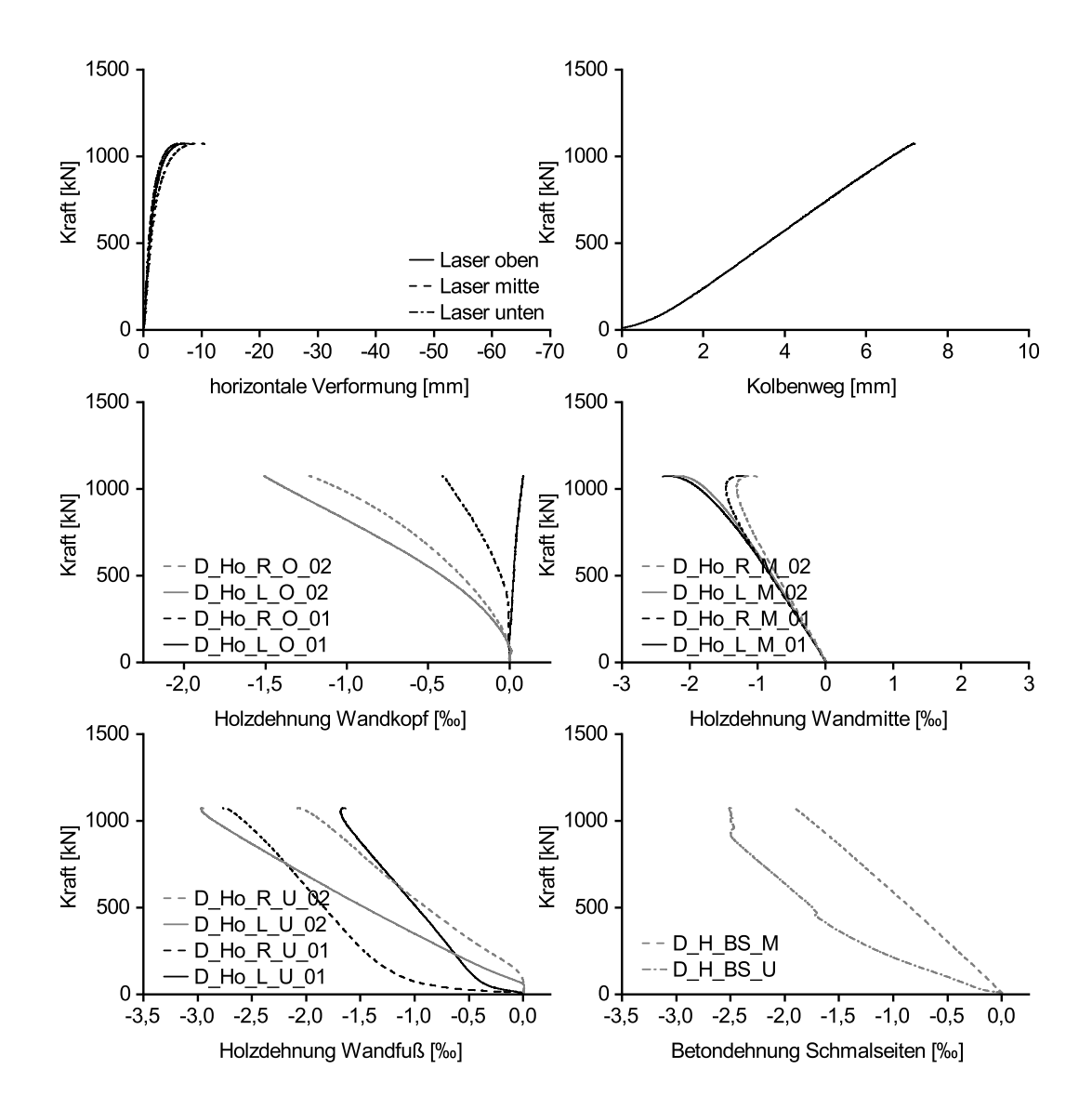
#### Ergebnisse von Versuch: $V_D_30_20_2$



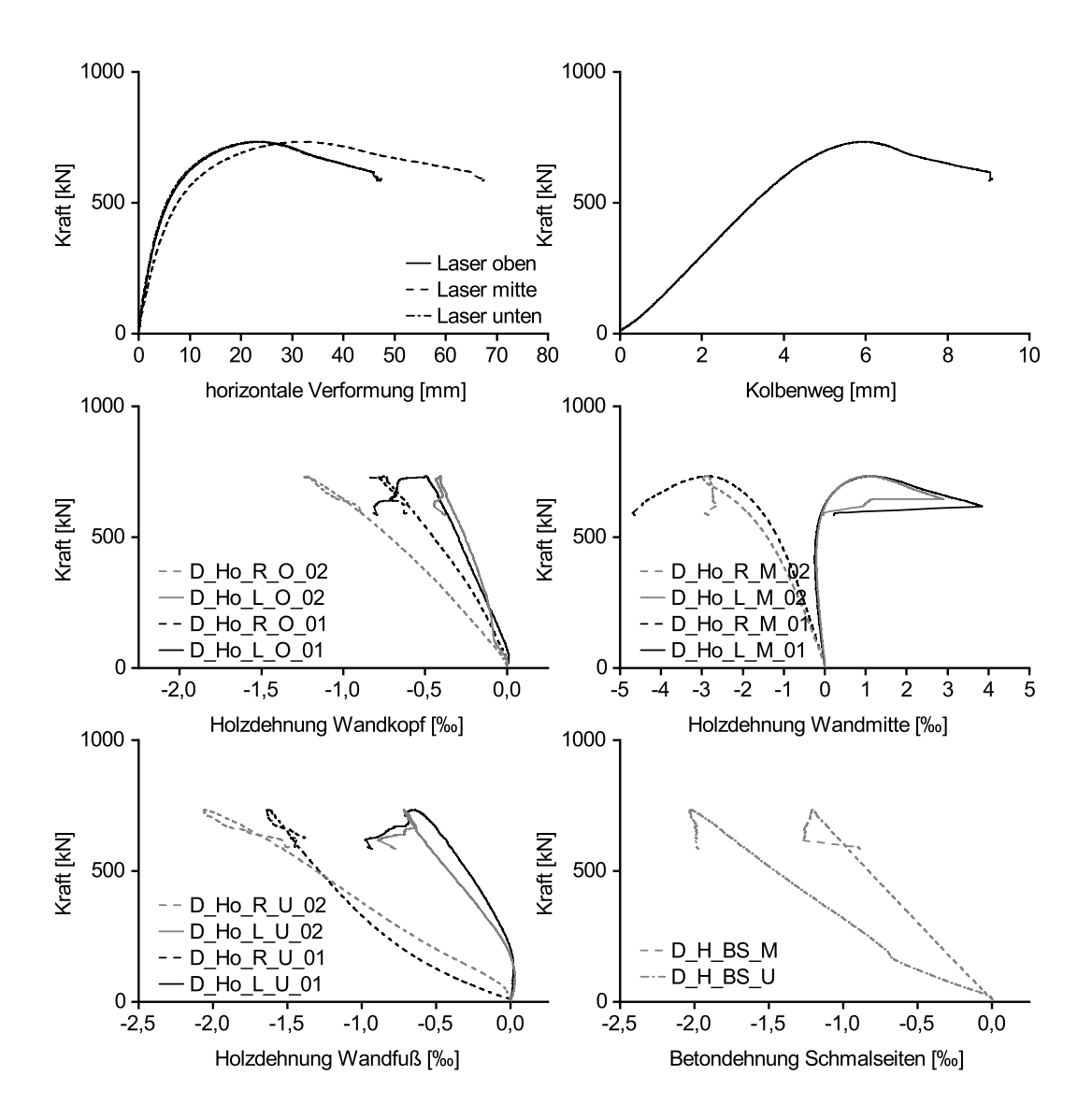
#### Ergebnisse von Versuch: $V_D_30_20_3$



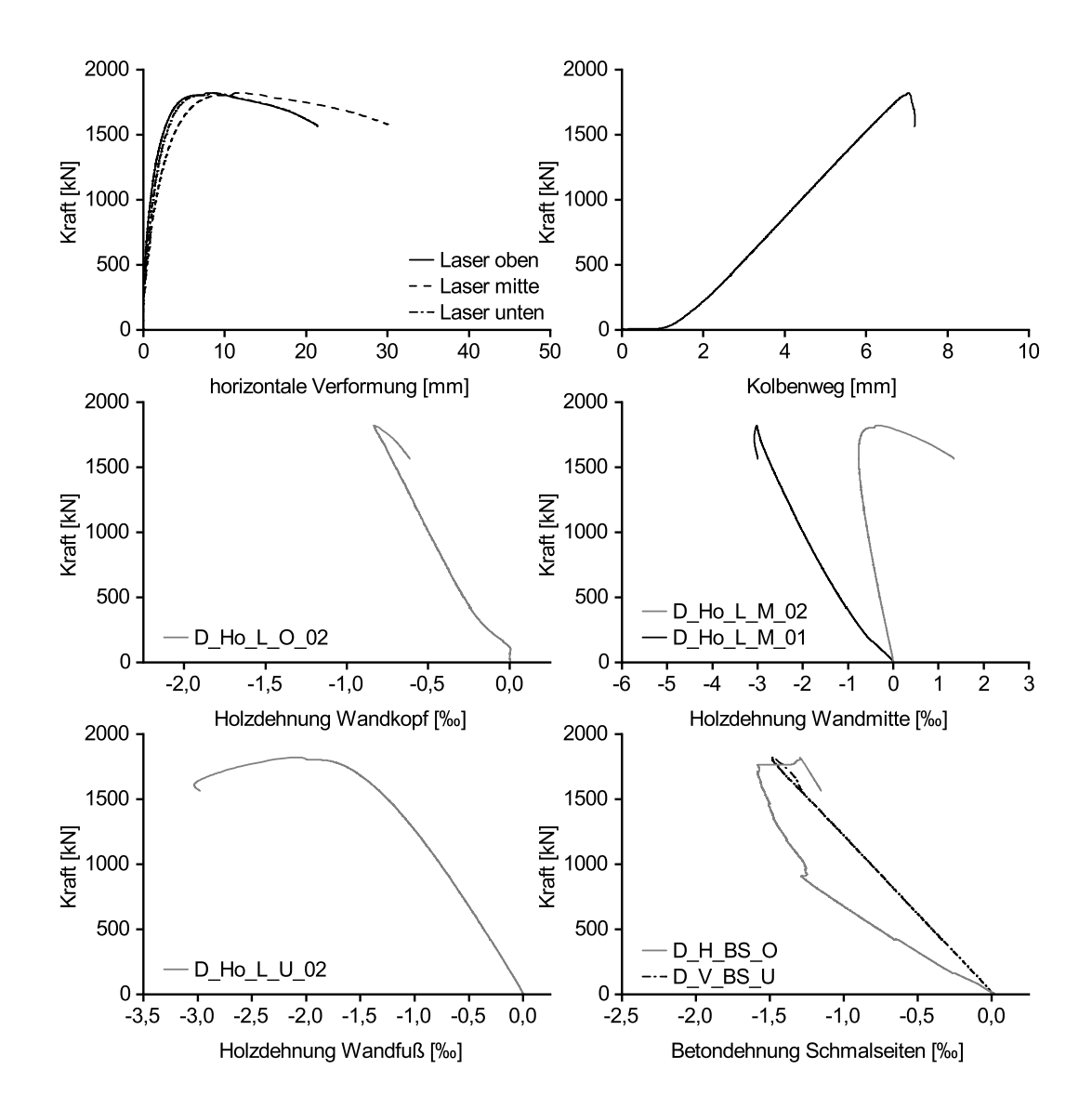
#### Ergebnisse von Versuch: $V_A_30_00_1$



#### Ergebnisse von Versuch: $V_A_30_10_1$



#### Ergebnisse von Versuch: $V_D_45_00_1$



#### Ergebnisse von Versuch: $V_D_45_10_1$

